# MITSUBISHI 三菱電機技報



MITSUBISHI DENKI GIHO Vol.61 No.3

# 宇宙開発特集



# 三菱電機技報 Vol. 61 No. 3 1987

## 宇宙開発特集

#### 目 次

# # <del>\*</del>

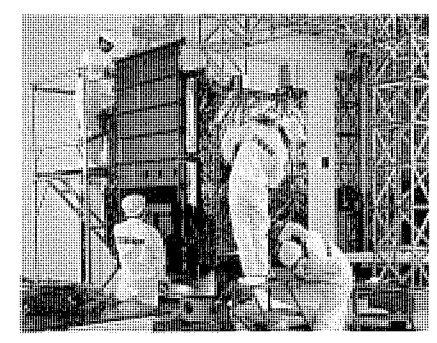
竹朱 謂 义	
宇宙開発特集に寄せて・・・・・・・・・・・・・・・・・・・・・・・・・・・・・・・・・・・・	
宇宙開発の現状と展望・・・・・・・・・・・・・・・・・・・・・・・・・・・・・・・・・・・・	2
技術試験衛星 V 型 (ETS - V) · · · · · · · · · · · · · · · · · ·	9
通信衛星 3 号 (CS-3)	15
リモートセンシングと画像処理······ 小野 誠・田中宏和・松井保憲	21
オーストラリア主要都市間衛星通信システム····・・・・・・・・・・・・・・・・・・・・・・・・・・・・・・・・・	26
衛星搭載用アンテナ・・・・・・・・・・・・・・・・・・・・・・・・・・・・・・・・・・・・	31
人工衛星の姿勢制御技術・・・・・・・・・・・・・・・・・・・・・・・・・・・・・・・・・・・・	36
大型伸展・展開構造物····································	41
人工衛星における能動型熱制御····· 増本博光・桜井也寸史・木村 弘・大串哲郎・金森康郎	45
人工衛星搭載用 GaAs 半導体デバイス・・・・・・・・・・・・・・・・・・・・・・・・・・・・・・・・・・・・	50
普通論文	
磁気軸受フライホイールの宇宙実験モデルの製作 村上 カ・中島 厚・秋下貞夫・薮内賀義・岩本邦雄	56
高信頼性MIC基板・・・・・・・・・・・・・・・・・・・・・・・・・・・・・・・・・・・・	60
人工衛星の帯電放電と帯電防止技術・・・・・・・・・・・・・・・・・・・・・・・・・・・・・・・・・・・・	64
人工衛星用電熱式ヒドラジンスラスタの熱解析 長島隆一・梶原堅一・松井安次・古森秀樹・関 時明・吉川皖造	68
新住宅用規格形エレベーター・・・・・・・・・・・・・・・・・・・・・・・・・・・・・・・・・・・	73
高耐圧・大電流GTOサイリスタの特性・・・・・・・・・・・・・・・・・・・・・・・・・・・・・・・・・・・・	77
<b>特許と新案</b> アナログーディジタル変換装置	84
スポットライト超高速可変速システム《MELDRIVE 2000》床置形インバータエアコン MFZ-251AF1.3μm CMOS VTM三菱スーパーラインモートル《LシリーズSF-LH315~400フレーム》三菱高機能パケット多重化装置 MELPAX 1000	82 83 85
三菱公衆形ビデオテックス端末 VT700IIシリーズ (表	

#### 表紙

#### 技術試験衛星V型熱構造モデル

昭和62年8月に打上げが予定される技 術試験衛星V型(ETS-V)の熱構造モ デル(STM)を組み立てているところで ある。

STMは、形状、寸法、重量及び材料に関して実際に打ち上げられる衛星(プロトフライトモデル(PFM))と同等の構造体を持ち、また、サーマルインシュレーション、ヒートパイプ等、PFMと熱的に等価な熱制御材を用いている。内部の電子機器については、電気的な機能は持たせず、寸法、重量及び発熱量のみ同等とする。STMに対しては、衛星の構造・熱設計の確認及び関連製造プロセスの確立のために、打上げ環境及び軌道上環境を模疑した振動・音響・衝撃・熱真空試験を実施し、その成果をPFMの設計、製作及び試験に反映させる。



# アブストラクト

#### 宇宙開発の現状と展望

本下親郎·藤田康毅

三菱電機技報 Vol.61·No.3·P2~8

宇宙利用は、従来の軌道位置を利用した情報の提供手段から、宇宙環境を生産の場に利用する方向に進みつつあり、大きな転換期にある。この論文では、世界の宇宙開発の現状を、その中における我が国及び当社の開発状況について概観し、次いで技術及び市場の動向からみた宇宙開発の今後の展望について述べる。

オーストラリア主要都市間衛星通信システム 鈴木善之・今井健雄・柴田秀樹・大場達博・田村節夫 三菱電機技報 Vol.61·No.3·P26~30

AUSSAT衛星によるKu帯衛星通信のための主要都市地球局設備を、各州都8都市に完成し納入した。TV番組交換、TV番組直接放送、高品質音声番組交換、及び音声・データ通信のための装置を含んでいる。V/H直交偏波共用のアンテナ装置を備え、送信電力制御を行っている。衛星回線SCPC PSK/TDMAを用いた局監視制御システムにより、全局をセンター局から遠隔・集中監視制御することができる。

#### 技術試験衛星 V 型 (ETS-V)

村山英敏·筒井 修·山田重雄·笠井鯉太郎·石井豊彦

三菱電機技報 Vol.61·No.3·P9~14

技術試験衛星 V 型(ETS-V)は、軌道上重量約550kg、1.5年後のミッション末期発生電力約850W、軌道上寸法9.7m×2.3m×3.5mの国産初の静止三軸衛星である。この衛星は、550kg級静止三軸衛星の標準衛星としての基盤技術の確立、大型の実用衛星の開発に必要な自主技術の蓄積、航空機の太平洋域での洋上管制・船舶の通信・航行援助・捜索救難などのための移動体通信実験などを行うことを目的としている。

#### 衛星搭載用アンテナ

片木孝至,赤石 明,小林右治

三菱電機技報 Vol.61:No.3:P31~35

衛星搭載用アンテナの最近の技術状況と将来動向及び当社技術の紹介を行った。INTELSAT衛星, TV-SAT, SEASAT-Aを例にとって現状を説明し、将来動向として大型展開アンテナ、アクティブアンテナ、測定技術及び設計ソフトウェアに焦点をあてて述べた。当社技術としてCS-2アンテナ, INTELSAT-V用アンテナ、ERS-1用SARアンテナ、フロントフィードオフセットカセグレンアンテナ等の紹介を行った。

#### 通信衛星3号(CS-3)

高比良 昭·松本芳郎·向井長夫·鈴木庸彦·安坂吉生

三菱電機技報 Vol.61·No.3·P15~20

通信衛星3号(CS-3)は、Kバンド及びCバンド通信用中継器(子備を含めて計18台)を搭載する要求寿命7年のスピン安定型通信衛星で、世界に先駆けてのGaAs太陽電池セルの採用による大電力化、二枚機器パネルの採用による実装・熱制御能力の向上、CFRPなど複合材料を駆使した軽量構造体などを特長とする自主国産衛星である。この衛星の構成、システムの特長及び主要サブシステムの概要について述べる。

#### 人工衛星の姿勢制御技術

名取直幸·山口哲郎·吉田憲正·中川信雄

三菱電機技報 Vol.61·No.3·P36~40

人工衛星の姿勢制御技術の内外の現状と将来動向を概観し、近い将来の宇宙計画にとって重要な姿勢制御関連の基盤技術として、柔軟構造物をもつ衛星の姿勢制御技術と姿勢制御系のフォールトトレラント技術を取り上げて記述する。前者は、今後の衛星の大型化に伴って重要度を増す技術であり、従来・現在・将来に対する技術課題と解決方法を述べる。後者は、姿勢制御系の小型・高性能化と高信頼性化を両立させるための技術を階層的に分類して記述する。

## リモートセンシングと画像処理

小野 誠・田中宏和・松井保憲

三菱電機技報 Vol.61·No.3·P21~25

電波センサによる衛星からのリモートセンシングを中心に、衛星搭載 用電波センサの開発動向を述べるとともに、MOS-1搭載マイクロ波放 射計及びERS-1搭載合成開口レーダの開発例について述べる。また、 リモートセンシングにおける画像処理技術の開発動向について述べると ともに、当社が開発した代表的な画像処理システムについても併せて紹 介する。

#### 大型伸展・展開構造物

小泉孝之·山本和夫·倉藤 康·谷沢一雄·浅葉 誠

三菱電機技報 Vol.61·No.3·P41~44

当社における宇宙用の大型伸展・展開構造物の開発状況及び開発課題をまとめた。開発品としては、既に納入先よりフライト品として性能を認定された翼長 4 mのETS – V 用太陽電池パドル、エンジニアリングモデル製作中の翼長12 mの合成開口レーダアンテナ、展開機能モデルとしての $\phi$ 3.5 mアンテナ及び 2 m四方の二次元展開トラス等、様々な技術的段階のものがあるが、これらについて、解析及び試験で得られた構造特性データを紹介する。

# **Abstracts**

Mitsubishi Denki Giho: Vol. 61, No. 3, pp. 26 ~ 30 (1987)

The AUSSAT Major-City Satellite-Communication System

by Yoshiyuki Suzuki, Takeo Imai, Hideki Shibata, Tatsubiro Oba & Setsuo Tamura

Mitsubishi Electric has completed delivery of earth-station facilities to Australia for Ku-band communications via the AUSSAT satellite network. Earth stations have been installed in each of the eight state capitals to enable interchange of TV and hi-fi audio programs, direct satellite broadcasts, and voice and data communications. Each station is equipped with a V/H dual polarization antenna, and each performs up-link power control. The network also includes a station-management subsystem that uses an SCPC PSK/TDMA satellite line to monitor and control all the stations from the central control station.

Mitsubishi Oenki Giho: Vol. 61, No. 3, pp. 2  $\sim$  8 (1987)

Present and Future Trends in Space Development

by Chikao Kinoshita & Yasuki Fujita

Although the orbits of space missions have been used primarily as vantage points for information gathering, future missions will be increasingly production-oriented, using the space environment for processes impossible or unfeasible to perform on Earth. This heralds a great change in spacecraft and mission technology. The article describes the state of the international space-development field, and advances in Japan and at Mitsubishi Electric. Technical and market trends are examined, and future developments are discussed.

Mitsubishi Denki Giho: Vol. 61, No. 3, pp.  $31 \sim 35$  (1987)

Spacecraft Antennas

by Takashi Katagi, Akira Akaishi & Yuji Kobayashi

The article spotlights the current state of spacecraft-antenna technology in INTELSAT, TV-SAT, and SEASAT-A, and analyzes future trends in large-diameter folding antennas, active antennas, and in measurement technology and design software. The article introduces examples of Mitsubishi technology, including antennas for CS-2 and INTELSAT-V, the synthetic-aperture radar antenna of ERS-1, and a front-feed offset-Cassegrain antenna.

Mitsubishi Denki Giho: Vol. 61, No. 3, pp. 9 ~ 14 (1987)

The Development of Engineering Test Satellite-V (ETS-V)

by Hidetoshi Murayama, Osamu Tsutsui, Shigeo Yamada, Ritaro Kasai & Toyohiko Ishii

Scheduled for launching in August 1987, ETS-V is Japan's first domestically produced  $550 {\rm kg}$ -class three-axis-stabilized geostationary satellite. It will weigh about  $550 {\rm kg}$  and measure  $9.7 \times 2.3 \times 3.5 {\rm m}$  when in orbit. After 1.5 years in space, the power generation will be approximately  $850 {\rm W}$ . ETS-V will be used to develop basic technologies for a three-axis spacecraft called a standard bus, and will carry a variety of mission equipment into orbit for developing basic technologies for the next generation of heavier, longer-lived satellites. The satellite will-also be performing mobile-radio communications experiments for maritime monitoring and communications, navigational assistance, search-and-rescue operations, and similar purposes.

Mitsubishi Denki Giho: Vol. 61, No. 3, pp. 36  $\sim40\,$  (1987)

Spacecraft Attitude-Control Technology

by Naoyuki Natori, Tetsuo Yamaguchi, Norimasa Yoshida & Nobuo Nakagawa

The article examines the current state and future trends in attitude-control technology for spacecraft. Attitude-control technologies suitable for use with flexible spacecraft will become very important in the near future. The article explores the issues through a discussion of technical problems and solutions in the past, present, and future. Fault-tolerant systems are also discussed. Techniques employed to simultaneously realize smaller equipment dimensions, higher performance, and improved reliability are classified in hierarchical fashion.

Mitsubishi Denki Giho: Vol. 61, No. 3, pp. 15  $\sim$  20 (1987)

The Development of Communications Satellite-3 (CS-3)

by Akira Takahira, Yoshio Matsumoto, Takeo Mukai, Tsunehiko Suzuki & Yoshio Yasusaka

CS-3a and CS-3b, to be launched in early and mid-1988, respectively, will be domestically produced, spinstabilized communications satellites with a total of 18 K- and C-band repeaters, including 6 spares, and a projected mission life of 7 years. They will also be the world's first satellites to use high-power GaAs solar cells. Other features include improved equipment layout efficiency and thermal control capability by virtue of two-layer equipment panels, and a lightweight CFRP structure. The article describes the satellite's configuration, system features, and principal subsystems.

Mitsubishi Denki Giho: Vol. 61, No. 3, pp. 41  $\sim$  44 (1987)

Large Deployable Structures for Space Applications

by Takayuki Koizumi, Kazuo Yamamoto, Yasushi Kurafuji, Kazuo Tanizawa & Makoto Asaba

The article outlines the state of development of deployable structures at Mitsubishi Electric, and reports on the analysis and test results of their structural performance. Already supplied is a 4m solar paddle that has been qualification-tested for use on ETS-V, and under production is an engineering model of a 12m antenna for a synthetic aperture radar. In addition, development models for deployment are being produced for a 3.5m-diameter folding antenna, and for a two-dimensional deployable truss 2m square.

Mitsubishi Denki Giho: Vol. 61, No. 3, pp. 21  $\sim$  25 (1987)

Remote Sensing and Its Image Processing

by Makoto Ono, Hirokazu Tanaka & Yasunori Matsui

In remote sensing, satellites use electromagnetic sensors to produce images of a wide variety of phenomena. The article discusses current trends in electromagnetic sensing, and examines the microwave scanning radiometer carried by Meteorological Observation Satellite-1 (MOS-1) and the syntheticaperture radar of Earth Resources Satellite (ERS-1) as examples of current technology. Development trends in image-processing technology for use in remote sensing are also treated, and the article introduces representative image-processing systems developed by Mitsubishi Electric.

# アブストラクト

## 人工衛星における能動型熱制御

增本博光·桜井也寸史·木村 弘·大串哲郎·金森康郎

三菱電機技報 Vol.61·No.3·P45~49

宇宙機の熱制御系は、電力需要の増大に伴って排熱能力の飛躍的向上と大容量放熱制御という二つの技術課題に直面し、積極的に熱的パラメータを変化させる能動型熱制御が不可欠となっている。ヒートパイプは、単独での局部的な使用から衛星構体そのものをヒートパイプモジュール化する方向へと進み、更に、サーマルルーバとの組合せでより複雑な放熱制御をも可能としている。将来型として、二相流体ループを用いた展開ラジエータが有望で、開発途上にある。

#### 人工衛星の帯電放電と帯電防止技術

西本博信·藤井治久·阿部俊雄

三菱電機技報 Vol.61·No.3·P64~67

軌道上の衛星は宇宙プラズマにより帯電し、ときには放電する可能性がある。この衛星の帯電及び放電は、衛星の信頼性に深くかかわっている。ここでは、衛星帯電放電現象の概略とその影響について説明し、電子線照射による帯電放電シミュレーション実験結果について述べる。更に、帯電防止技術として、導電性コーティング処理やイオンエンジン中和器からのプラズマ放出が有効であることを述べる。

#### 人工衛星搭載用GaAs半導体デバイス

山上倖三・北陽 滋・上田和男・伊木茂男・園田琢二

三菱電機技報 Vol.61·No.3·P50~55

人工衛星の長寿命化、高信頼度化の要求に伴い、GaAs半導体デバイスが衛星搭載機器に広範囲に使用されてきている。このたび当社は、重量比出力に優れたセル厚み $200\mu$ m、セルサイズ $2\times4$ cmの大面積、薄型GaAs太陽電池セルを開発した。また、X帯トランスポンダのSSPA化を可能とする出力 3 WのX帯用高効率GaAsFETを開発した。本稿では、これらの新製品の特長と今後の技術動向について紹介する。

人工衛星用電熱式ヒドラジンスラスタの熱解析 長島隆 ・・梶原堅一・松井安次・古森秀樹・関 時明・吉川皖造 三菱電機技報 Vol.61・No.3・P68~72

静止衛星の大型化、長寿命化に伴って、姿勢制御用推進機の高推力、 長寿命化が望まれている。この方法として、推進剤(ヒドラジン)の分 解ガスを電気ヒータで加熱する方式の推進機(EHT)が注目されており、 EHTの国産化を目指し、三菱電機(株)も開発に参画している。

この論文では、EHTの主要部分である加熱部ヒータの設計に必要な熱解析の概要について述べる。

#### 磁気軸受フライホイールの宇宙実験モデルの製作 村上 力・中島 厚・秋下貞夫・藪内賀義・岩本邦雄 三菱電機技報 Vol.61·No.3·P56~59

昭和61年8月、H-1ロケットによる搭載実験の一環として、人工衛星の姿勢制御アクチュエータとして有望視される磁気軸受フライホイールの宇宙実験が行われた。本機の磁気軸受では、独自の二軸制御方式を用い、軌道上で1.86kgのロータを磁気浮上し、1,000rpmで回転させることに成功した。三菱電機(株)は磁気軸受フライホイール及び実験システムの製作を担当した。本稿では、これらの設計、製作とそれらの環境試験、性能評価試験について述べた。

#### 新住宅用規格形エレベーター

吉川 博・谷野純一・吉田研治・塚原義人・杉山美樹

三菱電機技報 Vol.61·No.3·P73~76

集合住宅の増加に伴い、住宅用エレベーターは都市生活に密着した存在となってきている。今回、新制御方式の開発や高集積素子の採用その他により、住宅用エレベーターにとって重要な信頼性、静粛性及び使いやすさをより一層向上し、更に新形レールの開発や据付け工法の改善により、据付け工期を短縮した新しい住宅用規格形エレベーターを開発した。

本稿では、このエレベーターの主な特長と構成を紹介する。

#### 高信頼性MIC基板

伴 和紘・山中隆司・西田幸治・藤原多計治・斉藤 貴 三菱電機技報 Vol.61·No.3·P60~63

高信頼性MIC基板の開発を行った。MIC(マイクロ波集積回路)基板の導体膜構成をクロムー銅ー金とし、使用はんだをすずー鉛はんだとした場合、環境温度135℃においても故障率0.1FITが推定される。今回、クロムー銅ー金パターンを形成するのに、選択めっきプロセスを用いた。このことにより、最小導体幅及び最小導体間隔に関して20μmまでのパターニングが行える。パターニング精度は、要求される±3μmが容易に達成できる。

# 高耐圧・大電流GTOサイリスタの特性

石堂道治·鈴木正則·宮嶋辰夫·徳能 太

三菱電機技報 Vol.61·No.3·P77~80

GTOサイリスタは、自己ターンオフ能力をもつ大電力制御素子として注目を集め、従来の高速サイリスタや逆導通サイリスタに代わり、車両用の基幹素子としての地位を不動のものにしつつある。ここでは、車両制御用として開発され、DCチョッパやVVVFインバータに使用されている4,500V、2,000AのGTOを中心に、高耐圧・大電流GTOの構造・定格特性、応用上の問題点などを解説する。

# **Abstracts**

Mitsubishi Denki Giho: Vol. 61, No. 3, pp. 64 ~ 67 (1987)

Spacecraft Charging and Techniques for Its Control

by Haruhisa Fujii, Toshio Abe & Hironobu Nishimoto

Space plasma can cause electrostatic charging and discharging of orbiting satellites, and these phenomena are known to greatly reduce satellite reliability. The article describes the charging process and its effects, and reports on the test results when the process was simulated by electron-beam irradiation. These experiments showed conductive spacecraft coatings and plasma ejection by ion-engine neutralizers to be effective methods to control spacecraft charging.

Mitsubishi Denki Giho: Vol. 61, No. 3, pp.  $45 \sim 49$  (1987)

Active Thermal Control of an Artificial Satellite

by Hiromitsu Masumoto, Yasushi Sakurai, Hiroshi Kimura, Tetsuro Ogushi & Yasuro Kanamori

Higher power consumption aboard artificial satellites requires development of thermal control systems with greater heat exhaust efficiency and control capability of higher thermal radiocity. Active thermal control is essential to achieve these goals. Mitsubishi Electric has developed its heat pipe thermal control technology from local thermal control applications into an integrated system in which heat pipes are used as structural modules in the satellite equipment panels. Thermal louvers have also been developed for use with the heat pipe modules in a configuration that provides extremely flexible control of a satellite's thermal radiation characteristics. In addition, the Corporation is developing a deployable radiator with a two-phase fluid loop.

Mitsubishi Denki Giho: Vol. 61, No. 3, pp.  $68 \sim 72$  (1987)

Thermal Analysis of an Electrothermal Hydrazine Thruster for Spacecraft

by Ryuichi Nagashima, Ken'ichi Kajiwara, Yasuji Matsui, Hideki Komori, Tokiaki Seki & Kanzo Yoshikawa

Larger, long-lived geostationary satellites require long-lasting high-specific-impulse thruster systems for station keeping. One widely publicized method uses an electrical hearter to heat the decomposed propellant gas of a hydrazine thruster. Mitsubishi Electric has participated in the development of domestic Japanese technology for producing these electrothermal hydrazine thrusters. The article examines thermal analysis techniques employed for designing the electrical heater.

Mitsubishi Denki Giho: Vol. 61, No. 3, pp.  $50 \sim 55$  (1987)

Gallium Arsenide Semiconductor Devices for Satellites

by Kozo Yamagami, Shigeru Hokuyo, Kazuo Ueda, Shigeo Igi & Takuji Sonoda

The long-life and high-reliability requirements of current satellites favor the use of GaAs semiconductor devices, which are extremely reliable. Mitsubishi Electric has developed two important GaAs products: lightweight GaAs solar cells, and 3W X-band GaAs FETs. The solar cells feature a wide  $2\times 4\,\mathrm{cm}$  surface area, and are just  $200\,\mu\mathrm{m}$  thick, which gives them an outstanding power-to-weight ratio. The GaAs FETs are a significant development because they enable satellites to employ solid-state power amplifiers in their X-band transponders in place of less reliable traveling-wave tubes. The article introduces the features and discusses future technical trends of these devices.

Mitsubishi Denki Giho: Vol. 61, No. 3, pp.  $73 \sim 76$  (1987)

A New Standardized Residential Elevator

by Hiroshi Yoshikawa, Jun'ichi Tanino, Kenji Yoshida, Yoshito Tsukahara & Yoshiki Sugiyama

Many people already live in housing complexes, and the construction of these complexes is expected to continue. One technology vital to housing complexes is residential elevators. Mitsubishi Electric has developed a new elevator-control system and introduced LSIs to make its residential elevators more reliable, quieter, and easier to use. A new guide rail and installation method have also been developed to simplify the installation procedure and reduce the installation time.

Mitsubishi Denki Giho: Vol. 61, No. 3, pp.  $56 \sim 59$  (1987)

The Fabrication of an On-Board Model of a Magnetic-Bearing Flywheel

by Chikara Murakami, Atsushi Nakajima, Sadao Akishita, Kazuyoshi Yabu'uchi & Kunio lwamoto

A magnetic-bearing flywheel promising for use as an attitude control actuator was tested on-board the three-stage booster H-I vehicle launched in August 1986. The flywheel consisted of a 1.86kg rotor mounted in magnetic bearings with a specially developed two-axis control system. The flywheel was designed to float in the bearing after the rocket reached orbit. The system performed as planned, and the flywheel successfully rotated at 1,000rpm. Mitsubishi Electric manufactured the flywheel and control system, and conducted the tests. The article reports on the components, design, manufacture, environmental testing, and performance evaluation of this experimental system.

Mitsubishi Denki Giho: Vol. 61, No. 3, pp. 77  $\sim$  80 (1987)

Electrical Characteristics of High-Voltage, High-Current GTO Thyristors

by Michiharu Ishido, Masanori Suzuki, Tatsuo Miyajima & Futoshi Tokuno

Because GTO (gate-turn-off) thyristors have the ability to turn themselves off, they outperform conventional high-speed and reverse-conducting thyristors in the power-control systems of electric trains and similar applications. As a result, GTO thyristors now occupy a vital position in the power-electronics industry. The article introduces a 4,500V, 2,000A GTO thyristor developed for the DC choppers and VVVF inverters used in traction applications. The construction, ratings, and application problems of the new device are dicussed.

Mitsubishi Denki Giho: Vol. 61, No. 3, pp.  $60 \sim 63$  (1907)

The Development of a High-Reliability Metallized Substrate for Microwave Integrated Circuits

by Kazuhiro Ban, Takashi Yamanaka, Yukiharu Nishida, Takeji Fujihara & Takashi Saito

The article reports on a high-reliability metallized substrate developed for microwave integrated circuits (MICs). When Cr, Cu, and Au conductive layers were metallized on an MIC substrate and tin-lead solder was used for assembly, a failure rate of 0.1FIT was calculated from reliability data measured at 135°C. The Cr-Cu-Au pattern was formed by a selective plating process. The minimum conductor width and conductor spacing was  $20\mu m$ . The test patterns easily achieved the required  $\pm 3\mu m$  accuracy.

# 巻 頭 言

# 宇宙開発特集に寄せて

1957年のソ連による人工衛星スプートニクの打上げに端を発した人類の宇宙開発活動の発展は誠に目覚しい。150億光年の彼方にまで拡がる宇宙空間を対象として,人類の英知の増進を目的とした宇宙科学研究や通信,放送,気象,地球観測,資源探査など幅広い宇宙の実利用が活発に進められて来た。更に有人飛行の進展と相俟って,宇宙飛しょう体内の微小重力(マイクロ・グラビティ)環境を利用した宇宙材料実験やライフ・サイエンス実験が行われ,宇宙開発の新天地が開かれようとしている。

我が国の宇宙開発は、私共の宇宙開発委員会が策定した 宇宙開発政策大綱に沿って

- (1) 社会的必要性と国力の調和
- (2) 自主性の確保と独自技術の育成
- (3) 国際協力の推進

を基本方針として推進されている。

宇宙科学研究を担当する文部省宇宙科学研究所では昨年3月,ソ連,ESAに伍してハレー彗星探査に成功した「さきがけ」「すいせい」を初めとして,現在までに16個の科学衛星を独自の国産技術で開発したM-ロケットによって打上げている。また実用衛星計画を担当する宇宙開発事業団も通信,放送,気象,電離層観測等の17個の衛星を打上げ,実用に供されている事は衆知の通りである。特に世界にさきがけての準ミリ波20/30 GHz の衛星通信や,放送衛星による高精細度テレビの直接放送などは国際的に高い評価を受けている。

しかし、米、ソ2大宇宙国は勿論のこと、西欧諸国より遅れてスタートし、その総経費も少ない我が国の宇宙開発分野ではその技術水準、産業規模もこれらの諸国に比して進んでおるとは申し難い現状にあった。やっと昨年8月に成功した H-I ロケットによって、宇宙開発事業団を中心に我が国が独自開発して来た液酸、液水エンジン並びに慣性誘導用ジャイロ基準装置が100%の成果を収めることが

宇宙開発委員会委員長代理 東京大学名誉教授

斎 藤 成 文



出来た。最近のスペース・シャトルの事故や欧洲アリアン・ロケットの打上げ失敗などがあい続いたこともあり、この H-I ロケットの成功は内外に大きく報道された。 本年夏に はいよいよ H-I ロケットにより技術試験衛星V型(静止軌道上重量 550 kg)が打上げられ、 数多くの固定、移動通信実験が行われようとしている。

更にこれらの宇宙技術の蓄積を基盤として全段液酸、液水エンジンの2段大型H-IIロケットの開発が昨年より進められている。その性能、経済性が世界最高水準にあることから、既に国際的に大きな注目を浴びている。これと並行してイオン・エンジン等我が国の独自性を発揮した2トン級技術試験衛星VI型とそれに搭載するマルチビーム通信機器の開発が進行中であり、今後の我が国実用衛星の基盤モデルとなるものとして期待されている。

宇宙開発政策大綱の第3番目の柱である国際協力については、上述の国際ハレー彗星探査事業等、宇宙科学計画では数多くの実績を挙げて来たが、実用の面では現在の我が国の国際的地位に相応しい規模のものは皆無であった。幸いにして昭和59年1月レーガン大統領の提唱による宇宙ステーション計画にはESA諸国及びカナダと共に予備設計の段階より参加し、いよいよ本年よりはその3個の宇宙実験モジュールの内の1個を担当し、設計、製作、そして管理、運営に至るまで責任分担を行う国際協力事業に着手しようとしている。文字通り全人類的規模の国際宇宙計画にキーメンバーとしての参加である。そしてこの宇宙基地の共同所有者として人類宇宙活動の新しい進展の一翼を担おうとしている。

宇宙とそは人類に来るべき 21 世紀における夢を与える ものである。その第1歩がまさに踏み出されんとしている 時,我が国産学官の幅広い御理解と御協力を切に願うもの である。

#### 1. まえがき

宇宙は人類の夢であり、あとがれである。このあとがれが文化を生み、科学を進歩させてきた。世界最初の人工衛星スプートニク1号が打ち上げられて既に30年の歳月が流れ、宇宙は我々にとって神の場から科学の場に、望遠鏡の場から直接観測、宇宙利用の場に変わってきた。しかし、宇宙はいつまでも神秘の場、あとがれの場である。

宇宙の実利用には、軌道位置の利用、宇宙環境の利用、非地球資源の利用の三つの形態がある。軌道位置利用は、地球周辺軌道に衛星を打ち上げて全地球的な観測、探査を行うものと、地球自転と衛星の公転周期が一致する赤道上の静止軌道に衛星を打ち上げて無線中継所又は定点観測所として利用するものとがあり、現状では後者

の分野が最も広く実利用に供されている。宇宙環境の利用は、宇宙の微小重力、高真空、太陽 エネルギー を活用して材料・薬品・半導体などの製造を行うものであって、既に、スカイラブ、スペースラブなどで実験が進められ、その成果を受けて宇宙 ステーション、フリーフライヤー などの計画が進められ、次の宇宙実利用の大きな分野と目されている。非地球資源の利用の分野は、太陽 エネルギー・月・惑星などの天体資源を活用した宇宙工場を構築しようというものであり、太陽発電、月 ステーション の建設などの計画がなされているが、まだ実験段階にも至っていない。次世代の宇宙活用の場といえる。

我が国の宇宙開発は、東京大学でペンシルロケットの実験が開始されて以来30年になる。 この間、昭和45年に ラムダロケット によって日本最初の人工衛星「おおすみ」が誕生、世界で4番目の衛星打上げ国になり、その後、ミューロケットによる科学衛星の打上げが継続して

表 1. 国別・種類別人工衛星打上げ数(1)

昭和60年 (1985) 11月30日現在

							1-	-1/3 3	(32)													
国別	米	ソ連	日本	ESA/ ESRO	仏	独	独•仏	英	伊	蘭	スペイン	nt	NATO	豪	中国	En l	インド ネシア	1		アラブ 諸 国	チェコ	合 計
技術開発衛星科 学 術 星	549	1769	9		6 ② 5 (1)②	1 (1) *7 (6)		2 (1) 8 (8)	4 (4)	1 (1)	1 (1)	4 (4)		1 (1)	15	3 1 ①					1	2569 (40)®
月 探 査 機	30	29																				59
惑 星 探 査 機	19	27	2	1											-							49
有 人 宇 宙 船	52	59																				111
通 信 衛 星	145	161	7 (2)		2 (2)	) (1)	2 (2)	4 (4)	l (1)			10 (10)	6 (6)	3 (3)	2	3 (2)(1)		(2)	(1)	2 (1)(1)		361 (39)[10]
気 集 衛 星	49	50	3 (1)	1													0.000					106
航 行 衛 星 (航行・海事)	34																					34
迎 地 衛 星	15			1	4																	19
地珠觀測衛星	8	-							-							2						10
そ の 他	7	.27	2																			36
合 計	1067	2122	32	1	1	(1)	1	1	1	(1)	1	14 (14)		1		9 (2, [1] (3)	(4)	(2)		1		3354 (82) [10] <u>®</u>

- 注:(1) ( )内の数字は、米国以外の国が米国のロケットにより打ち上げた数
  - (2)〔 〕内の数字は, ESA メンバー国以外の国が ESA ロケットにより打ち上げた数
  - (3) ○内の数字は、ソ連以外の国がソ連のロケットにより打ち上げた数
- (4) \* ドイツの人工衛星のうち1個は、フランスのロケットにより打ち上げ
- (5) ソ連のコスモス衛星,米国のミッション不明の衛星は,技術開発衛星として分類
- (6) インテルサットの通信衛星(32個)は、米国の通信衛星として分類

実施されるとともに、50年には宇宙開発事業団の $N_{0}$ ケットによって「きく1号」、51年には初の実用衛星「うめ」、52年には初の静止衛星「きく2号」が誕生して、日本も本格的な衛星利用の道が開かれた。日本の宇宙開発は、自主技術と米国からの導入技術とが極めて有効に生かされた形態で進められ、「おおすみ」の成功から16年で550kg級の静止衛星、技術試験衛星V型及び通信衛星3号を自主技術で開発するまでに成長し、更に6年後にはH-II0ケットによって2トン級静止衛星、技術試験衛星V1型を打ち上げる予定である。これらの開発を通じて衛星及び0ケットの技術力はようやく欧米に比肩するところまで進んできたが、国際衛星市場で重要な問題となる約期と02人に関しては、更に今後一層の縮減努力が必要である。

宇宙利用は、従来の人工衛星による情報提供の手段から、生産手段としての宇宙基地、フリーフライヤーの構築という方向に大きく変わろうとしている。この宇宙の工場化は、地上では得難い等方性結晶、高純度物質の製造など新しい製品の製造工場として注目すべきものであると見られている。宇宙連絡船シャトルの就航はこれらの計画を現実のものとし、既に実験段階から実用段階に移行する時期にきている。我が国でも、米国宇宙基地計画への参加、シャトル利用のフリーフライヤー計画の推進及び理化学実験、材料実験の場としての宇宙利用が大きなウエートを占めるようになってきた。この宇宙基地は、将来の宇宙プラットホーム、宇宙コロニー、月・惑星ステーションなどへの発展の第一歩として欠かすことのできないものである。

宇宙は人類共通の場であり、その利用は我々みんなの生活をより 豊かに、文化を更に進歩させるものでなければならない。国の威信 を懸けた米ソの宇宙開発競争から始まった宇宙開発も、ようやく我 我の生活に密着した宇宙利用の時代に移り、併せて国際協力の場と しての宇宙の時代になってきた。 宇宙 ステーション はその先駆であり、 更に将来に向けて各国が協力しての宇宙利用の道が進められると確信している。我が国も世界の先進国の一員として宇宙開発を積極的に進めていくことが,我々に課せられた責務である。我が国の宇宙開発の一端を担っている当社も,多様化する宇宙利用の発展に対応できる技術力と技術者の育成を更に積極的に進め,全社協力して開発を推進していく必要がある。

#### 2. 衛星開発の現状

#### 2.1 世界の人工衛星

昭和32年10月,国際地球観測年を飾るものとして,ソ連が世界最初の人工衛星スプートニク1号の打上げに成功,翌年,米国がエクスプローラ1号を打ち上げ,人工衛星の時代を現出した。以来30年,人工衛星は揺らん(籃)期の開発時代から実利用の時代に移り,現在では国際通信・国内通信・移動体通信・衛星放送の通信分野・気象観測・地球観測・海洋観測・資源探査の観測分野・磁気圏惑星間空間観測・天文観測の宇宙科学分野に多数の衛星を利用し,我々の生活に密接につながりを持つまでに発展してきた。現在までに世界で打ち上げられた衛星数は約3,500機、このうち約2/3がソ連,約1/3が米国で,その他の国は合わせて1/20に過ぎない。用途別には,技術開発・科学衛星が75%を占め,通信分野が15%,観測分野が10%,技術開発分野のうちで米ソでは60%が運用,40%が宇宙科学及び技術試験衛星となっている(表1.)(1)。すなわち,従来の衛星開発は,各国政府出資,特に米国,ソ連の宇宙開発予算の上に成り立ってきたものである。

#### (1) 通信分野

国際衛星通信は、昭和 37 年 4 月の  $_{FILZS-}$  1 号による大西洋間通信実験に始まり、翌年 11 月には  $_{IU-}$  1 号によって大平洋間通信実験が実施された。 39 年 10 月の東京  $_{IU-}$   $_{IU-}$  の全世界への  $_{IU}$   $_{IU-}$   $_{$ 

利用分班 ·b- · ピスの内容 0) 13.7 150 行り払の独立からり (軌道上前部) · 公泉電話回線 (米 国) (日 (その他) 地域 '85 '90 '95 ・政府機関サービュ圏 · ALASCOM, ATT/TELSTAR, COMSAT-CS-2を別いてがけか ・カナダ: 1973年開始 TELSAT CANADA、ANIK 米国 31 51 60 • 自對向與國 GENERAL, GTE SPACENET, HUGHES, SBS 衛足道信サービスを ・インドネシア: 1975年開始 PERUMTEL, PALAPA 2 6 ・テレビ中鉄回線 RCA, WESTERN UNIONの8つの約別が何 実施中。 (6/4 ・ブラジル: 1985年DH島 EMBRATEL, SETS カナダノオーストラ リア 9 · CATVINIA ピス樹が存在する。 30/20GHz) ・インド: 1982年開始 ISRO, INSAT インドノインドネシア 国内 ・ビデオ会議 1980年代後半にはUICABC, ASC. 1988年別局を目指し ・オーストラリア: 1985年開始 AUSSAT Proprietary Ltd, AUSSAT メキシコ / 南米 10 14 ・ビデオテキストサービス 71-CABLESAT, COLUMBIA, DIGITAL TELE-T、日本的用源的。 ・イタリヤ: 1988年予定 政府, ITALSAT ローロッパ ٥ 8 16 ・データ伝送サービス SAT, FEDRAL EXPRESS, FASSC, GTE 宇宙通信の 2社が ・メキシコ: 1985年開始 政府, MORELOS 中近東/アフリカ 0 12 ·校园 SATELLITE, MMCS, MATIONAL, 理許申問。 ・ドイツ: 1987年予定 西独PTT. POSTSAT その他 im EXCHANGE, RSI, USSSI 00 1221- 6511123 14/12대2供利用認可 ・その他: パキスタン,韓国,アルゼンチン,コロンビア等計画 小計 100 49 131 - 医圆端线网络 INTELSAT, INTERSPUTNIK/INTERCOSMOS (2) インタスプートニク: 加盟国 14 ・1980年代後半には計画として インテルサット 個 · T V中松回線 の2つの国際機構及び3つの地域前側 地球局 16. 約月数 10 (1) ASETA (ラテンアメリカ) 15 15 15 国隊 ・ビデオサービス システムが遅川されている。 (3) アラブサット: 加製国 20 (2) 私は (アフリカ) ユーテルサット 3 3 3 ・IBSトランスポンダリース 地球局 ,衡星数 2 (3) ORION (北大西洋地域) アラブサット 2 2 2 ・インテルネットサービェ (1) インテルサット: 加盟国 109 (4) ユーテルサット: 加盟国 23 (4) PAHALISAT (ラテンアメリカ) ASETA その他 12 0 6 地球局 843, 施瓜散 15 地球局 . 何尔数 3 (5) 太平洋地域システム 小 計 34 40 46 ・映画/スポーツ/教育/音楽/ビ 中電力衛星放送をUnited Satellite BS-2 THIK ASSAULTED . .. 78. 1983 EKRIN ·中国: 1988 CBSC 米国 2 20 40 デオノモの他のテレビ放送 Coma社で実施中。 送を開始。 · 四轮: 1986 TVSAT · (4: 1986 TDF-1 日本 , 6 2 直接的方法 ・一般テレビ放送 1880年後半遅川を予定してCBS, DUSC 19899HCBS-31E F b · ESA: 1987 OLYMPUS ・ルクセンブルク: 1988 LUXSAT ソ理 6 ・四島位テレビ GRAPHIC, BCA, STC, USSB, DVSS, WU-民放も前足放送にお ・スカンジナビア: 1989 NORDSAT・スィス: 1987 TELSAT ローロッパ 12 16 DBSの8社が申請、更に8社参画表明。 西予定。 イタリヤ: 1986 SARIT · 英国: 1986 UNISAT メキシコノ南米 -13 n 25 ・船舶の電話テレックスサービス 船舶斯屋道信業務の提供等を検討中。 · INHARSATASMARISAT, MARECS, INTELSAT ビス等の船舶過信を計画。 その他 12 ・船舶位置過報サービス -V MCSをリースして脚印中。 第二世代としてINMARSAT-II, VOLNA ノルウェー等でも関係な計画が進められ 小 計 55 105 £37 1331 B\$# ・買送データサービス 加盟国 38. 轨道价限 3 (USSR), AEROSAT (CONSAT GENERAL) ている。 インマルサット 航空間の電話テレックスサービス 海岸地球局 20. 約約局 3280 が計算されている。 AUL NY Шb 航法サービス 電話, テレックスサービスが主体 日本では沿岸及び近海船舶に対する AEROSAT 0 0 2 ・選選・教助遺信サービス 真速度データ専用サービス 電話,テレッタス,ファックスサー 小計 17 10 3 àMi ・災害時の緊急流信 現在未運用,1987年以降の運用開始を · ETS-V M M 通信実験 ・カナダ 1989 MSAT 米 国 0 12 28 · 搜索效助活動 目指して、CLMS1, Globesat, HCMSS, (1988) スウェーデン 1990年代 TRUCKSAT カナダ 0 0 節内 個 呼び出しサービス MCCA, McCaw, MSC, MSSI, NAMSAT, TEL E-Xを用いて実験 (1980年代末) ETS-MADAGMA, Air 日太 0 1 2 • 自動車無線資信 STARSAT, SMTC, Skylink, MINASATO 超四面信头数 (1992) その他 0 1 ・緊急医療サービュ 12社が現在FCCに申請申。 小 計 ٥ 13 32 ・未開発地域のユーザサービス

表 2. 衛星通信利用の広がり

国内衛星通信は、47年 11月にカナダが世界最初の国内通信衛星 アニーク 1号を打ち上げ、49年には米国のウエスター 1号、仏・独のシンホニー 1号、51年にはインドネシアのパラパ 1号、52年には日本がさくら 1号をそれぞれ打ち上げて、インテルサットのリースと併せ、各国が国内通信に衛星を利用する気運が急速に高まった。国内衛星通信は、通信未発達地域への通信網の整備という観点から始まったが、米国における衛星通信の急激な伸展から、CATV 伝送・高速データ伝送・TV 伝送などの高度情報サービスの手段として注目されるようにな

った。現在,米国では八つの衛星通信 サービス 網が存在し,更に 12 社の参加が予定されている。日本でも、 58 年から CS-2 を用いて日本電信電話(株)(NTT)が サービス を開始し、 63 年開局に向けて更に 2 社が準備中である。 ブラジル、インド、オーストラリア、 メキシコ、アラブ 諸国、ヨーロッパ 諸国も国内衛星通信網を持ち、 近い将来、中国、韓国、イタリア、西独等も保有する予定である。

衛星放送は、51年1月のカナダ/米国共同のCTS-1の高出力進行波管の伝搬実験に始まり、53年2月には日本が世界初の放送衛星「ゆり」を打ち上げ、直接衛星放送への道が開かれた。現在、日本及び米国で衛星放送サービスが実施されており、西独、スカンジナビア、イタリア、中国、仏、ルクセンブルグ、スイス、英国も計画を進めている。

移動体通信は、54年7月にインマルサット(国際海事衛星通信機構)が設立され、57年にインテルサットVを使用して海事通信サービスを開始した。現在、加盟約40か国、ESA(欧州宇宙機構)のマリサット衛

表 3. 観 測 分 野 の 発 展

		± × ×	・観測分野の光展		
観測分野	利用形態	開 米 国	発 の 現 日 本	その他	将 来 展 望
<b>登</b> 線製測	・国土・土地利用調査 ・農業資源管理 ・林業資源管理 ・鉱物・エネルギー・資源探 査 ・水資源管理 ・火山活動・積雪・降水等の 管理と防災	・アーツ、ランドサット 2~5号を理用して、国際的なデータ解析への参画を呼び掛けてきた。 ・ランドサットの選用は NASAから NOAA に移管されデータ配布は EROS データセンターが行ってきたが、民営化の動きから EOSAT が設立され、6号以降 EOSAT が開発、運用、データ配布を行う。	・ランドサット の データ解析を NASDA 地球観測センターで 実施, リモートセンシング技術 センターでデータ配布を行って いる。リモートセンシング技術 センターでは国外データの入手 配布も併せて実施している。 ・66年2月に日本の地球資源衛星 (ERS-1)を打ち上げるべく開 発を開始。	・ランドサットデータ解析をブラジル、カナダ、スウェーデン、イタリア、インド、オーストラリア、アルゼンチン、南アフリカ、タイ、中国、インドネシアで実施している。 ・61年2月フランスが SPOTを打ち上げ運用・データ処理はCNES、データ配布はスポットイメージ社で実施している。 ・インド IRS-1、61年子定・カナダ RADARSAT 65年予定・ブラジル R-SSAT 66年予定	・資源探査はデータ公開の問題で各 国の権益と機需保持の国際的な際 擦を生じしめる状況があり、国際 的協調が必要。 ・測定精度の向上から10~20mの分 解能を持つ、可視熱赤外放射計、 合成開ロレーダ、200~500mの分 解能のマイクロ波放射計等の搭載 が検討されている。 ・国際的には米国主導型での資源探 査システムからヨーロッパ、日本 等の自力による観測システムの構 築、データ配布の動きが見られ米 国独占がくずれてきた。
海洋製剤	・水産資源採在 ・漁海沢予測 ・経済水域内監視 ・海難設助	・シーサット-1の実験を引き継いでNASAのTOPEX,NO-AAのNOAA-H,DODのNOSSが計画され、64年打上げ予定で開発を進めている。・データ配布は気象システムと同じくNESSが実施しているが民間移管が検討されている。	・62年1月打上げを目指して MOS-1の打上げ準備を進めて いる。 ・運用は NASDA 地球観測セン ター,データ配布はリモートセ ンシング技術センター。	<ul> <li>ESA が 64年 ERS-1 打上げを 予定して開発中。</li> <li>インドはTVカメラ,マイクロ 波,放射計を搭載した Bhas- kara 1,2号を54年,56年に それぞれ打ち上げ観測実験を行っている。</li> </ul>	・我が国の海洋観測衛星 MOS-1システムの運用化、シリーズ化により、定常的な観測データの提供が可能となり、利用分野が拡大すると考えられる。 ・64年以降は米国のシステムも運用され、観測網の確立及びデータ網が設定され定常サービスが可能となる。 ・観測額度も更に向上し、漁海況予報が定率化する。
気条観測	<ul> <li>・気象現象(台風等異常気象) 海洋気象現象の監視</li> <li>・気象予報の情報</li> <li>・気候変励の監視</li> <li>・地球規模の海象現況の監視 通報と予報</li> </ul>	・エクスプローラ、タイロス、ニンバス、ATSの観測実験を経て、極軌道の NOAA、静止軌道の SMS/GOESの各シリーズを開発、実用に供してきた。 ・現在 GOES 2 機、NOAA 2 機を世界気象衛星ネットワークに組み込んでいる。	・52年のGMS「ひまわり」以来 静止気象衛星GMSシリーズを 世界気象衛星ネットワークに提 供している。 ・気象観測データは気象衛星通信 所で受信され,気象衛星センターに転送処理される。処理され たデータは気象庁,日本気象協 会に送られ一般に配布される。。	・世界気象衛星ネットワークは GOES(135 W, 75 W), GMS (140 E), METEOSAT (0° ESA), INSAT(70 E インド), GOMS(70 E ソ連予定) の静止 衛星と NOAA, METEOR (ソ連)の極軌道衛星で構成され ている。	・データ処理配布に関するネットワ
測地觀測	<ul><li>・大陸間位置関係の測定</li><li>・離島位置の測定</li><li>・地穀変動の監視</li><li>・地図作成</li></ul>	・LAGEDSによる世界測地系の 確立,NNSSによる任意地点 の位置決定システムを構成し GPSの運用を計画している。			グローバスポジショニングシステム (GPS)の選用により、位置決定が船 舶、航空機の運航の中に位置付けら れサービス網の拡大、定常化が進む。

星、マレックス衛星をリースして、電話・テレックス・データ伝送などのサ ービス を行っている。また、日本、スウェーデン、ノルウェー 等でも、現在、 船舶通信実験の計画を進め、カナダ/米国では陸域移動体通信実験の 計画を進めている(表 2.)(2)。

#### (2) 観測分野

気象観測は、観測の広域性と高頻度性の点で衛星開発の初期から その有用性が注目され、昭和34年のバンガードシリーズで既に観測が開 始されたが、 本格的には35年4月に打ち上げられた米国タイロス1 号が最初の気象衛星である。 その後、米国の 97022 ~10 号、10 号、10サ 1~9号, ニンバス 1~7号, ATS, ITOS/NOAA 1~8号, SMS/GOES1~6号と引き継がれ、52年には日本のGMS, 3-ロッパの メテオサット が打ち上げられて、世界的な衛星気象観測網が整 備された。現在、 静止軌道上の GMS (日本), GOES 2機 (米国), メテオサット(ESA)及び極軌道上の NOAA(米国) を用いて観測を 続けている。また、インドが インサット を用いて 58 年以来, 東経 70° 地 域での気象観測を行っている。

地球資源観測は、全地球的規模で地形・土地被覆・農林状況・土 壌などを観測して、農林監視、 鉱物・エネルギー 資源探査、水資源管 理に供するもので、47年7月に米国がアーツ1号を打ち上げ、世界 各国にデータの解析利用を呼び掛けて開始された。次いで、50年に は ランドサット, 53年には ランドサット 3号, 57年には 4号を打ち上げ, 米国、カナダ、日本等15か国にデータを提供している。61年には仏 国が スポット 1号を打ち上げ、日本も 66 年に ERS-1 の打上げを予 定している。観測 データは地上で処理復元されるが、 この高速 データ 処理装置に関しては、 既に ラッドサットデータ を基に各国で開発され、 我が国でも NASDA 地球観測 センター を始め、各研究機関、大学な どに設置され、更に処理の高速化が進められている。

海洋観測は、海面温度分布・水色分布・海流・波浪などの測定を 行って水産資源探査・漁海況予報・海難予報などに利用するもので、 53年6月に米国が シーサット 1号を打ち上げて観測系の システムの妥当 性が確認された。この成果を受けて、日本では MOS-1 が計画され、 62年2月に打ち上げられる予定になっている(表 3.)。

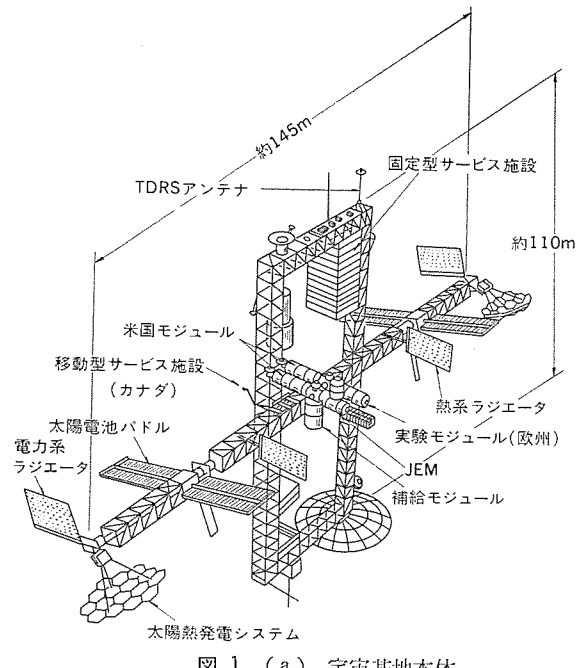


図 1 (a) 宇宙基地本体

#### (3) 宇宙科学分野

宇宙科学は、従来の望遠鏡から衛星による直接観測が可能になっ た点及び大気圏外から裸の天体を観測できる点から, 人工衛星の実 現によって急速に進歩した分野である。この分野の探究は初期段階 から今日に至るまで続けられ、 最初の人工衛星 スプートニク を始めと して、エクスプローラ、パイオニア の各 シリーズ、OSO、コスモス (ソ連)、エー リアル (英)、アルエット (カナダ)、OGO、サンマルコ (伊)、OAO、 オーロラ HEOS (ESA), ISIS (カナダ), AZUR (独), しんせい (日本) な どの科学衛星 シリーズ が続けられてきた。一方、月探査のための ルナ (ソ 連),パイオニア,レインジャー,サーベイヤー,ルナオービター, ゾンド (ソ 連) などによる探査が続けられ、惑星やすい星には金星(ソ連)、マリーナ、 火星(ソ 連)、パイオニア、バイキング、ボイジャー、ガリレオ、ジオット (ESA)、 すいせい(日本)などのシリーズが投入されて探索が進められた。と れらの観測の成果は、 エクスプローラ 1 号による バンアレン 帯の発見 (33 年)を始めとして、地球磁気圏、惑星間空間の構成の明確化、月・ 惑星の大気構成及び地殻構造,太陽プラズマ,X線星の発見など,非 常に大きな貢献をなし、今日の宇宙物理学の隆盛を来した。日本も、 「おおすみ」に続く「しんせい」以来、「でんぱ」「たいよう」「きよ っこう」「じきけん」「はくちょう」等の科学衛星を打ち上げ、多大 な成果を挙げてきた。

#### (4) 材料・ライフサイエンス 分野

宇宙は、微小重力・高真空・太陽 エネルギー の地上では得難い環境 を持っている。このため、宇宙の工業利用に関しては早くから関心 が持たれていたが、回収技術の点から有人宇宙船を用いた宇宙実験 の形で進められた。昭和46年のアポロ14~17号での材料実験はその 最初の試みであり、48年にスカイラブ1~4号が打ち上げられて本格 的な材料加工、 理化学実験が実施された。 47年の ニクソン 大統領の スペースシャトル 計画の発表は宇宙工場実現への第一歩となり、ソ連の ソユーズ/サリユート 計画と シャトル 計画とが この分野の技術推進の母体 となった。56年、スペースシャトル 1号の打上げに成功。 58年11月に はスペースラブ1号によっての科学実験,60年4月には3号による材 料・ライフサイエンス実験が実施された。日本も、このスペースラブを借り

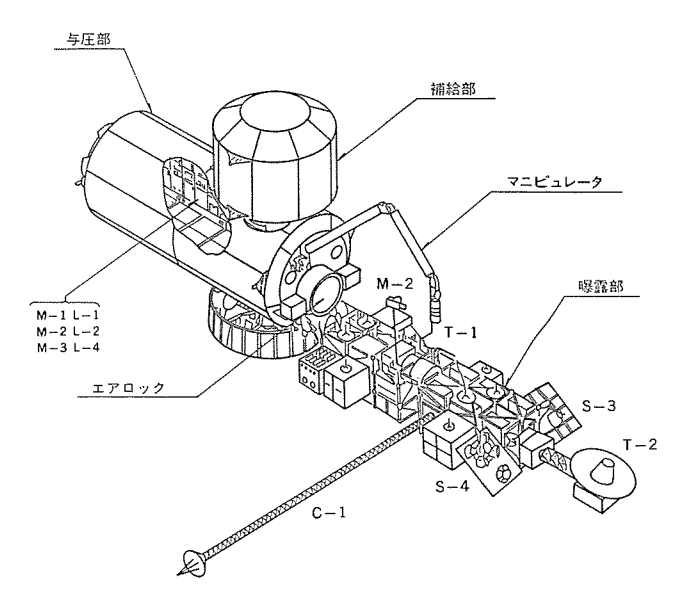


図 1 (b) 日本 モジュール (JEM)

て第一次材料実験(FMPT)を 63 年に実施すべく進めていたが, 5+hル 事故による計画見直しのため 66 年の実施予定になった。 59 年の年頭教書で,  $\nu-n$  大統領が恒久的宇宙基地の開発を NASA に指令, 57 年から続けられていた NASA 宇宙基地計画が本格化するに至った。 その概要は,  $\lambda^2-\lambda^2+h$  を利用し, 高度約  $500~\mathrm{km}$  の周回軌道に恒久的な多目的施設を建設するもので,代表的な機能としては以下のものをもっている。

- (a) 宇宙環境を利用した実験室及び製造施設
- (b) サービス施設,組立施設
- (c) 長期観測施設
- (d) 宇宙輸送の中継点, 貯蔵基地

この宇宙基地計画に欧州、日本、 カナダが参画、 日本は基地本体 取付型日本実験 モジュール を開発することになった(図 1.)。

#### 2.2 我が国の人工衛星と当社の現状

我が国の宇宙開発は、昭和35年に宇宙開発審議会が設置され、東京大学の宇宙科学研究と科学技術庁の宇宙利用開発を並行して進めることを決定、その推進母体として、39年に東京大学宇宙航空研究所、科学技術庁宇宙開発推進本部が設置された。これを受けて、東京大学のラムダ、ミューロケット、科学技術庁の打上げ用ロケットの開発が本格化し、ロケットの打上げ実験が続けられた。このような情勢の下で、当社は35年から東京大学のトラッキングレーダアンテナの開発、科学技術庁のロケット搭載用テレメトリ・コマンド装置の開発、KDD地球局アンテナ装置の開発に参画した。40年代に入り、東京大学に衛星研究会が組織され、ラムダロケット搭載用の小型衛星の研究が進められた。また、米国TRW社がインテルサットⅢを受注、当社が電力制御器とシャントの製造・試験を担当することになった。42年には宇宙開発審議会が宇宙開発の長期計画と体制について答申し、翌年には宇宙開発審議会が宇宙開発の長期計画と体制について答申し、翌年には宇宙開発審員会が設置された。

41年には、東京大学がミュー1型1号機の飛しょうテストに成功、 5ムダ計画に替わるミュー計画が開始された。米国における国際衛星通信の成功は、通信手段としての衛星開発の重要性を高め、郵政省電波研究所、日本電信電話公社、NHK、運輸省電子航法研究所などで通信衛星に関する研究が一斉に進められ、日本も通信衛星を早急に開発することが要望された。その中で、43年に電波研究所が電離層観測衛星の開発を決定し、本格的な実用衛星の開発を進めることになった。電離層観測衛星(ISS)は、電離層の世界分布、臨界周波数の測定を行って、短波通信の予報を行うことを目的とした衛星で、44年に当社が主契約者となり、日本電気、東芝、日立、富士通、松下通信、沖電気の各社が協力して開発した衛星である。

同年10月,宇宙開発事業団が設立され,日本の宇宙開発は,宇宙利用のためのISSを含む実用衛星の開発及び打上げロケットを事業団で,宇宙科学研究のための科学衛星及びその打上げロケットの開発を東京大学で,それぞれ進めることになった。45年2月,東京大学はラムダロケットで「おおすみ」の打上げに成功し,日本は世界で4番目の人工衛星打上げ国となり,46年にはミューロケットで「たんせい」「しんせい」の打上げに成功し,東京大学の科学衛星打上げは定常的に進められるようになった。宇宙開発事業団による打上げロケットの開発は,自主技術によるQロケットの開発を進めていたが,衛星ユーザー側からの静止通信衛星の早期実現の要望を受けて,米国ソーデルタの技術を導入したNロケットの開発を進めることに変更,N計画を推進した。実用衛星としては,Nロケット打上げ技術,追跡管制技術,伸展アンテナ実験を目的とした技術試験衛星I型(ETS-I)

の開発を ISS と並行に進め, 48 年には静止軌道への投入技術, 軌 道・姿勢保持技術,通信機器の性能試験を目的とした技術試験衛星 Ⅱ型 (ETS-Ⅱ) の開発を開始した。N計画は,50 年 9 月に ETS-Ⅰ, 51年2月に ISS, 52年2月に ETS-II の打上げに 成功し,特に ETS-Ⅱ の打上げによって日本も静止衛星を打ち上げる能力を持つ に至った。 その後, 打上げ能力を向上させた N–II 計画で 350 kg 級の気象・通信・放送の各2号静止衛星を打ち上げ(56~58年), 更に 550 kg 級の静止衛星を打 ち 上 げる能力を持った H-1 計画を 進め, 62 年 8 月には ETS-V, 63 年 2 月及び 8 月には通信衛星 3 号 (CS-3)を打ち上げる予定である。当社は、これらの衛星開発にお いて電離層観測衛星 (ISS)・技術試験衛星Ⅱ型 (ETS-Ⅱ)・実験用 中容量静止通信衛星 (CS) · 実験用静止通信衛星 (ECS) · 技術試験 衛星Ⅳ型 (ETS-IV)・通信衛星2号 (CS-2) の開発を主契約者と して担当し,更に現在,技術試験衛星V型 (ETS-V)・通信衛星 3 号 (CS-3)・地球資源衛星 I 型 (ERS-1) の開発を主契約者とし て進めている。また,サフラシステム では,ETS-Ⅲ の イオンエンシン・能動 熱制御実験機器・VHF トランポンダ・海洋観測衛星 (MOS-1) の姿勢 制御系・マイクロ波放射計・プラネット A の CFRP 構体を担当した。こ の間, ETS-II, ECS, CS, CS-2 の開発に際しては、米国 フォード エアロスペース&コミュニケーションス社 (FACC) の技術支援を受けるととも に,自主技術力の向上に努め,現在では 550 kg 級の静止衛星 ETS-V,CS-3 及び 1.4 トン の低高度観測衛星 ERS-1 を自主技術で開発 するに至った。

FACC との協力関係は、国際 プロジェクトへの当社の進出を可能にし、インテルサット-V での Cバンドグローバルアンテナ、電力制御器、テレメトリュニット、コマンドユニットの製作担当、更には アラブサット での同様な分担など、継続的な協同開発が続けられた。

#### 3. 将来展望

世界の宇宙開発は、国家威信を懸けた米ソの開発競争の時代から 商業 ペース での開発に移行して, 人工衛星による通信・観測・宇宙 科学の各分野で宇宙利用の一つの道が花咲き, 衛星技術も ニース に 対応できるところまで発展した。 商業 ペース での最大の壁は宇宙利 用 コスト である。宇宙連絡船 シャトル の就航は コスト 低滅化の一つの試 みであったが,実際には設定価格以上の費用が生じ,運航が定常化 しても現在の設定価格よりも低減することが難しいのが現状である。 ヨーロッパの アリアン は, 従来の使い捨て ロケット で シャトル に対抗する 価格で打上げを行い,米国の市場に進出した。日本の H-Ⅱ 計画は, 大型打上げ ロケット に適した コストパフォーマンス の良い 技術を 駆使して 打上げ費の低減を図り,この市場に進出しようとしている。商用衛 星の分野においても コスト の問題は非常に厳しく,従来, 製品費の 2 倍程度の開発費が国際的に一般的であったが、既存技術の流用と いうことから,開発費が認められなくなってきた。このため,従来 にも増して得意な技術力の強化と システムの構成力とが必要となって きた。日本もようやく,設計開発技術力の点では欧米に比肩すると ころまで到達できたが,既存技術で欧米の最先端技術衛星に対応で きる力を持たなければならない。将来の衛星市場を考えた場合,国 際競合と協力は避けられないものであり,当社としても更に技術力 の向上に努力を傾けている。

宇宙連絡船の運航は宇宙利用の分野を大きく広げた。すなわち、 従来は使い捨てロケットによって地球周辺又は惑星間空間軌道に衛星 を置き、 観測 データ の取得と伝送及び無線中継場所として情報伝送 に利用してきた。しかし、連絡船の就航は、宇宙を往還システムの中に位置づけることを可能にし、製品の製造場所としての宇宙の意義を大きくした。宇宙開発の初期から有人宇宙船の開発で往還システムは開発してきたが、シャトルの就航はこれを一般的なものにし、参画者の範囲を大幅に広げた。これは、宇宙工場の実現の第一歩として非常に大きな意味を持っている。このことによって、材料・半導体、薬品などの製造工場、宇宙天文台、恒久的な宇宙基地、エネルギー生産工場、地球の定常的な監視体制などの実現が現実の青写真として描かれるようになった。21世紀初頭には、これらのシステムが現実化するものと期待されている(表 4.)(3)。

日本も、米国の宇宙基地計画への参加、シャトル 利用の材料実験計画、往還 システム を有効に利用した フリーフライヤー 計画と、世界に歩調

表 4. 将来の宇宙活動の目標—1980年から 2000年にかけて(3)

		1300				
	基本的な人類のニーズにとたえる 地球に関する活動	人類文化のニーズにこたえる 地球に関する活動				
農林資源の生産と管理	<ul><li>・世界穀物生産予報</li><li>・水利予報</li><li>・土地利用と現境評価</li><li>・海洋生物資源評価</li><li>・木材資源目標</li><li>・放牧地評価</li></ul>	宇宙の性質	・いかにして宇宙は始まったか ・いかにして銀河系は形成され進化 したか ・準星(Quasars)とは何か ・宇宙は永久に拡張をつづけるのか ・重力の性質は何か			
環境の予測と保護	・広域天気予報 ・気候修正実験支援 ・気候予知 ・成層圏の変化と影響 ・水質監視 ・世界海象予報	物質の運命	・星の爆発の本性 ・ブラックホールの本性 ・元素はどとで、いかにして形成されるか ・宇宙線の本性は何か			
生命と財産の保護	・局所気象と荒天 ・対流圏汚染監視 ・現場測定による災害予報 ・通信・航行 ・地震予知 ・皆虫の制御	星のライフサイクル	・星間物質の組成とダイナミックス ・星間窓(Intersteller Dust)は なぜ、どのようにして恒星や惑星 に凝縮していくか ・太陽活動の性質と原因 ・コロナ及び惑星間プラズマ ・太陽の完極の運命は何か			
び鉱物探査	・宇宙における太陽エネルギー発電 ・衛星による電力中継 ・有害廃棄物の宇宙投棄 ・世界地質地図	太陽系の	・太陽系の形成の間どんなプロセス が生じたか ・どのようにして惑星,巨大衛星及 びその大気は進化するか			
情報の伝達	・国内通信 ・大陸問通信 ・個人通信	進化	・どのようにして大気ダイナミック スは定量化できるか ・磁場の起源と歴史			
宇宙環境の利用	・基礎物理・化学 ・材料科学 ・工業用無機材処理 ・生物材の研究と利用 ・地球生物への重力の影響 ・宇宙における生活と作業 ・生理学と病理家庭	生命の起源と未来	・地球上に生命はどのようにして発生したか ・太陽系には地球以外に生命は在るか ・宇宙にはどのような有機化学的現象が生じているか ・他の恒星は惑星を有するか			
地球科	・地球磁場 ・地殻力学 ・海洋内部とその力学 ・低層大気の力学とエネルギー学 ・成層圏及び中間圏の構造, 化学,					
学	カ学・電難層と磁気圏の連成					

を合わせてこの新しい宇宙利用分野に積極的に参加しようとしている。更には日本自体の有人往還 システム の開発も検討している。宇宙は人類共通の資源であり、日本としても更に積極的な宇宙開発への投資を考えていかなければならない。

#### (1) 通信分野の展望

国際固定衛星通信は、21世紀初頭において約75万回線の需要が見込まれている(๑)。これを補うためには750本以上のトランスポンダが必要で、衛星は当然2~4トン級のものを準備する必要がある。しかし、ヨーロッパ/中東における国内通信及び地域通信衛星の活用によって国内通信へのインテルサットのトランスポンダリースが滅じ、また、国内通信に対抗するためにはサービスの多様化を図る必要があることから、1トン級衛星の複数化という案が強く出され、次期インテルサット衛星でその選択が迫られている。いずれにしても、昭和66年には後続衛星が必要であり、後続機に何を使用するか、インテルサット別は大型か小型かが近い将来に決定されるであろう。

国際移動体衛星通信は、最近急激に需要が伸びてきた分野であり、現在の電話、テレックスの延長だけでも 21世紀初頭には 2,500回線程度の需要が見込まれている (4)。 通信容量としては 550 kg 級の衛星で十分であるが、高出力送信管を使用することを考えれば 1トン級衛星が使用されるようになる。

国内・地域固定衛星通信は、現在、カナダ、米国、インドネシア、日本、インド、オーストラリア、ブラジル、アラブ諸国、ヨーロッパ 諸国等で55 機の衛星が利用されている。21 世紀初頭には、中近東、南米、アフリカ、アジアの諸国も保有する計画であり、世界で150 機程度の衛星が打ち上げられる予定である。特に、南米、アジア諸国の GNP の伸びによる通信需要の急激な増加への対応として、衛星通信の利用が期待されている。また、米国、日本の通信先進国では、電気通信事業の自由化への対応として衛星通信企業体が急速に増加した。衛星規模も、打上げロケットの能力向上と合わせて従来の550 kg 級から800~1,300 kg 級の衛星が主体となってきた。現在の打上げ手段の動向から見た場合、21 世紀初頭においてもとの傾向が維持され、更に TV会議などの動向から 2 トン 級衛星も投入されると考えられる。

直接衛星放送は、日本、米国で運用されているが、ヨーロッパ諸国、メキシコ・南米諸国も計画を進めている。 このため、近い将来に急激に普及し、21世紀初頭には約100機の放送衛星が利用されるようになると見込まれている。衛星放送は、発展途上国における教育普及の手段、先進国における番組の多様化への対応手段としては回線設定の容易性、アクセスの均一性の点で優れ、今後、更に全世界に普及していくものと期待できる。

国内移動体通信は、広域性を持った衛星通信の主要な市場である。対象としては、各国経済水域内の船舶通信と陸域移動体すなわち自動車無線である。との分野は、地上装置の小型、低価格性が特に要求されるため、衛星に大型 アンテナ、高出力送信管が必要となり、従来の打上げ機ではサービスが難しいのが現状であった。しかし、1~2トン級衛星の実現により、将来の大きな分野として脚光を浴びている。現在、カナダ、米国で計画が進められており、船舶については日本、スウェーデンで実験を進めている。21世紀初頭には、米国、カナダ、日本、スウェーデンで実験を進めている。21世紀初頭には、米国、カナダ、日本、スーニーデンで実験を進めている。21世紀初頭には、米国、カナダ、日本、スーニーのパで30機余の衛星が実用化されると考えられている。

#### (2) 観測分野の展望

地球観測は、21世紀に向けての地球の厳しい環境保全、農作物の 確保、資源・エネルギー維持に関して、地球的規模によってこれを監 視、管理していくという人類共通の利用 システム である。これには、 気象・地球資源探査・海洋観測・防災などの衛星 システム が含まれ, ますます荒廃化する地球に対して欠くことのできない技術である。 しかしながら、利用機関が多岐にわたり、国際間の権益問題、地球 科学の探究などを考えれば、 政府機関による継続的な プロジェクト と して今後も進めていくことが望まれる。米国は、ランドサット及びマグ サットによる資源探査の継続及び発展, GOES,NOAA による気象 観測の継続及び観測系の性能向上, TOPEX,NOSS による海洋観 測,ERBE,UARS による地球環境監視の実施と, 21 世紀に向け て観測体制を強化している。フランスは、SPOTを打ち上げ、このデ -タ 利用を スポットイメージ 社に委託する形態をとっている。ESA は, 昭和 62年に リモートセンシング 衛星 ERS-1 の打上げを計画し、データ受 信・処理・配布のための ネットワーク を形成している。日本は、 62年 2月に MOS-1, 66年には ERS-1 の打上げを予定しており、こ れらの衛星の シリーズ 化を目指し、2号以降は観測精度を向上させた 大型化を計画している。 更に 70 年代には, 観測技術の向上を図っ て静止地球観測衛星 GEOS シリーズ を検討している。 21 世紀初頭に は、各国の地球観測 システム が国際協調の下に整備され、それぞれの データ処理網が完備されて地球規模での監視 システム が実現すること を願っている。

#### (3) 宇宙 ステーション 及び宇宙 プラットホーム

昭和69年に設置される米国宇宙基地の計画は、それ自体の材料 実験, 理化学実験の恒久的な宇宙 ステーション という意味と併せて, 低軌道においての宇宙 プラットホームの組立 ステーション、 補給 ステーション の意味合いをもっている。宇宙における大型宇宙構造物の製造及び 組立の ステーション を持つことは、 宇宙利用の上で従来と全く違った ァプローチ が可能となる。すなわち、 通信及び観測用の アンテナ 一つ取 り上げても、 従来の展開方式では 20 m 級のものが限度であったが、 宇宙で組み立てるということであれば、100mでも、 場合によって は 1 km 級のものでも製作が可能となる。この構造物を軌道間輸送 機を用いて静止軌道に投入し、静止 プラットホーム を形成すれば、通信 プラットホームとして従来とは全く違った通信サービスを提供することが 可能となってくる。 低軌道 プラットホーム にして観測 システム を形成す れば、 観測精度は飛躍的に向上する。 シャトル の打上げ費は、 現在 83 M \$ 約 150 億円で、低軌道であれば約 30 トンの貨物を投入でき る。すなわち、50万円/kgで宇宙 ステーション に近いところに置くこ とができる。 この荷物を、 それ自体の誘導制御機能又は ステーション 付属の横持用の テレオペーレタ を用いて ステーション まで運び、ステーション のポート に ドッキング して材料を搬入する。

宇宙 ステーション 自体に テレオペレータ があり、 マニピュレータ で ドッキング させ得るとすれば、それほど コスト はかからない。 すなわち、宇宙 ステーション 内に 60 万円/kg 程度で材料を補給することは可能という ことになる。地上では得られない微小重力場・高真空・太陽 エネルギー により、これでペイ する材料・半導体・薬品が得られるとすれば、宇宙材料工場は成り立つ。 21 世紀初頭には宇宙基地は完成しており、十分にこれらのことが可能となっている。

#### 4. む す び

宇宙開発は我々の生活に直結した技術革新であり、人類共通の課題である。この論文では、宇宙利用という観点から現在の開発の状況と21世紀に向けての展望について述べたが、現在、宇宙開発は米ッの絶対的な優位性がくずれて国際的な協力の時代へと移りつつある。この中で、日本も後追いの立場から特徴のある技術力をつけて国際的な市場に参加し、先進国の一つとして技術開発をリードしていかなければならない。日本の宇宙開発もようやく自分の足で歩き、明日に向かって羽ばたく時代を迎えた。明日の宇宙は限りなく広く、深い。そこには無限の可能性と新しい世界、新しい真理が秘められている。約50億年の地球の歴史の中で、1,500万年で人類は脱地球の道を開いた。その一翼を担うために、我々は全力を傾けて開発を進めたい。

#### 参考文献

- (1) ISCS BULLETIN No. 8, 国際衛星通信協会 (1986)
- (2) SATELLITE SYSTEMS DIGEST Satellite Systems Engineering INC (1985)
- (3) OUTLOOK FOR SPACE NASA SP-386 (1976)
- (4) WORLD ENVIRONMENT AND SATELLITE COM-MUNICATIONS 1978–2003 A REVIEW OF OPPORTU-NITES Future Systems Incorporated (1978)
- (5) FUTURE GLOBAL SATELLITE SYSTEMS FOR IN-TELSAT AIAA 82-0541, W. R. Schnicke, J. E. Board. J. B. Binckes, L. C. Palmer, J. E. Martin Communications Satellite Corp. (1982)

# 技術試験衛星 V 型(ETS-V)

村山英敏\* 笠井鯉太郎\*\* 筒井 修\* 石井 豊彦\*\* 山田重雄\*

#### 1. まえがき

技術試験衛星 V 型 (ETS-V) は、3 段式 ロケット H-I 1 号機によ って1987年8月に打上げが予定されている国産初の静止三軸衛星 である。この衛星の開発の目的、システム の特性、主要 バス 機器であ る熱制御系・構体系・電源系設計の概要及び主要 ミッション 機器であ る移動体通信実験機器 (AMEX) の概要について述べる。

# 2. システム概要

#### 2.1 開発目的

ETS-V は、①静止三軸制御の標準衛星(バス衛星)の バス機器 に関する基盤技術の確立、②大型実用衛星の開発に必要な自主技術 の蓄積, ③H-I 3 段式 ロケット 初号機の性能確認, ④航空機の太平 洋域での洋上管制・船舶の通信・航行援助・捜索救難などのための 移動体通信実験を行うことを目的として開発される。 国産初の550 kg 級の静止三軸衛星である。第一の目的である静止三軸衛星 パス の基盤技術確立のため、ETS-V では下記の開発を行っている。

- (1) データバス 方式の テレメトリ トラッキング 及び コマンド 系 (TT&C)
- (2) 非安定電源 バス 方式の電源系 (EPS)
- (3) 電源系の軽量太陽電池 パドル

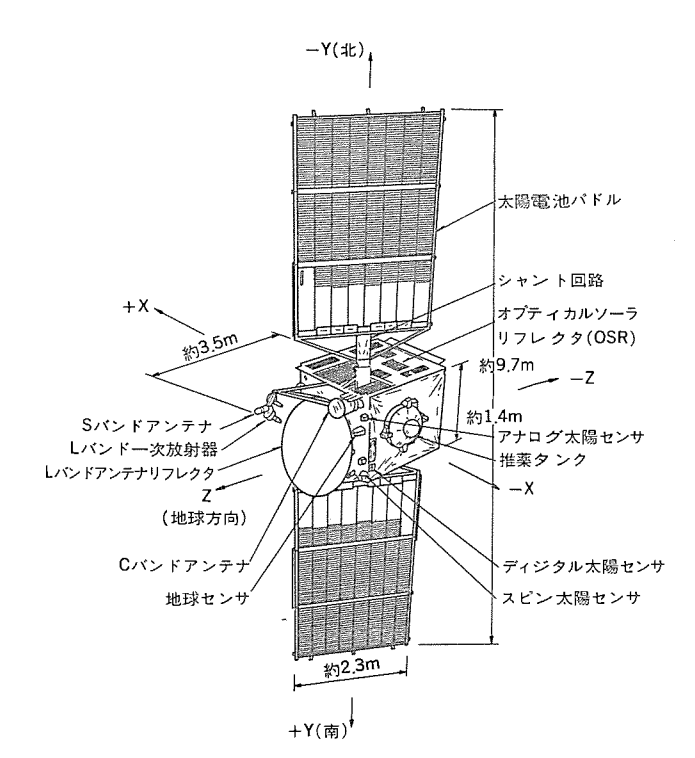
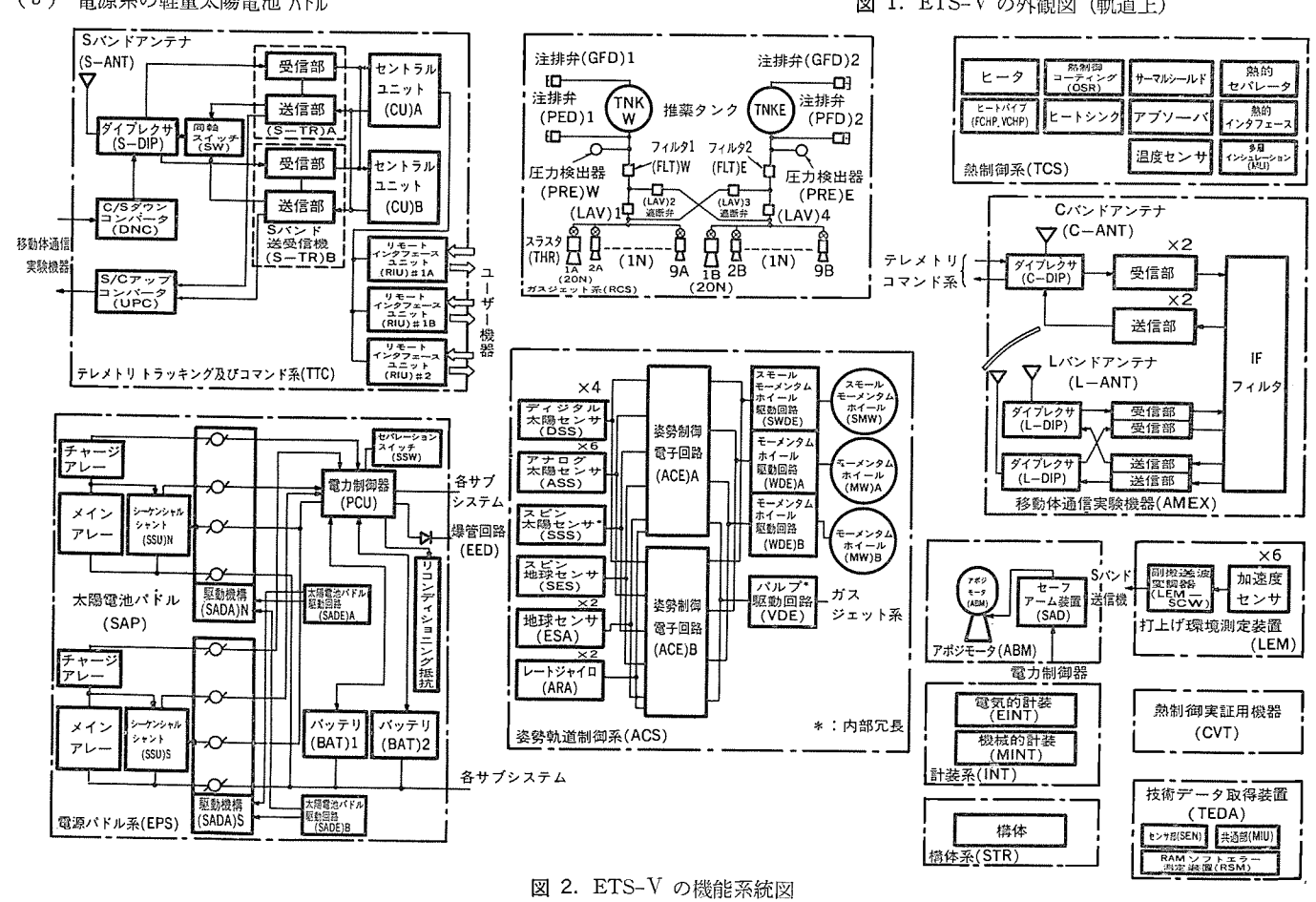


図 1. ETS-V の外観図 (軌道上)



- (4) 権体系 (STR) の軽量 スラストシリンダ
- (5) ヒートパイプ 及び オプティカルソーラリフレクタ を用いた熱制御
- (6) ガスジェット 系 (RCS) の表面張力 タンク など
- (7) アポジモータ (ABM)

また、第二の目的である将来に備えた新規技術として、技術データ 取得装置(TEDA)及び熱制御実証用機器(CVT)を開発している。 これらは AMEX を含め、それぞれ世界のトップレベルの技術として ETS-V に組み込まれ、最終的に フライトによってその機能・性能が 確認される。

#### 2.2 システム特性

ETS-V の静止軌道上での外観図を図 1. に示す。また,ETS-V の機能系統図を図 2. に,主要特性を表 1.,電力特性を表 2.,重量配分を表 3. にそれぞれ示す。 これらに示すように,衛星の打上げ時の重量は 1,096 kg,静止軌道上での初期重量は約 550 kg である。形状的には,太陽電池 パドル の両端間で約 9.7 m,衛星下端から アンテナ 上端までの高さは約 3.5 m である。 発生電力は,打上げ初期で約 1,080 W,1.5 年後の ミッション 終了期で約 845 W である。ETS-V は,現在,フライト 品の性能試験が実施されており,これらの特性を満足する結果を得ている。

#### 3. 熱, 構体及び電源系の設計の概要

ETS-V の主要 パス 機器である熱制御系、 構体系及び電源系の設計の概要について述べる。

これらの各機器は、衛星本体の一部として熱構造 モデル (STM)、エンジニアリングモデル (EM) に組み込まれ、 試験が実施され、その性能が実証されている。特に構体系については、 フライト 衛星である プロトフライトモデル (PFM) でもすべての試験が完了し、規定の性能が実証されている。また、電源系についても、初期の電気性能試験が完了し、所定の性能が得られている。 熱制御系は、STM での試験結果を反映した設計による PFM での熱真空試験を終了し、所定の性能を確認している。

#### 3.1 熱制御系設計の概要

ETS-V の熱設計は、ヒータ、ヒートパイプを使った能動制御方式とオプティカルソーラリフレクタ(OSR)、サーマルインシュレーション、サーマルペイントなどを使った受動型制御方式の両方を使用した併用方式によって行っている。とこでは、その熱設計の概要について述べる。特に、排熱の方法、高発熱機器に対する制御方式及び発生電力の少ないトランスファ軌道時の熱設計に分けて述べる。

#### (1) 排熱方式

衛星の熱設計において最も基本となるのは、衛星内の発熱の排熱 方式である。ETS-V の排熱方式は、衛星本体の南北面に OSR を 張り付け、これを主放熱面とし、 他の面は多層 インシュレーション で断 熱する設計としている。また、衛星内に搭載される機器の排熱方式 は、各機器の発熱密度(発熱量/有効放熱面積)に応じて、

- (a) 機器の裏面に OSR を付けず、衛星内の放射熱交換による 熱制御
- (b) 機器の裏面に OSR を付け、宇宙空間へ直接放熱する熱制 御
- の分類を行い, 高発熱密度機器に(b)の方式を適用している。

#### (2) 高発熱機器の熱制御方式

ETS-V の  ${\tt EUDIDD}$  機器には,高発熱機器である AMEX がある。また,将来の通信・放送  ${\tt EUDIDD}$  に対応するために,それらの発熱

表 1. ETS-V の主要特性

	表 1. ETS-V の主要特	性
項目	機能・性能	備考
形 状	直方体 1.4 m×1.67 m, 高さ 1.74 m 打上げ後, 太陽電池バドルを展開 打上げ時 約 1,0% kg 寿命末期 約 530 kg	・H-I ロケット 3 段式に 適 合
軌 道	静止軌道 東経 150 度	保持精度:経度、緯度とも ±0.1度以内
ミッション期間 信 類 度	1.5年 打上げ 1.5年後において, 0.86以上 但し, 搭載実験機器及び打上げ環境 測定装置は除き, ABM を 0.9とし たとき	要求値 0.80 以上 目標値 0.85 以上
電源バドル系 (EPS)	本陽電池バドル 構成 南北 2 図の股開型 セミリジッドバドル バネル牧数 3枚/図 セル数 約10,400枚 発生電力 約845 W(EOL 夏至) バッテリ 個 数 2 台 使用セル 国産 NiCd セル 20 セル/台 バス電圧 日照時 29.0±0.5 Vdc 日陰時 21.4~29.5 Vdc	パネル寸法 2.3 m×1.2 m Si BSFR セル 2 cm×4 cm 定格容量 約 13.5 AH/台 最大放電深度 60 % 以内
姿勢制御系 (ACS)	コントロールドバイアスモーメンタム 方式による三軸姿勢安定方式 遷移軌道ではスピン姿勢安定方式 姿勢精度 ロール軸 ±0.072 度以内 (3 σ) ピッチ軸 ±0.072 度以内 (3 σ) ヨー 軸 ±0.40 度以内 (3 σ)	(バックアップ) バイアスモーメンタム方式 海星分離後 90±9 rpm センサ誤差, アライメント 誤差等を含む。
テレメトリトラ ッキング及びコ マンド系 (TTC)	S バンド USB 方式による TTC 機能 テレメトリ 2,280.721 MHz コマンド 2,100.164 MHz レンジング 上り回線 2,100.164 MHz 下り回線 2,280.721 MHz C バンドによる TTC 機能	レンジングは除く
ガスジェット系 (RCS)	モノプロペラント ヒトラジン プロー ダウン方式 推進搭載重量 (制御必要量) 約 58 kg	表面張力式タンク採用 遷移軌道投入 誤差 ±3 σ を 考感
構 体 系	CFRP モノコックシェル 構造の中央 円筒及びパネルモジュール方式	第 1 次固有振動数 (PAF を含む) 横方向 17 Hz, 軸方向 55 Hz
<ul><li>熱制 御 系 (TCS)</li><li>アポジモータ</li></ul>	ヒートバイブ及びヒータによる能動型 制御と従来の受動型の併用 国産固体推薬モータ	
(ABM)	比 推 力 294.3 kgf·s/kg 最大推力 4,000 kg	
搭載実驗機器 移動体通信実験 機器 (AMEX)	<ul> <li>航空海上通信実験機能</li> <li>Lバンドトランスポンダ 2系統</li> <li>Cバンドトランスポンダ 1系統 (フル冗長)</li> <li>ビーム中心</li> <li>N:37°N・161°E,</li> <li>S:5°S・137°E</li> <li>アンテナ指向精度要求</li> <li>±0.5度以内(3σ)</li> </ul>	
熱制御実証用機器 (CVT) 打上げ環境測定 装置 (LEM) 技術データ取得 装置 '(TEDA)	せい.3 度以内 (3 o) ミッションパネルの排熱能力を実証するための機器  データチャネル 6 ch 最大測定加速度 ±20 G (4~6 ch), ±5 G (1~3 ch) 測定項目 ・放射線波曝量 ・64 KBIT RAM ソフトエラー ・帯電量, 放電頻度 ・IC, 太陽電池セル及び熱 制御材料の劣化量 ・パドル振動	打上げ時 6 ch, AMF 時 2 ch

表 2. ETS-V の電力特性表

(1986, 5)

	1	電力	配 分 (W	")	
項 目	遷移軌道	定常(夏至)	定常(秋分)	定常(日陰)	-
テレメトリ コマンド系 (TTC)	38.6	44.2	44.2	38.5(44.3)	
Sバンドトランスポンダ	21.0	21.0	21.0	20.8	受信器: 3.8W 送信器: 17.2W 17.0W(日陰
S/C アップコンバータ		3.7	3.7	(3.8)	
C/S ダウンコンバータ	}	1.9	1.9	(2.0)	
セントラルユニット	12.8	12.8	12.8	12.7	オペレート (平均):9.0W 8.9W(日陰)
リモートインタフェースユニット	4.8	4.8	4.8	5.0	OFF モード(平均): 3.8W オペレート: 3.2W 3.3W(日覧 スタンバイ: 1.6W 1.7W(日覧
電源系 (EPS)	7.1	9.5	9.5	<u>18.1</u> (19.4)	日陰時:
電力制御器	4.7	7.1	7.1	15.7(17.0)	バッテリ電圧 24V
シャント回路	2.4	2.4	2.4	2.4	ダイオードロス 0.8℃
姿勢制御系 (ACS)	11.9	42.3	42.3	41.3	
スピン地球センサ	2.3	0.1	0.1	0.1	
ディジタル太陽センサ					姿勢軌道制御時: 2.2W
バルブドライバ(スラスタ非動作時)					姿勢軌道制御時:65.7W(最大
地球センサ レートジャイロ	0.3	3.8	3.8	3.8	
モーメンタムホイール及び WDE	1.4	16.6	16.6	15.9	ランナップ時:77W(最大)
スモールモーメンタムホイール	0.7	15.3	15.3	15.0	ランナップ時:71W(最大)
及び SWDE	THE PROPERTY OF THE PROPERTY O				
姿勢制御電子回路	6.5	6.5	6.5	6.5	
スピン太陽センサ	0,7				
アナログ太陽センサ					
バドル系 (SPS)		15.5	15.5	15.5	両パドルノーマルトラッキング
バドル駆動回路		6.0	6.0	6.0	時
バドル駆動機構		9.5	9.5	9.5	
ガスジェット系 (RCS)	16.2	33.9	33.9	24.4	
圧力検出器	1.1	1.1	1.1	1.1	
推進弁ヒータ	10.5	6.4	6.4	6.4	
触媒層ヒータ	4.6	26.4	26.4	16.9	
熱制御系 (TCS)	22.8	80.4	80.4	161.8(20.6)	
センサヒータ		2.4	2.4	1.5	
ABM E-A	10.0				
RCS タンクラインヒータ バッテリヒータ	12.8	18.7	18.7	7.5	i
ミッション部用ヒータ		40.0	40.0	141.2( 0 )	CT-00 ( FI 86) FE 0 4 TH (20 T) 4
ARA 用ヒータ		11.2	11,2	141.2( 0 )	定常(日陰)時 8.4W (29V ii 算) OFF
ホイール用ヒータ		8.1	8.1	5.2	967 011
CVT E-8				6.4	
熱制御実証用機器 (CVT)		40	40		
打上環境測定装置 (LEM)	6.9				
副撤送波変調器	3.3				7
加速度センサ	3,6				
移動体通信実験機器 (AMEX)	1.7	301.4	301.4	3.4(168.2)	RIU #2 を含む。
技術データ取得装置 (TEDA)		13.5	13.5	6.5	RSM 6.5W を含む。
ハーネス損失	1.2	5.3	5,2	3.5( 3.9)	日照 0.9% 日陰 1.2%
バッテリ充電電力		13.8	46.2	5.5( 5.7)	フル充電 1.54 A トリクル充電 0.46 A~0.58 A
所 要 電 力	106.4	599.8	632,1	313.0(344.1)	バッテリ容量:
	<94.9>	377.0	002.1	56.5%(62.1%)	ハッテリ谷瓜・ 13.5 AHr (公称)
バッテリ放電深度(DOD %)	38 %				最大日陰 1.17 Hr (半影除く)
太陽電池発生電力	130 @24V	845(EOL)	898(EOL)		THE STATE OF THE S
電力マージン	23.6	245.8	267.4		
					1

注 日陰時 OFF とした AMEX 機器は、日陰後ターンオンするまでの時間に温度との関係で制限があることを前提。定常(日陰)の()内は、AMEX Lバンド1 系統、Cバンド1 系統運用の場合。
 遷移軌道の所要電力の< >内は、触媒層ヒータ及び LBM を OFF とした電力である。

を模擬した CVT がある。これらの熱制御方式としては、実装性を考慮して高発熱機器を衛星 ミッションパネル 北面に集中的に配置した上、この ハニカムパネル 内に埋め込んだ ヒートパイプ により、軽量かつ高効率な熱制御を行っている。

#### (3) トランスファ 軌道時の熱制御方式

静止軌道に投入される前のトランスファ軌道では、太陽電池パドルは 折り畳まれて衛星に固定され、静止軌道時の展開形状に比べて発生 電力が少ない。とのため、衛星内の発熱量も少ない。したがって、 衛星南北面にある OSR を格納パドルで覆い、かつ格納パドルの端に 付けたソーラアブソーバによって太陽光熱入力を衛星内に取り入れ、熱 制御ヒータを極力使用せずに (ABM, RCS のみ使用) 衛星の温度低 下を防ぐ設計としている。

図 3. に ETS-V の 熱制御系の設計 の概要を示す。

#### 3.2 構体設計の概要

ETS-V の構体設計は、機械的な打 上げ環境に耐えるもの とした上で軽量 化を図ることはもちろん、静止衛星で あることから十分な熱制御面をもつこ とが要求される。更に、アポジモータ 噴射 時における安定性を図るために, 慣性 モーメント比を向上させること、 またィ ンテグレーションを容易にすることなどの 要求から,図4.に示すような セントラル シリンダをもつ箱型構造からなっている。 すなわち、主構体は セントラルシリンダ、各 種パネル構造物、パネル支持構造物、 R CS タンク 支持構造物から構成され、ア シテナパネル は L バンドアンテナ を, ミッション /バスパネル は外部に太陽電池 パドル を搭 載する。以下に各部の概要を述べる。

#### (1) セントラルシリンダ

ETS-V では 固体燃料の アポジモータをもっているため、セントラルシリンダ方式を採用している。 アッパーシリンダ 及び ロアーコーン は、 軽量化を図るため フィラメントワインディング による CFRP 材であり、ABM リングを介して結合されている。ロワーコーン 下端は、 ロケット と インタフェース する PAF リング と結合している。

#### (2) パネル 構造物

アンテナパネル、ミッションパネル、バスパネル及び プラットフォームが Al 表皮-Al コアの サンドイッチ 構造、アクセスパネルが CFRP 表皮-Al コアの サンドイッチ 構造で作られ、閉じた箱構造を構成している。

#### (3) パネル 支持構造物

パネル 支持構造物は、CFRP 製の ストラット などから成り、 パネル の荷重を セントラルシリンダ に伝える。

## (4) RCS タンク 支持構造物

タンクは CFRP 製の 6 本の ストラット

によって セントラルシリンダ で支持する構造である (タンク 側 4 点支持, シリンダ 側 6 点支持)。

#### 3.3 電源系設計

ETS-V 電源系の設計では、以下に示すような要求、制約条件があり、これに基づいて設計を行っている。

- (1) 太陽電池 パドル は、衛星に搭載したとき、H-I □ f  $\neg$   $\neg$  f  $\neg$  f
- (2) 発生電力は ミッション 末期で 800 W 以上であること。
- (3) 単一部品故障に対して、 バス 電圧の失われない冗長設計であること。
- (4) バッテリの放電深度は60%以下とすること。

表 3. ETS-V の重量配分表

(1986. 5)

	項目	積 上 値 (kg)			
	テレメトリ コマンド系 (TTC)	27.91			
	姿勢軌道制御系(ACS)	45.59			
術	電源バドル系	103.93			
星	(電 源)	45.72			
244	(パドル)	58.21			
バ	ガスジェット系 (RCS)	30.37			
ス	構 体 系 (STR)	79.37 27.17			
^	熱 制 御 系 (TCS) アポジモータ (ABM)	42.48			
部	' ' '	41.65			
	計 装 計 (INT)				
	合 計	398.47			
	移動体通信実験機器(AMEX)	67,40			
郤	熱制御実証用機器(CVT)	2.51			
星	打上げ環境測定装置 (LEM)	1.90			
衛星ペイロ	技術データ取得装置(TEDA)	11.49			
1	ペイロードバランサ	15.99			
ド 部	スロッシング推薬	10.00			
	合 計	109.29			
	A B M 推 薬	503.54			
推	RCS推薬・加圧ガス	66.31			
薬	숨 하	569.85			
ł	機 器 マージン	18.39*1			
í	新星打上げ時重量	1,096.0			
	新星ドライ 重量	497.76*2			

- 注 \*1 MOIR 向上に推薬として使用予定。
  - \*2 バス部とペイロード部の重量の合計から、スロッシング推薬の重量を引いた もの。

ETS-V の電源系設計の特長及び設計時の留意事項を以下に述べる。電源系の ブロック 図を図 5. に示す。

- (1) 電力発生は、その要求容量から大型太陽電池パドルによる。パドルは CFRP 製の軽量化 セミリジッド パドル である。パドルは 2 翼から成り、打上げ時、フェアリング内に畳んで収納するため、各翼は 3 枚のパネルから成る展開型となっており、静止軌道に投入し、衛星の回転を止めた後、板ばねによる保持を火工品によって解放し展開させる。
- (2) バッテリ は宇宙用角型密閉 ニッケル カドミウムセル で、13.5 AH (公称) を 2 台もっている。
- (3) 電力処理方式は,静止衛星に適合した SHUNT 方式 (Direct Energy Transfer 方式ともいう) を採用し, バス 電圧は単一 バス としている。
- (4) 日陰時のバス電圧は非安定方式とし、安定化のためのスイッチ

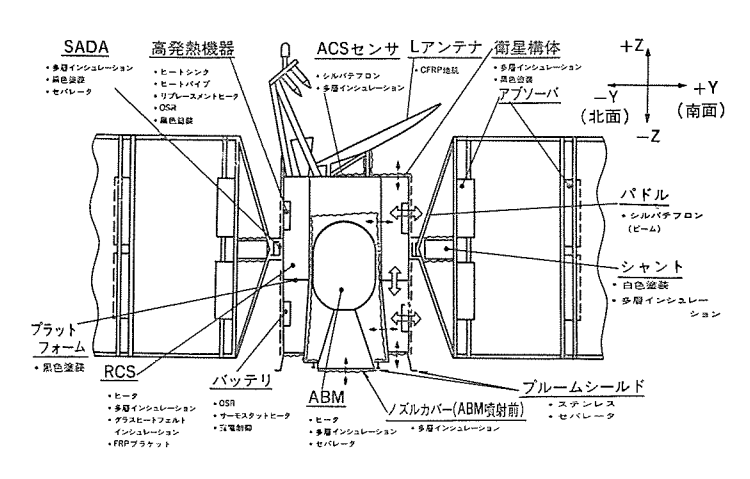


図 3. ETS-V 熱設計の概要

ング電力変換器を省略した。 搭載機器に対しては、電圧変動・ハーネス 損失・動特性・EMC 特性などの インタフェース 条件を調整し、各機器の入力条件をバス 特性と整合した。

- (5) バス 電圧の値は、使用部品の耐圧などの制約から日照  $29.0\pm$  0.5 V, 日陰  $21.4\sim29.5$  V の 70-Frid である。日照・日陰間の切換は自動的に行われ、電圧の遷移は 24-7 である。
- (6) パッテリ 充電は、低率充電できる静止衛星の特長を生かし、定電流充電方式である。定電流回路として太陽電池の逆電圧特性を利用した チャージアレー を用いている。
- (7) トランスファ 軌道上では、バッテリ を バスライン へ ランチモードリレー を 介して直結し、発生電力を最大限 に バッテリ へ 充電 する 形態 として lo x
- (8) 分散型 DC/DC コンバータ 方式とし、各機器は DC/DC コンバータ を内蔵している。
- (9) シャント の発熱量を低減するため、ディジタルシャント方式を採用した。

#### 4. 移動体通信の概要

ETS-Vでは、主要 ミッションの一つに、船舶・航空機を対象とした移動体衛星通信実験がある。以下、その実験の概要及び構成機器の特性・機能について述べる。

#### 4.1 移動体衛星通信実験

移動体通信実験のために ETS-V に搭載される AMEX は、C バッド及び L バッド 帯回線を用いて陸上の基地局と航空機・船舶など移動体間及び移動体相互間の信号の中継を行う機能をもち、 音声・データの通信実験、移動体の測距及び遭難信号の中継実験などのために使用される。通信に使用される周波数帯は、移動体 - 衛星間が L バッド (1.5/1.6 GHz)、AMEX 運用局 - 衛星間が C バッド (6/5 GHz) である。これらの実験に供される L バッドアッテナは、オフセット型式のデュアルビームアッテナであり、北半球及び南半球の規定点をビーム中心として地球を照射する。L バッドアッテナ及び照射 パターッを図 6. 及び図 7. にそれぞれ示す。

#### 4.2 移動体通信実験機器の構成及び運用

ETS-V に搭載される AMEX の機能 ブロック 図を図 8. に示す。図に示すように、140 MHz の中間周波 フィルタ 部(IF)を持つ ダブルコンバージョン 構成である。主たる運用 モードは  $C \rightarrow L$ 、 $L \rightarrow C$  回線であり、海上/航空地球局からの C バンド折り返し、移動局同士の L バ

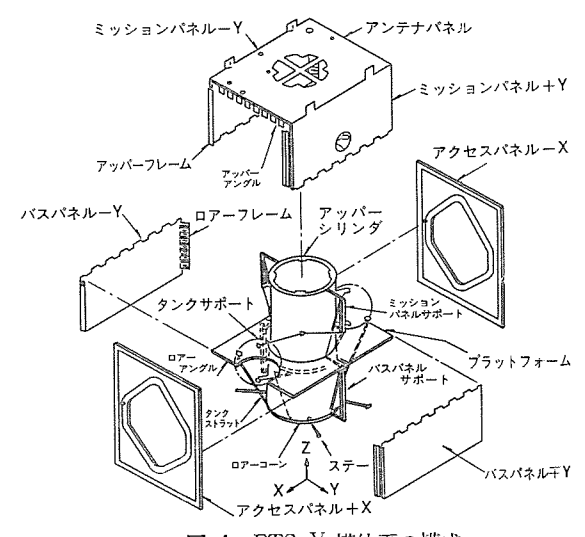


図 4. ETS-V 構体系の構成

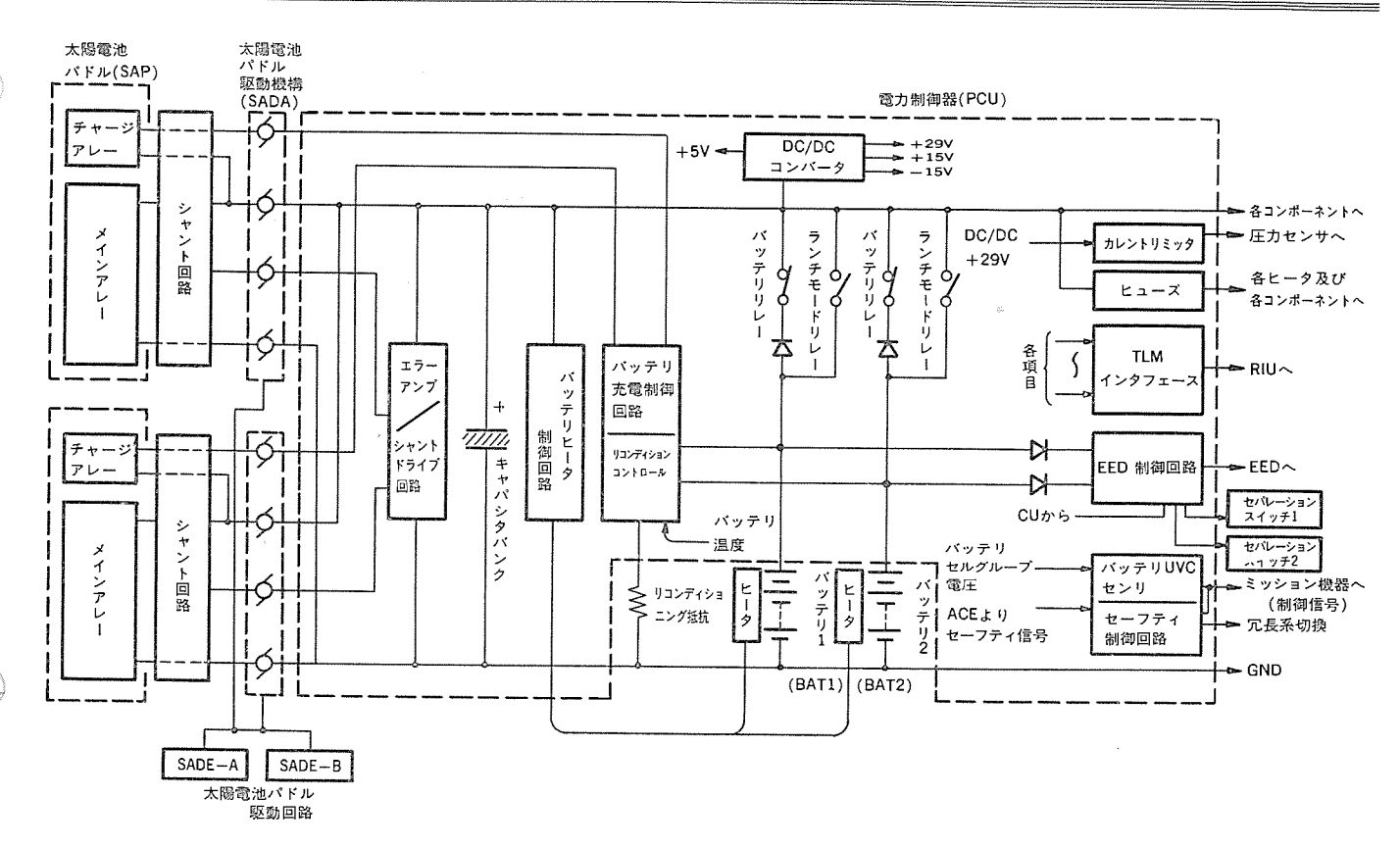


図 5. ETS-V 電源系の ブロック 図

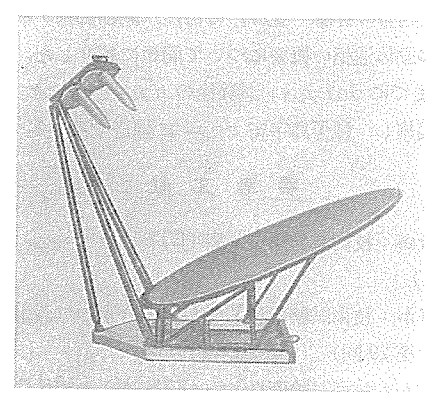
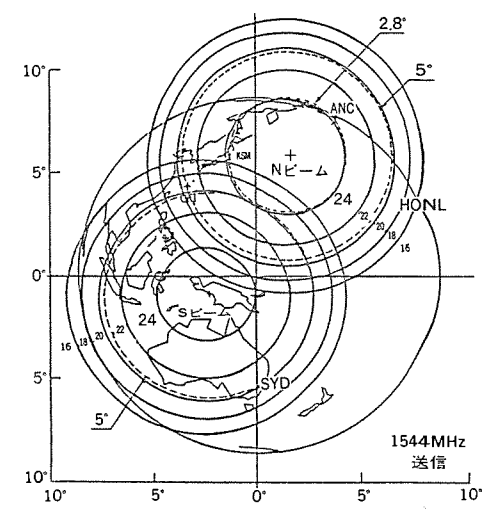


図 6. L バンドアンテナ

ンド折り返しの モード も選択できる。 AMEX の C バンド 系部分は現用, 予備の 2 系統から成り, L バンド 系部分は L バンドアンテナ の 2 ビーム に対応した現用の 2 系統からなっている。

L バッド 系の 2 系統は スイッチ の切換によって相互に予備系としても動作し、また無変調の ビーコッ も送信できるように考えられている。L バッド の周波数帯域は、海事用と航空用でそれぞれ 3 MHz ずつ取っており、このうち一方の帯域が選択して使われる。この選択及び ビーム の切換と回線接続 モード の切換は、主として IF フィルタ 部によって行われる。IF フィルタ 部では 12 個の SAW フィルタ が使用されている。このほか AMEX の電子回路部の特長として、L バッド高電力増幅部には GaAs FET を使用して飽和出力約 30 W を得ていること,局部発振器に オープッ制御水晶発振器 (OCXO) を採用して、周波数の高安定化を図っていることがある。

L バンドアンテナ 部は、 反射鏡と ビーム に対応する一次放射器から構成される。反射鏡は軽量化を図るため、CFRP の メッシュ で アルミハニカムコア を挟む サンドイッチ 構造にしている。 また、一次放射器を支持する サポート も、 軽量化及び熱変形を小さくするために CFRP で製



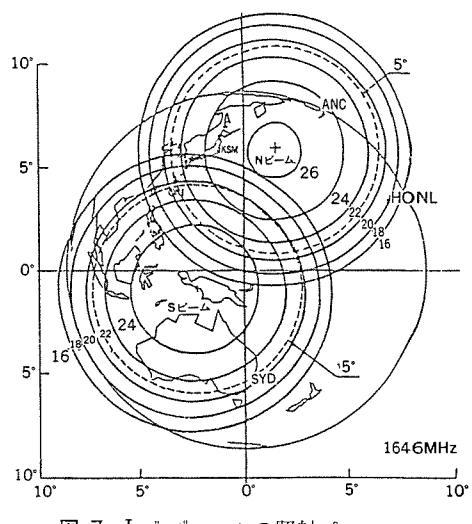


図 7. L バンドアンテナ の照射 パターン

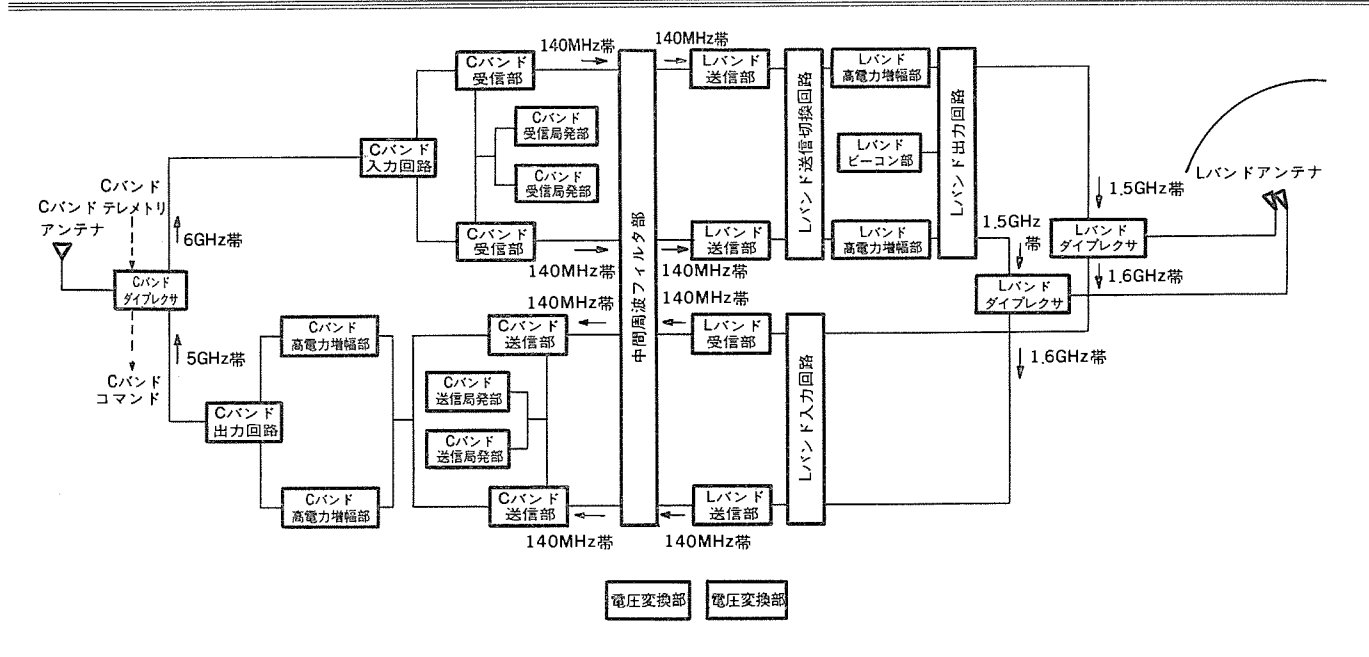


図 8. 移動体通信実験機器の ブロック 図

表 4. 移動体通信実験機器 (AMEX) の主要諸元

我 下	地位 大學 医	工女阳儿
	(Lバンド系) 542.0±1.5, 1,546.5±1.5 MHz 644.0±1.5, 1,648.5±1.5 MHz	(Cバンド系) 5,230.0±11.25 MHz 5,960.0±11.25 MHz
G/T : -:	3dB/K*1	-8 dB∕K*2
EIRP : 35	5.5dBW*1 *4	25 dBW*2 *5
アンテナ 形式 :オ	フセットパラボラ開口径 1.5 m¢	ホーン 220 mm φ
偏波 :LI	HCP(送受とも)	LHCP(送受とも)
利得 送信:25	5.0 dBi*1	19.9 dBi*2
受信:25	5.7 dBi*1	21.5 dBi*2
指向精度 : 士	-0.5° 以内(3 σ)	
1 11		
HPA 出力 : 25	5 W (44 dBm)	7 W (38.5 dBm)
LNANF : N	IF=1.7 dB	NF=2.1 dB
利得*3, 带坡幅: C.	/L回線 123.0dB (0, +5, +10	dB) 3 MHz
L,	/C回線 123.0dB (0, +5, -5d	B) 3 MHz
L,	/L回線 139.5dB (0, +5, -5d	B) 300 kHz
C.	/C回線 106.5dB (0, +5, +10	dB) 3 MHz
不要波 :ス	:プリアス発射 -40dB 以下	
3	次相互変調積 -30 dB 以下	
周波数安定度:初	]期設定誤差 ±1×10-6 以内	
長	ē期安定度 ±2×10-6/年以内	
温	l度安定度 ±1×10-6/-20°~+	40°C 以内
ビーコン 周波数,出力:	1,545.0 MHz 3 W	
重量:	中継器 約60.4kg, アンテナ 約2	7.6kg,合計 約 68 kg
消費電力 :	約 300 W (2 系統運用時) (F	UU 2 約 4 kg を含む)

- 注 \*1 N ビーム中心値, 給電線損失 1.2dB 含まず
  - \*2 ビーム中心値 (鹿島), 給電線損失 0.7 dB 含まず
  - \*3 C, L 両ダイプレクサのアンテナ側端子間の利得
  - \*4 2dB 圧縮点
  - \*5 1dB 圧縮点

作しており、との結果、重量は 6.2 kg に なっている。鏡面精度は 0.5 mm rms で製作されている。一次放射器には、アンテナ効率を高

く保ち,かつ2ビームのクロスオーバレベルを高くするため,近接して配置できるヘリカルアンテナを採用している。これらの運用と特長をもつAMEXの主要特性を表 4. に示す。

#### 5. む す び

ETS-V の開発の目標、システムの特性、熱制御系・構体系・電源系設計及び移動体通信の概要について簡単に紹介した。ETS-V は1987年5月までにプロトフライト試験後のリファービッシュと リファービッシュ後の試験を実施し、種子島宇宙 センター に輸送する予定である。

#### 参考文献

- (1) 村山ほか:技術試験衛星 V型 (ETS-V) システム、信学会大会 (昭 61)
- (2) 北田ほか:技術試験衛星V型(ETS-V)の熱設計,字科連講 演会(第29回)
- (3) 広瀬ほか:技術試験衛星V型(ETS-V)の構体開発, 宇科連 講演会(第29回)
- (4) 山田ほか:技術試験衛星V型(ETS-V)の電源系,信学会電子通信用電源技術研究会(PE 85-39)
- (5) 小坂ほか: ETS-V 搭載用中継器 (AMEX) の構成, 信学会 大会, 2375 (昭 61)
- (6) 近藤ほか:技術試験衛星V型搭載用L バンドアンテナの開発,信学会大会,688(昭61)

# 通信衛星3号(CS-3)

高比良 昭\* 松本 芳郎\*\* 向井 長夫\*\*\* 鈴木庸彦\*\*\* 安坂吉生\*\*\*

#### 1. まえがき

通信衛星3号 (CS-3) は、通信衛星2号 (CS-2) による サービス を引き継ぎ、将来の増大かつ多様化する通信需要に対処するとともに、通信性能、経済性、信頼性の向上及び国産技術の向上を図ることを目的とする衛星である。

CS-3 は、 $H-I_{Dfor}$ トによって昭和 62 年度冬期に 1 号機(CS-3 a)、昭和 63 年度夏期に 2 号機(CS-3 b)が打ち上げられ、それぞれ東経 132 度、東経 136 度の静止衛星軌道に配置される 軌 道 上 550 kg 級で寿命 7 年の通信衛星である。衛星は 30/20 GHz 帯及び

表 1. CS-3 の開発 スケジュール



注 PDR:基本設計審查会, CDR:詳細設計審查会

CS-3a CS-3b : 準ミリ波(30/20GHz) :マイクロ波(6/4GHz) · TT&C K..... 衛星通信統制局 (東京) 追跡管制局 (NASDA) R マイクロ波固定局(兼衛星監視 追跡管制局 制御信号送受信局)(千葉) 通信·放送 衛星機構

図 1. CS-3 の管制 システム

6/4 GHz 帯の周波数を用いて、国内公衆通信業務、公共業務など に利用される予定である。

CS-3は,衛星・放送衛星機構(TSCJ)との間の委託契約に基づき,宇宙開発事業団(NASDA)によって開発される衛星で,三菱電機(株)が主契約者として製作している。一部のコンポーネントを除き,自主国産品である。なお,通信用アンテナ及び通信用中継器は,日本電信電話(株)(NTT)の開発成果に基づき,それぞれ三菱電機(株)及び日本電気(株)が製作している。

CS-3 は、 $H-I_{\Box f \neg j \land}$  によって NASDA 種子島宇宙  $t \neg j \not = 1$  から 打ち上げられ、衛星が遷移軌道に投入されるまでの  $\Box f \neg j \land 1$  の誘導制

御, 「リフト 軌道への投入及び静止後の衛星 チェックアウトは NASDAによって行われ、それ以降の静止衛星軌道上における運用は、 TSCJ 及び利用機関によって行われる(図 1. 参照)。 表1. に示すように、 CS-3 は昭和58年10月に開発に着手し、基本設計、詳細設計 を経て 製作、試験の後、射場から打ち上げる。以下、 CS-3 の構成、システムの特長及び主要サブシステムの概要について、三菱電機(株)が製作を担当している バス 機器を中心に述べる。

#### 2. CS-3 の 構 成

CS-3は、機械的 デスパンアンテナ を搭載した スピン 安定型の衛星であり、 その構成は、通信 サービス 区域・寿命・打上げ ロケット などの基本的 要求・制約事項と、重量・熱制御・宇宙実績のある ハードウェア の利用 などの諸 要 求 を考慮の上、決定されている。衛星本体は、直径約 218 cm、高さ約 243 cm の円筒形で(図 2. 参照)、底部の アポジーモータ (AKM) ノズル から デスパンアンテナ 上端までの全高は約 356 cm である。

この形状は、H-I ロケットのフェアリングに適合しており、展開機構は持っていない。日照中に電力を発生するソーラアレーは、衛星の円筒外周に取り付けられている。衛星搭載機器の大部分は、上下2枚の機器プラットフォーム上に配置されている。中央部円筒は、その上端でドライブモータアセンブリ(DMA)を支持し、下端はアタッチフィッティングを介して打上げロケットに結合される。Kバンド/Cバンド共用のアンテナ給電部は、DMAハウジングの回転部に取り付けられている。Sバンドアンテナは、下部機器プラットフォームに環状に配列されている。CS-3は、次のサブシステムから構成される。

・通信系 (COMM)……通信用 アンテナ, 中継

哭

- ・テレメトリ・コマンド 系 (TT&C)
- 姿勢及び アンテナ 制御系 (AACS)
- 電源系 (EPS)
- · 熱制御系 (TCS)
- 構体 (STR)
- · 二次推准系 (RCS)
- アポジーモータ (AKM)

CS-3 システム 系統図を図 3. に、バス 機器機能・性能の主要諸元を表 2. に示す。

#### 3. CS-3 の特長

CS-3は、我が国がデザインオーソリティを持って製作する国産実用衛星であり、寿命要求7年に見合う信頼性設計に加え、限られた寸法、限られた重量の範囲内で、発生電力を始めとする与えられた要求条件を満足させるために、システム、 $\Lambda-$ ドウェアの両面でいろいろな特長をもっている。以下、CS-3の主な特長について述べる。

#### 3.1 衛星システムの特長

(1) 衛星の運用が簡単である。

スピン 安定型衛星であり、三軸衛星や プラットフォームデスパン 衛星に比べて、運用が簡単で、しかも実験用中容量静止通信衛星 (CS) 及び CS-2 の運用設備や運用実績が有効活用できることなどから、経済的かつ信頼性の高い オペレーション が可能である。

(2) ペイロード 搭載能力が高い。

通信用中継器を 18 台 (うち予備 6 台) 搭載でき、この 252 の 262 衛星としては世界水準にある (ちなみに CS-2 は 9 台搭載)。

(3) GaAs 太陽電池 セル を初使用している。 限られた寸法範囲内で発生電力要求を満足させるため、世界に先駆けて GaAs 太陽電池 セルを採用している (1)(2)。

(4) 構体の軽量化を図っている。

CFRP などの複合材料を駆使した軽量構造体技術を採用している。

(5) 信頼性の高い アンテナデスパン 方式を採用している。

静止衛星のアンテナ姿勢制御方式の中で最も シ ンプルな方式であり、これまでの実績からも最 も信頼性の高い方式といえる。

(6) 我が国の将来の通信衛星への技術継承を 展望し得る。

我が国の自主技術で開発する国産衛星であり、 将来の実用通信衛星開発に必要な国産技術がか ん(涵)養される。

(7) 信頼度向上のための冗長構成をより一層 進めている。

7年の寿命を考慮して、CS-2 よりも更に DMA 巻線の冗長化、SC コンパータの冗長構成な どを図っている。

(8) 既存技術の効果的活用, 発展がなされて

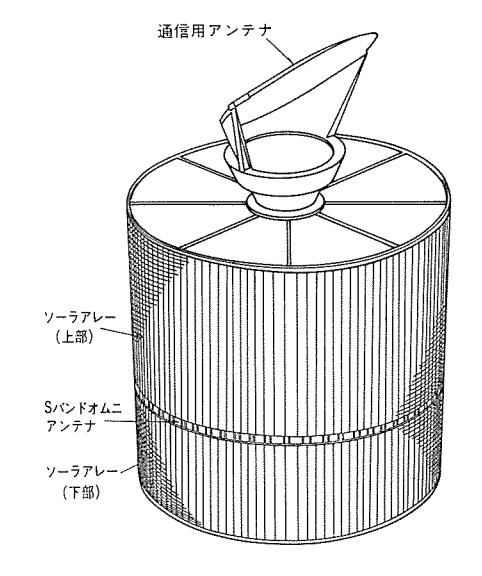


図 2. 衛星概観図

いる。

衛星 u276 上,技術試験衛星u7型 (ETS-u7V) の自主技術及び技術試験衛星u11型(ETS-u1I1),実験用静止通信衛星(ECS),CS、CS-

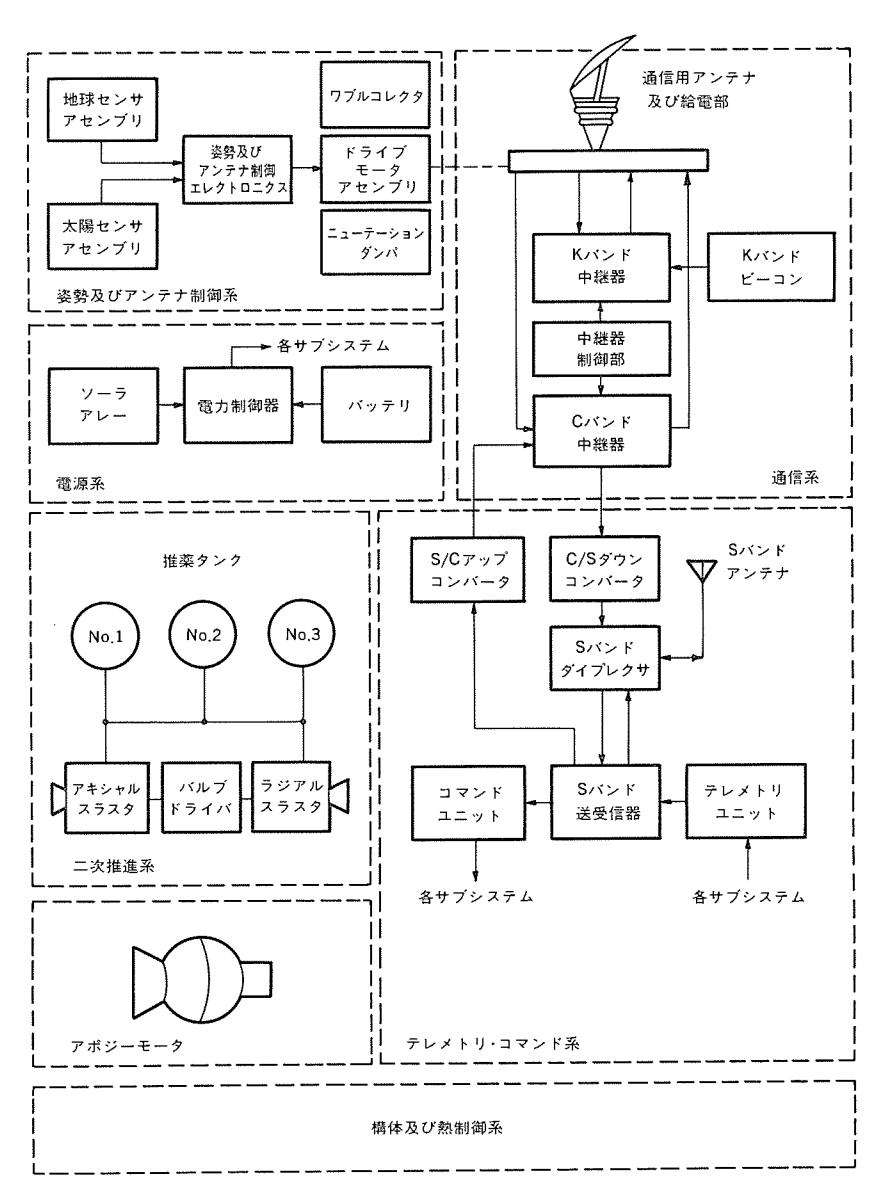


図 3. CS-3 の システム 系統図

表 2. CS-3 の主要諸元

	g( 2: 00 0 0)	三安市10
項 目	機能	性 能
形状	・H-Iロケットのフェアリングに 適合	・直径約 218 cm, 高さ約 243 cm の 円筒形通信用の機械的デスパンア ンテナを含む高さは約 356 cm
重 量	・H-Iロケットの打上げ能力	・打上げ時約1,080 kg ・静止軌道上初期重量 550 kg
姿勢安定	・スピン安定方式	・スピン率 90±9 rpm (打上げ時) ・慣性モーメント比 1.05 以上
テレメトリ コマンド系 (TT&C)	・Deep Space Network (DSN) に適合するSバンド送受信機及び Sバンドオムニアンテナ ・Cバンド信号をSバンド信号に変 換 (コマンド及び測距) ・Sバンド信号をCバンド信号に変 換 (テレメトリ及び測距) ・測距方式 ・テレメトリデータ	<ul> <li>・送信出力 1~3 W</li> <li>・受信周波数 2 GHz 帯</li> <li>・送信周波数 2 GHz 帯</li> <li>・受信周波数 6 GHz 帯</li> <li>・送信周波数 4 GHz 帯</li> <li>・トーンレンジング方式</li> <li>・64 ワード/マイナフレーム</li> <li>・125 bps</li> </ul>
姿勢及び アンテナ 制 御 系 (AACS)	・地球幅、スピン率及び太陽角による姿勢決定情報。2台の地球センサ及び太陽センサ使用・ワブルコレクタによる慣性主軸調整・ドライブモータ及び制御エレクトロニクスによるアンテナ指向主軸の制御	太陽角 ±87° 地球幅測定精度 ±0.26° (静止軌道) 調整範囲 0.12° (OBM 2 個使用) アンテナバイアス ±4°(東西方向) ステップ角度 ±0.03°
電源系 (EPS)	<ul> <li>・受動形ニューテーションダンパー・上下 2 分割された円筒形ソーラアレー・独立したパッテリ充電制鋼アレー・NiCd パッテリ(35AH 公称) 2 個・シャントセットにより安定化された主バス電圧</li> </ul>	被套時定数   15分以下     秋分   夏至     海命初期 835W(943W)756W(855W   7年後   833W   750W     放電深度   55%以下     バス電圧   29.4±0.2 V <sub>DC</sub>   ・太陽電池を一部切り難した状態
二次推進系 (RCS)	・ヒドラジンモノブロベラント方式 ・姿勢制御及びステーションキービ ング用スラスタ (公称推力20ニュ ートン)	推薬タンク容量 118.5 kg 90 ms パルスモード又は連続 モード噴射 (30 s)
アポジー モ – タ (AKM)	・STAR-30 B 固体燃料モータ	全推力 約1,449,626 N-sec (最大能力)
構 体 (STR)	・上下 2 枚の機器プラットフォーム ・モノコックシェル構造 ・DMA にケージング機構採用	
熱制御系 (TCS)	・受動型,一部ヒータ使用	
アンテナ 指向精度		0.2°(3σ)(半頂角)以内
軌道保持		緯度方向 ±0.05°以内 経度方向 ±0.05°以内
寿 命	,	7年以上

2などでの導入蓄積技術等を大いに活用、展開している。

## 3.2 ハードウェア上の特長

7年の要求寿命を達成するために、 それなりの保証 データ 又は試験などで信頼度が確認された部品・材料の選定に加え、信頼性設計・製造 プロセス・ワークマッシップ・試験条件など、 既存技術、 自主開発技術を大いに駆使している。

#### 3.2.1 既存技術の活用

#### (1) 通信用 アンテナ

NTT によって開発され、確立された CS-2 用  $_{7 \cup 7} +$  の技術を活用している。

#### (2) 電源系、テレメトリコマンド系、姿勢及び アンテナ 制御系

ETS-II 及び ECS で導入技術を基に製作・試験を行い、更に ETS-IV などで自主開発によって蓄積した技術を活用、発展させている。

#### (3) 熱制御系

ETS-IV で開発した技術及び CS, CS-2 などで 蓄積した技術の活用に加え、 熱制御材の一部に オプティカルソーラリフレクタ (OSR) を採用するなど新たな展開を図っている。

#### 3.2.2 自主開発技術の適用

NASDA で実施した下記 ハードウェアの研究開発に 基づく試験と成果を大いに活用している。

#### (1) 円筒形 ソーラパネル

高変換効率と優れた耐放射線性をもつ GaAs 太陽電池 セル を実用衛星として世界に先駆けて使用したこと、また大型軽量 サブストレートを使用したことにより、単位面積当たりの発生電力比が高くて軽い円筒形 ソーラパネル を実現した(1)(2)。

#### (2) 構体系

CFRP 製 モノコック構造体から成る軽量高強度の衛星構体を実現した。

#### 4. 主要サブシステムの概要

CS-3 の主要 サブシステム である テレメトリ・コマンド 系, 姿勢及び アンテナ 制御系, 電源系, 熱制御系及び構体系の概要を述べる。

#### 4.1 テレメトリ・コマンド系 (TT&C)

アップリンク(上り回線)は、コマンド又は測距信号を含み、ダウンリンク(下り回線)はテレメトリ及び測距信号を含む。コマンド信号は、Sバンドトランスポンダの受信部で受信後、コマンドユニットで復号され(一部はリレーボックスを経由して)、各サブシステムに送られる。衛星各部のデータは、テレメトリュニットでディジタル化され、PCMテレメトリ信号としてSバンド送信部から送信される。Sバンドトランスポンダは、受信部及び送信部で構成され、それぞれ冗長構成になっている。受信部は、Sバンドコマンド信号又は冗長構成のC/Sコンバータを経由したCバンドコマンド信号及び測距信号を受信、復調し、コマンドユニットにコマンド信号を、送信部に測距信号をそれぞれ供給する。送信部は、テレメトリュニットからのPCMテレメトリ信号で256kHzの副搬送波をPSK変調し、受信部からの測距信号とともに搬送波をPM変調する。この出力は、Sバンドダイプレクサアセンブリ及び冗長構成のS/Cコンバータに接続される。TT&Cの主要性能を表 3. に示す。

#### 4.2 姿勢及びアンテナ制御系 (AACS)

AACS は、通信用  $r_{\upsilon}$  テナ の方位角制御を行うとともに、衛星の姿勢制御を行うために必要な情報を供給する。 AACS は、姿勢及び  $r_{\upsilon}$  テナ 制御  $\mathbf{L}$   $\mathbf{$ 

AACE は、地球 セッサ 及び太陽 セッサ の信号処理、 通信用 アッテナ の指向制御、デスピッ などの制御を行う。DMA は、巻線冗長構成の ブラシレストルクモータ 及び ブラシレスレグルバ、各 2 個ずつの速度及び位置検出 用磁気 ピックアップ 並びに ハウジッグーシャフト 間の接地用 スリップリッグ から成る。DM Aモータ と レゾルバ の駆動及び制御は AACE によって行われる。地球 セッサアセッブリ は、直径 1 度の円形視野 を持つ赤外線 セ

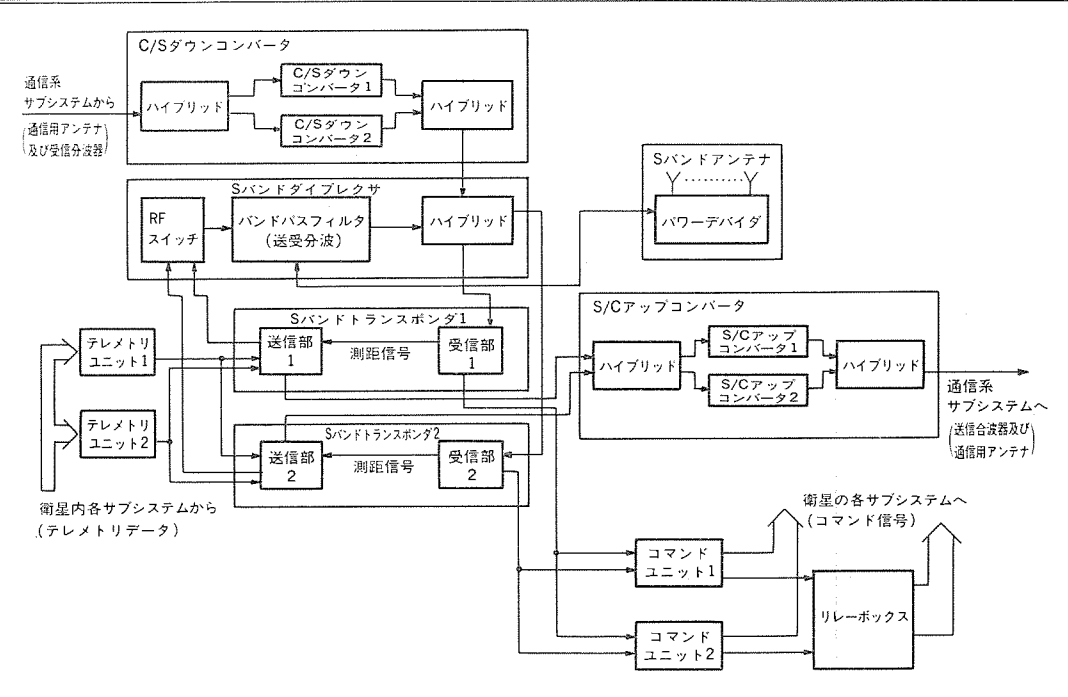


図 4. TT&C サブシステム の ブロック 図

ンサ2個から構成され、衛星のスピン面に対してそれぞれ +5 度及び -5 度の視準方向で取り付けられており、アンテナ方位角制御の基準 信号を発生するほか、衛星の姿勢決定、日陰期間のスピンレート 測定、太陽 センサの バックアップ としての スラスタ 同期などに使用される。 太陽 センサアセンブリ は、スピン 軸に垂直な面に対して +87 度から -30 度の視野を持つ センサ と、 +30 度から -87 度の視野を持つ センサ から構成され、衛星のスピン ごとに パルス を発生し、パルス 幅 データによって太陽角を測定する。 太陽 センサアセンブリ は、太陽角及び スピンレート

表 3. TT&C サブシステム の主要性能

項	目	テレメトリ	コマンド	測 距
搬送波馬	引波数			
(ノンコ	ヒーレント)			
	Sバンド	2 GHz 帯	2 GHz 帯	2 GHz 帯/2 GHz 帯
	Cバンド	4 GHz 帯	6 GHz 帯	6 GHz 带/4 GHz 帯
変調方式	ţ.	PCM-PSK/PM	PCM-PSK/PM	ト <i>ーン/</i> PM
変調指数	汝	0.8 rad(O-P)	0.4 rad(O-P)	0.4 rad(O-P)
ピットリ	レート	512 bps	125 bps	
容量		64 ワード/	253 コマンド	トーン周波数 100 kH
		フレーム		(最大)

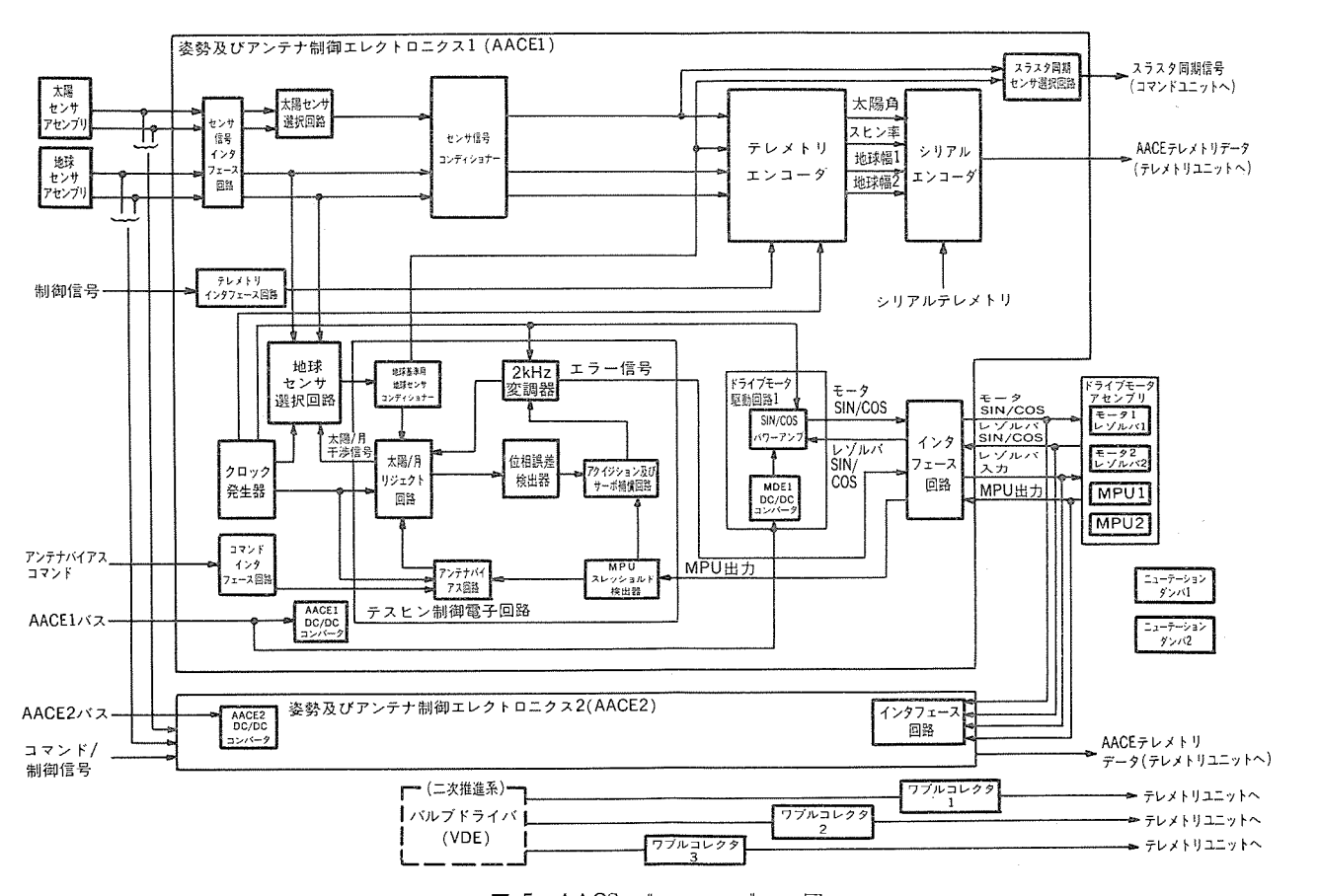


図 5. AACS サブシステム の ブロック 図

表 4. AACS サブシステム の主要性能

アンテナ指向精度	0.2°(3σ) (半頂角) 以内
アンテナバイアス:範囲	±4°
: 精度	±0.03°
アクイジション時間	15 分以内
太陽角測定:範囲	±87°(±30°冗長)
: 精度	±0.47°
地球センサ視野角	1.0
地球幅測定範囲	4.3~34.6° (90 rpm)
地球幅測定精度 (静止衛星軌道)	±0.26°
スピンレート測定精度	
太陽センサ	$\pm 0.07 \; rpm$
地球センサ	$\pm 0.15\mathrm{rpm}$
ニューテーションダンピング	
時 定 数	15 分以下
残留ニューテーション	±0.05°
スラスタ同期バルス	
プライマリモード (太陽センサ)	±0.15°
日陰モード (地球センサ)	±0.25°

の測定と スラスタ 同期用信号の供給を行う。

OBM は、120度ごとに3台配置され、静止衛星軌道上において衛星の慣性主軸を調整する機能をもっている。ニューテーションダンパは、180度離して2台配置する曲がり管の中にネオンガスとスチール球を封入したもので、管内壁とスチール球とのすき間におけるガス粘性によって減衰効果を得るものである。AACSの主要性能を表4.に示す。4.3 電源系(EPS)

電源系は、衛星分離後、衛星寿命期間を通じて衛星運用に必要な電力を供給するもので、ソーラアレー、バッテリ、電力制御器、 シャントセットアセンブリ 及び リコンディショニング 抵抗で構成されている。

ソーラアレー は、  $2 \times 2$  cm の P/N 型 GaAs 太陽電池  $t_{ll}$  約 36,600 枚の主  $p_{ll}$  及び N/P 型  $p_{ll}$   $p_{ll}$  太陽電池  $p_{ll}$  数 400 枚の  $p_{ll}$  充電制御用  $p_{ll}$  で構成されており、 衛星の円筒外周上に配列されて

いる(2)。 各 アレー は、衛星寿命期間中、バッテリ 充電 を含む各負荷に必要な電力を供給する。電圧制御は、 パーシャルシャント レギュレータ によって行われる。春分及び秋分時には、バッテリ に フル 充電電力を供給し、その他の季節には トリクル 充電電力を供給する。 また、主 アレーは、シャント電力低減のための ストリング 切離し用 セパレートバス をもっている。

バッテリ は、NiCd セル 20 個の直列接続構成で、35 AH の容量を有するものを 2 台搭載する。春・秋の食  $\mathfrak{b}$ ーズン には約 780 W の食中電力を供給でき、K バンド  $\mathfrak{10}$  チャネル 及び  $\mathfrak{C}$  バンド  $\mathfrak{2}$  チャネル の フルミッション の通信用中継器運用を可能とする。

電力制御器は,衛星の主 バス 電圧を安定化すると ともに, バッテリ 充放電制御, バッテリ リコンディショニング, 爆管装置への 点火電力の供給 などを行う。主 バス 電圧は, 日照中は パーシャルシャント レギュレータ により, また, 食中は並列冗長 ブーストコンバータ によって,  $29.4\pm0.2~\mathrm{V}$  に 維持される。電源 サブシステムブロック 図を図 6. に示す。

#### 4.4 熱制御系 (TCS)

熱制御系は、衛星の全 ミッション 期間中、衛星構体 及び搭載機器の温度をその許容温度範囲内に維持するものである。熱制御系の大部分は、コーティング、シールド材、熱伝導材、絶縁材料などの受動型熱制御素子から構成されるが、一部の機器には ヒータを 使用している。

衛星内の総発熱量は CS-2 の約2倍に達し、高発熱密度化されている上に、7年という長い ミッション 期間の要求があるため、新たな熱制御手段を講じている。そのうち特長的なことは、2段機器 プラットフォーム の採用により、機器の実装能力及び機器配置の自由度を向上させて、搭載機器を適切な温度 レベル に保つ熱設計を実現していることである。また、上部 サーマルシールド に OSR を採用することにより、宇宙環境(電子線、熱 サイクルストレス など)における機械的耐性を向上させるとともに、ミッション 期間内における衛星温度の経年上昇を小さく抑えることが可能となった。なお、OSR の採用に当たっては、CFRP 表皮への実装の開発を行った。熱制御系の構成

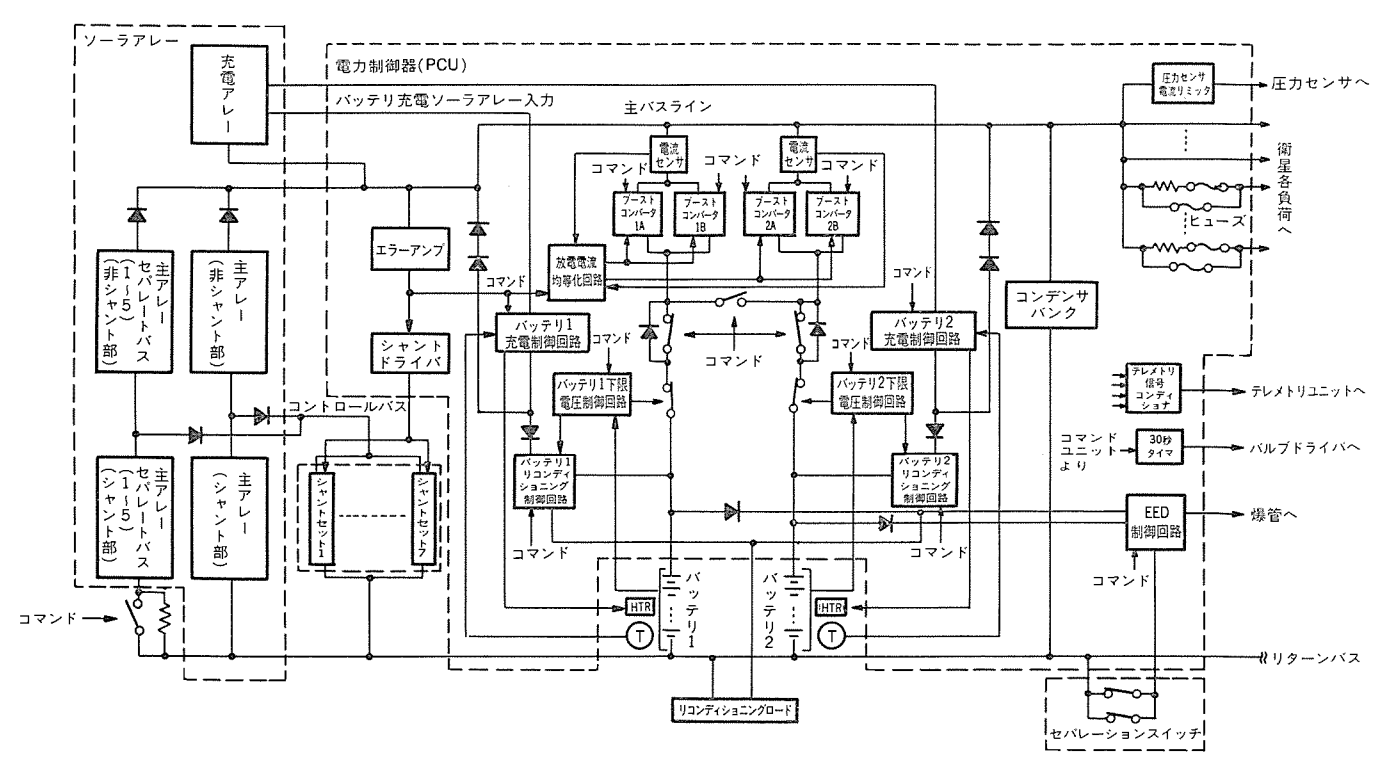


図 6. 電源 サブシステム の ブロック 図

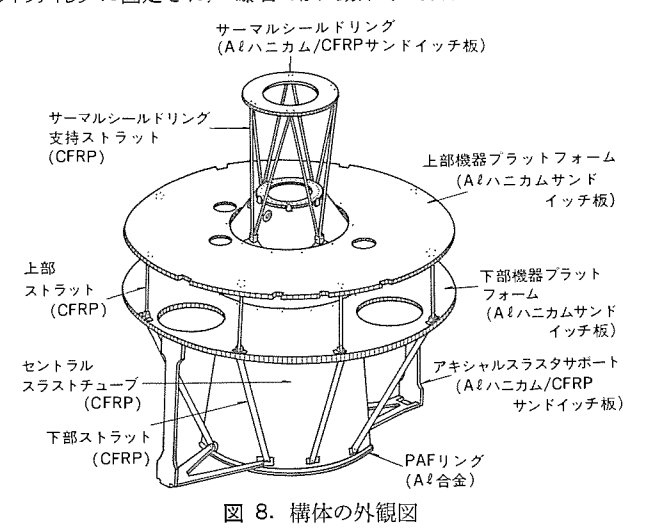
を図 7. に示す。

#### 4.5 構体系 (STR)

構体は, 地上での取扱い, 打 上げ、軌道投入及び静止衛星軌 道上の運用の各段階における環 境条件に耐える強度と剛性をも つ必要がある。一次構体は、 セ ントラルスラストチューブ及び これに 取り付けられた2枚の機器プラ ットフォームから成る。下部機器プ ラットフォームにはバス機器,上部 プラットフォームには ミッション機器 が搭載される。セットラルスラストチ ューブ は, フィラメントワインディング 法 で成形した CFRP の円すい シェ ルであり、軽量化を追求した構 造となっている<sup>(2)</sup>。機器 プラット フォームの内周部はスラストチューブ に支持され、外縁部は各8本の 上部及び下部 ストラット によって 支持される。

通信用 アンテナ は、スラストチューブ 上端に ケージング 機構及び デスパンモータアセンブリ (DMA) を介して取り付けられている。アポジーモータ (AKM) は、スラストチューブの内側に取り付けられる。円筒形の ソーラアレー は、上下二つに分割され、下部機器 ブラットフォーム外縁部の8個のブラケット によって支持される。 セントラルスラストチ

ューブの上端のケージング機構は、打上げ時の荷重から DMA を保護すべく、スピッ 部と デスピッ 部に設けた リングを Vバンドクランプ で固定する構造である(解放は爆管 ボルトの破断 コマンド による)。 セントラルスラストチューブ の下端部は、 Vバンドクランプ によって打上げ ロケット の アタッチフィッティング に固定され、 爆管 ボルト 動作時に分離 スプリング によって



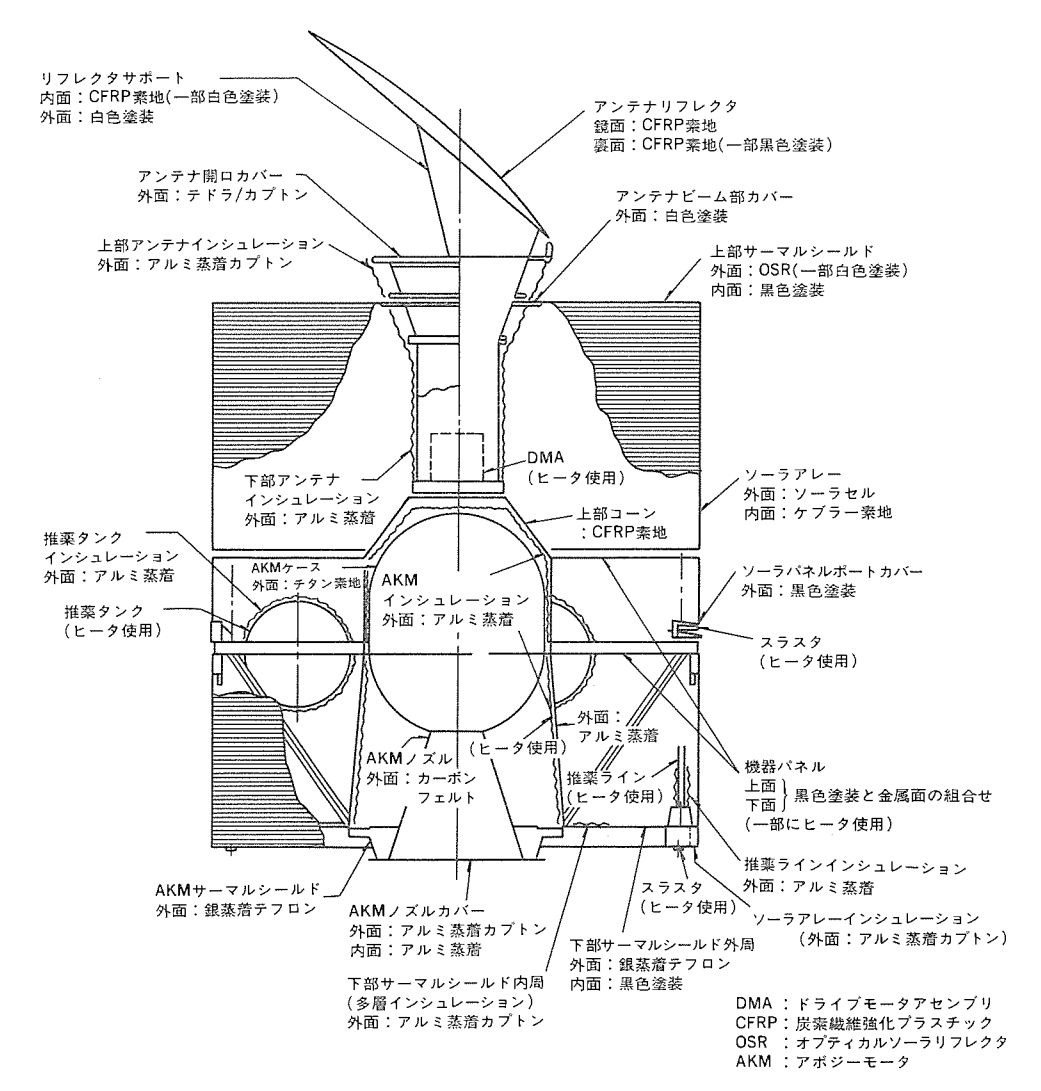


図 7. 熱制御系の構成図

分離される。構体外観図を図8.に示す。

#### 5. む す び

以上,CS-3の開発目的,システム要求,設計などについて概要を述べた。CS-3aは,現在,システム認定試験中で,一連の環境試験を実施中である。なお,CS-3bも並行して製作を進めている。今後,ますます増大かつ多様化するであろう国内通信需要に対し,この衛星が最大限に利用されるよう,ミッション成功を達成すべく引き続き努力していく所存である。最後に,これまで CS-3 衛星開発に当たり,御指導,御支援いただいた関係機関及び御協力いただいた関係メーカーの各位に深く感謝する次第である。

#### 参考文献

- (1) T. Miyoshi et al: An Antenna Despun Spacecraft with GaAs Solar Cells, Proc, 35th IAF, General, Switzerland.
- (2) T. Kawashima, N. Takata, T. Mukai: Graphite Epaxy Structure and GaAs Solar Array for CS-3 Domestic Communication Satellite, 11 th AIAA Communication Satellite Systems Conference. AIAA-86-0715

# リモートセンシングと画像処理

小野 誠\* 田中宏和\* 松井保憲\*\*

#### 1. まえがき

リモートセンシングデータは、石油・金属などの地下資源探査、天気予報、国土利用調査、環境監視、農作物の収獲量予測、漁場予測、地図作成など多岐にわたって利用されている。ことでは、電波センサによる衛星からのリモートセンシングを中心に、衛星搭載用電波センサの開発動向や当社における開発例について述べる。また、リモートセンシングにおける画像処理技術の開発動向や、当社における画像処理システムの開発例についても併せて述べる。

## 2. 衛星搭載用電波センサの開発動向 注1

電波 tっサ は受動型電波 tっサ と能動型電波 tっサ とに大別することができる。

受動型電波 セュサ の代表的なものに マイクロ 波放射計がある。 マイク □ 波放射計は,1946 年 ティッケ によってその原理が明らかにされる や否や,多くの観測実験が開始された。衛星に搭載された マイクロ 波放射計としては,1962 年に米国が打ち上げた金星探査衛星 マリナー2 号に搭載されたものが初めてである。一方,マイクロ 波放射計を用いて地球の観測を最初に行った衛星は,1968 年にソ連が打ち上げた コスモス 243 号である。1972 年以降,米国では ニュハス 衛星 シリース

に マイクロ 波放射計を搭載して地球の観測を行っている(1)。

我が国では、1987年に打ち上げる海洋観測衛星 1 号 (MOS-1) に搭載する 2 周波 マイクロ 波放射計が初めてであるが、このマイクロ 波放射計は当社が開発したものである<sup>(2)</sup>。また、現在我が国では、1990年代に打上げ予定の極軌道 プラットフォーム に搭載 する高性能 マイクロ 波放射計の開発が計画されており、 多周波化・電子走査化・低雑音化などが技術的課題となっている。

能動型電波 センサ は、一般に マイクロ 波 レーダ として知られているものであり、半世紀前に米国及び英国で研究が開始された。その後、

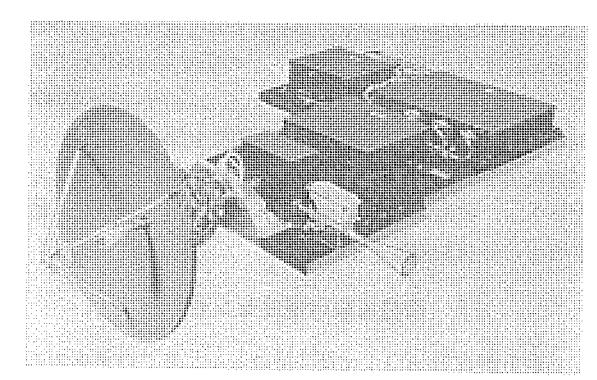


図 1. MOS-1 搭載 マイクロ 波放射計 (宇宙開発事業団納め)

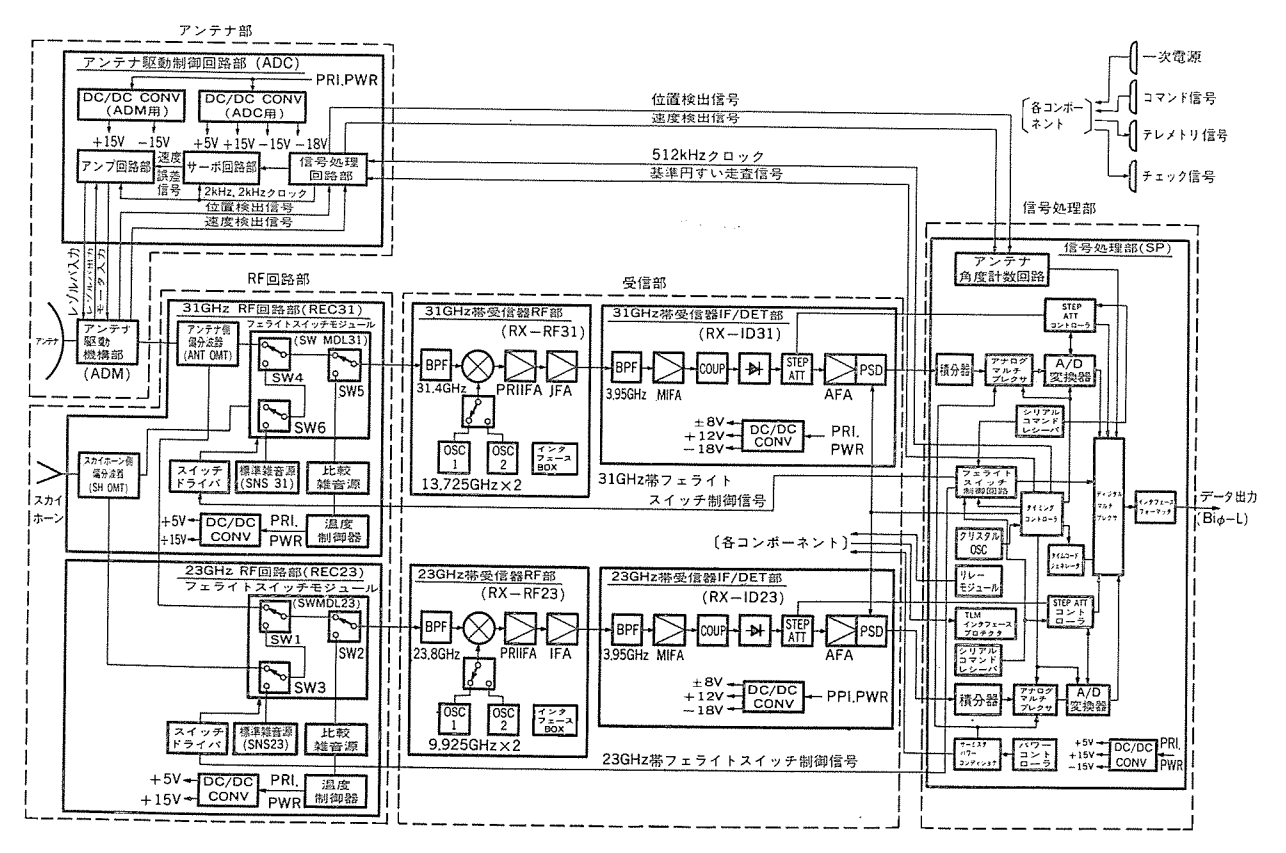


図 2. MOS-1 搭載 MSR の系統図

第 2 次世界大戦を契機として加速度的に研究が促進され、今日まで に様々な 947の 9470 波 10 10 が開発されている。

マイクロ 波レーダ技術の進歩とともに リモートセンシング への応用の道が 開かれ、1970 年代に入ると衛星搭載用能動型電波 センサ が登場する ようになった。衛星搭載用能動型電波 センサ は、その利用目的に応じて マイクロ 波散乱計・マイクロ 波高度計・合成開口 レーダ などに分類 される。マイクロ 波散乱計及び マイクロ 波高度計を最初に搭載した衛星は、1973 年に米国が打ち上げた スカイラブ である。マイクロ 波散乱計は 海洋風の観測に、マイクロ 波高度計は地球表面の ジオイドの観測に使用された(1)。合成開口 レーダを搭載した最初の衛星は 1978 年に米国が打ち上げた シーサット であり、25 m の分解能で地球表面の映像を取得した(3)。

我が国では1979 年から衛星搭載用マイクロ波散乱計の研究開発が推進されてきた。当社はこの開発計画に参画し、直交 ビームのほかに他方位 ビームをもつ Ku バッドのマイクロ波散乱計の試作機を開発した。現在、我が国では、地球資源衛星 1号 (ERS-1) 搭載用合成開ロレーダの開発が行われており、当社はシステム及びアンテナの開発を担っている。また、ERS-1には4バッドの短波長赤外放射計が搭載されるが、当社はこの放射計に使用されるショットキーバリヤ型4096素子短波長赤外 CCD (電荷結合素子)の開発を行っている。

衛星搭載用能動型電波 センサ は、 各国特有の開発が今後とも計画 されているが、高精度化・高分解能化・多周波化・軽量化・低消費 電力化などが技術的課題となっている。

#### 3. 衛星搭載用電波センサの例注1

衛星搭載用電波 セッサ としては上述のように多くの例があるが、 ことでは、我が国の衛星搭載用電波 セッサ である MOS-1 搭載 マイク  $\pi$  波放射計と ERS-1 搭載合成開口 レーダとについて述べる。

#### 3.1 MOS-1 搭載マイクロ波放射計

MOS-1 には、当社が開発したマイクロ 波放射計 (Microwave Scanning Radiometer: MSR) が搭載されている。マイクロ 波放射計は、観測対象物から プランク の熱放射則に 従って放射される雑音電波をとらえ、その受信電力から観測対象物の物理的性質を解明する目的で使用される。MOS-1 搭載の MSR は、海洋上における大気中の水蒸気量、水量、海氷及び雪の分布状況などの観測を主要 ミッションとしている。

図 1. は MOS-1 搭載用に開発した MSR の外観を示したものである。各 コンポーネントは、 アルミハニカム 構造の ベースプレート の両面に取り付けられており、 MOS-1 本体には ベースプレートを介して固定されている。 RF 損失を小さくするために、 アンテナ は オフセットカセグレン 方式を採用しており、 RF 回路部は導電性をもつ低損失断熱導波管の新規開発など、 回路設計及び実装設計に種々の工夫をこらしている。また、 観測面の走査方式は一定の入射角を得るため、 及び衛星姿勢への影響を小さくするために コニカルスキャン 方式を採用している。図 2. は MSR の系統図を示したものである。マイクロ 波放射計にはトータルパワー 放射計、ディッケ 比較型放射計など、幾つかの方式があるが(1)、この MSR は受信部の利得変動の影響を受けにくいディッケ比較型放射計である。

図 3. は MSR の観測概念を示したものである。MSR は  $_{7077}$ が地球面を、 校正用雑音源である  $_{3,717}$  が宇宙空間をそれぞれ

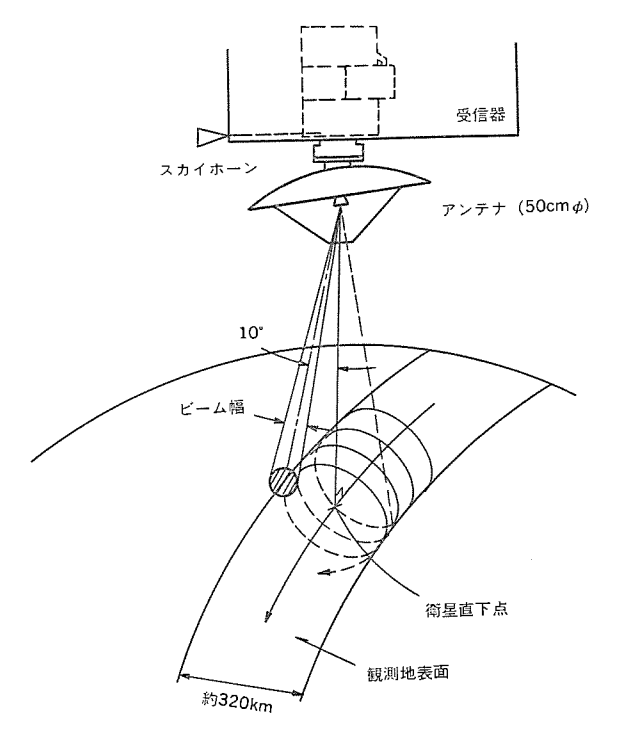


図 3. MOS-1 搭載 MSR の観測概念図

向くように MOS-1 本体に取り付けられている。アンテナビーム は衛星 直下方向から 10° オフセット しており、地球表面上を図 3. に示すよう に走査して観測を行う。観測は衛星進行方向に対して各走査周期ご とに後半分で行い、 前半分で校正 データ の取得を行うようになって いる。なお、この MSR の主要性能は以下に示すとおりである。

(1) 観測周波数帯 23 GHz 帯: 23.8±0.2 GHz

31 GHz 帯 : 31.4±0.25 GHz

(2) 温度分解能 23GHz 帯及び 31GHz 帯ともに 1K 以下

(3) 距離分解能 23 GHz 帯 : 31 km

31 GHz 帯 : 21 km

## (4) 観測輝度温度範囲 30~330 K

#### 3.2 ERS-1 搭載合成開口レーダ

現在, 当社では, 1990 年度打上げ予定の ERS-1 に搭載する合成 開口 レーダ(Synthetic Aperture Radar: SAR) の開発を進めている。 SAR は マイクロ 波の コヒーレンシ 及び衛星の運動を利用して, 天候・ 屋夜とは無関係に高い距離分解能で, 地球表面の映像を得ることが できる能動型の リモートセンサ であり, ERS-1 搭載の SAR は資源探査を主要 ミッション としている。

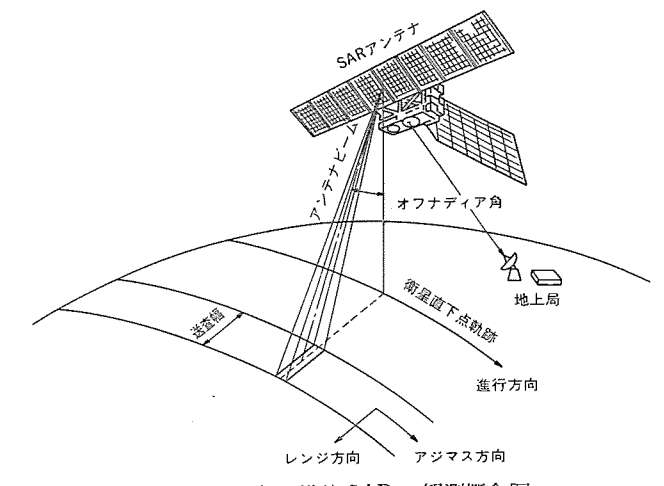


図 4. ERS-1 搭載 SAR の観測概念図

注 1 2 章及び 3 章の内容は、通商産業省工業技術院の大型プロジェクト"資源探査 用観測システム研究開発"の一環として行われたものである。

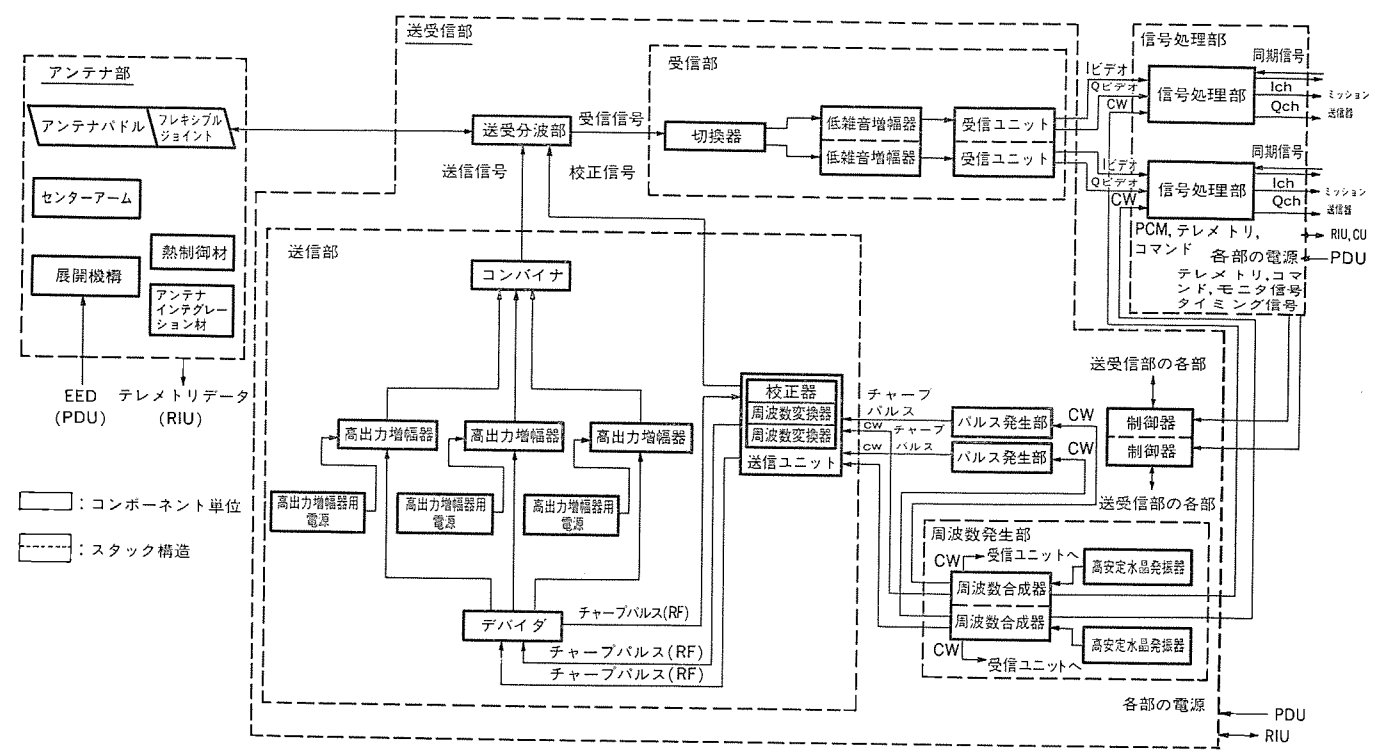


図 5. ERS-1 搭載 SAR の システムブロック 図

図 4. は SAR の観測概念を示したものであり,衛星の進行方向を アジマス 方向, それと直交する方向を レンジ 方向と呼んでいる。 レンジ 方向の分解能は送信 パルス の パルス 幅で決まるが,実際の SAR システム では レンジ 方向の分解能をあげるため, 及び実用的な送信 ピーク 電力を得るために パルス圧縮手法を用いている。 この手法は,送信 パルス 内の送信周波数が時間とともに 線形に変化する チャープパルス 電波を アンテナ から放射し,地球表面からの反射信号に対して,送信時とは逆の遅延特性をもつ マッチドフィルタ を通すことによってせん鋭な パルス 幅を得,分解能をあげる手法である。 アジマス 方向も同様の 考え方で分解能を向上させている。地球表面からの反射信号は,衛星の進行につれて ドップラシフト を受けることになる。そのため, アジマス 方向の ドップラ 周波数の変化とは逆特性をもつ マッチドフィルタ を通せば, レンジ 方向の場合と同様に アジマス 方向での圧縮を行うことができる。 この場合,アジマス 方向の分解能は,理論上,アンテナの開口径の半分まで高めることができる。

図 5. は現在開発中の SAR の システムブロック 図を示したものであ

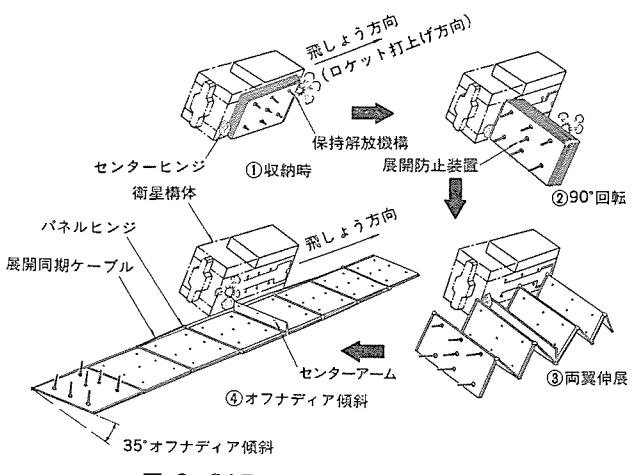


図 6. SAR 用 アンテナ の展開 シーケンス

る。アンテナは,衛星打上げ時,衛星の側壁に折り畳まれており,軌道投入後に展開する展開型マイクロストリップアレーアンテナである。このアンテナは,2.2m×1.5mのアンテナパネル8枚から構成され,展開後は2.2m×12mの大きさとなる。図6.にアンテナの展開シーケンスを示す。アンテナは1パネル当たり128個,アンテナ全体で1,024個の放射素子をもっている。給電系はパネル内に組み込んでアンテナの薄形化を図っており,パネル間の給電にはフレキシブルジョイントと呼ばれる可とう同軸管を用いている。一方,送信部には3台の固体化高出力増幅器が組み込まれる。これらは冗長系を構成しており,観測時には指定の2台の増幅器からの出力がコンバイナによって合成され,1.1 kW以上の送信ピーク電力が得られるようになっている。表1.にERS

表 1. ERS-1 搭載 SAR の観測基本性能

		E / 124/30
項 目	観測基本性能	備 客
観 測 周 波 数		
中 心 周 波 数	1,275 MHz	
帯 城 幅	15 MHz	
偏 波	Н-Н	水平偏波送受信
オフナディア角	35度	
地表分解能		
レンジ方向	18 m	走査幅中心の値
アジマス方向	18 m	マルチルック数 3
走 査 幅	75 km	
雑音等価後方散乱係数	20,5 dB 以下	
S/A	14dB以上	
量子化ビット数	3	
出力データレート	60 Mbps	30 Mbps×2 ch

- 注 (1) 雑音等顕後方散乱係数, S/A の値には, アンテナ展開の再現性, 衛星の アラインメント, 姿勢誤差, 執道高度変動による影響は含まれていない。
  - (2) 雑音等価後方散乱係数: 観測域からの散乱・反射波の受信電力が受信器の 雑音電力と等しくなる観測域の後方散乱係数
  - (3) S/A (Signal to Ambiguity Ratio): 観測域からの散乱・反射波の受信電力(信号電力)と非観測域から観測域へもれてむ電力比

-1 搭載 SAR の観測基本性能を示す。

#### 4. 画像処理技術の開発動向

コンピュータを利用した ディジタル 画像処理技術の研究開発は、1960年代から行われている。半導体技術が急速に進歩するにつれ、コンピュータの性能は大幅に向上してきたが、ディジタル 画像処理技術も コンピュータの処理能力向上とともに発達してきた。 ディジタル 画像処理技術も コンピュータの処理能力向上とともに発達してきた。 ディジタル 画像処理技術が地球観測用衛星搭載 リモートセンサの データ 処理に応用され、世界各国でその データ 利用が進められた最初の衛星は、1972年に米国が打ち上げた アーツ 1号(後に ランドサット 1号と改名)である (4)。 との衛星には 4 バンド の マルチスペクトルスキャナ が搭載 され、 との光学 センサによって取得された画像 データ のひずみ補正処理は地上の コンピュータによって行われた。現在、ランドサット衛星は 5 号まで打ち上げられており、最近では セマティックマッパ と呼ばれる、より高分解能の光学 センサ が搭載されている。

我が国では、1979年から  $5 \sim \Gamma^{\dagger} + v \sim 1$ 2号及び 3号の直接受信が開始されたが、当社はこの受信設備の開発を行った。最近、我が国では MOS-1 から送られてくる 画像  $\vec{r}-s$  などを地上で処理するための地球観測情報処理設備の開発が行われた。この処理設備には当社の  $3 \sim 10^{4} + 2 \sim 10^{4}$ 

ERS-1 搭載の SAR や光学  $t_2$ サ に見られるように、今後、衛星から送られてくる画像  $\vec{r}$ -9 はますます増加の一途をたどる。 こうした大量の画像  $\vec{r}$ -9 な資源探査などの目的で利用するためには、画像処理を高速かつ効率的に実行することが必要である。しかし、従来の逐次型処理方式に基づいた処理装置では、実用的に満足し得る時間内で処理することは困難な状況にある。例えば、シーサットに搭載された SAR の画像再生処理の場合、75 km 四方の画像を 25 m 分解能で得るには  $10^{11}$  FLOPS もの演算量となる (5) 。そのため、汎用大型  $10^{12}$  -2 でも数十時間の計算時間が必要となるほどである。現在、我が国をはじめ、各国で衛星画像処理に適した処理方式の研究が行われており、高速で使いやすい専用処理装置の開発が進められている。 当社もこの開発に参加しており、CAP( $t_{10}$ 5 $t_{10}$ 7 $t_{10}$ 8 $t_{10}$ 9 $t_{10}$ 

衛星画像処理の分野以外にも、画像処理技術が用いられている分

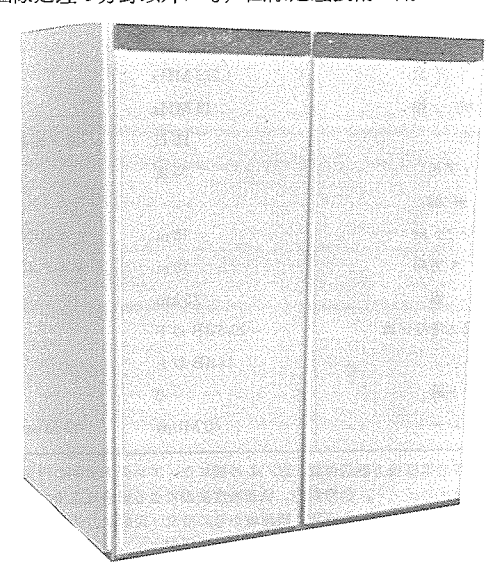


図 7. 当社開発の SAR 専用処理装置

野は多い。例えば,医療分野ではX線を利用して人体の断層撮影を行う CT( $_{1}$  $_{2}$  $_{1}$  $_{2}$  $_{1}$  $_{2}$  $_{1}$  $_{2}$  $_{1}$  $_{2}$  $_{1}$  $_{2}$  $_{1}$  $_{2}$  $_{3}$  $_{1}$  $_{2}$  $_{4}$  $_{4}$  $_{5}$  $_{5}$  $_{7}$  $_{7}$  $_{7}$  $_{1}$  $_{7}$ 

#### 5. 画像処理技術の応用例

画像処理技術の応用例として、 ことでは当社が開発した MOS-1 用地球観測情報処理設備及び三菱画像処理 システム《MELISSA》 について述べる。

#### 5.1 MOS-1 用地球観測情報処理設備

MOS-1 用地球観測情報処理設備は、MOS-1 に搭載された可視近赤外放射計(MESSR),可視熱赤外放射計(VTIR),マイクロ波放射計(MSR)及びデータ収集システム(DCS)の各センサデータを地上で処理するための設備であり,当社が開発したものである。との地球観測情報処理設備は、MESSR、VTIR、MSR及びDCSの各センサデータが並行に処理できるよう,システムの中枢部にはデュアルCPUをもつ《MELCOM 800III/MP》を用いている。また、オペレータの操作を容易にするためにインタラクティブなソフトウェアを開発しており、広範囲な処理メニューの中からのメニュー選択や、各センサの処理組合せの指定などが簡易に行える。更に、MESSR、VTIR及びMSRの生画像並びにひずみ補正処理後の処理済み画像は、R、G、B各8ビットのイメージプレーン及び1,024×1,024の画素表示能力をもつインテリジェントタイプノンインタレースカラーディスプレイ装置を用いて表示することができる。図8.は MOS-1 用地球観測情報処理設備の外観を示したものである。



図 8. MOS-1 用地球観測情報処理設備(宇宙開発事業団地球 観測 セッター 納め)

#### 5.2 三菱画像処理システム《MELISSA》

- (1) 幅広い ユーザー に対応可能なよう, 操作性に優れた画像処理 シ ステム を提供している。
- (2) 濃淡及び カラー 画像に対する 各種画像処理及び 2値画像に対する各種画像処理が可能である。

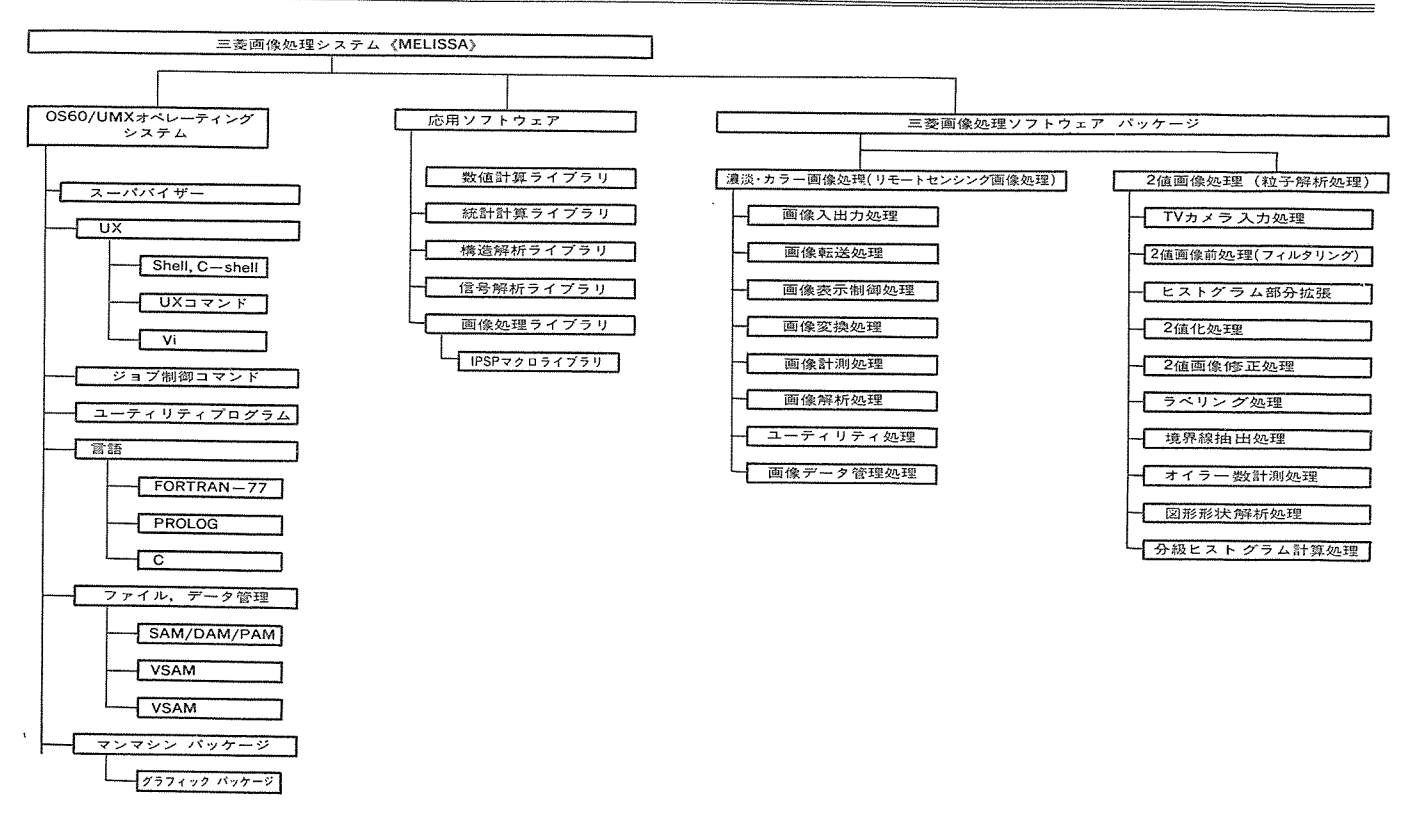


図 9. 三菱画像処理 システム の ソフトウェア 構成



図 10. 三菱画像処理 システム の例(岩手大学納め)

- (3) リアルタイム 性の要求 される 画像処理 システム にも対応可能である。
- (4) 各種画像入力装置を接続できるインタフェース機能を提供している。
- (5) 数値計算や統計計算など、科学技術計算 ライブラリ が充実している。

図 9. に《MELISSA》の ソフトウェア 構成を示す。 図 10. は ラッド サット 衛星の マルチスペクトルスキャナ や セマティックマッパ などの画像処理に使用されている《MELISSA》の システム 例を示したものである。

#### 6. む す び

電波による衛星からの リモートセンシング を中心に、 衛星搭載用電波

センサの開発動向や開発例を述べた。 また, リモートセンシング における 画像処理技術の開発動向や画像処理技術の応用例も併せて述べた。 我が国の衛星搭載用 リモートセンサ や画像処理装置の ハードウェア 開発技術力は, 急速に世界の トップレベル に近づきつつある。 ハードウェア の有効活用の点からも, 今後, 利用技術の一層の進展を図る必要がある。

#### 参考文献

- (1) R. G. Reeves: Manual of Remote Sensing, 1, American Society of Photogrametry.
- (2) 石澤,今谷:海洋観測衛星1号搭載用マイクロ 波放射計,三菱電機技報,57, No. 5 (昭 58)
- (3) R. L. Jordan: The Seasat-A Synthetic Aperture Radar System, IEEE Journal of Oceanic Engineering, OE-5, No. 2 (1980-4)
- (4) 中島:宇宙から地球を探る, 同文書院
- (5) 小野ほか:合成開口 レーダの画像再生信号処理, 三菱電機技報, 56, No. 8 (昭 57)
- (6) T. Kan et al: Parallel Processing on the CAP, Cellular Array Processor, Proc. IEEE Compcon '84 Fall Conference on the Small Computer (R) Evolution.
- (7) M. Ono et al: High Speed Image Processing System for SAR, Proc. IEEE IGARSS '85.

# オーストラリア主要都市間衛星通信システム 今井健雄\*

大場達博\* 田村節夫\*

#### 1. まえがき

オーストラリアは、1985年に2基の通信衛星(AUSSAT)を打ち上げ、パプアニューギニアを含む国内通信用に独自の衛星通信システムを構築している。この衛星通信システムの基幹をなすシステムとして、当社は1982年11月に、オーストラリア全土に展開する合計8局から成る主要都市衛星通信地球局(MCES: Major City Earth Station)システムを受注した。同システムは1986年3月に納入を完了し、現在稼働中である。MCESシステムは、主としてTV番組中継、Hi-Fi音楽放送番組中継、ディジタル通信、アナログ通信など、オーストラリアの国内通信をまかなう機能を有するもので、全土に点在する MCES の無人運転化を行うために本格的な計算機制御を用いた遠隔監視制御システム(SMSS)を導入している。このシステムで納入した地球局の代表例として、シボニー MCES を図 1. に、パース MCES を図 2. に示す。

#### 2. AUSSAT システム

AUSSAT システム は、オーストラリア 政府、ABC 放送、テレコム などが 主体となって、 1982 年 11 月に設立した AUSSAT Pty. Ltd. によ

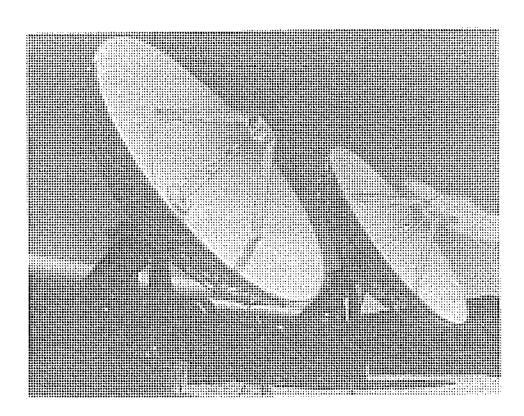


図 1. シドニ- MCES

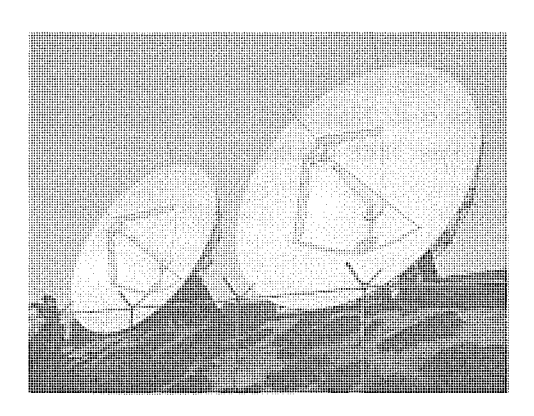


図 2. パース MCES

って運用されており,その衛星も AUSSAT と命名されている。

この システム の目的は,人口の大半が海岸地帯に集中した オーストラリア の内陸に広がる広大な砂漠地帯, 及び北部亜熱帯地域に散在する過疎地域の住民に,テレビ 放送や Hi-Fi ラジオ 放送の サービス を提供するほか,これらの地域が依然として十分な通信手段を提供されていない状態を飛躍的に改善することである。

とのため AUSSAT システムは、他国における衛星通信システムを参考にしながら、

- (1) TV 及び Hi-Fi 放送の都市間番組中継
- (2) 小型受信専用局への直接衛星放送
- (3) データ・音声 (電話) 通信 ネットワーク
- (4) 航空管制
- (5) 衛星放送学校・医療 サービス 通信 など多目的衛星通信 システム を構築している。

AUSSAT 衛星は、これらの目的達成のため、図3. に示すように、四つに分割した地域ごとに高い電力で照射するスポットビームと、全土をカバーするビームとを組み合わせた方式をとっている。図4. に AUSSAT 衛星を利用したネットワークイメージを示す。2機の AUSSAT衛星は、それぞれ東経160°、156°の静止衛星軌道上に位置し、上り回線14 GHz 帯、下り回線12 GHz 帯を用いている。また直線直交二偏波方式で運用し、12 W 出力及び30 W 出力のトランスポンダを合わせて15 台搭載している。表1. に衛星(通信系)の主要諸元を、また、図5. にトランスポンダの周波数配列を示す。

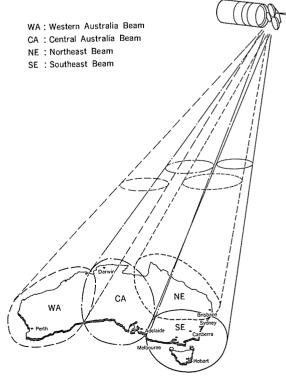
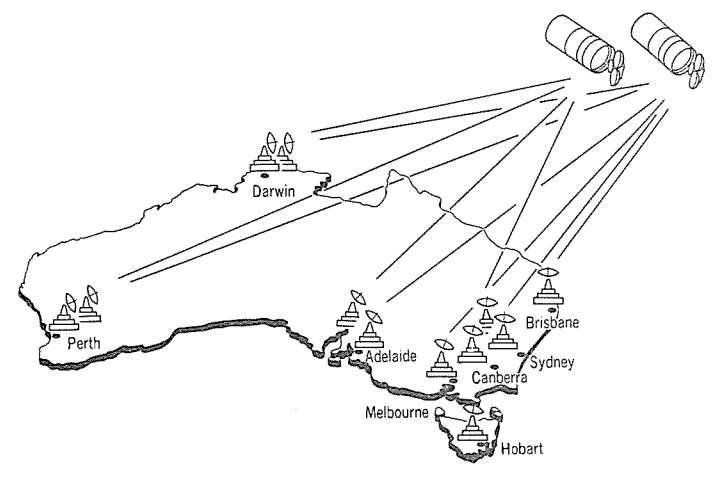
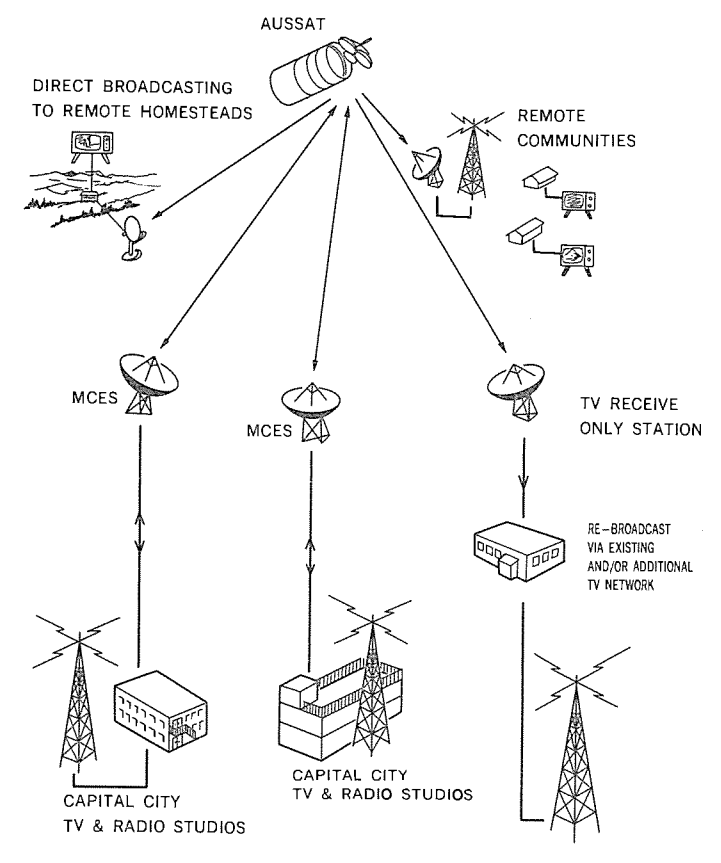


図 3. 衛星 スポットビーム 配置



(a) MCES ネットワーク



(b) TV 放送 ネットワーク

# 図 4. AUSSAT 衛星を利用した ネットワークイメージ

#### 表 1. AUSSAT 衛星の主要性能諸元

姿勢安定 :スピン安定方式

軌道(静止位置): 東経 160° (AUSSAT-1)

156° (AUSSAT-2)

(164° (AUSSAT-3)) トランスポンダ:45 MHz 帯域 (図 3. 参照)

12 W 出力 11 台

30 W 出力 4 台

通信系

使用周波数 :上り回線 14.0~14.5 GHz

下り回線 12.25~12.75 GHz

変換周波数 : 1,748 MHz

EIRP : ナショナルビーム 34 dBW 以上 (12 W トランスポンダ)

38 dBW 以上 (30 W トランスポンダ)

スポットピーム 40 dBW 以上(12 W トランスポンダ) 44 dBW 以上(30 W トランスポンダ)

G/T : -5 dBW/K 以上

飽和電束密度: -80 dBW/m², -85 dBW/m², -90 dBW/m²

(利得設定3段階)

#### 3. MCES (Major City Earth Station)

#### 3.1 MCES の機能

MCES は、AUSSAT システム において主要者が市間を結ぶ基 幹回線をまかなう地球局であり、オーストラリア 全土に散らばる 8 大都市に設定されている。その設備の果たす主要機能は以前 下のとおりである。

- (1) 8都市間での TV 及び Hi-Fi 放送番組を交換する ネットワーク 機能
- (2) 家庭用・地域用小型受信専用局への TV 番組の直接衛星放送
- (3) ディジタル SCPC (Single Channel Per Carrier) 方式による 56 Kbps 中速 データ・電話通信
- (4) アナロク SCPC 方式による 9,600 bps 低速 テーータ・電話通信
- (5) 衛星管制及び通信 システム 監視
- (6) シドニー 局からの全 MCES 局の遠隔監視制御
- (7) 全 MCES 局間の打合せ回線

TV・Hi-Fi 放送番組の交換 キットワーク は、トランスポンダを 2 台使用し、全 8 都市の ABC 放送局(オーストラリア放送会社)間で中継を行って随時番組を交換し、各地域の放送網を通じて一般家庭に全国の番組を流す目的で使われている。

AUSSAT 衛星の追跡管制はすべて AUSSAT 社が行っており、この目的のため、シドニー及びパースに MCES 設備と併せて追跡管制監視設備を設置している。シドニー及びパースのMCES は、MCES としての機能のほかに衛星の姿勢保持のためのグランドビーコンを常時送信するなどの追跡管制監視設備のバックアップ機能をもっている。このため、これらの MCESにはアンテナをそれぞれ2基設置して2機の衛星にアクセスし

ている。  $\mathfrak{I}^{r}=$  及び  $\mathfrak{I}^{r}=$  を除く 6 局は無人運転を行うため,各 MCES 設備の運用状態・障害情報を,  $\mathfrak{I}^{r}=$  局に設置された遠隔監視制御  $\mathfrak{t}^{r}=$  に衛星を経由して転送し, との  $\mathfrak{t}^{r}=$  で集中監視制御を行っている。

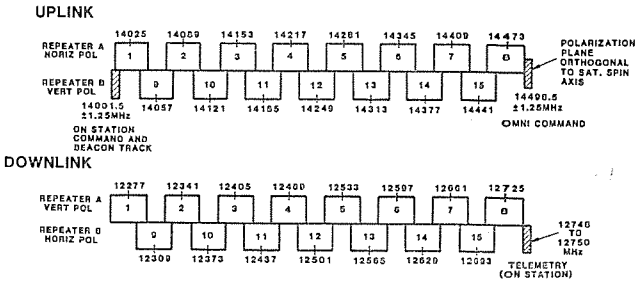


図 5. AUSSAT トランスポンダ。周波数配列

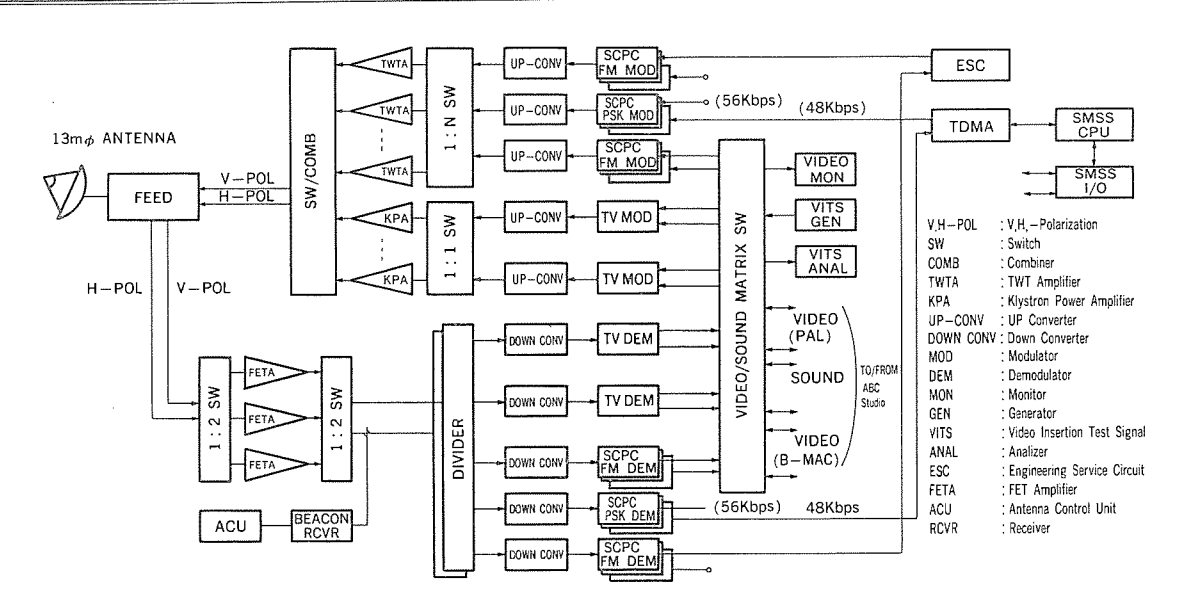


図 6. MCES 総合系統図

各 MCES 間の打合せ用電話回線は、 SCPC-FM 2 チャネル を用い、ダイヤル 信号にて交換接続を行っている。 Ku 帯を用いる場合、オーストラリア の特に北部亜熱帯・熱帯地域では降雨による伝搬損失が問題となるため、これらの地域の MCES では アンテナ 口径を大きくすることで通信回線の品質劣化を防ぎ、更に、降雨減衰量に応じて送信電力を制御し、自動補償する システム も併用している。

#### 3.2 MCES 概要

図 6,に MCES 構成の代表例を示す。各 MCES は、降雨条件に合わせて選択された直径 13 m 又は 18 m の アンテナ、 2 kW クライストロン電力増幅器及び 600 W 進行波管(TWT)電力増幅器で構成される電力増幅器 システム、低雑音増幅器、TV 変復調装置、アナログ SCPC 変復調装置、ディジタル SCPC 変復調装置、打合せ回線用交換機、放送 プログラム 監視装置並びに局監視制御装置から構成されている。以下、各機器の構成及び主要性能について述べる。

#### アンテナ 装置

アンテナ は限定駆動の カセグレン 型で、主反射鏡の直径は、高降雨域の 2 都市(ダーウィン 及び ブリスペン)では  $18\,\mathrm{m}$ , その他の局では  $13\,\mathrm{m}$  としている。 これらの アンテナ は直線直交二偏波用給電部を装備し、 直 交二偏波運用を行っている。 アンテナ の自動追尾には、  $13\,\mathrm{m}\phi$  の アンテナ については ステップ 追尾方式、  $18\,\mathrm{m}\phi$  の アンテナ については モノパルス 追尾方式をそれぞれ採用し、更に、 メモリ 追尾方式を バックアップ として採用して、 信頼性の向上を図っている。

#### (2) 低雑音増幅器

低雑音増幅器は非冷却 FET 増幅器である。 直交二偏波受信のために共通予備構成とし、雑音温度 250 K以下、利得 57 dB 以上としている。

#### (3) 電力増幅器 システム

電力増幅器 システム は、 TV 5 波及び 2 グループの SCPC 波を別個のトランスポンダ に送信する ため、 2 kW クライストロン 電力増幅器及び 600 W TWT 電力増幅器をそれぞれ共通予備方式で構成し、出力送信電力の合成には フィルタコンバイナ を使用している。また、局ごとに電力増幅器 システム の予備構成、 切換制御方式が異なる ため、 システムの切換・状態監視制御には マイコン 制御による CRT ディスプレイ を採用して、柔軟性をもたせている。 これはまた、将来の増設改造に対して柔軟性をもたせていることにもなっている。 Ku 帯での降雨減衰

を補償するための送信電力制御は,衛星 ビーコン 波の受信 レベル 変化 すなわち,受信周波数帯での減衰量を検出し,周波数換算の演算を 行って送信電力を自動補償する方式を採っている。

#### (4) TV 変復調装置

都市間のTV番組交換システムにはPAL方式、また、直接衛星放送にはB-MAC方式と、目的に応じてTV方式を使い分けている。これらのシステムに用いる変復調装置は、いずれもEBU規格(ヨーロッパ放送規格)同等の非常に厳しい規格のものであり、更に、降雨マージンを稼ぐためにスレショルドエクステンション復調器を用いている。B-MACは、従来のPAL方式でTVを伝送する際に色信号が回線雑音によって劣化するのを最小限に防ぐため、色信号、輝度信号を時間分離し、音声信号も併せて時分割多重化して伝送する方式である。(5) SCPC 装置

SCPC 装置は、Hi-Fi 放送番組中継交換用及び電話用の FM 方式 並びに  $56~{\rm Kbps}\, {\it f}$   $-9~{\rm III}$  通信用の PCM-PSK 方式の  $2~{\rm III}$  種類を用いている。Hi-Fi 放送番組交換用には  $450~{\rm kHz}$  の広帯域を使用し、高い S / N比を実現している。また、帯域幅  $45~{\rm MHz}$  の衛星  $150~{\rm III}$  帯域を カバー するため、中間周波数は  $140~{\rm MHz}$  として広帯域化を図っている。

#### (6) 放送 プログラム 監視装置

ABC 放送を始めとする放送局の TV 番組及び Hi-Fi 音楽番組の中継時に中継番組の衛星回線両端での品質監視を行うため、自動監視制御装置を MCES に設置している。 特に無人運用化のために、TV 挿入信号 (VITS) によって 17 項目のパラメータを自動測定し、SMSS ネットワークを通じてシドニー局に転送して集中監視を行っている。

#### 3. 3 SMSS (Station Management Subsystem)

#### 3.3.1 ネットワーク構成

広大な オーストラリア 大陸に散在する 8 都市の各 MCES を,それぞれの局内で,かつ,中央局(シドニー局)で集中的に監視制御するために SMSS を導入している。この システムでは,各局の SMSS が他の局の SMSS の影響を受けぬように それぞれに計算機を持ち,かつ,シドニー局を中心とした スターネットワーク を構築している。図 7.にこの ネットワーク を示す。 RMCC(Remote Monitoring and Control Centre)は シドニー局に在って,これが ネットワーク の中心機能を果た

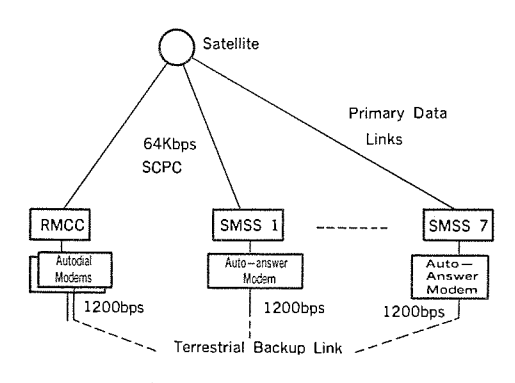


図 7. SMSS ネットワーク

す。SMSS  $1 \sim 7$  は  $\beta_{-2}$ 、 7 デレード など他の 7 局の SMSS である。 RMCC-SMSS 間の監視、制御に関する データは、 衛星回線 (64 Kbps SCPC 固定割当 TDMA) で リック されている。 衛星回線障害時の バックアップ として、 地上電話回線でも データ の送受が可能なようになっている。 これにより、  $\beta_{-2}$  以下の各 MCES の機器が  $\beta_{-1}$  局から集中的に一括して遠隔監視・制御でき、 局運用省力化の強力な武器になっている。

#### 3. 3. 2 SMSS

SMSS は、シドニー局以外の7局に設置され、局内各装置と平均2,000点の監視・制御項目についてのインタフェースを持つ入出力装置、監視、制御データを処理するミニコン、マンマシンインタフェース用制御卓などから構成され、シドニー局のRMCCと衛星回線でリンクされている。SMSSの主な機能は次のとおりである。

- (1) MCES構成各機器の監視と制御
- (2) 機器運用状況のレポート
- (3) シドニー 局の RMCC との データ 通信

#### 3. 3. 3 RMCC

RMCC は、シドニー中央局に設置され、SMSS (各局) 同様の構成装置のほか、二重化中央処理装置、 カラーミミックディスプレイ、シミュレータなどから成っている。 主な機能は次のとおりである。

(1) シドニー 自局内 SMSS 機能及び他の 7 局の SMSS の遠隔集中 監視・制御

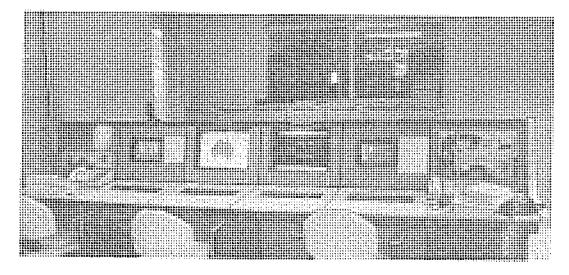


図 8. シドニ- RMCC 制御卓

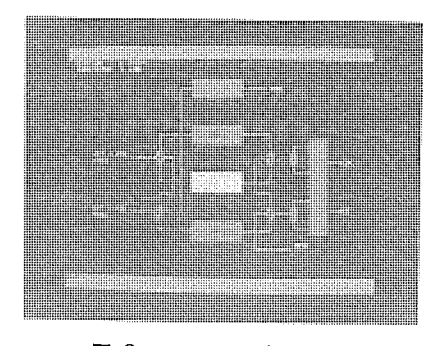


図 9. ミミックディスプレイパターン

- (2) 各局の機器状態の カラーミミック 表示 (約180 画面)
- (3) 衛星回線経由による他局の SMSS への ソフトウェア 転送

二重化中央処理装置は、稼働率向上のために冗長構成を採っているが、 その予備側の装置を使用して新しい ソフトウェア の開発にも供すことができるようになっている。

なお、 $t^{N}_{U-9}$ の誤操作を防ぐため、 通信機器に関する制御命令は、実行までに 2 段階の  $p_{D au_{D}}$  が必要となるように工夫されている。図 8. に制御卓の外観図、 図 9. に 100 回面の一例を示す。3. 3. 4 TDMA

RMCC と各 SMSS 間の監視・制御情報 データの送受は、衛星回線の場合、TDMA 方式を用いている。伝送される情報量、拡張性などの観点から、このシステムでは固定 タイムスロット TDMA 方式を採用している。TDMA フレーム 内の基準 バースト に シドニー 局から各局 SMSS への制御命令情報を乗せ、 その他の TDMA バーストスロット は固定割当で各局の SMSS に割り当 てて、シドニー 局への監視情報を転送するために用いている。この TDMA 方式による データ 伝送には、 Rate 3/4 畳み込み符号を用いた誤り訂正器を使用して、 衛星回線区間で生じる符号誤りに対して データ を ガード し、 系の ビット 誤り率、データスレープット 率の改善を行っている。

#### 3.4 電力増幅器 (HPA) システム

#### (1) 構成

MCES で用いられる HPA は、主として下記の装置から構成されている。

- (a) 600 W TWT HPA
- (b) 2kW クライストロン HPA
- (c) 送信出力合成回路
- (d) システム 監視制御装置
- (e) 送信電力制御装置

図 10. に シドニー 局 HPA の例を示す。

#### (2) 600 W TWT HPA

MCES 8 局に合計 54 台の 600 W TWT HPA を設置している。 この HPA は、RF 部と電源部の 2 分割構成で、 1 架に HPA を 2 台実装している。RF 部は、600 W 出力高能率 TWT、FET 増幅器、出力 サーキュレータ、受信帯域 カットオフフィルタ などから構成され、 セットとして出力 500 W、利得 75 dB を得ている。電源部は、スイッチングレギュレータ 及び DC-DC コンバータ を使用して小型軽量化を図り、更に、各部の モジュール 化を行って保守性の向上をねらった。

#### (3) 2kW クライストロン HPA

クライストロン HPA は、 1 dB 帯域幅 85 MHz、 2 kW 出力の クライストロン 管を使用し、TV 送信用に合計 33 台が使用されている。

#### (4) 送信出力合成回路

出力合成に用いる電力合成器として、45 MHz 帯域幅、低損失、 $2\,\mathrm{kW}$  耐電力の フィルタコッパイナを開発し、合計約60 台を使用している。 との フィルタコッパイナは、 $\mathrm{TE}_{011}{}^\circ$  モードを使用した4 段結合形 フィルタ を使用し、高電力時の周波数 ドリフト を抑える工夫をとらしている。 フィルタコッパイナ 入出力端には バイパス 用の導波管切換器を設け、他送信波に関係なく フィルタコッパイナの交換を行えるように配慮している。

#### (5) システム 監視制御装置

システム 監視制御装置は、 HPA システム の系統表示、 現用/予備切換の制御・表示などを行う。 HPA システム では共通予備構成を多用しているが、 論理回路の標準化により、 1種類の回路で各種の予備方

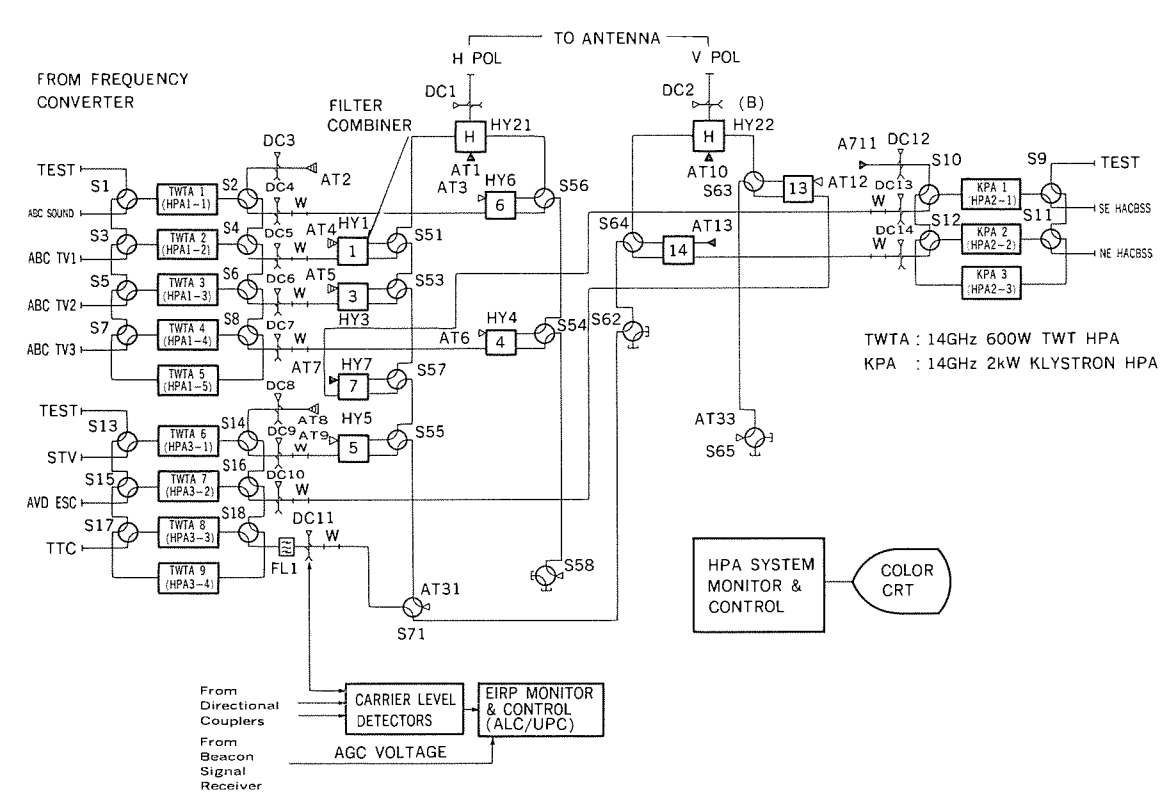


図 10. シドニー局 HPA システム の構成図

式切換が行えるようにしている。系統表示にはマイコンとカラー CRT を使用した装置を開発し、 プログラム の交換により、多様な冗長系構成又は将来の拡張、構成変更に対して柔軟に対応できるようにしている。

#### (6) 送信電力制御装置

送信電力制御装置は、TV 波及び SCPC 波に対して ALC (自動電力制御)をかけるとともに、降雨減衰量の大きな地域の局では降雨補償を行っている。N-Fウェアは TV 波/SCPC 波兼用とし、ソフトウェアによって動作モードを切り換えている。ALCのフィードバック演算もソフトウェアで行い、TV 波/SCPC 波用の ALC 回路時定数はそれぞれ個別に設定して使用している。SCPC の EIRP(実効放射電力)値は、RF 総電力を POF-rJF+rル数で割算して平均値を求め、F+rル当たりの EIRP として表示している。同一トランスポンダに異なる EIRP の SCPC 波 2Jループを送信する場合には、EIRP の差を POF-r 数に置換して、POF-r がを送信する場合には、EIRP の差を POF-r 数に置換して、POF-r があるとなっている。 SCPC 波の中には継続する TDMA 波も含まれる。この場合、EIRP 検出誤差を小さくするために、TDMA 波の フレーム 周期に合わせて RF 総電力の検出を行い、更に POF-r ブチャネル数で割算して平均化することによって安定した EIRP 検波出力を得、これを基準に ALC 制御を行っている。

上り回線の降雨減衰量は、晴天時と降雨時の受信 ビーコンレベル の差を検出して下り回線の降雨減衰量を割り出し、これに周波数の補正値を掛けて 算出している。スレショルドを超える降雨減衰時には、ALC 基準値にこの上り回線降雨減衰量を加算して送信電力を補償する。通常 3~4 dB、降雨の激しい地区の局では8 dBまでの補償を行っている。

ALC付加により、EIRP安定度は通常 ±0.1 dB 以下が実現され、

また、降雨減衰補償も簡便な方式ながら実用上十分な精度と速応性を得ている。なお、シドニー局 RMCC から SMSS 衛星回線を介してALC 基準値の変更が可能であり、シドニー局を除く MCES 局の無人化に寄与している。

#### 4. む す び

本稿で紹介した MCES システムは、AUSSAT システムの基幹をなす ネットワーク であり、 放送、通信両用に対応した多目的 システム である こと、世界的に導入されつつある Ku 帯を利用した本格的な衛星通信 システム であること、 更に、降雨減衰補償の実用化、計算機を用いた遠隔監視制御 システム の採用など、 これからの国内衛星通信 システム の技術動向を リード する システム であると言える。また、当社にとっては、数多くの新規技術開発を行いながら、衛星通信機器の本格的な海外現地生産を行って完成させたことに意義があった。今後、これらの開発技術、経験が、我が国を始めとする民間の衛星通信の発展に十分寄与するものと考えている。

AUSSAT  $_{2\sqrt{2}7}$  は、MCES による大都市間通信  $_{4\sqrt{2}17}$  のほか、MCES を親局とする  $_{3\sqrt{2}}$  通信網、小型局のみによる小容量通信網、へき地の児童生徒を対象とした衛星通信学校、 医療 サービスネットワーク、民間の軽飛行機を対象とした航空管制  $_{4\sqrt{2}17}$  のより、今後更に企業内通信、大容量  $_{5\sqrt{2}17}$  の過行が見込まれている。また、7年後に計画される次世代衛星では、  $_{2\sqrt{2}17}$  で含む南太平洋全域を サービス 範囲として おり、AUSSAT  $_{2\sqrt{2}17}$  は更に発展するものと期待される。

最後に、この MCES システム の完成に当たって御協力いただいたAUSSAT 社の関係各位に深く感謝する。

# 衛星搭載用アンテナ

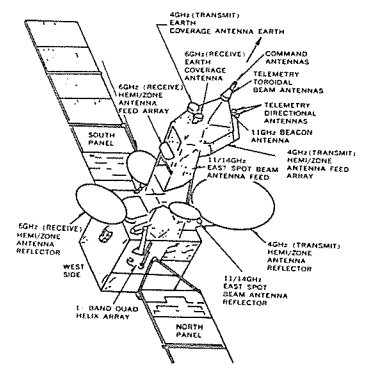
片木孝至\* 赤石 明\*\* 小林右治\*\*

# 1. まえがき

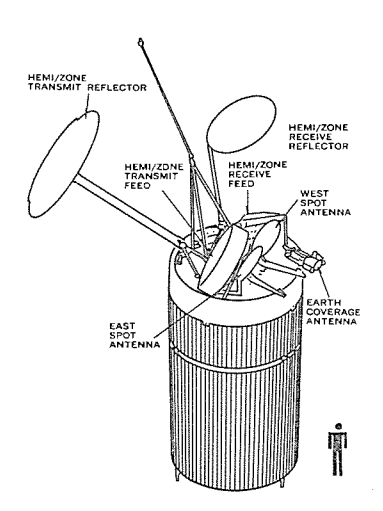
宇宙に浮かぶ人工衛星にとって $r_{\nu \nu \tau}$ †は不可欠の構成品である。 人工衛星の発展段階、用途に応じて、これまで種々の型式の $r_{\nu \nu \tau}$ †が開発されてきた。本稿では、衛星搭載用 $r_{\nu \nu \tau}$ †の最近の技術状況と将来動向及び当社技術の紹介を行う。

通信衛星として INTELSAT 衛星, 放送衛星として TV-SAT, 観測衛星として SEASAT-A を例にとって最近の技術状況を示す。 通信衛星の分野では,限られた資源である周波数を有効に利用し, 通信容量を増大するとともに,数の多い地球局の小型化を実現して システム 全体の費用を軽減するために,多数の鋭い ビーム をもつ マルチ ビームアンテナ が必要となる。また,観測衛星の分野でも,分解能を上 げるために鋭い ビーム をもつ アンテナ が必要である。

このため、世の中の電子機器が小型化されていく中で、アンテナは大型化していく傾向にある。しかし、打上げロケットによって大きさ、重量が制限されるので、アンテナ展開技術、軽量化技術が重要となる。用途としては各種の民間衛星、宇宙基地などが計画されているので、アンテナの大型軽量化技術、測定技術、 設計 ソフトウェア の開発といっ



(a) INTELSAT-V



(b) INTELSAT-VI

図 1. INTELSAT-V・VI の アンテナシステム (文献(2)から引用)

た技術的課題のほかに、 コスト の低減も重要な課題である。

当社は、我が国において人工衛星が計画された初期から、従来地上マイクロ波回線用アンテナ、衛星通信地球局用アンテナで培った技術を基にして、関係機関に協力して衛星搭載用アンテナの開発を進めてきた。通信衛星搭載用成形 ビームアンテナ、INTELSAT-V(I-V)用グローバルビームアンテナ等は、他に例を見ないユニークなアンテナである。海洋観測衛星1号(MOS-1)用マイクロ波放射計アンテナ、地球資源衛星1号(ERS-1)用合成開口レーダアンテナ等も近い将来打上げが予定されている。更に、マルチビームアンテナについては、アレーアンテナ型式の技術試験衛星収型(ETS-VI)用衛星間データ中継アンテナ、INTELSATの研究開発プロジェクトで開発した画期的な特性をもつつロントフィードオフセットカセグレンアンテナ等のBBMも開発しており、今後の発展が期待される。

## 2. 衛星搭載用アンテナ技術の現状と将来動向

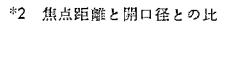
#### 2.1 搭載用アンテナ技術の現状

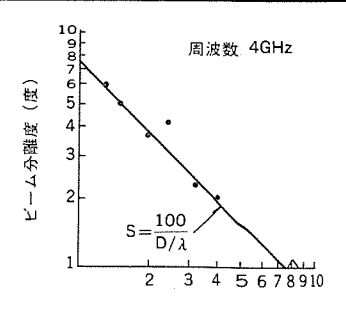
衛星搭載用 アンテナ は、通信用、放送用及び観測用の三つに大きく 分類される。その他 テレメトリ・コマンド 用 アンテナ がある が、アンテナ 技 術としては特記する事項が少ないので、本稿では省略する。上記分

表 1. INTELSAT-V • VI の アンテナパラメータ

	- , ,	, , , , , ,
バラメータ	INTELSAT-V	INTELSAT-VI
衛星打上げ年	1980	1987(*1)
アンテナ総重量 (kg)	69	313
アッテナ数	7	11
4 GHz HEMI/ZONE アンテナ開口径 及び F/D 比(*2)	2.44 m F/D=1.02	3.2 m F/D=1.3
4GHzフィードサイズ	1.03 m	1.9 m
ホ ー ン 数	90…Rx 88…Tx	142···Rx 146···Tx
ホ - ン 材 料	CFRP	アルミニウム
вги	サスペンデッド ストリップ ライン 2 Hemi-Networks (固定) 2 Zone-Networks (3 大洋カバレッジ再成形)	方形同軸 TEM ライン 2 Hemi-Networks (固定) 12 Zone-Networks (4×3 大洋スイッチ切換)
BFN 損 失	1~1.3 dB	0.5~0.9 dB
周波数多重度	4	6

\*1 予 定





鏡面開口径 (m)

図 2. 鏡面開口径と ビーム 分離度 (文献(2)から引用)

類に従って搭載用 アンテナ 技術の現状を紹介する。

#### 2.1.1 通信用アンテナ

衛星搭載用 アンテナ として、目覚ましい発達を遂げているのが通信用 アンテナ である。日本、アメリカ、ヨーロッパ等、 それぞれ特有の仕様 に基づく通信衛星を開発しており、アンテナ も独自の技術で開発されている。例えば、日本の通信衛星 2号(CS-2) に搭載されている成形 ビームホーンリフレクタアンテナ は、 日本のように 小さな単一の カバレッジ を効率良く照射するのに適しており、 一方、 アメリカ のように 大陸で都市が散在する カバレッジ に対しては、トラフィック に対する重み付けの可能な マルチビームアンテナ の研究が主流となっている(1)。

通信用  $r_{0}$   $r_{0}$ 

図 1. に I-V 及び I-VI の  $r_{\nu\tau}$  ナシステム を示す。また,表 1. には 両衛星用  $r_{\nu\tau}$  ナシステム の パラメータ をまとめて示す。この表から,I-V と I-VI との顕著な差として重量の増加及び周波数利用の多重度が 挙げられる。重量増加の主原因は  $r_{\nu\tau}$  の大型化によるもの であるが,この  $r_{\nu\tau}$  の大型化が 6 重の周波数再利用をもた らしてもいる。すなわち,多重度を上げるには カバレッジ を細分化し,各 カバレッジ 間の  $r_{\nu\tau}$  でとればよいが,このようにすると隣接 ビーム 間隔が小さくなり,したがって  $r_{\nu\tau}$  でのようにすると隣接 ビーム 間分離度 27 dB のときの隣接 ビーム 間隔と  $r_{\nu\tau}$  井口径の関係を示す  $r_{\nu\tau}$  の。黒丸は  $r_{\nu\tau}$  から  $r_{\nu\tau}$  の実績, $r_{\nu\tau}$  のによる 8 重の周波数再利用時の予測値である。このときは,一次 ホーッとして  $r_{\nu\tau}$  という 5 倍の数が必要と予想される。

### 2.1.2 放送用アンテナ

放送衛星としては、日本の放送衛星(BS)シリーズ、ドイツ/フラシスの TV-SAT/TDF-1 などが直接放送を行っているが、カナダの ANIK シリーズ でも衛星放送の開発が進められている。米国では、放送衛星 プロジェクト は余り活発でなく、アンテナ としても特記すべきものはない。ここでは、一例として TV-SAT について述べる。この衛星は Ku バンド(17/12 GHz 帯)を用い、だ円開口の オフセットパラボラと、 だ円開口 コルゲートホーン によって左右両円偏波共用のだ円 ビームを実現している。また、アンテナ 指向制御機構として高次モード型の RF センサを備え、 $\pm 0.1^\circ$  の指向精度を得ている。放送衛星は送信出力の大きなことが特徴である。例えば、 TV-SAT では出力 260 Wの TWT を搭載しており (3)、 隣接国への干渉を避けるために世界無線主管庁会議 (WARC) によって厳しいパターンエンベロープが規定されており、アンテナ技術としては低 サイドローブ 化を考慮する必要がある。

#### 2.1.3 観測用アンテナ

観測衛星としては、米国で打ち上げられた LANDSAT や、SE-ASAT がその代表といえるので、1978 年に打ち上げられた SE-ASAT に搭載されているマイクロ 波放射計(MSR)及び合成開ロレーダ(SAR)について述べる。MSR は受動 センサ であり、周波数は  $6.6~\mathrm{GHz}$  から  $37~\mathrm{GHz}$  まで  $5~\mathrm{i}$  波使用していて、 $37~\mathrm{GHz}$  での地表面解像度は  $16~\mathrm{km}\times25~\mathrm{km}$  である。アンテナ は開口径  $79~\mathrm{cm}$  の オフセットパラボラ 型式で、 鏡面には グラファイトエポキシ に アルミニウム 皮膜を形成している。多周波共用給電回路は図  $3.~\mathrm{kc}$  ボナように単一 ホーン 構造であり、リング 装荷形 コルゲートホーン を使用している (4)。 合成開口 レーダアンテナ は、 $10.74~\mathrm{m}\times2.16~\mathrm{m}$  の マイクロストリップアレーアンテナ で、 $8~\mathrm{kt}$  パネル

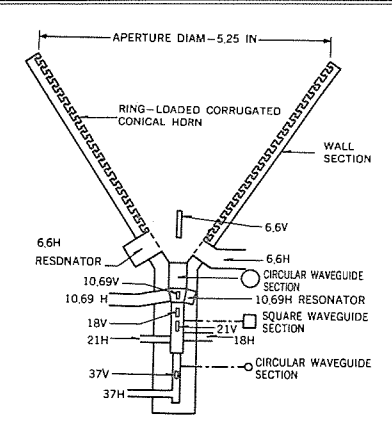


図 3. MSR 用多周波共用 フィードホーン (文献(4)から引用)

で構成されている。各 パネル間は可とう同軸管で接続されており  $^{(4)}$ 、 重量 128~kg である。使用周波数は 1,275~MHz、  $_{7 \nu \mp 7} \pm 7 \pm 6.2^{\circ}$  で、解像度は 25~m である。

#### 2.2 搭載用アンテナ技術の将来動向

衛星搭載用アンテナ技術の今後の焦点は次の4点にまとめられよう。

- (1) 大型軽量化 アンテナ 技術
- (2) アクティブアレー 技術
- (3) 測定技術
- (4) 設計 ソフトウェア

アクティブアレー 技術については、マルチビームアンテナ の発達とともに給電回路が複雑になり、特に カバレッジ を再成形する場合には可変電力分配器や移相器が多数必要となるために挿入損失の増加が著しい。 との点から、アクティブ 素子を用いた ビーム 形成回路 (BFN) や アレーアンテナ が将来の キー技術の一つと考えられる。 搭載用導波管形 アクティブアレー の研究は米国でも進められているが、 将来的には、 前記

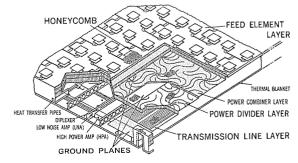


図 4. [軽量化 アクティブネットワーク (文献(4)から引用)

LMSS 用として提案されている図 4. に示す軽量化 アクティブネットワーク が有力となろう。アクティブアンテナ では熱制御技術も重要となる。

測定技術については、アンテナの大型化に伴い、従来の屋外遠方界測定方法の見直しが迫られている。測定距離及び環境条件の制約などから、屋内での近傍界測定(NFAM)が主流となろう。大型アンテナでは従来の XY 走査や球面走査が適用できない場合も予想され、供試アンテナの軸回りの回転を利用する平面一回転併用型が有効となろう。また、大型アンテナでは、重力による変形をどのように処理するか、検討を要する問題であろう。鏡面変形の測定法も、従来の機械測定にかわるホログラフィなどが必す(須)となろう。展開アンテナとマルチホーンフィードとの組合せアンテナでは、地上での受信パターンの異常からアンテナシステムの異常箇所を診断する技術も必要となろう。INTELSATでは、1986年からこの診断ソフトウェアの開発に着手している(6)。

設計 プログラム の重要性は言うまでもないが、将来は、メッシュ 鏡面・グリッド 鏡面・相互結合を考慮した マルチホーンフィード と BFN、 衛星上の多数の アンテナ 間干渉及び構体の影響など パラメータが増加するため、 これらが組み合わされた システム に対する最適化設計 ソフトウェアの開発は大きな技術的 ポイント となろう。

# 3. 通信・観測衛星搭載用アンテナの当社技術

## 3.1 CS-2 用通信アンテナ

日本の国内通信衛星 CS  $_{2}$   $_{1}$   $_{2}$   $_{3}$   $_{4}$   $_{5}$   $_{5}$   $_{1}$   $_{5}$   $_{5}$   $_{5}$   $_{1}$   $_{5}$ 

成形 ビームアンテナ の設計は、開口面上の波面の形状に着目し、波面の中央部を球面波としてその外形を照射領域の形状に合わせ、波面の周辺部は中央部に滑らかに接続する繊織面で構成するというアイデアに基づいている。 こうした波面を実現する鏡面は、光路差一定の原理によって決定される。マイクロ 波帯では、波長に比べて鏡面の放物面からのずれが小さいので、 開口形状で決まる ビーム 幅を持つペンシルビーム となる。 図 5. は通信用 アンテナ の外観であり、 開口 径950 mm の修整された反射鏡、 円すい ホーン 及び多周波共用分波装置から構成されている。 円すい ホーン の開き角は 40°で、 直径 200 mm のところで上部と下部に分割され、上部が反射鏡部とともに デスパン 機構部によって保持されて回転する。 表 2. 及び図 6. はそれぞれ通信用 アンテナ の主要諸元及び放射 パターン を示す。 当社では、現在、更に通信衛星 3 号 (CS-3) 用 アンテナ の開発を行っている。3. 2 I-V 用グローバルビームアンテナ

I-V 用 グローバルビームアシテナ<sup>(10)</sup> は、地球全域を カバー する 6 / 4 GHz 帯の中利得 アシテナ であり、通信用に用いられる。 この アシテナ は、地球局のだ円偏波率評価用にも用いられるため、特に低いだ円偏波率を要求された。 このため、当社では、 アシテナ 方式として フレアアイリス 型複 モードホーン を採用して広帯域設計を行い、また測定方法も開発し、22° の カバレッジ 内でだ円偏波率 0.4 dB 以下を実現した。



図 5. CS-2 通信用 アンテナ

表 2. CS-3 通信用 アンテナ の主要諸元

項		B	諸	元
-34		E	C-バンド	Ka-バンド
アン	テナ	型岩	ホーンリフ	レクタアンテナ
周 波	数	(送信	3.7—4.2 GHz	17.7—19.45 GHz
周 波	数	(受信	5.9256.425 GHz	27.5-29.25 GHz
利		往	25 dBi 以上	33 dBi 以上
アンラ	ナ別	1口往	95	0 mm
N		h	14	.7 kg

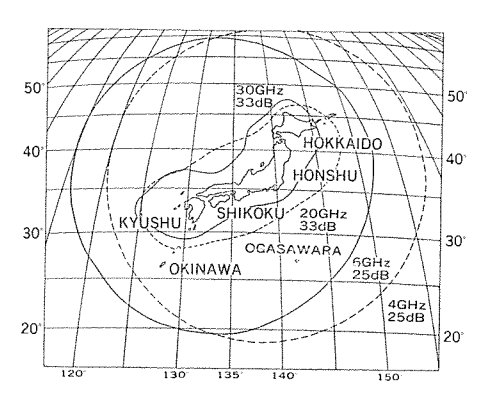


図 6. CS-2 通信用 アンテナ の放射 パターン

波発生器、偏分波器及び円形一く形導波管変換器から構成され、円すいホーンは CFRP、TM<sub>II モードコンバー</sub>タと円偏波発生器は チタン、その他は アルミニウム で作られていて、 軽量で熱変形の小さい設計となっている。 アンテナ 利得は カバレッジ 内で、 6 GHz が 14.8 dBi 以上、4 GHz が 16.5 dBi 以上である。

# 3. 3 MOS-1 用マイクロ波放射計アンテナ

MOS-1用マイクロ 波放射計は、海面又は海洋上の大気中から放射されるマイクロ 波雑音電波を衛星上で受信することにより、海洋上の大気中の水蒸気量、水量及び海水又は雪の分布状況などの観測を行うものである。このアンテナとしては、地表面を広く掃引するために図 8. に示すような コニカルスキャン 方式の アンテナ (11) が採用されており、アンテナ の ビーム 軸は、回転軸に対して 10° オフセット している。回転軸に対して軸対称な ホーン を持つ オフセットカセグレンアンテナ を採用し、ホーン 部以降は衛星に固定し、主及び副反射鏡を回転することによってビーム を走査する。表 3. に アンテナ の主要諸元を示す。

#### 3.4 ERS-1 用合成開口レーダ (SAR) アンテナ

ERS-1用 SAR は,570 km の高度から,周波数 1,275 MHz, スウォース 幅 (影像を取得する横幅)75 km,オフナディア角 (衛星直下点方

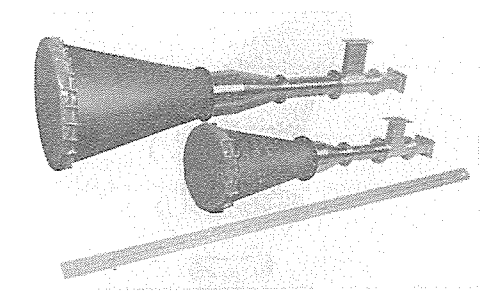


図 7. INTELSAT-V用 グローバルビームアンテナ

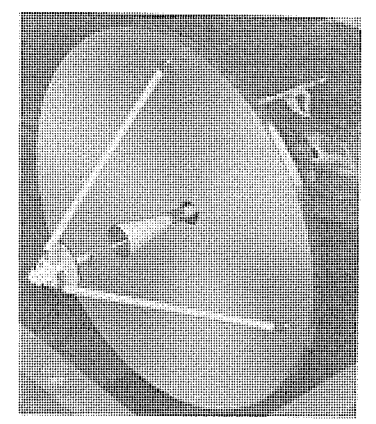


図 8. MOS-1 用 マイクロ 波放射計 アンテナ

表 3. MOS-1 用 マイクロ 波放射計 アンテナ の主要諸元

-755	諸	元
項目	23 GHz 帯	31 GHz 带
アンテナ型式	オフセットカセ	グレンアンテナ
走查方式	コニカルスキャンプ	ī式 (走查角 ±10°)
アンテナ開口径	φ500	mm
観 週 周 波 数	23.8±0.20 GHz	31.4±0.25 GHz
偏 波	水平	垂 直
利 得	36.7 dBi 以上	39.1 dBi 以上
ビ ー ム 幅	1.89±0.19°	1.31±0.13°
ビーム走査角	20±1°	20±1°
サイドロープレベル	-12 dB 以下	-12 dB 以下
交差偏波識別度	25 dB 以上	25 dB以上
VSWR	1.4 以下	1.4以下

向とアンテナビーム方向のなす角) 35°で、分解能が 18 m×18 m の影像を取得することを目的としている。SAR アンテナは、図 9. に示すように、電気的に同一設計の 8 枚のパネルで構成される展開 アンテナである(12)。アンテナの型式は薄型軽量化の観点から、SEASAT-A と同じマイクロストリップアレーを用いている。しかし、アンテナの構造はSEASAT-A のトラス構造と異なり、構造が簡単で、太陽電池パドルで先行技術をもつパネル構造を採用している。すなわち、アルミハニカム 放射パネル 生にマイクロストリップアンテナを構成する誘電体 ハニカム 放射パネルをはり合わせ、このパネルのみで必要な強度と剛性を確保している。アンテナの展開はパネル間のヒンジに内蔵されたばねによって行われ、展開後はラッチ機構により固定される。アンテナの給電方法は同軸線路を主体としたコーポレート給電回路であり、素子の励振分布は均一分布である。表 4. は ERS-1 用 SAR アンテナの主要諸元をまとめたものである。

#### 3.5 ETS-VI 用衛星間データ中継アンテナ

ETS-VI 用衛星間 データ 中継 アンテナ は、電波研究所殿の御指導により開発した S バンド の衛星間 データ 中継 システム 多元接続回線への

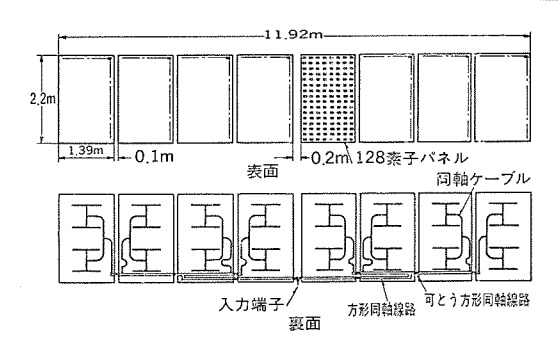


図 9. ERS-1 用 SAR アンテナ

表 4. ERS-1 用 SAR アンテナ の主要諸元

項 目	諸 元	備考
1. 中 心 周 波 数	1,275 MHz	
2. 帯 域 幅	15 MHz以上	
3. 偏 波	直線	н-н
4. 利 得	33.8 dBi 以上	
5. ピ ー ム 幅	5.60° 以下(レンジ) 1.05° 以下(アジマス)	
6. サイドローフ	-11.5dB以下(レンジ) -11.0dB以下(アジマス)	
7. VSWR	1.5 以下	
8. 耐 電 ナ	1.5 kW 以上	
9. オフナディア	35±0.5°	
10. 開 口 寸 法	2.20 m×11.92 m	電気寸法
11. 重 型	140 kg 以下	

適用を目指した 19 固定 マルチビーム / 1 走査 ビーム の アレーアンテナ である (13)。 アンテナ は図 10. に示すように放射部が 19 素子の アレーアンテナ で,うち 12 個が送受信共用,他の 7 個が受信専用である。 受信は,2.3 GHz 帯で地球から高度 1,000 km ま での視野  $20^\circ$  の空間を 19 個の固定 ビーム で覆い, 送信は 2.1 GHz 帯の 1 走査 ビーム で複数の 1 一 衛星に対して時分割で使用する。

素子 アンテナ は,薄型・軽量で広帯域の 7 素子円偏波 マイクロストリップサブアレー を使用している。 各素子には RF モジュール と呼ばれる送受信回路と受信専用回路とが接続されている。送受信 モジュール は, サーキュレータ,ミキサー, IF アンプ 及び 4 ピット PIN ダイオード 移相器で構成されている。 マルチビーム 形成回路は IF 帯で行う方式であり,抵抗マトリクス 回路を採用している。

マイクロストリップサブアレー は、広帯域化のために厚さ 10 mm の厚い誘電体基板を使用し、2点給電している。このため、高次モードの発生による軸比の劣化が生ずるが、サブアレー内の円形素子にノッチを設けることによって軸比を改善し、サブアレー視野内の軸比を 1.5 dB 以下に抑えている。また、隣接 ビーム 中間の利得低下を補償するため、抵抗マトリクスの出力端で隣接する 2 ビーム又は 3 ビームを合成して実効的に新しいビームを作るビーム合成法(13)を採用し、25 dBi 以上の利得を実現している。

#### 3.6 フロントフィード オフセットカセグレンアンテナ

周波数利用の多重度を高め、地球局を小型化するためには、高利得で高い交差偏波識別度をもつマルチビームアンテナが望まれる。一般にビーム 偏向角と ビーム 幅との比率が増大するにつれて、開口面上の収差が増大し、利得低下、サイドローブレベルの上昇が生じ、交差偏波識別度も劣化する。パラボラアンテナでは収差を小さくするためには焦点距離を長くする必要があり、全体の構造が大きくなる。また、交差偏波識別度にも限界がある。

INTELSAT では、研究開発 プロジェクト として 2 枚の反射鏡をも

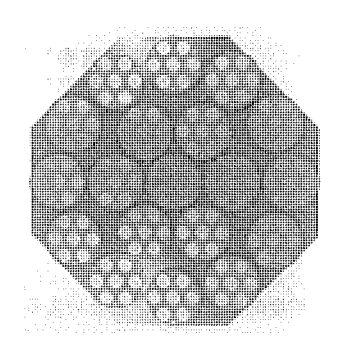


図 10. ETS-VI 用衛星間 データ 中継 マルチビームアンテナ

つマルチビームアンテナを取り上げ、静止軌道から地球全体を見る視野角  $20^\circ$  の サービスエリア を  $0.5^\circ$  の ビームで覆う マルチビームアンテナ を開発の目標とした。 当社では、これにこたえて フロントフィード オフセットカセグレンアンテナ  $^{(14)}$  (FFOC) を開発し、優れた特性を持つことを証明した。開発した アンテナ は、図 11. に示すように主反射鏡が パラボラ、副反射鏡が 双曲面で構成され、 オフセットカセグレンアンテナ と異なって一次放射器が ビーム 放射方向に配置される。 特長として、アンテナ の収納、展開が容易であり、 給電  $\pi$ ーン の最適位置の軌跡が平面に近いことから平面 アレー時の特性の劣化が極めて小さいことが挙げられる。図 12. は、開口径 120 波長のときの視野端(地球 195)における利得特性を示す図で、正面方向利得は 50.2 dBi、視野内の利得低下の最大値は 2.2 dB である。また、交差偏波 1.2 心の最悪値は 1.2 dB である。

### 4. む す び

衛星搭載用 アンテナ 技術の現状と将来動向,及び当社の技術について紹介した。現在実用されている大型 アンテナ はほとんど反射鏡 アンテナ であり,展開・組立技術・軽量化技術・ビーム 方向制御技術などが開発の焦点となっている。しかし,半導体の進歩に伴い, アクティブ 素子及びそれを用いた アレーアンテナ の発達は著しく,衛星搭載用 アンテナへの応用が考えられている。 大電力を必要とする放送衛星用アンテナ<sup>(15)</sup>,又は フェーズドアレー を用いて鋭い ビーム を高速で異なる地域へ照射する スキャニングスポットビームアンテナ<sup>(16)</sup> などが提案されており,今後発展していくものと思われる。

### 参考文献

- (1) C. C. CHEN et al: Advanced 30/20 GHz Multiple Beam Antenna for Future Communication Satellites, IEEE, Eascon 16 th, pp. 95 (1983)
- (2) P. NEYRET: Antenna Technology in INTELSAT, Antenna and Telecommunication, 40, No. 7-8 (1985)
- (3) R. Arnim: The Franco-German DBS Program TV-SAT/ TDF-1, AIAA-84-0667 (1984)
- (4) E. G. NJOKU, et al: The Seasat Scanning Multichannel Microwave Rodiometer (SMMR)-Instrument Description and Performance, IEEE Journal of Oceanic Eng., OE-5, No. 2 (1980)
- (5) Request for Proposal INTEL-480: Compact Lightweight Dual Circularly Polarized 6 and 4 GHz Array Radiator

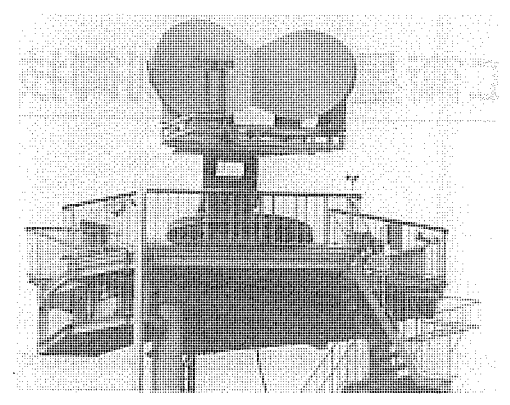


図 11. FFOC アンテナ

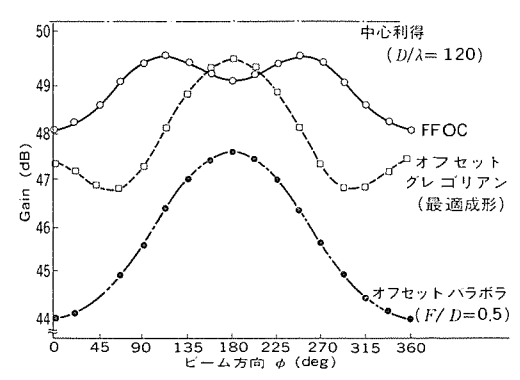


図 12. ビーム 偏向時の利得 (ビーム 偏向角 10°)

Technology for Multibeam Spacecraft Antenna System (1985–11)

- (6) Request for Proposal INTEL-428: 11 GHz Multi-Beam Direct Radiating Array Antenna Technology (1984-2)
- (7) K. E. Woo et al: Large Space Antenna Communication Systems-Integrated LaRC/JPL Technology Development Activities, III JPL Activities, Large Space Antenna Systems Tech. pp. 833 NOV. (1982-11)
- (8) Request for Proposal, INTEL-477: RF Determination of Reflector Surface Distortion and Antenna System Anomalies (1985-6)
- (9) 進土ほか: 国内通信衛星用多周波数帯共用成形 ビームホーンリフレクタアンテナ, 信学 AP 研, AP 72-67 (昭 47)
- (10) 川端ほか:インテルサットV 6/4 GHz 帯直交偏波共用 ホーンアン テナ, 信学 AP 研, AP 81-116 (昭 56)
- (11) 石沢ほか:三菱電機技報, 57, No. 5, p. 53 (昭 58)
- (12) 赤石ほか:合成開口 レーダ用 アンテナ,日本 リモートセンシング 学会,第4回学術講演会論文集(昭59)
- (13) 手代木ほか: データ 中継衛星用 マルチビームアレーアンテナ の開発, 信学技報, SAT 84-57 (昭 60)
- (14) 牧野ほか: フロントフィードオフセットカセグレン 形式 マルチビームアンテナ, 信学 AP 研, AP 83-138 (昭 59)
- (15) 後藤: ァレイアシテナの利用による放送衛星の固体化, 信学 AP 研, AP 84-122 (昭 60)
- (16) Y. S. YEH: Scanning Spot Beam Satellite for Domestic Service, AIAA, 80–0492 (1980)

# 人工衛星の姿勢制御技術

名取直幸\* 中川信雄\* 山口哲郎\* 吉田憲正\*

### 1. まえがき

人工衛星の姿勢制御技術は、地球観測 ミッション が中心である中低高度衛星と通信・放送 ミッション が中心である静止衛星とに分類して現状を論じるのが適当である。表 1. 及び表 2. は、両ミッション について、欧米及び日本の衛星を制御技術の主要性能である精度の点から分類したものである。衛星 システム が スピン 衛星から三軸衛星に移り変わっており、三軸姿勢制御技術が主流となっていることが分かる。

当社は、通信衛星 3 号 (CS-3) などの スピッ 衛星、国産初の三軸 衛星である 流洋観測衛星 1 号 (MOS-1)、静止衛星の衛星本体の姿

表 1. 静止通信・放送衛星の姿勢制御系の現状

指向	精度	(3 <i>σ</i> )	0.2°	0.1°	0.05°
衠	E	本	CS-3** (三菱電機) BS (東芝/GE)	ETS-V(三菱電機) BS-2(東芝/GE)	
星	米	H	RCA-SA	INSAT (FACC) RCA-SATCOM (RCA) DSCS-III (GE)	
例	欧	州	ECS (British Aerospace)	TV-SAT* (MBB) OLYMPUS* (British Aerospace)	ITALSAT*
方		式	衛星本体の姿勢制御	<b>系</b> 御系+アンテナ指向制御系	衛星本体の姿勢制 又は誤差補正機能
制	御日	路		アナログ又はディジタル	

- 注 (1) \*:アンテナ指向制御系をもっている。
  - (2) \*\*:スピン衛星を示す。
  - (3) ()内は姿勢制御系のメーカー名を示す。また、指向精度の分類は公称値によっているので必ずしも実力値と対応していない場合がある。

将来的には宇宙利用の多様化に伴い、現在の技術に加えて種々の技術が必要となる。 日本の長期的な宇宙開発構想は図 1. に示すとおりである。図 1. の各宇宙機に対する制御系の基盤技術を表 3. にまとめた。表から明らかなように、柔軟構造物の制御技術及びフォールトトレラント技術は、従来の衛星でも技術的課題とされてきたが、

表 2. 中低高度観測衛星の姿勢制御系の現状

de la sala	姿勢(3	誤差 σ)	1~0.3°	0.3~	-0.1°	0.03°
精度	姿勢多 (3		5×10 <sup>-2</sup> ~1×10 <sup>-2</sup> (°/s)	3×10⁻³~3	×10-4(°/s)	3×10 <sup>-5</sup> (°/s)
衛	E	本	MOS-1 (三菱電機) ETS-Ⅲ(東芝/GE)		ERS-1 (三菱電機)	
星	米	¥	LANDSAT 1~3 (GE)	TIROS-N (RCA)		LANDSAT -4 (GE)
例	欧	州			SPOT (MATRA)	
姿勢決定方式 非ストラップダウン		一軸ストラッ プダウン	三軸ストラ	ップダウン		
姿勢セン	ローノ	レ/ ビッチ	地球セン	サ	慣性センサ +地球センサ	質性センサ
サ	3		慣性センサはなし	慣性センサ+	精太陽センサ	スターセンサ
制	御厄	路	アナログ 又はディジタル	アィジタル		

注 ()内は姿勢制御系のメーカー名を示す。また、精度の分類は公称値によっているので必ずしも実力値と対応していない場合がある。

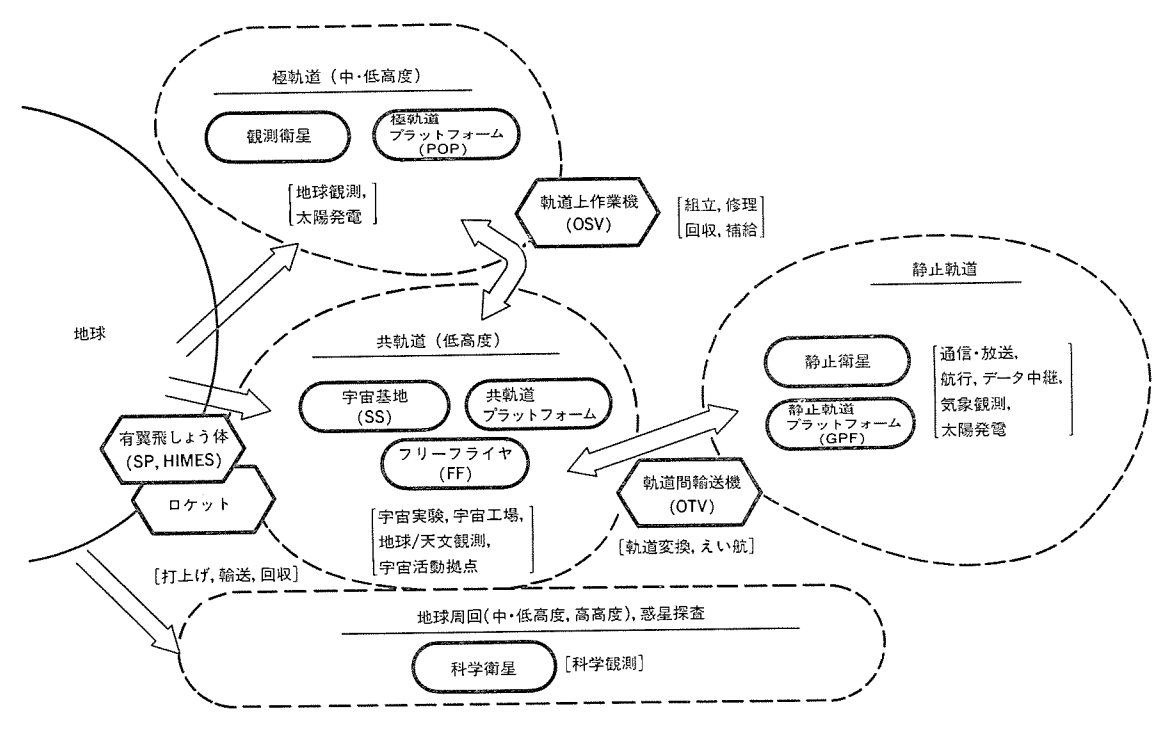


図 1. 我が国の今世紀末までの宇宙利用計画(構想)

表 3. 将来の宇宙機 システム における制御関連の基盤技術

基盤技術 将来の宇宙機	柔軟構造物 制御	フォールト トレラント	航法, 誘導	ロボティッ クス	人工知能
人工衛星(従来型)	0	0			
プラットフォーム	0	0			
フリーフライヤ	0	0	0	0	0
宇宙基地	0	0		0	0
軌道上作 業 機	0	0	0	0	0
軌道間輸送機	0	0	0		
有翼飛しょう体	0	0	0		0

注 〇印は基盤技術の主要な適用分野を示す。

将来においてもあらゆる種類の宇宙機に対して必す(須)の共通基盤 技術であるといえる。

本稿では、これらの二つの技術について、各々における技術的問題点とその解決法、当社におけるこれまでの実績、今後の課題について述べる。

# 2. 柔軟構造物をもつ衛星の姿勢制御技術

#### 2.1 概 要

柔軟構造物をもつ衛星の姿勢制御の問題は、衛星の制御技術にとって宿命的な技術課題である。衛星は今後、大型 プラットフォーム (静止軌道、極軌道) や宇宙 ステーション などへ発展し、大型化が図られる一方で、軌道への運搬の効率から軽量構造への追求が続けられる。このため、衛星の固有周波数は低下する一方であるのに対して、この構造物を高精度に姿勢制御するためには、制御系の周波数帯域を高くする必要があり、その結果、両周波数が接近し、相互に非常に干渉しやすくなる。従来の衛星においても程度の差こそあれ、この問題でトラブルが発生した例もあったが、柔軟構造物をもつ衛星の制御においては、更に重要な問題となる。表 4. にこの問題も含めた技術的課題をまとめて示す。以下、この分野の技術を衛星の構造上の特徴によって分類し、それぞれに対して技術上の問題点とその解決方法、当社の実績の概要を述べる。

#### 2.2 従来の課題と当社の実績

図 2. の ERS-1 の外観図に示すように、 太陽電池 パドル、合成開口 レーダ 用 アンテナ などの柔軟構造物が付属した衛星本体の姿勢を制

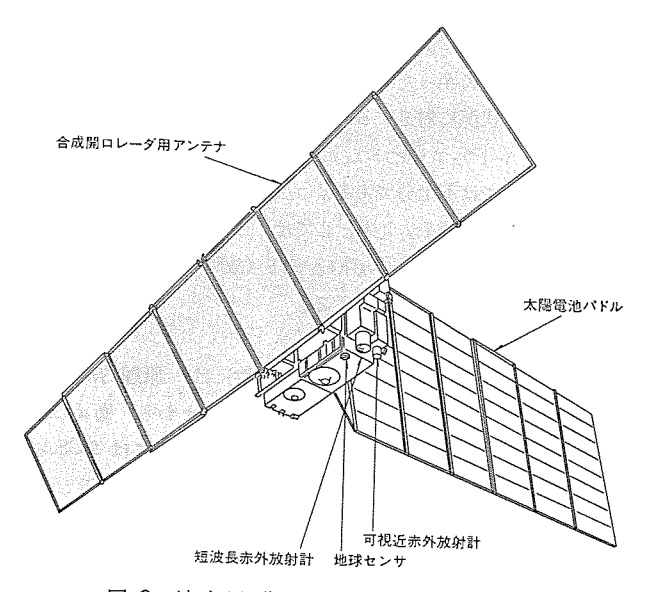


図 2. 地球資源衛星 1号 (ERS-1) の概観図

表 4. 技術的問題点

技術的問題点	內 容
制御系の帯域と構造振動周波数 の接近	構造物の大型化・軽量化による固有複動数の低下 と商精度姿勢制御要求による制御帯域の広帯域化 がもたらす両者の接近。それに基づく系の不安定 化、精度劣化、構造酸塑など。
モデルの不確定性の増大	構造パラメータを地上で精度良く 測定することが 困難になり、制御系パラメータと の整合が取れな くなる。その結果、系の不安定化などを招くこと になる。
ダンピング係数の減少	軌道上のダンピング係数は小さい。太陽電池バド ルの場合 0.001~0.005 程度。
センサ・アクチュエータの分散 配置による多変数制御系化	多入力多出力系のシステムとなり, 実用的な制菌 系設計手法が, まだ十分確立されていない。

ところで、高次モードは、センサ及びアクチュエータの帯域の限界のために振幅安定型とする以外に方法がない。このとき、制御系の帯域を上げるには、低次モードを位相安定化する必要が生じる。 すなわち、高次モードの周波数領域に制御特性をいかに スムーズ に移行させるかが問題解決のキーポイントとなる。 そのために、位相安定化するモードの固有周波数を故意に下げ、振幅安定化するモードとの周波数の差を広げるのも一つの有力な解決方法である(2)。また、制御系としては、真鍋らにより提案されている非整数階型積分フィルタが有効な手法の一つであり(3)、MOS-1制御系の一部で実際に適用している。一方、制御系の帯域が低く、構造物の共振周波数と十分離れている場合には、両周波数の間に折点を持つローパスフィルタによって全モード振幅安定型が可能であり、 MOS-1、ETS-V などに多く用いられている。いずれにしても、周波数領域での設計がよい見通しと確実な結果を保証しており、確立した技術となっている。

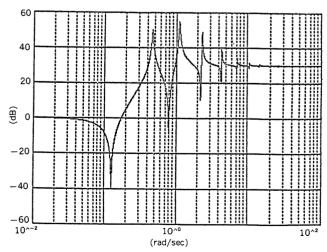
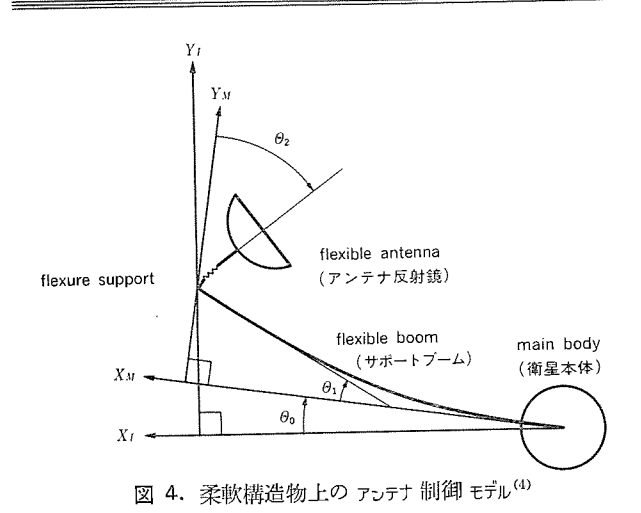


図 3. 機械共振系の周波数伝達関数 (剛体 ダイナミクス は除く)



2.3 現在の技術課題と当社の取組

現在は、上記設計手法を基本としながらも、次の クラス の制御系の開発に技術的主眼が移行している。次の クラス とは、例えば、アンテナサポート などの柔軟な構造物が付属し、 更にその先端に アンテナ 反射鏡とその駆動制御器が取り付けられた衛星に対して、姿勢制御とアンテナ の指向制御を一対のものとして行うシステムである(図 4.)。このシステムは、柔軟構造物の振動そのものをも制御する必要があること、 制御精度要求が高いこと、 制御対象の モデル 化が複雑なことなどのために難しいシステムとなる。 サポート 先端の アクチュエータの駆動角と、 同じ位置に搭載された センサ の検出角の内容との関係次第では、2.2 節の場合とは逆に周波数伝達特性が共振→反共振の順番に現れる場合がある。この場合、共振点での位相遅れが大きいた

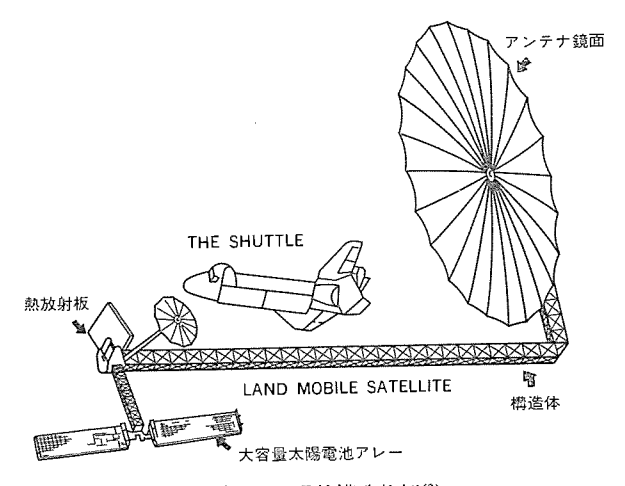


図 5. 大型柔軟構造物例(6)

表 5. 大型柔軟構造物の制御に関する技術課題

技術課題	内容
モデリング技術(8)	剛体と柔構造体が複雑につながり合った衛星の運動方程式 を得る技術,シミュレーションプログラム化する技術。
大型柔軟構造物の地上 試験技術 <sup>(9)</sup>	大型柔軟構造物の柔構造パラメータを地上試験により得る 技術。例えば、部分構造単位ごとの試験結果から構造物全 体のパラメータを推定する技術。
柔構造パラメータの軌 道上での同定技術 <sup>(10)</sup>	軌道上での加摂などによる取得データをオンライン/オフラインにより処理し、柔構造パラメータを同定する技術。 同定結果は側側パラメータのチューニングや適応制御系への入力情報となる。
制御系設計用低次元モ デル作成技術 <sup>(11)</sup>	制御系設計に用いることのできる程度の低次元モデルを作 成する技術。低次元化による悪影響を少なくするために種 種の規範が提案されている。
制御系設計技術(12)	バラメータ変動に対してロバストな制御系, 高精度な制御 系の設計技術。

めに位相安定化は難しく、制御系帯域を上げることができなくなり、高精度化が不可能になる。したがって、セッサ、アクチュエータの配置の再検討が必要となる。 なお、セッサ 及び アクチュエータ の配置の問題については、文献<sup>(6)</sup>等で報告されている。

#### 2.4 将来の課題と研究活動

将来は、更に複雑化したシステム、すなわち、柔軟構造物が幾重にも周波数上で重なり合い、かつ、それらの各々が制御対象とされる"大型柔軟構造物"の制御の領域に研究が進んで行くものと思われる(図 5.)。大型プラットフォームなどがそのシステムの代表であろう。このような"大型柔軟構造物"では、柔軟構造物をもつ衛星の本質的問題が表面化してくる。その第1の問題は、トポロジー構造としてとらえた衛星の正確なモデリングの技術である。シミュレーションの効率などの観点から手法が幾つか研究され、提案されている(で)。表 5.にこのようなシステムの制御に関する技術課題をまとめて示す。1990年代後半から打上げが予定されている大型プラットフォームなどの制御にとってはいずれも必須な技術であり、当社においても中央研究所を中心に研究を活発に進めている。2.2節及び2.3節では、周波数特性を基本にした設計手法がもっぱら実用化されていることを述べたが、たとえシステムが複雑化して多入力多出力系になっても、この手法は有効な一つの方法になり得ると思われる。

以上、概説した大型構造物の制御は、制御のみならず構造、力学、計算機などの多くの技術分野にまたがり、相互の結び付きの度合いの強い システム 的な技術であって、総合技術力が発揮される技術分野である。

#### 3. フォールトトレラント技術

#### 3.1 技術的問題点

人工衛星は、我が国においても今や完全な実用化の時代を迎え、通信衛星のようにミッション期間中の一瞬のサービス中断も許されない高い信頼性と、稼働性の要求が課せられるようになってきた。しかるに、衛星の長寿命化と高精度化の要求(例えば、次世代の静止衛星では寿命10年、指向精度0.01°が典型値である)は、搭載機器及び搭載ソフトウェア(OBS)の高精度化と多機能化、したがって複雑化を招き、その結果、むしろミッション期間中に遭遇する故障発生確率が増大するというジレンマに陥る。更に、宇宙用搭載計算機(OBC)の普及とあいまっての小型軽量化のためのLSIの採用は、新たに宇宙環境の強い放射線によるハードウェアの故障及び誤動作という深刻な問題を提起するに至った。

以上のような状況に対処するためには、姿勢制御系(ACS)を構成する個々のハードウェア・ソフトウェアコンポーネントの信頼性をこれまで以上に高めるだけでは不十分である。コンポーネントに万一故障や誤動作が発生しても ACS システム 全体としては、 完全に正常な機能が続行できるような、いわゆる フォールトトレラント(故障耐性)システム を構築することが非常に重要になってくる。

## 3.2 問題へのアプローチ

ACS  $\partial_{\lambda} FL$  の  $\partial_{\lambda} FL$  の  $\partial_{\lambda} FL$  の  $\partial_{\lambda} FL$  の  $\partial_{\lambda} FL$  に示すような階層構造によって実現される。すなわち,衛星の姿勢 誤差は  $\partial_{\lambda} FL$  によって常時修正されるが, そのためには  $\partial_{\lambda} FL$  を構成する  $\partial_{\lambda} FL$  の $\partial_{\lambda} FL$  が故障したり,誤動 作を起こしたりした場合には, $\partial_{\lambda} FL$  の $\partial_{\lambda}$ 

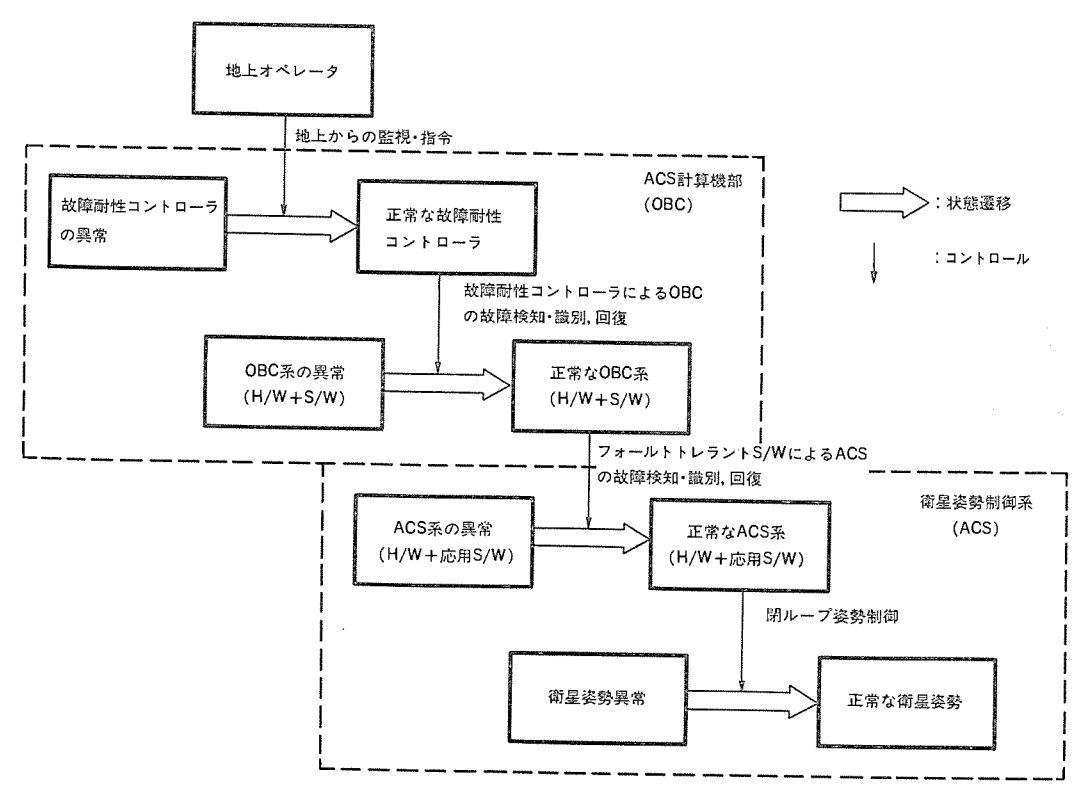


図 6. ACS 系の フォールトトレラント 構造

ラントソフトウェアが直ちに故障検知・識別、故障回復の処置をとって ACS システム の誤動作を防ぐ(フェールオペレーショナル 機能)。しかし、 このような ソフトウェア 動作は OBC の正常な動作が前提であるので、OBC 自身にも故障耐性を持たせる必要がある。

OBC の故障耐性は、OS と特別な  $N-\Gamma_{0_{x}}$ ア から成る "OBC 故障耐性  $J_{2}$ レトローラ" によって実現される。 更に、OBC 故障耐性  $J_{2}$ トローラ 自身の故障に対しては、ACS に緊急用の  $J_{x}$ ールセーフ 機能を

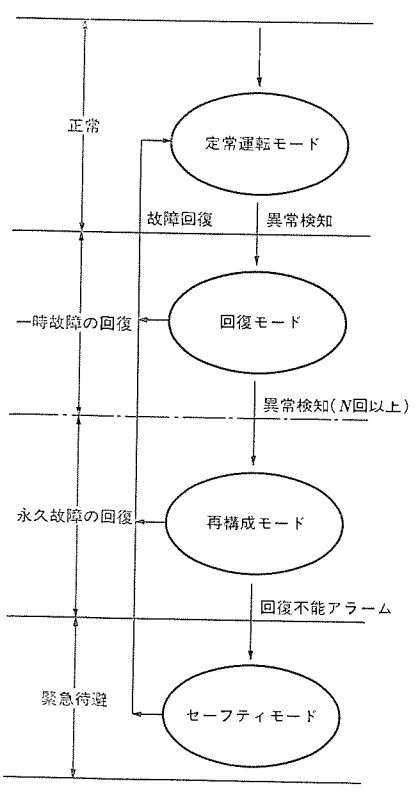


図 7. ACS 系の フォールトトレラント 動作 フロー

組み込んだ上で、最終的には地上 オペレータ の判断を仰ぐ。確率的には極めて小さいが、 ACS 内の同時二重故障に対しても同様な フェールセーフ 機能が必要である。 図 7. は、以上述べたような ACS 全体の フォールトトレラント 動作を表したものである。

結局、ACS レベル の故障耐性を実現するためには、 次のような フォールトトレラント 技術が必要である。

- (1) ACS システムの フォールトトレラント 技術 (故障検知・診断,故障分離,故障回復,自動再構成など)
- (2) フォールトトレラント OBC
- (3) ACS 及び OBC の フェールセーフ 設計技術

また、当然のことながら、上記の技術は、宇宙用としての小型・ 軽量という厳しい要求を満足するものでなければならない。

# 3.3 当社における開発実績と今後の課題

当社でとれまで担当してきた衛星の ACS 系における フォールトトレラント 技術の発展を表 6. に示す。とれまでは、フォールトトレラント 技術

表 6. 当社担当衛星における姿勢軌道制御系の フォールトトレラント 技術の発展

タイプ	衛星名	適用されたフォールトトレラント技術
スピン安定型 衛星	ISS, ETS-II, CS, ECS, ETS -IV, CS-2, CS-3	・単一故障点の排除 ・地上コマンドによる冗長系への切換
三軸制御衛星 (アナログ型)	MOS-1, ETS-V	・セーフティ回路(故障絞知+セーフティメモリ) ・異常時のセーフティモードへの自動退避 ・一部制御パラメータの地上からの変更機能
三輪制御衛星 (ディジタル型)	ERS-1	・搭載計算機 (OBC) のインテリジェンスを利用したオンボード故障検知・診断, 冗長管理, 運転モード管理 ・故障時の自動再構成 (機器の自動切換など)・軌道上再プログラム (異常発生時のプログラム変更)・自律冗長系 (4スキューホイール) の採用・フェールセーフ, フェールソフトの概念に基づく, ハードウェア及びソフトウェアによる階層的フォールトトレラント設計

というよりも単に高信頼性設計、安全性設計といった観点から ACS 系の設計を行ってきたが、国産初の ACS 用 OBC を搭載する地球資源衛星1号 (ERS-1、1991年2月打上げ予定。図 2. 参照)では、1980年にスタートした先行研究の段階から、"フェールオペレーショナル(フェールソフト)"の思想を盛り込んだフォールトトレラント ACS の設計を実施してきた(13)~(15)。

ACS システムの フォールトトレラント 技術と並んで、 OBC の フォールトトレラント 技術も重要である。 当社では 1978 年度から OBC の開発に着手し、耐放射線対策命令、 故障の自己検知機能・セーフティ機能の充実した OBC を完成させて (10)、 これを ベースに ERS-1 用 OBC の製作を開始している。 更に、最近、宇宙開発事業団の御指導の下に、ミッション 期間 10 年後の残存確率 0.99、重量 5 kg、消費電力 5 W という仕様で、 故障耐性 コントローラ の一部を除く構成要素のいかなる単一故障(永久故障、ラッチアップ、誤動作)に対しても、 フェールオペレーショナル であるような新しい OBC システムの設計検討を実施した。

この OBC は、重量・電力の要求を満たすために LSI を採用する。しかし、現時点では LSI の耐放射線性強化技術が完全には確立していないため、ある程度予想される CPU、メモリ などの故障 (特に、シングルイベントアップセット と呼ばれる誤動作) に対しては フォールトトレラント 機能でカバー するという仕様で設計されている。 更に、故障耐性 コントローラ を単純で確実な専用 ハードウェア で設計している点が特色である。そして、方式の妥当性を確認するために、ハードウェア構成がほぼ同一で フォールトトレラント アルゴリズム (図 6. における故障耐性 コントローラ に相当するもの) は、主としてソフトウェアで模擬した部分試作品を実際に製作して、メモリ及び CPU の様々な故障 (一時、永久)を模擬的に発生させ、OBC システム が常に フェールオペレーショナル な動作を行うことを実証した。 これに引き続き、この アルゴリズム に基づいて、耐放射線強化素子を使用した次世代の フォールトトレラント OBC の社内開発を実施中である。

とのほか、 $ACS_{5/276}$ の高信頼性化のために、高信頼性ソフトウェアの開発環境の整備、耐放射線強化素子の開発などを社内の関連部門の協力を得て進めている。

### 4. む す び

我が国の宇宙開発は今、開発の時代から幅広い宇宙利用の時代へと移行し始めたところであるといえよう。この中で、当社における人工衛星の姿勢制御技術は、スピッ安定型から三軸安定型へ、技術導入から自主国産へという変遷を経て、現在は技術開発の重点が柔軟構造物の制御、フォールトトレラント技術のような分野に移ってきている。更に、近い将来、宇宙基地、フリーフライヤ、大型の宇宙プラットフォーム、有人の有翼飛しょう体などの計画を実現していくために、

- ランデブドッキングのような航法・誘導技術
- 宇宙での組立・修理・回収などの作業を可能にするための ロボティックス, 人工知能の技術

のような高度な自動化技術、 システム 制御技術を早急に確立すること

が必要になってきている。当社では、関係諸機関の御指導の下に、 これらの技術分野についても検討を鋭意進めている。

我が国におけるこれらの技術の確立が、宇宙利用計画の今後の発 展の大きな原動力の一つになると思われるが、それに当社が寄与で きることを念願する次第である。

(原稿受付 昭 62-1-12)

## 参考文献

- (1) 武田, 真鍋:機械共振系の制御 ループ におよぼす影響, 電気 学会雑誌, 79, No. 848 (昭 34-5)
- (2) 谷沢, 金井: モーダルバラシス に関する一考察,第30回宇宙科学 按術連合講演会(昭61-10)
- (3) S. Manabe, K. Tsuchiya: Controller Design of Flexible Spacecraft Attitude Control, IFAC 9th world Congress (1984-7)
- (4) T. Kashiwase, M. Inoue, K. Yamada, K. Tsuchiya: Precise Pointing Control of Flexible Spacecraft, ISTS (1986)
- (5) 土屋ほか:柔軟衛星の姿勢制御,計測と制御,24,No.5(昭60-5)
- (6) Large Space Antenna Systems Technology-1982, Proc of Conference sponsered by the NASA OAST and Langley Research Center, NASA CP-2269 (1982)
- (7) 狼ほか:柔軟宇宙構造物 ダイナミクス の定式化について、 航空 宇宙技術研究所特別資料 SP-4 (昭 60-2)
- (8) 狼,藤井:柔軟衛星の モデリング―ハイブリッドシステム と トランケーション―,日本航空宇宙学会誌,32-364(昭 59-5)
- (9) 杉山,成田: ビルディングブロック 法による エレベータ・建物系の振動解析,日本機械学会講演論文集 No. 830–15 (昭 58)
- (10) K. Tsuchiya et al: Performance of Reduced-Order Adaptive Identifiers for Oscillatory Distributed Parameter Systems, AIAA G&C Conference (1984-8)
- (11) 土屋,柏瀬:大型柔軟衛星の低次元 モデル, JAACE '86-5, 第 30 回 システム と制御研究発表講演会
- (12) J. N. Aubrun et al: Acoss Five Phase 1 A, LMSC Technical Report, RAND-TR-82-21 (1982-3)
- (13) Ikeuchi, Anzai, Suzuki, Natori: Safety Design of Low Altitude Observation Satellite, IFAC Workshop on Reconfigurable Spacecraft Systems, Autonomous and Non-Autonomous (1984)
- (14) 池内ほか: テララタル 制御系の セーフティ 設計,第 27 回宇宙 科学 技術連合講演会(昭 58)
- (15) 鈴木ほか:姿勢制御系の再構成, 第 29 回 宇宙科学技術連合 講演会(昭 60)
- (16) 中川,三谷:人工衛星搭載用計算機(OBC)の開発,第27回 宇宙科学技術連合講演会(昭58)

# 大型伸展・展開構造物

小泉孝之\* 谷沢一雄\*\*\* 山本和夫\* 浅葉 誠\*\* 倉藤 康\*\*

## 1. まえがき

宇宙空間に大型構造物を構築する手段として現在考えられているのは、伸展・展開、組立、製造である。伸展・展開とは、構造物を輸送可能な程度にコンパクトに収納して、軌道上で所定の大きさまで自動的に広げる概念であり、組立とは部材あるいは部分構造をマニピュレータあるいは宇宙飛行士の船外活動によって全体構造に組み上げる概念、製造とは材料を軌道上に輸送し、加工又は化学処理を加えて構造材を作り上げる概念である。との中で、現状のレベルでは伸展・展開、組立の手段が有効と考えられている。欧米を中心として世界各国でその方式及び関連技術の開発が行われており、当社においても、宇宙関連の中核技術の一つとして、精力的に開発が行われている。

本稿では,我が国を含めた世界各国の大型伸展・展開構造物開発の現状,当社の開発状況,開発上の課題と問題点,将来動向を中心に述べる。

## 2. 大型伸展・展開構造物の現状

#### 2.1 諸外国における状況

宇宙大国である米国では、数多くの展開構造物が提案、試作、実用化されている。代表格として展開 アンテナ が挙 げられるが、昭和49 年に打ち上げられた技術試験衛星 ATS-6 搭載の ラップリブ型 メッシュアンテナ(図 1.)の実用化以来、TDRS、Galilleo 等で口径 5 m 級の展開 メッシュアンテナ が実用に供されている。ほかに、アドバンスドサンフラワーとして有名な、 ソリッド 鏡面展開 アンテナ の研究、試作が行われている。次の目標としては、移動体通信衛星への適用を考えた口径20~30 m 級の アンテナの開発、更に NASA の LMSS(Land Mobile Satellite System) 計画における口径 100 m 級の アンテナの開発があり、フープコラム型の口径 15 m の メッシュ 展開 アンテナ が既に試作されている。

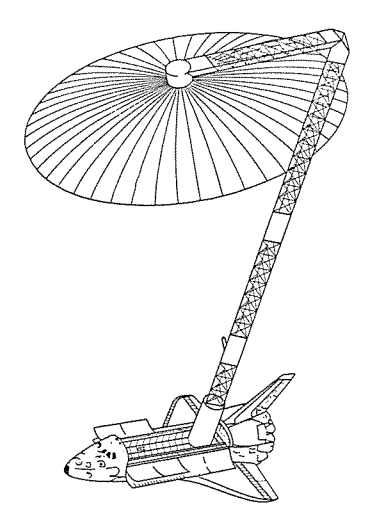


図 1. ラップリブ型 アンテナ

一方,大型 プラットフォーム の基幹構造用に, 伸展・展開トラス の開発が進んでいる。NASA の MSFC(Marshall Space Flight Center) は,Rockwell International 社及び Bought 社と各種トラス概念を検討し,最適な候補案としてボックス型トラスを試作している。これは,一辺 2 m の立方体トラスで CFRP からなり,13~15 kg と極めて軽量な構造となっている。また,伸展構造として歴史的に有名なものに Astro 社製の アストロマスト があり, Galilleo の アンテナマスト や シャトル 搭載 フレキシブルパドル の伸縮 マストとして既に打上げ実績をもっている。

ヨーロッパ においては、ESA (European Space Agency) を中心に中小規模の展開構造物が開発されている。サンドイッチ 型太陽電池 パドル では、西独の MBB 社が OTS 衛星や Intelsat 衛星で、 オランダの Fokker 社が DBS 衛星でそれぞれ実績をもっている。展開 アンテナでは、MBB 社の開傘型 アンテナ (開口径 3.6~8 m)、SELENIA 社の ソリッド 鏡面展開 アンテナ (開口径 3.7 m)、Dornier 社の合成開口 レーダアンテナ などが開発中である。

#### 2.2 国内における状況

### 3. 当社の開発状況

当社では、衛星 システム の開発の一環として、太陽電池 パドル や展開型 アンテナ 等の展開構造物を、また、各研究機関との共同研究として伸展 マスト や展開 トラス 等を開発している。

#### 3.1 大型伸展構造物

大型伸展構造物としては、宇宙研及び航技研と共同で、伸展マスト、伸展式実験台、可変立体トラスなどの開発を進めている。伸展マストは一次元的に伸縮する軽量な柱、伸展式実験台はトラスで組まれた剛な足場、可変立体トラスは形状可変の腕にたとえられる。

## 3.1.1 伸展マスト (シンプレックスマスト)

伸展マストは、長さ数十メートルの大型張力膜構造の太陽電池パドルを支える柱として使われる。伸展マストには、膜状のパドルを伸展・収納させる機能と、伸展後の膜の張力を支える圧縮部材としての機能が要求される。当社で試作したマストは、宇宙研三浦教授の考案になるシンプレックスマストと呼ばれるもので、3本のGFRP縦通材、その縦通材を結合する三つまた(又)のスペーサとそのスペーサ間

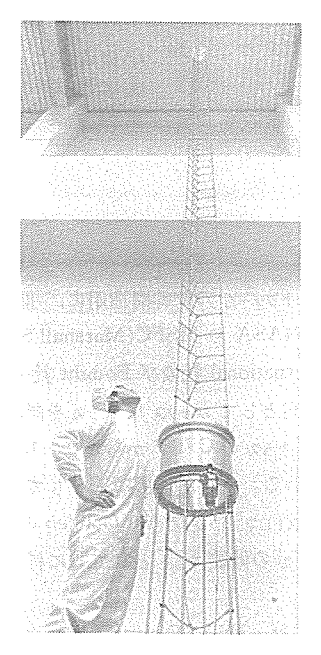


図 2. 13 m シンプレックスマスト

を斜に結ぶ ステンレスワイヤ からなっている。 この マスト は、収納時には縦通材が座屈して折り畳まれるために、非常に コンパクト に収納される。 昭和 60 年度に全長 13 m の マスト (図 2.) を試作し試験を行った結果、十分な伸展・収納機能をもち、振動特性としても解析と設計の一致が確認された。 固有振動数は 2.8 m 仲展で 6.8 Hz, 8 m 仲展で 1.6 Hz である。

#### 3.1.2 伸展式実験台 (DTB)

伸展式実験台は、宇宙基地で予定される理工学実験・科学観測等において、実験機器を基地本体から離れた任意の位置に設置するために用いられる。その構造は、一辺2mの箱形トラス構造体が連なったもので、伸縮する斜材と折れ曲がる縦材により全体が伸展・収納されるものである。各部材はラッチ機構をもち、折れ曲がった状態や縮んだ状態から伸展したときに確実に固定され、また簡単な操作で外れるようにピッやツメを使っている。昭和60年度に伸縮部材と折れ曲がり部材(図3.)を試作し、ラッチ機能及びラッチ後の剛性確認が行われた。今後は、各部材をトラス構造物に組み上げて伸展試験を行う予定である。

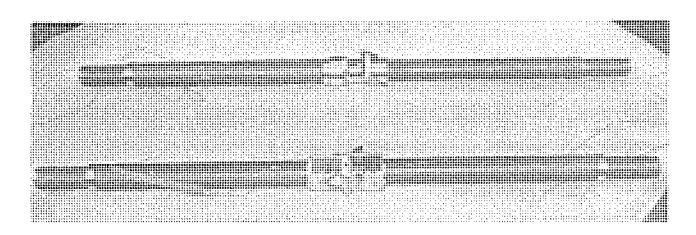


図 3. 伸展式実験台用伸縮部材(上), 折れ曲がり部材(下)

#### 3.1.3 可変立体トラス (VGT)

可変立体  $h_{52}$  (図 4.) は,一次元的に展開して形状変更可能な 8 面体  $h_{52}$  構造の連なったものである。基本要素は 6 個の  $h_{50}$  6 本の斜材, 6 本の横材からなり,斜材と横材を任意の組合せで伸縮させることにより, 様々な伸展・収納  $h_{-1}$  を実現することができる。試作  $h_{50}$  では,一つの  $h_{50}$  一の中で平行な一組の斜材を同時に伸縮させて  $h_{50}$  全体を伸展・収納させる  $h_{-1}$  を採用している。試作品は  $h_{50}$  全体を伸展・収納させる  $h_{50}$  収納時全長  $h_{50}$   $h_{50$ 

#### め,全重量約65kgである。

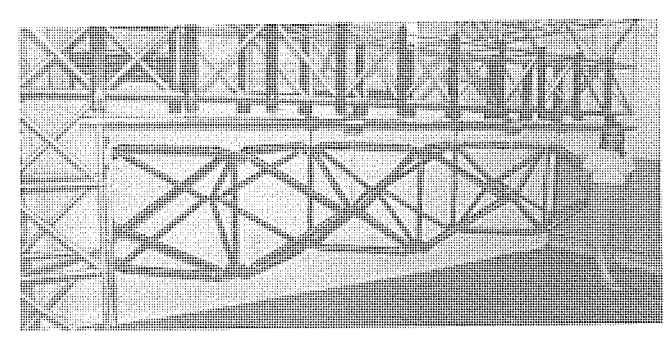


図 4. 可変立体 トラス

#### 3.2 大型展開構造物

大型展開構造物としては実衛星対応のものが多く、打上げに向けて開発されているものが多い。 具体的には、 太陽電池 パドル、合成 開口 レーダアンテナ、 展開 アンテナ、 展開 トラス 構造などが開発されている。

# 3.2.1 太陽電池パドル

三軸衛星の出現に伴い、太陽電池パドルは大型展開構造物として取り扱われるようになった。当社は、昭和49年以来、三軸衛星用軽量化太陽電池パドルの開発を行っており、技術試験衛星V型(ET S-V)、地球資源衛星1号(ERS-1)、技術試験衛星V型(ETS-VI)の太陽電池パドルを NASDA から受注し、開発製作中である。このパドルは数枚のパネルからなり、各パネルは、CFRPの四角のつレームの中に太陽電池セルを、はりつけた薄膜を張力をかけて張る構造にすることで軽量化を図っている。各パネルは展開としずで結合され、打上げ時には折り畳んで衛星側壁に固定しておき、軌道上でとしずのばねにより展開される。ETS-V 用太陽電池パドル(図 5.)については、現在までに振動・音響・熱真空・展開等の試験がなされ、設計・製造方法が確立されている。

### 3. 2. 2 合成開口レーダアンテナ

この  $r_{\nu r}$  は、全天候性で高分解能をもつ地球観測用 J=-トセッサで、ERS-1 搭載用として当社が資源 J=-トセッシッグシステム 技術研究組合 (RRSS) から受注し、開発・製作を行っている。 これは、 $1.4 \times 2$  m のパネル 8 枚を ヒッジで結合したもので、展開後は  $2 \times 12$  m の平面となる。展開は ヒッジ の渦巻ばねにより行われ、 最終形状に 至るまでに 3 段階の展開(図 6.)を行う。太陽電池 パドル との相違としては、展開数が多い、展開後の平面精度・熱変形量に対する要求が厳しい(翼端変位 25 mm 以下)などが挙げられる。 このため、 $r_{\nu r}$  の中央に  $t_{\nu r}$  のサポー

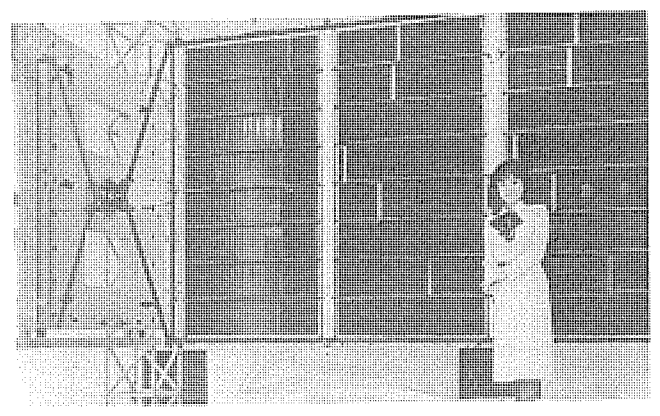


図 5. 技術試験衛星 V型の太陽電池 パドル

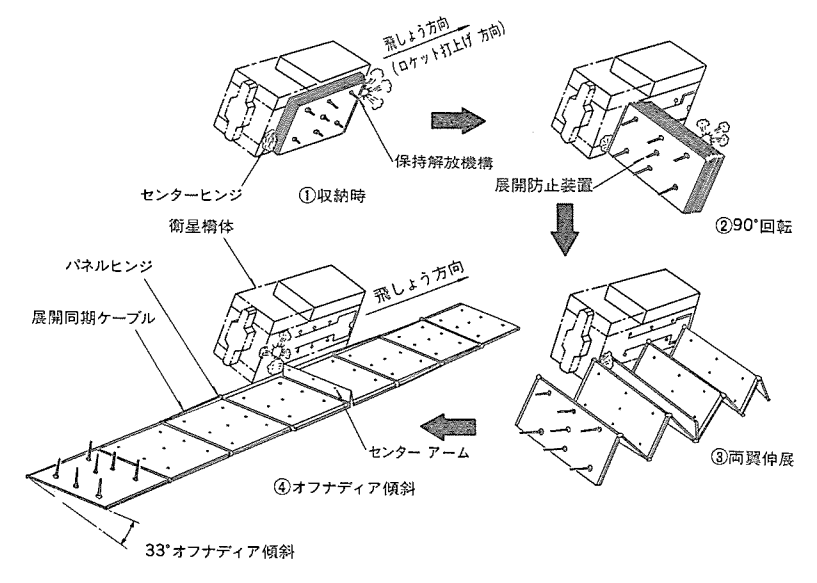


図 6. 合成開口 レーダアンテナ 展開 シーケンス

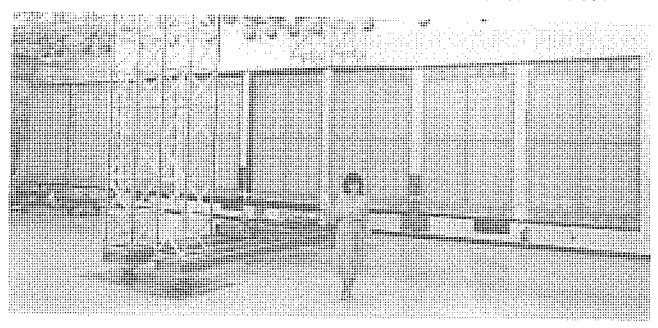


図 7. 合成開口 レーダアンテナ

トパネルで補強する構造となっている。当社では NASDA から委託を受け昭和57年から研究開発を行い、研究開発 モデルにおいては振動・展開・熱真空・熱変形試験を行って設計の妥当性を ハードウェアレベル で検証した。 この成果は RRSS に引き継がれ、 ERS-1 搭載用として現在、エンジニアリングモデルの設計・製造に至っている(図 7.)。3. 2. 3 展開アンテナ

衛星搭載用 アンテナ には、 CFRP サンドイッチ 板等の剛な鏡面を展開 させるものと、メッシュ膜を張ったフレーム構造を展開させるものがあ る。サンドイッチ 鏡面は、準ミリ波帯の通信ミッション に使用されるため、 鏡面精度 0.2 mm rms 以下,展開再現精度 30 秒以下という高い精 度が要求される。 当社では, 昭和 57 年から開発を行っており,開 口径 1m から 3.5 m のものを試作し、振動・展開・熱真空等の試験 を行い、基本機能の確認がなされている (図 8.)。 一方、メッシュアン テナとしては ファンリブ型と デュアルメッシュ型の アンテナを開発している。 ファンリブ型 アンテナ としては、昭和59年度に NTT から受注・開発 した開口径  $3.5\,\mathrm{m}$  の  $\mathrm{S}$  バンド 用 オフセットカセグレンアンテナ がある。 これ は,半径方向に展開する リブに メッシュ を張ったもので,展開後は メ ッシュ 膜を裏側から ワイヤ で引っ張ることにより、所定の パラボラ 鏡面 を実現する。 この アンテナ は 2 mm rms 以下の鏡面精度を達成して おり、環境試験を経た後、所定の電気性能を満たすことが確認され ている。デュアルメッシュ型アンテナは、多数のヒンジによって折り畳み 可能な フープ 状の剛 フレーム と、パラボラ 面を形成する 2 枚の メッシュ 材 と、メッシュ材を互いに内側に引っ張ってメッシュにパラボラ形状を与 えるための タイワイヤ から構成される。 この方式の特長としては、フ レーム が外周にあって 反射面が メッシュ 材のみであることから非常に 軽量であること、収納効率が高いこと、 タイワイヤ の数及び分布によ

って鏡面精度の調整が可能であることなどが挙げられる。 そのため, との アンテナ は  $5\sim10\,\mathrm{m}$  の移動体通信用 アンテナ に適用できる。 試作 モデル は アルミフレーム で作られており,開口径  $2\,\mathrm{m}$ , 鏡面精度  $1.3\,\mathrm{mm}$  rms, 重量  $4.7\,\mathrm{kg}$  である(図 9.)。

#### 3.2.4 展開トラス

展開トラス構造は、例えば宇宙基地の大型ァンテナ 鏡面のように二次元的な面を必要とし、なおかつ面 精度が高い構造体を目標として開発されている。当 社では二つのタイプのものを試作している。一つは 宇宙研小野田教授の考案になるもので、平行6面体 の斜材が伸縮することにより、展開・収納を行うも のである。展開はばね力によって行われ、展開後は 各 ヒンジ は ラッチ され、剛性の高いトラス 構造を形成 する(図 10.)。このモデルは9セル試作され、展開・ 収能機能が確認された。他の一つは、展開後に ヒン

### 4. 開発上の課題

現在開発中の大型伸展・展開構造物の課題について以下に述べる。 4.1 大型化

衛星 ミッション の多様化に伴って伸展・展開構造物の大型化要求が

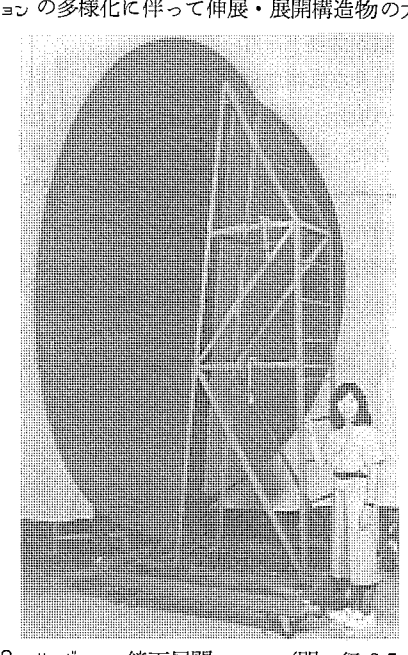


図 8. サンドイッチ 鏡面展開 アンテナ (開口径 3.5 m)

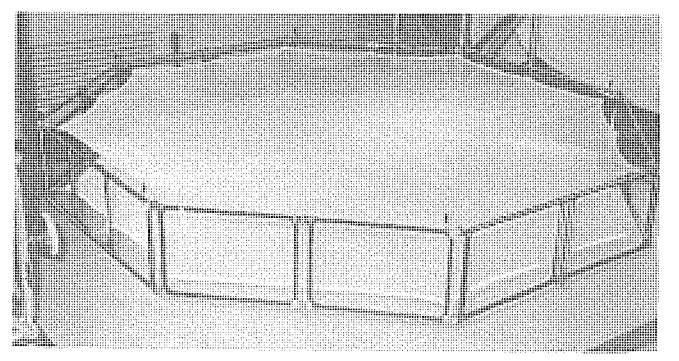


図 9. デュアルメッシュ 型展開 アンテナ (開口径 2 m)

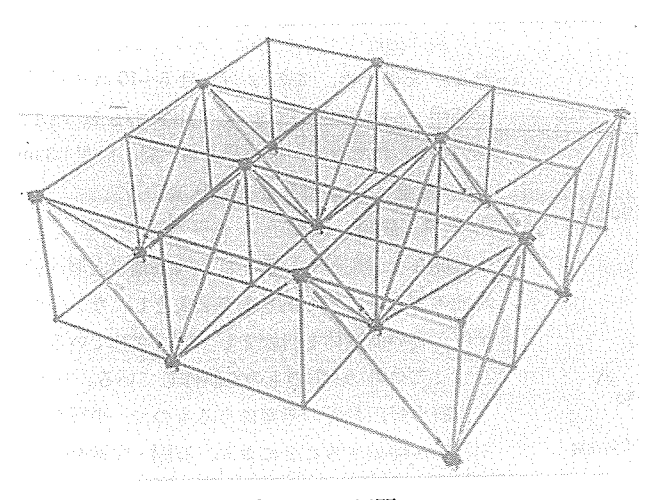


図 10. 二次元展開 トラス

高まり、その規模に応じた最適な伸展・展開方式の開発が必要となる。また、大型化は構造の柔軟性の増大につながり、姿勢制御系に大きな影響を与える。そのため、姿勢制御系の設計において柔軟な構造を考慮する必要があることから、 構造 ダイナミクス の高精度予測が不可欠となる。

## 4.2 地上試験法の確立

構造の大型化に伴い、軌道上と地上での挙動に重力や大気の有無に起因する著しい差異が生じる。したがって、1G大気中における伸展・展開試験法及び評価法を確立する必要がある。また、全体の振動試験が不可能になり、部分試験による全体挙動の高精度な推定評価技術の開発が急務となる。

#### 4.3 高信頼性及び高精度化

伸展・展開の動作が満足に終了するか否かは、これらの構造物の 死命を制するので、信頼性の高い機構の開発が必要であり、そのために真空潤滑技術などの高信頼性化が必要となる。更に、アンテナなどの高精度機器への適用を考えた場合、構造の形状精度が厳しくなり、材料の高精度成形技術、熱膨脹のコントロール、がたを極力抑えたラッチ機構の開発などが解決すべき技術課題となる。

### 5. 大型伸展・展開構造物の将来動向

将来、大型伸展・展開構造物が発展する方向として、二つの方向が考えられる。それは、大型 システム 化と適応構造化である。大型 システム 化するととは、需要の増加、生産量の増加、限定された資源の有効利用、ミッション の高精度化・高性能化、ミッションコストの低減などの利点がある。大型 システム 化するためには、構造・熱・制御を包含する設計・解析技術、材料・製造技術、試験技術などの技術の複合

化が必要となる。

一方,適応構造化とは、ミッションを遂行する際に、ミッションからの要求に応じて構造自身の形状を変化させ、最適な形態を保つことであり、宇宙基地や宇宙プラットホームに代表される今後の宇宙構造物の大規模かつ複雑な形態と多様なミッションに必要となる。そのため、今後の伸展・展開構造物は、単に伸展・展開あるいは収納機能を持つだけにとどまらず、ミッション要求に応じ、あるいは自律的に自身の形態形状を意のままにコントロールできる極めて知能的な装置へと発展する必要がある。

## 6. む す び

大型伸展・展開構造物の開発は、今後ますます本格化し、関連技術の研究開発は一層重要性を増す。本稿がその研究開発の方向付けの一助となれば幸いである。最後に、開発に当たり、御指導・御協力をいただいた宇宙開発事業団、文部省宇宙科学研究所、科学技術庁航空宇宙技術研究所、日本電信電話(株)及び資源リモートセンシングシステム技術研究組合の各位に深く感謝する。

#### 参考文献

- (1) 目黒ほか:衛星搭載用 アンテナの地上試験法,第28回構造強度,p. 52(昭61)
- (2) 久田ほか: ツリッド 面展開型 アンテナの開発, 第 30 回字科連, p. 78 (昭 61)
- (3) 田畑, 山本: デュアルメッシュ型 アンテナの鏡面精度解析,第29回 宇科連, p. 232 (昭60)
- (4) K. MIURA, M. NATORI, et al: Simplex mast: an Extendible Mast for Space Applications, ISTS, p. 357 (1984)
- (5) K. MIURA: DESIGN AND OPERATION OF A DEP-LOYABLE TRUSS STRUCTURE 18 TH AEROSPACE MECHANISMS SYMPOSIUM, NASA-CP-2311 p. 49, (1984)
- (6) K. MIURA, H. FURUYA: AN ADAPTIVE STRUCTU-RE CONCEPT FOR FUTURE SPACE APPLICATIONS, IAF-85-211
- (7) 小野田ほか:二次元展開 トラス, 第29回宇科連, p. 240(昭 60)
- (8) 藤森ほか:伸展式実験台 ラッチ 機構の試作, 第30回字科連, p. 330 (昭61)
- (9) 甲斐ほか:二次元展開構造の検討,第2回宇宙構造物研究会 (昭61)

# 人工衛星における能動型熱制御

增本 博光\* 大串哲郎\*\*\* 桜井也寸史\*\* 金森康郎+ 木村 弘\*

## 1. まえがき

人工衛星の歴史を振り返ってみると、その温度制御は過去の長い間、比較的シンプルを方法で達成されていたことが分かる。低高度、高高度を問わず、地球を周回する衛星ではいわゆる受動型熱制御方式が採用されていた。受動型とは、もともと何ら動く部分を持たないことを意味し、高い信頼性を必要とする衛星にとって最も望ましい方式であるといえる。衛星外表面や電子機器のコーティング、表面処理を内部の発熱に応じて適切に選択し、発熱分布が均一になるように機器配置を工夫することなどが受動型熱制御方式の具体的な手法である。アルミ 蒸着 プラスチックフィルム を多層にして構成した インシュレーション、宇宙環境下で安定した特性を持つペイント などが開発され、重要な役割を果たしてきた。

しかしながら,近年,通信,资源探査と人工衛星の需要が高まるとともに,衛星の大電力化・多様化・長寿命化が進み,従来に比べて格段に柔軟でパワフルな熱制御系が必要となっている。受動型から熱的パラメータを積極的に変化させて温度制御する能動型への転換が不可欠である。三菱電機(株)は,人工衛星開発の初期から能動型による衛星の温度制御に着目し,早くも昭和46年には宇宙開発事業団(NASDA)の御指導の下に,代表的能動熱素子であるヒートパイプの研究に着手した。ほぼ時期を同じくしてサーマルルーバの開発にも着手し,これらの成果は,昭和57年に打ち上げられた技術試験衛星Ⅲ型(ETS-Ⅲ)による飛しょう実験へとつながった。1年半にわたるデータから,搭載されたヒートパイプとサーマルルーバがいずれも設計どおりの性能を宇宙環境下で示すことが確認された。

ETS-III における成功は、その後に続く本格的な大型衛星、ETS-V及び地球資源衛星1号 (ERS-1) における能動型熱制御の大きな足掛かりとなった。これらの衛星では、多くのヒートパイプやサーマルルーバが用いられ、複雑な温度制御システムを構成している。宇宙基地が出現する1990年代(昭和65年)には、我が国でもフリーフライヤーや静止プラットフォームなど従来の衛星の概念とはかけ離れた宇宙機の打上げが予定されている。その開発は目前に迫っているが、これらの宇宙機には更に一歩進んだ能動型熱制御が必要となると予想される。

本稿では、能動型熱制御技術の開発現況と将来動向について述べる。

#### 2. 能動型熱制御素子の開発現況

#### 2.1 ヒートパイプ

ヒートパイプは、液体の相変化に伴う潜熱の授受を利用した熱伝達素子である。密閉された管内にはウィックと呼ばれる多孔質材料が装着され、適量の作動流体が充てんされている。管の一端を加熱すると液体は蒸気となって流れ、冷却部にて凝縮し、凝縮した液体はウィックに生ずる毛管圧力差によって再び加熱部へ帰還する。蒸気は管内の至る所に充満し、ヒートパイプを一様な温度にする作用を持っ

ている。

ヒートパイプ内にわずかな不凝縮ガスを封入すると、興味深い現象が起きる。この場合も端部を加熱すると蒸気流が生じるが、管のもう一端の冷却部には、不凝縮ガスにより蒸気の流れ込まない領域、すなわち、熱の伝わらない領域が形成される。この不凝縮ガス領域の長さは、蒸気温度が高くなるとヒートパイプ内圧が高まるために短くなる。蒸気領域は冷却部に大きく広がり、加熱部からの熱は冷却部に伝えやすくなる。逆に蒸気温度が下がると蒸気領域は縮小し、熱を伝えにくくなる。このように、蒸気温度によって加熱部と冷却部間の熱伝達率(コンダクタンス)が変化するため、この効果を利用して電子機器の温度制御が可能である。このタイプのヒートパイプを可変コンダクタンスヒートパイプ(VCHP)と呼ぶ。これに対して、通常のヒートパイプで固定コンダクタンスヒートパイプ(FCHP)と呼ぶ。

宇宙用 ヒートパイプ 開発において最も重要な技術課題は、 無重力下

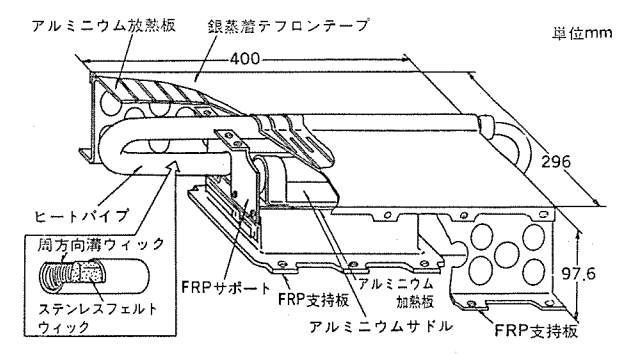


図 1. ヒートパイプ 実験装置の構成図

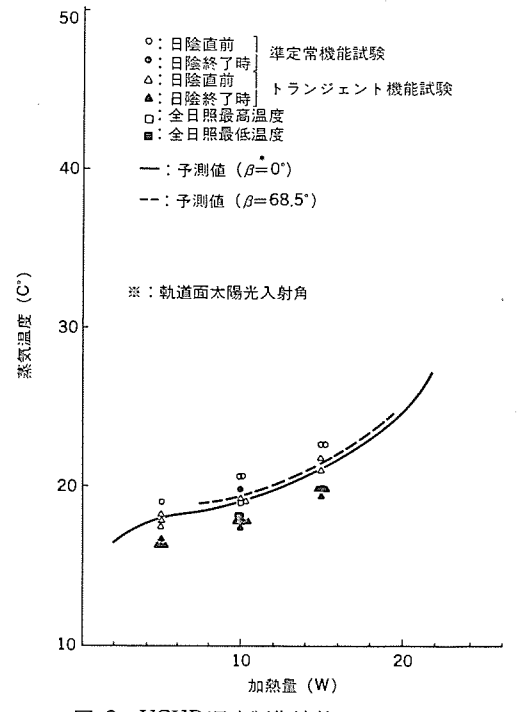


図 2. VCHP 温度制御性能 フライトデータ

<sup>\*</sup> 三菱電機(株)鎌倉製作所(工博) \*\* 同製作所 \*\*\* 同中央研究所 + 宇宙開発事業団

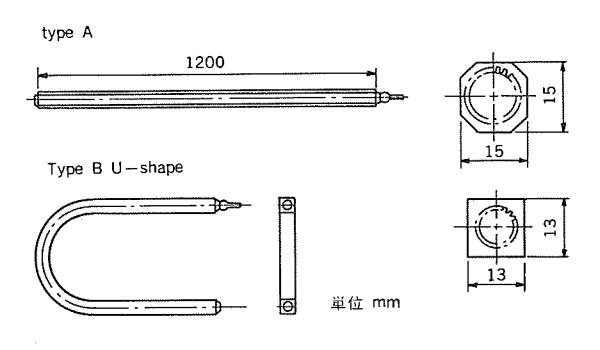
における動作性能の保証である。 ヒートパイラ内での熱流体現象は、表面張力という非常に小さな力で支配されており、 地上試験の データは重力の影響を強く受けるために、 軌道上での性能とは直接には対応しない。 解析において、 重力の効果を適切に評価していることを多くの地上試験 データから確認した後、 初めて軌道上での性能予測が可能となる。 昭和58年に打ち上げられた ETS-III による飛しょう実験の主眼は、 無重力下での性能評価におかれた。 実験に供されたのは図 1. に示す ホットリザーパ型 VCHP で、 作動流体には メタノール、ウィックとして周方向溝と管中央の フェルト から成る複合 ウィックを用いている。 1年を超える飛しょう実験では様々な動作試験が行われたが、 図 2. に示すように性能は極めて良好で、 予測との良い一致が見られた。 宇宙空間では、むしろ、より解析に近い挙動を示している。

ヒートパイプの本格的な衛星への応用として、次に取り組まれたのがETS-Vのヒートパイプペイロードパネルであり、このために、パネル埋め込みが可能なFCHPとVCHPが開発された。その外観と主要諸元を図3.、図4.に示す。FCHPには新たに軸方向溝ウィックを採用した。アルミ合金のエンベロープと一体成型されるのでウィックの実装が不要であり、曲げも容易なため形状に自由度がある。唯一の欠点は、多孔質材料のウィックと異なり、毛管圧力が小さいことで、重力の影響を一層強く受けやすい。図5.にFCHPの性能予測と地上試験結果を示しているが、このような良い一致を得るまでには解析に多くの努力がなされた。

#### 2.2 サーマルルーバ

ルーパは、人工衛星の放熱面である外被に取り付けられ、外被温度に応じて ブレード と呼ぶ熱的反射板を開閉して外被からの放射 エネルギーを制御することにより、衛星の温度制御を行う能動熱制御素子である。ルーパは、開発の歴史も古く、多くの衛星で飛しょう実績があるが、太陽光照射下での放熱性能は太陽光の方位角によっては著しく低下する。そのため使用条件に制限を受けていたが、ブレードの回転方向を従来の並向回転から対向回転とすることにより、極端な放熱性能の低下を避けることが可能となった。

我が国では、NASDA の御指導の下に、昭和46年, 三菱電機(株)

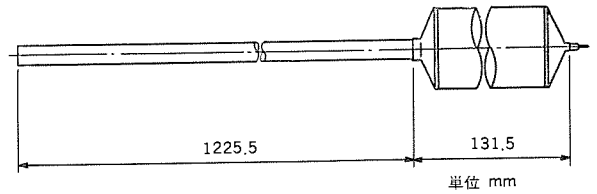


Heat Pipe type	A	В
エンベロープ	AI - 6063	AI – 6063
作動流体	ammonia	ammonia
重量 (g)	365	108
長さ (mm)	1,220	433
断面 (mm)	15×15	13×13
蒸気流路径 (mm)	10	8.6
グルーブ数	34	34
グループ幅 (mm)	0.66	0,55
グループ深さ (㎜)	1.0	0,71

図 3. FCHP 設計仕様

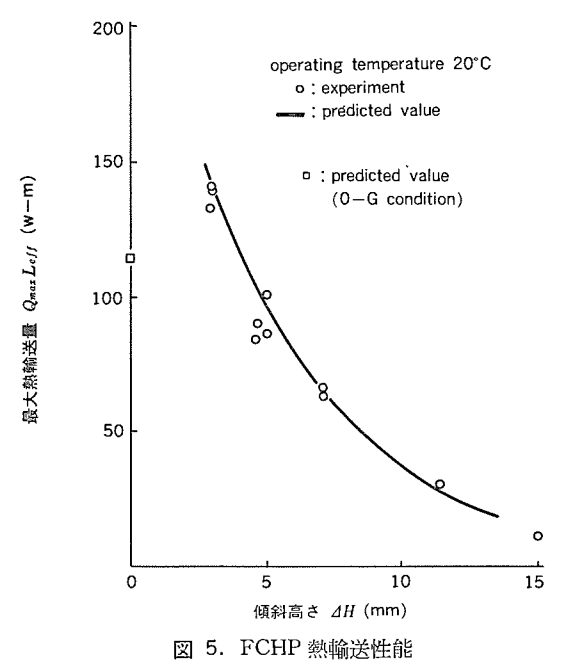
が研究に着手した。理論解析、実験の段階を経て、衛星搭載を前提に設計技術、製作技術の検討を行い、開発を進めてきた。この成果を踏まえ、能動式熱制御装置としてETS-IIに搭載し、宇宙空間での飛しょう実験を行うこととした。この開発では、対向回転型ルーバの放射特性及び太陽光照射下での放熱性能を明らかにするとともに、実用化に際して必要な、①耐環境性、②基本機器としての軽量化、③ ブレード 軸受部の信頼性向上、④太陽光反射特性を向上させる全鏡面仕上げ、⑤ アウトガス による自己汚染の防止、などの開発要素を解決することを目指した。

ETS-III サーマルルーバ実験装置の構成と仕様を図 6. に示す。ブレードは アルミ 製で、 表面は全開時の実効放射率を上げるためにも鏡面仕上げとしている。アクチュエータ は、設計の簡易さ、重量、信頼性、開発 コスト などの面から スパイラルバイメタル を採用した。太陽光照射下での ルーバ の使用には、 外部熱環境条件が バイメタル 温度に影響して ブ



	単位 mm
エンベロープ材料	SUS 304L
作動流体	methanol
重量 (g)	390
長さ (mm)	1,372
断面	管 13.2 φ o.d.
	リサーバ 58φo.d.
蒸気流路径	12φ
ウィック	周方向グループ
	ピッチ 0.3mm
	深さ 0,25 <sub>mm</sub>
	中央フェルトウィック
	SUS 316 5mm 厚さ
リザーバ	コールドウィックリザーバ
	リザーバ体積 250cc
不凝縮ガス	Ar+He

図 4. VCHP 設計仕様



レードの回転角を狂わすことのないような設計が必要であり、ブレード軸及び バイメタル との結合部材に熱伝導率が低く、使用温度範囲が広く、かつ機械的強度の高い高分子材料を用いた。軸受は自己潤滑性の高い テフロンブッシュ を採用した。

ETS-II 能動熱制御装置の飛しょう実験は、昭和 57 年 10 月から開始され、約1 年間にわたって続けられたが、性能は解析及び地上試験での結果とよく一致しており、放熱基板の  $3^{-2}$  である銀素着  $3^{-2}$  の太陽光吸収率の増加や  $3^{-2}$  での評価対象として重要な非定常熱制御性能は、軌道周期に合わせてしるを  $3^{-2}$  での形  $3^{-2}$  であり、温度制御性の良好なことが確認できた。

その後、サーマルルーバの軽量化と大型化が更に進められ、 現在では ERS-1 及び フリーフライヤ 用の実用機が 開発されている。

## 3. 能動型熱制御の人工衛星

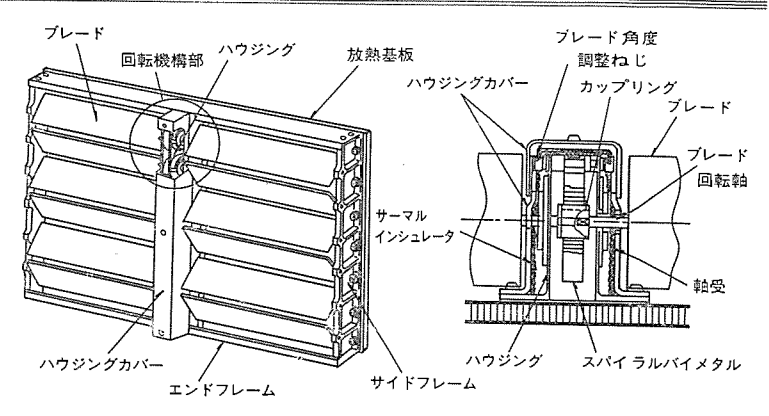
放送,通信などを目的として搭載される ミッション 機器はますます大電力化の傾向を強めている。展開型太陽電池パネルは、こうした需要にこたえて、衛星のサイズにかかわらず必要な電力を生み出すことを可能にした。しかしながら、衛星内部で生じる電子機器の熱は衛星主構体の一部を放熱面として宇宙空間に排出されるため、放熱能力は依然として衛星サイズの強い制約下にある。このアンバランスを解決すべく、限られた面積から最大限の放熱能力を得ることが熱制御系の重要課題の一つになっている。

一方,観測や科学実験を目的としている衛星では, 軌道上での運用が多様で常に機器の オッオフが繰り返さ れるが,機器の多様化と大電力化とがあいまって,そ の温度変化を一定範囲内に抑えることが難しくなって いる。ここでもまた,異なった様式での能動型熱制御 を必要としている。以下,典型的な能動型熱制御によ る衛星について述べる。

## 3.1 静止三軸衛星バス

人工衛星の中でも静止衛星は通信などで需要が極めて多く,したがって多くの ミッション に対応可能な静止共通 バス 衛星を開発することが急務であった。 我が国初の 550 kg 級の静止三軸衛星 である ETS-V は,この期待を担って開発が着手された衛星で,静止三軸バス 衛星の基盤技術を確立することを目的の一つとしている (図 7.参照)。 熱制御技術も重要な位置付けにあり, 更にその中で大容量の放熱能力を持つヒートパイプ埋込パネルは,静止三軸バスの熱制御に不可欠な技術として認識された。

衛星の構体に用いられるアルミハニカムパネルは、軽量で剛性が高く、構造的には優れるが、 熱伝導率が非常に小さく、パネルに搭載された電子機器の熱を拡散し、放熱するには好ましくない。良熱伝導率の金属の薄板を ヒートシンク として用いる方法があるが、 大きな排熱能力を得るにはかなりの重量が必要となる。 そこで ヒートパイプ の特



## (a) 実験装置

#### (b) 回転機構部詳細

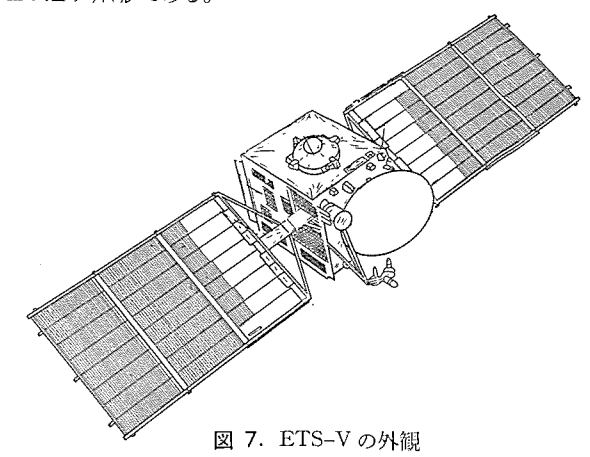
熱 伝 達 性 能	15W以上(宇宙空間をヒートシンク)
動 作 温 度 (放熱基板)	5~15W の加熱量変化に対し、0~40°℃に 制御
有効放射而積	1,200 <sub>cm²</sub>
実 効 放 射 率	ブレード全閉時:0.15以下 ブレード全閉時:0.65以上
実 効 太 陽 光 吸 収 率 (ブレード全開時)	太陽光仰角 15°:0,10以下 太陽光仰角 90°:0,20以下
プレード開き角設定温度	ブレード全閉:5°C プレード全閉:20°C
重 量	2kg以下 (放熱基板を含む)

図 6. サーマルルーバ 実験装置の構成

表 1. 基板温度及び バイメタル 温度の温度変化率 (飛しょう 実験)

実験	モード	特 性	ヒータ	ON∕OFF &	<b>炎温度変化率</b> (	(°C'分)	
(周	回数)	10 E±	5分後	10 分後	20 分後	30 分後	備 考
	b 機 能 ,910)	立ち上がり	1.37 0.34	0.84 0.66	0.40 0.62	0.16 0.32	基 板 パイメタル
驱動(3	,911)	立ち下がり	-0.88 -0.24	-0.51 -0.62	0.0 -0.22	0.0 -0.04	基 板 バイメタル
	,912)	立ち上がり	1.44 0.22	0.82 0.64	0.4 0.62	-0.13 0.24	基 板 パイメタル
駆動(3	,機 能 ,913)	立ち下がり	-1.03 -0.16	-0.57 -0.40	-0.08 -0.38	-0.21 -0.16	基 板 バイメタル
駆 助 (3,	,914)	立ち上がり	1.40 0.22	0.86 0.66	0.25 0.46	-0.04 -0.04	悲 板 バイメタル
駆動 (1,354,1	· 機 能 ,366,1,368)	立ち上がり	1.23 0.17	0.57 0.48	0.48 0.53	0.02 0.25	基 板 バイメタル
駆動(1,365	機能, 1,367)	立ち下がり	-0.73 -0.15	-0.70 -0.53	-0.08 -0.23	-0.14 -0.15	基 板 バイメタル

長を生かし、 ハニカムパネル の熱的欠点をうまく 補ったのが ヒートパイプ 埋め込み パネル である。



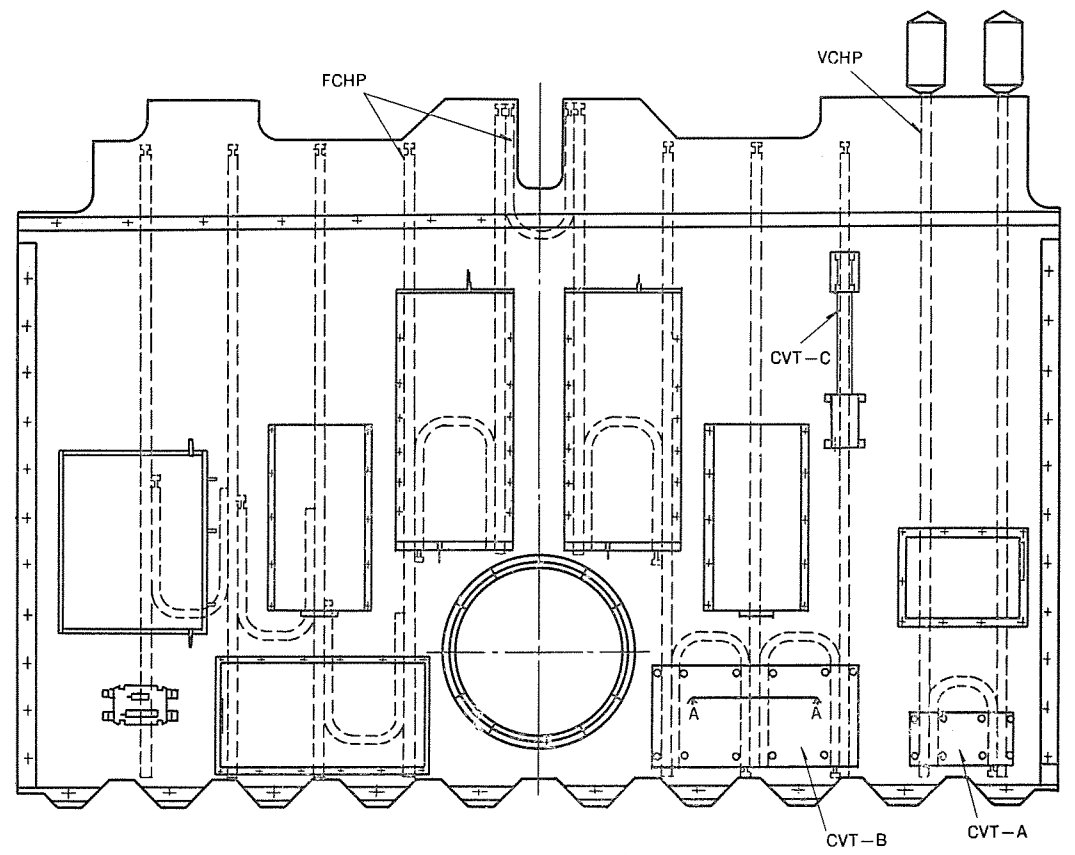


図 8. ETS-Vitートパイプパネル の レイアウト

図 8. に ヒートパイプ が埋め込まれている ETS-V の北面 ペイロードパネル のレイアウトを示す。パネルのサイズは 1.6 m×1.1 m で、コアの厚さは 22 mm である。 9本のストレート型 FCHP は同一方向に配列され、8本のU字型 FCHP で互いに結合されている。 U字型 FCHP は、ストレート型 FCHP を横切る方向に温度を均一化させるはたらきがあり、放熱効率の向上をねらったものである。発熱変化の大きな電子機器は、U字型 FCFP によって結合された 2本の VCHP によって温度制御されている。 VCHP を含めて計 20本の ヒートパイプ はすべて ハニカムパネル 内に埋め込まれており、機器の パネル への取付けを容易にしている。 FCHP には ヒートパイプエンベローブと一体で成形されたフランジが付いており、機器取付けのねじを直接受けることができ、熱的には極めて都合がよい。

ETS-V の熱構造 モデル を用いた熱平衡試験, 音響試験, 振動試験など一連の開発試験は無事終了し, ヒートパイプ埋め込み パネル が熱的にも構造的にも十分な性能を持つことが確認された。特に熱平衡試験において, VCHP と FCHP とが複雑に組み合わされた パネルの熱的挙動が正しく予測されたことの意義は大きい。

ETS-V より更に大型化を図った静止三軸 バスの スタディ も進められている。ペイロードパネルは 2m×3mと一段と大きくなるため、埋め込まれる ヒートパイプ の数量も増加すると予想される。 こうした大型化において、 ヒートパイプ 間の熱的結合の確保が一つの重要な ポイント となる。図 9. は試作したパネルの温度分布を赤外画像によって示したもの であるが、 ヒートパイプ 間の熱的結合の様子を明確に捕らえることができる。単に設計の検証のみならず、製造上の欠陥を調べるのにも有効な手段であろう。

#### 3.2 多目的小型スペースプラットフォーム

宇宙空間の利用方法は数限りない。 1992 年度(昭和67年)に打上げが予定されている小型 スペースプラットフォーム は、 天文観測、材料

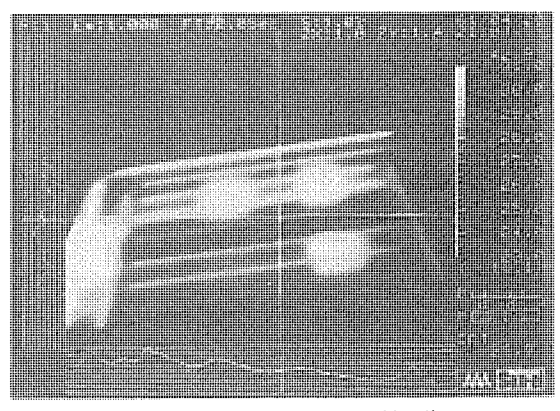
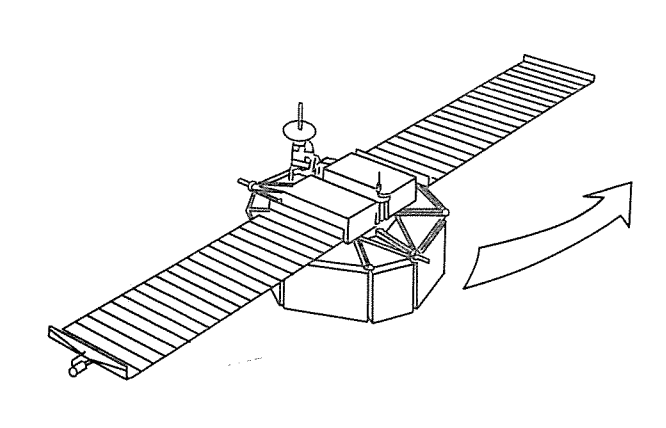


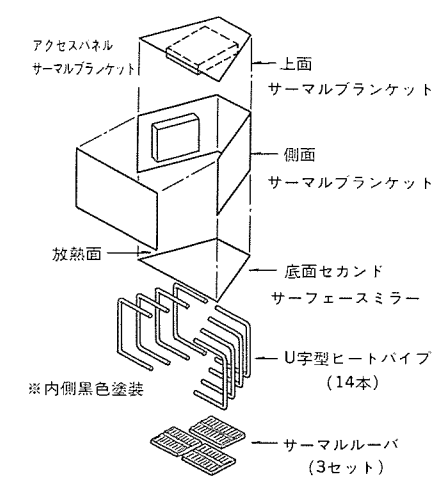
図 9. ヒートパイプパネル の赤外画像

・生物実験、種々の理工学実験などを行うことを目的とした再使用可能な宇宙機である。ペイロードを収納するポックスユニットには多種多様な機器が搭載されるため、熱制御系としては発熱量などの熱的特性が変わっても大きな変更なく対応できることが必要である。また、機器の運用についても大きなフレキシビリティが要求される。

このような要求に対処する手段として考えられたのが、サーマルルーバとヒートパイプとを組み合わせた能動型熱制御 モジュール である。 図 10. にペイロードュニット の熱制御系の概要を示す。 主放熱面は反太陽指向面とし、他の面は多層 インシュレーション によって外部と断熱した構成としている。機器搭載面は構造上、太陽指向面及び側面に限定されるため、機器の熱は放射及びヒートパイプによって主放熱面へ伝達される。ヒートパイプの利用は搭載面と放熱面の間の結合を強くして、ペイロードュニットの放熱能力を向上させることに寄与している。また、同時にユニットそのものを等温化し、その結果機器配置に自由度を持たせている。主放熱面にはサーマルルーバを装着し、ミッション休止期間中の機器の温度低下など、広範囲の発熱変化に対応できる設



(a) 小型宇宙 プラットフォーム



(b) ペイロードユニット

図 10. 小型宇宙 プラットフォーム の熱制御系

計としている。現在、ペイロードュニットの熱構造 モデル は製作が終了し、環境試験による性能評価の段階に進んでいる。

## 4. 能動型熱制御技術の将来動向

我が国の宇宙開発も大型化と多様化の方向にあり、熱制御技術も これに対応していくことが必要である。熱的な課題をまとめると、 以下のようになる。

- (1) コスト効率の良い衛星形状の追求と熱設計の整合
- (2) 衛星消費電力の大幅な増加による排熱面積の不足
- (3) 観測衛星の多機能化と セッサ の能動冷却の必要性
- (4) 発電・材料実験に対応する高温熱輸送と蓄熱技術
- (1)は、特に通信・放送衛星の熱設計について要求される課題であり、 t-rパイプ技術を縦横に駆使することが考えられる。 これまで開発されてきた FCHP、VCHP 技術のほか、 t-rパイプ間の連結技術、マイクロt-rパイプなどが必要となろう。
- (2)については、将来の通信 ブラットフォーム や宇宙基地では、分散した熱源を統合してコットロール することにより、バスとしての設計自由度が飛躍的に増大することから、展開型の集中 ラジェータ の使用が検討されている。熱源から ラジェータ までの熱輸送の方式、展開部分の熱的連結方式、 ラジェータ の構成方法などの技術課題がある。熱輸送には、液循環 ポップ、キャピラリポップ、二相 ポップ、サーマルポップ などが考えられる。サーマルポップ は、ヒータの ON/OFF で駆動力を得る簡便な システム である (図 11.)。 ラジェータ の構成は、ヒートパイプの埋め込み又は ヒートパイプフィッ の組立方式が有効と考えられる。 ヒートパイプ が必要である。 ラジェータ の面積を削減するため、地上でよく使用されている ヒートポップ の適用も有効と考えられる。
- (3)の課題については、従来放射冷却器が主流であったが、低軌道衛星の セッサ の冷却では放射冷却器への熱流入が 遮断 し難しいこと、サッシールド の取付けが難しいことなどから、 能動式の クーラー の開発が進められている。 振動や寿命の問題が完全には解決されておらず、対向型 ピストン 式 スターリング 冷凍器、 ヴィルマイヤ 冷凍器などの開発が続

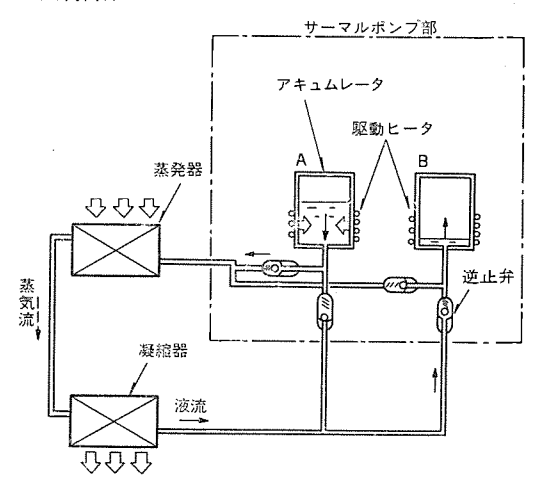


図 11. サーマルポップ の動作原理図

けられている。 能動式冷却を採用した場合, センサ 全体の システム をまとめ上げる上で, デュア 技術や極低温 ヒートパイプ, ダイオードヒートパイプ, コンタミネーション 防止技術などの複合技術が必す (須) である。

(4)は、熱発電や材料実験で必要な高温での熱輸送及び蓄熱技術である。高温熱輸送方式としては Nat-トパイプが有望と考えられているが、 Na の液循環も有効と考えられる。蓄熱材との組合せを考えた集熱効率の高い系を考えることが重要である。排熱は、 ラジェータ の面積を減らすために、 できるだけ高温にして行うことから tートポップの使用が有効と考えられる。

### 5. む す び

ヒートパイプ及び サーマルルーバ は、人工衛星の基本的な熱制御素子として不可欠な存在となっており、これらをいかに組み合わせてより高度の熱制御要求を満たす システム を構成するかが、今後の課題である。 ハードウェア 開発の草創期から発展への フェーズ へ移行する時期に来ているといえる。 次世代の能動熱素子である二相流体 ループ や極低温冷凍機が組み込まれた システム も既に開発が計画されており、宇宙基地の時代にふさわしい展開が期待される。

# 人工衛星搭載用GaAs半導体デバイス

山上倖三\* 北陽 滋\* 上田和男\* 伊木茂男\* 園田琢二\*

## 1. まえがき

最近,商用分野への人工衛星の利用が急速に増大してきている。 これに伴い, ミッション 要求の拡大と経済性の観点から,衛星の大型 化(大出力化),長寿命化が図られている。GaAs 半導体デバイスは, これらの要請にこたえ得る最適な性能をもっている。GaAs 太陽電 池 セルは,素材結晶の物性的性質から,Si 太陽電池 セルに比較して 高い変換効率をもち,温度上昇に対しても変換効率の低下が少なく, 耐放射線性に優れているなどの長所を備えている。このため, GaAs 太陽電池 セルは,衛星搭載機器の中でも重量・容積の占有率 の大きい太陽電池パネルの高出力化と長寿命化及び軽量化を可能に し得るものであり,将来の人工衛星用太陽電池の主流になると期待 されている。今回,当社はこれらの要請に沿って,新たな技術開発 を行い,より高性能の大面積,薄型 GaAs 太陽電池 セルを開発した。

また、GaAs FET は、従来から低雑音素子を中心に、衛星搭載用トランスポンダに広く用いられてきている。更に、衛星のより一層の長寿命化、高信頼度化及び低消費電力化を図るために、トランスポンダの送信段に用いられている TWTA (Traveling Wave Tube Amplifier)の GaAs FET への置き換えが進められている。今回、当社は、X帯 TWTA の GaAs FET への SSPA (Solid State Power Amplifier) 化を可能にする高出力高効率 GaAs FET を開発した。

本稿では、人工衛星搭載用 GaAs 半導体 デバイス の中で、 当社が新たに開発した GaAs 太陽電池  $t_{ll}$  と GaAs FET の新製品について、その特長と今後の開発動向について紹介する。

### 2. GaAs 太陽電池セル

昭和 57 年~58 年に、当社は宇宙開発事業団 (NASDA) の委託を受け、宇宙用 GaAs 太陽電池  $t_{ll}$  の開発を行った。昭和 59 年に、NASDA 委託業務で開発した  $t_{ll}$  サイズ  $2\times2$  cm、 $t_{ll}$  厚み 280  $\mu$ m、変換効率 17.5% のGaAs 太陽電池  $t_{ll}$  が、宇宙用高信頼性共通部品として NASDA の認定を受けた。 この GaAs 太陽電池  $t_{ll}$  は、昭和 63 年打上げ予定の通信衛星 3 号 (CS-3) に電源用として搭載される。当社は更に、昭和 61 年から新たな技術開発を行い、より高性能化した大面積  $(2\times4$  cm)、薄形  $(200~\mu$ m) GaAs 太陽電池  $t_{ll}$  を開発した。

以下これらの GaAs 太陽電池 tu の構造と製法、性能及び今後の 開発動向について述べる。

## 2.1 構造と製法

GaAs 太陽電池 th の構造を図 1. に示す。GaAs は表面再結合速度が大きいために、pn 接合を形成した表面に GaAs より禁制帯幅の大きい AlGaAs 層を設け、p-AlGaAs/p-GaAs/n-GaAs から成る ヘテロフェース 構造を形成している。この構造は、① AlGaAs 結晶の格子定数が GaAs 結晶の格子定数とよく一致するため、界面での格子整合性が極めて良く、発生 ++リヤの界面での再結合を小さくできる、② AlGaAs の禁制帯幅が GaAs より大きいため、発生 ++

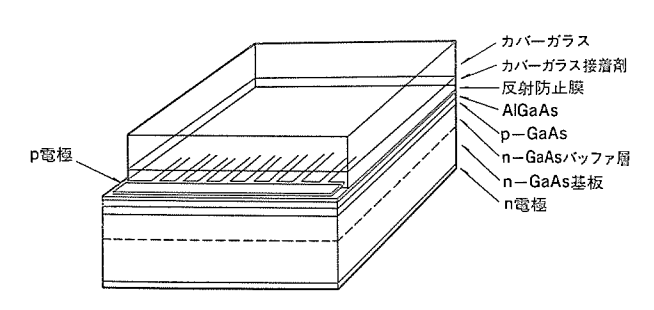


図 1. 宇宙用 GaAs 太陽電池 セル の構造

リヤの表面への拡散が抑えられるなどの効果があり、発生 キャリヤの 収集効率を高めることができる。

この ヘテロフェース 構造は、発光 ダイオード や レーザダイオード で実績のあ る結晶成長法、すなわち、装置が簡単で良質の結晶を作成できる液 相 エピタキシャル 結晶成長法で形成される。結晶成長 ホート は、量産性 を高め、均質な結晶を作るために種々の工夫がこらされた当社独自 の縦型構造のボートを使用している(1)。GaAs 太陽電池 tu の耐放射 性は、p-GaAs 層の厚み、すなわち pn 接合の深さ  $(X_i)$  に大きく 依存するため、 $X_i$  を  $0.5\pm0.1\,\mu\mathrm{m}$  に御制し、 放射線劣化を一定の 範囲に抑えている<sup>②③</sup>。p-AlGaAs 層の厚みは、短波長光の吸収を できるだけ小さくするために 0.2 µm 以下に御制されている。また, p-AlGaAs 層の Al 組成比 x (AlxGa<sub>1-</sub>xAs) は、耐湿性を考慮して 0.86以下に抑えられている。p-AlGaAs層の表面には、表面での反 射を低減し、p-AlGaAs 層の保護を目的とする、耐湿性及び耐薬品 性に優れた シリコン 窒化膜 (Si<sub>3</sub>N<sub>4</sub>) を形成している。膜厚は、700~ 800 Å に御制し、最適化を図っている。P電極は、密着強度の安定 性と良好な オーミック接触を得るために、シリコン 窒化膜及び p-AlGaAs 層を選択的に エッチング し、直接 p-GaAs 層上に Ti/Ag を形成して いる。 n 電極は、 オーミック性の良好な Au·Ge/Ni/Au/Ag を形成 している。Ag層は、インタコネクタとの接続性を高めるために、4.5 μm 以上の厚みに形成されている。 tu の受光面には、150 μm の厚みの カバーガラス を接着し、低 エネルギープロトン による放射線劣化を低減して いる。以上のようにして作られた セルサイズ 2 × 2 cm, セル 厚み 280 μm の GaAs 太陽電池 tル(以下,"2×2cm GaAs 太陽電池 tル"と

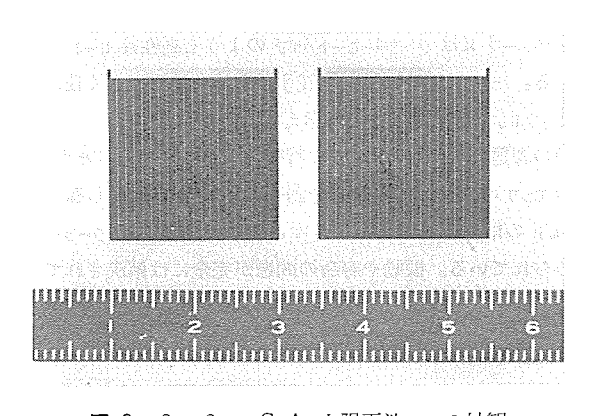
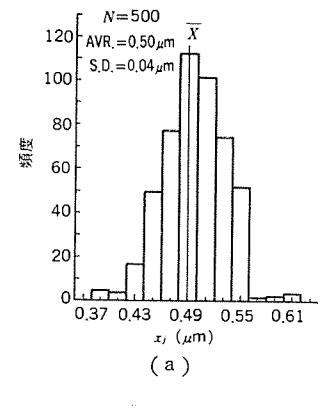


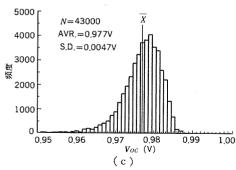
図 2. 2 × 2 cm GaAs 太陽電池 セル の外観

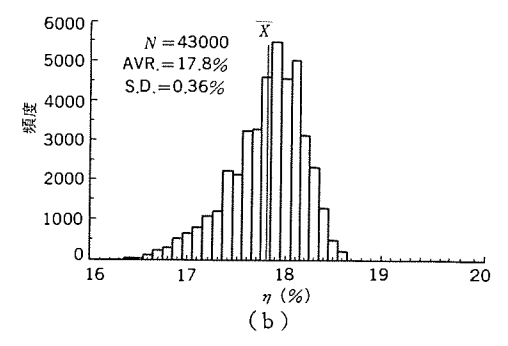
						セ	ルの種	類
項目		,	記号	単 位	NASDA-1013-301	PV 104 S-20	PV 105 S-20	
·			条 件			2×2 cm, 280 μm	2×4 cm, 200 μm	2×4 cm, 200 μm
開 放	10	Æ		$V_{oc}$	V	0.97	0.975	0.975
短 格	Ti.	流		Isc	mA	127	246	252
最 適 負	荷	電 圧	光源 AMo	$V_L$	V	0.84	0.84	0.84
最 適 負	荷	電 流	光照射強度 135.3 mW/cm <sup>2</sup>	I <sub>L</sub>	mA	113	225	225
山線	線     因     子       換     効     率		- 湖定温度 28°C	FF	%	76.9	78.0	77.0
変 換				η	%	17.5	17.3	17.5
最 大	H	カ		$P_M$	mW	94.7	187.1	189.2
	Voc			$\Delta V_{oc}/\Delta T$	mV/°C	-2.04	-2.04	-2.04
温 度 係	数	Isc	0~100°C	ΔI <sub>sc</sub> /ΔT	mA/°C	0.08	0.16	0.16
******		η		$\Delta\eta/\Delta T$	%/°C	-0.034	-0.034	-0.034
	Voc     腺に対する保存率   Isc		- 1 MeV 電子線			0.92	0.92	0.92
放射線に対する			1×10 <sup>15</sup> e/cm <sup>2</sup>			0.86	0.86	0.86
η		o, cm			0.78	0,78	0.78	
熱	特	Lil.	太陽光吸収率	$\alpha_S$		0.79	0.79	0.79
	- 15 ·ガラス付	性熱放射率		$\varepsilon_H$		0.83	0.83	0.83
· · ·			比	αs/6 <sub>H</sub>		0.95	0.95	0.95
	カバー	ガラス付き	溶接タイプ			750	1,220	1,230
ú k	(厚.4	- 150 μm)	はんだ付けタイプ			780	1,280	1,260
177	カバー	ガラスたし	溶接タイプ	. AND	mg	600	860	860
******	1	777GU	はんだ付けタイプ			630	920	890
单位 面	積	当た	りの出力	Secretaria de la constantina del constantina de la constantina del constantina de la constantina de la constantina de la constantina del constantina d	mW/cm²	23	23	23
単位重量	当たり	の出力	溶接タイプ		mW/g	126	153	154
(カバーガラス	付き厚み	150 µm)	けんだ付けなんプ	-	III AA (R	101		1.00

表 1. GaAs 太陽電池 セルの主要特件(代表例)



はんだ付けタイプ





146

150

121

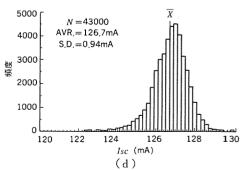


図 3. 2 × 2 cm GaAs 太陽電池 th の主要特性の ヒストグラム

呼ぶ)の外観写真を図2. に示す。

# 2.2 性能

当社が現在量産している 2×2 cm GaAs 太陽電池 tu の標準的 な主要特性を表 1. に示す。また、主要特性の幾つかの分布を図 3. に示す。接合深さ  $X_j$  は、 ほぼ  $0.40\sim0.60~\mu m$  の範囲に御制され、

その平均値は  $0.50~\mu\mathrm{m}$  である。変換効率  $(\eta)$ ,開放電圧 (Voc) 及 び短絡電流 (Isc) の平均値は、それぞれ 17.8%、0.977 V 及び 126.7 mA である。 液相 エピタキシャル 結晶成長法による当社の GaAs 太陽 電池 セル は,技術的にも生産能力的にも,世界に先駆けて実用段階 に入ったといえる。

以下,GaAs 太陽電池 セルの他の優れた性能である温度特性と耐放射線性につて,Si 太陽電池 セルと比較しながら紹介する。また,最後に GaAs 太陽電池 セルの信頼性についても触れる。

#### (1) 温度特性

温度範囲が  $-150\sim+150^\circ$ C における,GaAs 太陽電池 セルと Si 太陽電池 セルの変換効率(n)の温度依存性を図 4. に示す。 $0\sim+100^\circ$ C の温度範囲に対する変換効率(n)の温度係数 ( $\Delta n/\Delta T$ ) は,GaAs 太陽電池 セルが -0.034% C, Si 太陽電池 セルが -0.062% C である。したがって,GaAs 太陽電池 セルは,セルの温度が上昇しても,Si 太陽電池に比較して高い変換効率をもつという特長がある。(2) 耐放射線性

太陽電池 セル は、他の衛星搭載機器と異なり、衛星の外部に設置されているため、宇宙空間における放射線(電子線、プロトンな

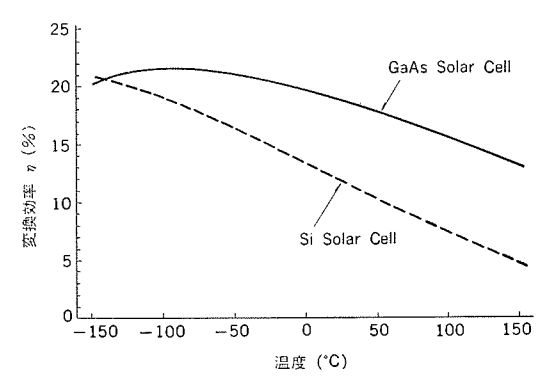


図 4. 変換効率 (η) の温度依存性

ど)を直接被ばくする。セルの受光面に装着されたカバーガラスは、太陽 フレアプロトンを中心とする低 エネルギープロトンを遮へいするが、電子線及び高 エネルギープロトン は透過する。 この透過した放射線は、太陽電池 セル を構成する結晶に損傷を与え、太陽電池 セルの特性劣化を引き起こし、太陽電池 セルの寿命を決定する主要因になる。このため、太陽電池 セルの耐放射線性の向上は、衛星の長寿命化を図る一つの重要な手段である。

衛星の電源設計は、衛星の寿命末期における太陽電池 セルの出力 予測を行い、寿命末期でも所定の電力が得られるように設計されている。ところで、太陽電池 セルの放射線による特性劣化は、太陽電池 セルの種類、被ばく放射線の種類、エネルギー及び照射線量、更には衛星の種類や衛星軌道によっても異なる。このため、衛星寿命末期での太陽電池 セルの出力予測は、個々の衛星について、各種放射線による劣化率を累積して求める必要がある。例えば、CS-3のようなスピン衛星が静止軌道で10年間に被ばくする累積放射線量は、1 MeV 電子線に換算して、約4.3×10<sup>14</sup> e/cm² に相当する。この値

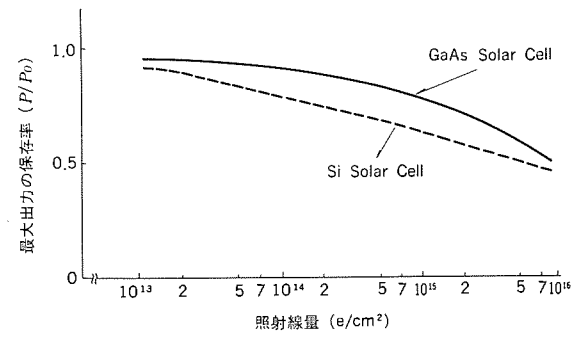


図 5. 1 MeV 電子線照射後の太陽電池 tu 出力の保存率

を目安に、GaAs 太陽電池  $t_{ll}$  と  $t_{ll}$  厚み  $280~\mu m$  の BSF 型 Si 太陽電池  $t_{ll}$  について、耐放射線性を比較する。

図 5. に,種々の線量の 1 MeV 電子線を照射したとき,それぞれの太陽電池  $t_{\rm ll}$  の最大出力  $(P_{\rm l})$  がどの程度低下するかを示す。 $1\times 10^{15}{\rm e/cm^2}$  に対する  ${\rm GaAs}$  太陽電池  $t_{\rm ll}$  の最大出力の保存率 $(P/P_{\rm o})$  は0.78,他方,  ${\rm Si}$  太陽電池  $t_{\rm ll}$  のそれは 0.66 である。 したがって,  ${\rm GaAs}$  太陽電池  $t_{\rm ll}$  の方が,とのような実用衛星に対して耐放射線性に優れているといえる。

#### (3) 信頼性

宇宙用太陽電池 tu の動作環境は特殊であるため、信頼性試験の各項目及び条件は、人工衛星の製作時、打上げ時及び宇宙空間での動作時に予想されるストレスを考慮の上、決定する必要がある。GaAs 太陽電池 tu については、宇宙空間での衛星稼働実績がないため、既に衛星搭載の実績のある宇宙用 Si 太陽電池 tu の評価基準を基に、試験項目、試験方法及び試験条件を設定している(4)。評価試験の主な結果を表 2. に示す。 この信頼性評価は、静止 軌道(36,000 km) に打ち上げられ、衛星寿命を7年とした スピッ衛星に搭載される場合を仮定している。各評価結果とも良好な結果が得られており、宇宙用として十分な信頼性をもっている(5)(6)。

#### 2.3 大面積·薄型化

太陽電池 th の大面積・薄型化は、太陽電池パネルの信頼性の向上、軽量化に対して極めて有効な手段である。 th の大面積化は、太陽電池パネルの アセッブリ 費用を低減し、更に インタコネクタ 等の接続 点数の減少によってパネルの信頼性を高めることができる。 他方、th の薄型化は、太陽電池パネルの単位重量当たりの出力を大きくし、単位出力当たりの打上げ費用を大幅に削減できる。また、衛星搭載 燃料を多くできるために、衛星の長寿命化に直結する。

しかし、GaAs 太陽電池 セルの大面積・薄型化には一定の制約がある。すなわち、セルの大面積化に対しては、Si 基板並みの大口径で均一な GaAs 基板の入手が困難であること、また薄型化に対しては、機械的強度の低下によって取扱い上の困難さが発生するなどの問題があり、実用化には、この制約範囲内において最適仕様での開発が必要である。

当社は、このたび 2×2 cm GaAs 太陽電池 セルの製造技術を基に新たな技術開発を行い、セルサイズ 2×4 cm、セル厚み 200 μm のGaAs 太陽電池 セル(以下、"2×4 cm GaAs 太陽電池 セル"と呼ぶ)を開発した。そのセルの外観写真を図 6. に示す。 基本的な セル構造は、2×2 cm GaAs 太陽電池 セルと同じである。 新たに開発した主要な技術は、①液相 エピタキシャル 成長温度の高精度化によって大面積に均一に結晶成長をさせる技術、②大面積化に伴う電極形成の最適化、③大面積を均一に薄型化する エッチング 技術の開発などである。2×4 cm GaAs 太陽電池 セルの代表的な主要特性を表 1. に示す。

表 2. 評価試験条件及び試験結果

		т—	表 2. 評価試	2000	CO BUSE	がロヘ			
					試験	結 果		故 障 判定基準	
	試験項目		試験条件		ラス無し ル		'ラス付き ル	111-1101	備考
				試料数	故障数	試料数	故障数	IL0 (%	)
	熱ショック		-196°C ↔ +140°C, 5サイクル +140°C ≥30°C/分	55	0	55	0	≤ 4.5%	-
	AFRICA TAREAL NA		60分 60分						
	45度引張強度	1	張速度:8.9cm/min	55	0		_	≥ 500g	平均值:1,700g
	耐湿性	l #	"a : 45°C 相対湿度:90% 乳験時間:720時間	55	0	55	0	≤ 1.5%	
	高温真空	7	【空度 : ≦1×10 <sup>-5</sup> Torr 'a : 140°C 沈験時間:168時間	_		55	0	≨ 2.5%	
	紫外線照射	l	MOに対して20倍加速 V験時間:1,000時間		_	10	-		$ I_L - I_{L_0}  /  I_{L_0}  $ (%) $\leq 2.4\%$
		(1)	1MeV 電子線照射 照射線量:3×10 <sup>12</sup> , 1×10 <sup>13</sup> , 1×10 <sup>14</sup> 1×10 <sup>15</sup> , 1×10 <sup>16</sup> e/cm <sup>2</sup>	55					保存率: η/ <sub>70</sub> =0.77~0.80 (at 5×10 <sup>15</sup> e/cm <sup>2</sup> )
	耐放射線性	(2)	10MeV プロトン照射 照射線量:5×10 <sup>10</sup> ,5×10 <sup>11</sup> ,5×10 <sup>12</sup> p/cm <sup>2</sup>	15					$\eta/\eta_0 = 0.86 \sim 0.87$ (at $5 \times 10^{11} \text{ p/cm}^2$ )
		(3)	0.5, 0.75, 1.0 MeV プロトン 照射線量: 5×10 <sup>11</sup> , 5×10 <sup>12</sup> , 5×10 <sup>13</sup> p/cm <sup>2</sup>	45		45			カバーガラス付きセル: η/η <sub>0</sub> = 0.98 ~ 1.02
		(4)	<sup>60</sup> Coガンマ様 線量:10 <sup>6</sup> , 10 <sup>7</sup> , 10 <sup>8</sup> , 10 <sup>9</sup> rad	20	_	_			$\eta/\eta_0 = 0.75 \sim 0.82$ (at 108 rad)
	連統動作	把	空度 : ≤1×10 <sup>-5</sup> Torr   ル温度: 100℃  射光源: AMO (135.3mW/cm²)   映時間: 1,000時間			2 クーポン 4P×4S			$\eta/\eta_0 = 1.02$
	正弦波振動	加 試	波数 : 20~2,000Hz  速度 : 20G  験時間:48min(X, Y, Z各方向 16分)	-	_				$\eta/\eta_0 = 1.00$
クーポン	ランダム振動	加設	j波数 :20~2,000Hz n速度 :34G (rms) t験時間:120秒			2 クーポン 4P×4S		-	
・テスト	衝撃	<i>)</i> *	速度 : 150G パルス幅:0.35ms i方向 (X1, X2) に各1回	<del></del>					$\eta/\eta_0 = 1.02$
ľ	熱ショック		140°C ↔ + 100°C, 500 ♥ 1 Ø /\nu + 100°C ≥ 30°C /\mathref{m} - 140°C	_	-				$\eta/\eta_0 = 1.01$ $\sim 1.02$
		T	: 1 ~101サイクル30分 <sup>T</sup>						

注 ILo:負荷電流の初期値 (at 0.84V)

IL :試験後の負荷電流 (at 0.84V)

70:効率の初期値

η:試験後の効率

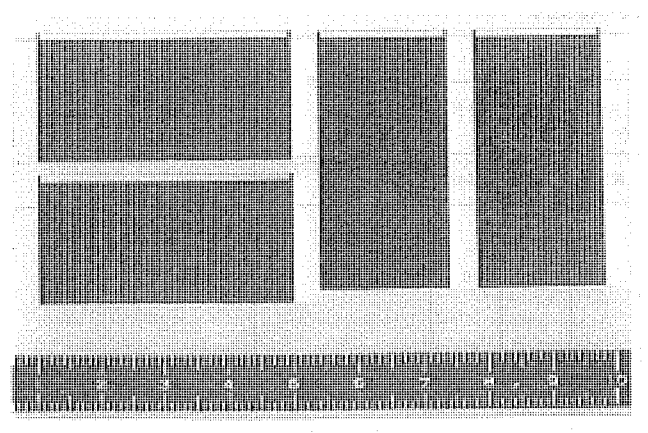


図 6. 2 × 4 cm GaAs 太陽電池 セル の外観

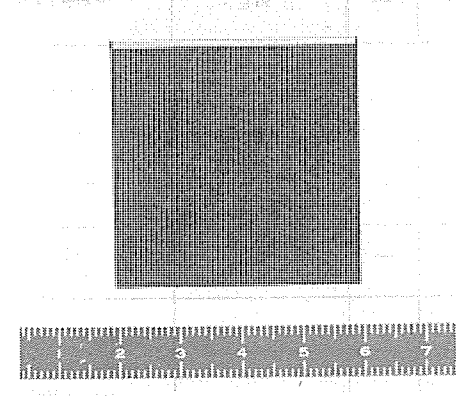


図 7. 4×4cm GaAs 太陽電池 tu の外観

同等の試験を実施し、良好な結果が得られている。

このたび開発した  $t_{\rm h}$   $t_{$ 

## 3. GaAs FET(7)(8)

当社の低雑音小信号 GaAs FET 2 SK 249 (MGF 1412) と高出力GaAs FET 2 SK 250 (MGF 2124) は、昭和56年、NASDAの宇宙用高信頼性部品として認定を受け、国内外の衛星に使用されている。今回、当社は、これらの素子をベースに新たな技術開発を行い、衛星通信に広く用いられている X帯 (11.7~12.2 GHz) トランスポッダの SSPA 化をねらって、3 W クラス の高出力高効率の GaAs FET を開発した。以下、この GaAs FET の設計、性能及び信頼性について述べる。

## 3.1 高効率化の設計

GaAs FET の高効率化を実現するために、 ソースインダクタンス の低減, 熱抵抗の低減及び チップデザインパラメータ の最適化を図った。

,具体的には,次のような技術開発を行った。

- (1) ソースインダクタンス の低減, 更に熱抵抗の低減に対しては, 2 SK 250 で実績のある当社独自の フリップチップマウント 構造の採用。
- (2) チップデザインパラメータの最適化に対しては、
  - (a) 2チップ化によるチップの小型化 (マルチチップ化)
- (b) 単位 ゲート 幅の最適化
- (c) ゲート 長の短縮

#### (d) リセス 形状の最適化

更に、マルチチップ電力合成に不可欠な均一電気特性チップの実現を図るとともに、 急しゅんな濃度 プロファイル を得るために、分子線 エピタキシ (MBE) 成長法を採用した。

#### 3.2 素子特性

前節で述べた技術を用い、SSPA 用X帯 3 W 高効率 GaAs FET (MGFX 35 M 1722) を開発した。

チップの主要デザインパラメータは、下記のとおりである。

全 ゲート幅 : 7.2 mm 単位 ゲート幅 : 150 μm

ゲート長 : 0.6 μm

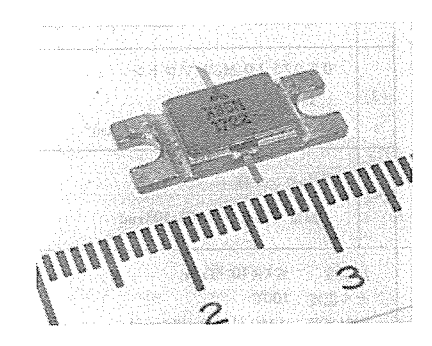
チップサイズ : 1.5×0.8×0.25 mm

MGFX 35 M 1722 の外観及び内部写真を図 8. に示す。チップは 2 チップ構成とし、MBE 法による電気的に均一な チップ を用い、 かつ 発振防止のために、入力側の整合回路に並列に抵抗を挿入した。内 部整合回路は、高誘電体基板を用いた 2 段集中定数形 LC 回路を採用し、衛星搭載用として小型・軽量化を図っている。

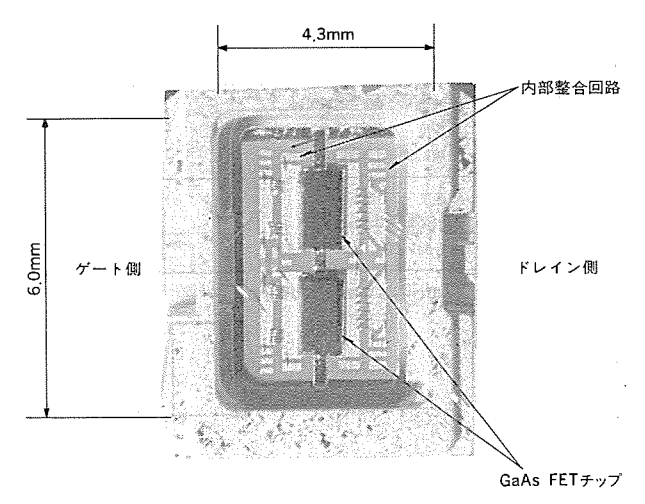
MGFX 35 M 1722 の周波数特性を図 9. に、入出力特性を図 10. に示す。 11.7~12.2 GHz の帯域で、 入力 29 dBm 時に出力 35 dBm 以上、 かつ付加電力効率 40% の性能をもっている。 TWTA から SSPA への置換のために、 GaAs FET に要求される付加電力効率 35% 以上を実現した。

#### 3.3 信頼性

高出力 GaAs FET は、大信号動作を行うため、 DC 動作寿命試験以外に、実使用状態に近い RF 連続動作寿命試験が重要となる。 今回開発を行った MGFX 35 M 1722 について、RF 動作寿命試験を



(a) 外 観



(b) 内部写真

図 8. MGFX 35 M 1722 の外観及び内部写真

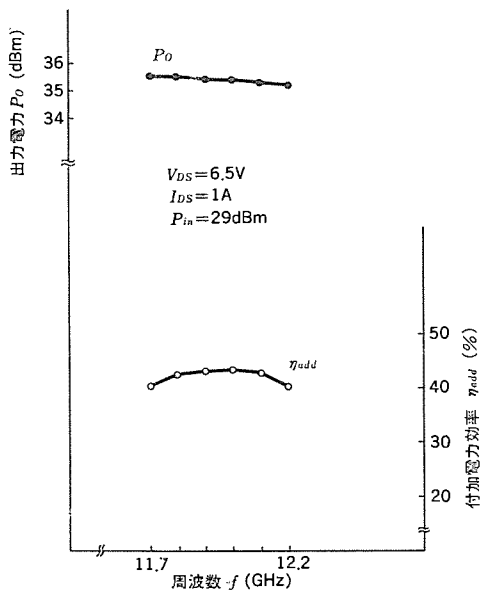


図 9. MGFX 35 M 1722 の周波数特性

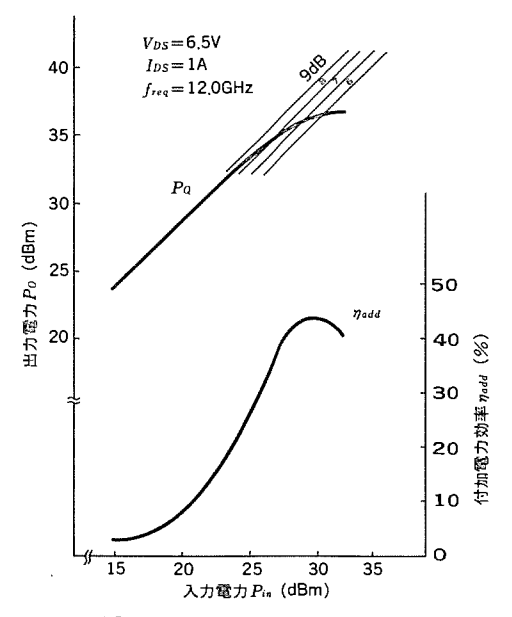


図 10. MGFX 35 M 1722 の入出力特性

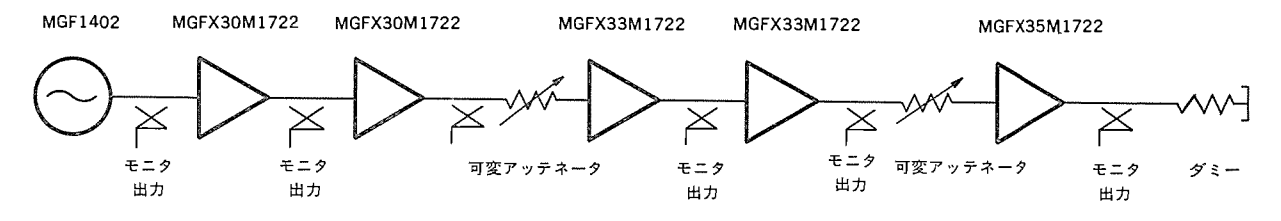


図 11. X 帯 RF 連続動作寿命試験装置の ブロック 図

実施した。RF 連続動作寿命試験装置の ブロック 図を図 11. に示す。当社製 MGF 1402 を発振器に 用 い, X帯 1 W クラス 内部整合素子 MGFX 30 M 1722 を使用した増幅器 2 段、及び同 2 W クラス MGFX 33 M 1722 を使用した増幅器 2 段によって,計 4 段の ドライバ 段を構成し、最終段に MGFX 35 M 1722 を用いている。MGFX 35 M 1722 への入力は, 可変 アッテネータ によって約 30 dBm に調整されている。動作周波数は 12.0 GHz で,動作時の素子 チャネル 温度は約 110°C に達している。衛星搭載用としての信頼性を確認するために, 1 万時間以上の試験を実施中であるが, 4,000 時間を経過した現在, 初期値に対する出力パワーの変動は最大 0.5 dB 以内であり,劣化はみられない。

## 4. む す び

以上,人工衛星搭載用の GaAs 太陽電池 セルと, X帯トランスポンダの SSPA 化に必要な高出力高効率 GaAs FET について紹介した。セルサイズ  $2 \times 2$  cm, セル 厚み 280  $\mu$ m, 変換効率 17.5% の GaAs 太陽電池 セル は、NASDA の御指導を得て開発し、昭和 63 年打上げ予定の CS-3 に電源用として搭載され、世界に先駆けて実用化の段階に入る。更に、当社は今回新たに技術開発を行い、セルサイズ  $2 \times 4$  cm, セル 厚み 200  $\mu$ m の大面積、薄型 GaAs 太陽電池 セルを開発し、宇宙用としての信頼性をもっていることを確認した。今後、これらの GaAs 太陽電池 セルは、人工衛星の電源用として広く採用されるものと期待される。

他方、今回開発した高出力高効率 GaAs FET は、 現在衛星通信 に広く用いられている X 帯 トランスポンダの SSPA 化を可能にし、 TWTA に替わって今後多くの人工衛星に搭載されるものと期待される。また、今後、より一層の GaAs FET の高出力化、 高効率化が進むことによって、 より広範囲な周波数帯でのトランスポンダの SS PA 化が進むものと予想される。

#### 参考文献

- (1) S. Yoshida, et al: Proc. of the 17th IEEE Photovoltaic Specialists Conf., 43 (1984)
- (2) S. Yoshida, et al: Proc. of the 15th IEEE Photovoltaic Specialists Conf., 239 (1981)
- (3) R. Loo, et al: Proc. of the 13th IEEE Photovoltaic Specialists Conf., 562 (1978)
- (4) 音田ほか:宇宙用 GaAs 太陽電池の信頼性評価,第16回信頼性・保全シンポジウム(昭61)
- (5) S. Matsuda, et al: Proc. of the 17th Conf., 97 (1984)
- (6) S. Matsuda, et al: 1st International Photovoltaic Science and Engineering Conf., 829 (1984)
- (7) 酒寄ほか: C~Ku 帯高出力 GaAs FET, 三菱電機技報, 60,No. 8 (昭 61)
- (8) 門脇ほか: 14 GHz 帯高出力 GaAs FET, 三菱電機技報, 59, No. 6 (昭 60)

# 磁気軸受フライホイールの宇宙実験モデルの製作

村上 力\*・中島 厚\*・秋下貞夫\*\*・藪内賀義\*\*\*・岩本邦雄\*

## 1. まえがき

昭和 61 年 8 月 13 日,種子島宇宙  $t_{\upsilon 9}$ -から発射した H- I  $_{\Box f \upsilon 9}$ ト によって,人工衛星「じんだい」は高度約 1,500 km の軌道に投入された。「じんだい」の主な任務は,世界で二番目の磁気軸受  $_{\Box f \iota 1}$  の宇宙実験であった。 実験期間は  $_{\Box f \iota 2}$  日間に過ぎないが,次世代の人工衛星の姿勢制御用  $_{\Box f \iota 3}$  として注目を集める磁気軸受  $_{\Box f \iota 3}$   $_{\Box f \iota 4}$  の宇宙の軌道上における動作特性について,我が国で初めての貴重な  $_{\Box f \iota 3}$  をもたらした。

磁気軸受は、回転体の非接触支持を可能にする革新的な軸受であり、種々の装置への応用の道が開けつつある。特に、人工衛星の姿勢制御用 アクチュエータ としての フライホイール への応用には、 長寿命・高信頼度・省 エネルギー・低回転雑音などの利点があり、 欧米でも早くから開発が進められてきた。

人工衛星「じんだい」による宇宙実験及び搭載型の磁気軸受 フライホイール の開発は、航空宇宙技術研究所によってなされ、その製作は三菱電機(株)が担当した。本稿では、この宇宙実験 モデル の製作について述べる。最初に宇宙実験の概要を紹介し、次に磁気軸受及び フライホイール の設計と製作を、更に駆動制御回路の製作を、それぞれ述べる。最後に、各種の環境試験と性能評価試験を説明する。

## 2. 宇宙実験の概要

人工衛星の姿勢制御用磁気軸受 フライホイール に関する諸技術は、過去8年間にわたる航空宇宙技術研究所と三菱電機(株)の共同研究において蓄積されてきた。宇宙実験の目的は、これらの技術を宇宙空間において検証することと、無重力環境下での磁気軸受とロータの特性に関するデータを取得することである。今回は、特に次の2項目に主眼がおかれた。

## (1) 無重力下での磁気軸受支持 フライホイール の安定性

受動安定軸(回転軸と直交する軸)まわりの運動の安定性は、地上においては十分に検証されているが、無重力下でも保証されるとは限らない。また、安定であるとしても、その外乱による振動減衰特性は重力の影響を受けると考えられる。

#### (2) ロンチロック 機構

磁気軸受には、D-9 磁極と  $Z_{7}-9$  磁極との間に平均 1 mm の半径方向のすき間がある。 打上げ時の強い振動荷重に D-9 がさらされるとき、このすき間で D-9 が  $Z_{7}-9$  に衝突し、磁極を損傷するおそれがある。したがって、打上げ時には D-9 を D-9 機構で固定し、軌道投入後にこれを解放する方式が必要である。

さて、宇宙実験装置は、H-Iロケットの第2段に固定されたまま 軌道に投入され、第2段の燃えがらと一体となって人工衛星「じん だい」となった。注意すべきは、磁気軸受 フライホイール の宇宙実験装置によって「じんだい」の姿勢制御を行うのではなく、 フライホイール の諸特性を把握することが実験の目的であったことである。図1. は宇宙実験装置全体 システム 構成を示す。また、表 1. には今回の宇

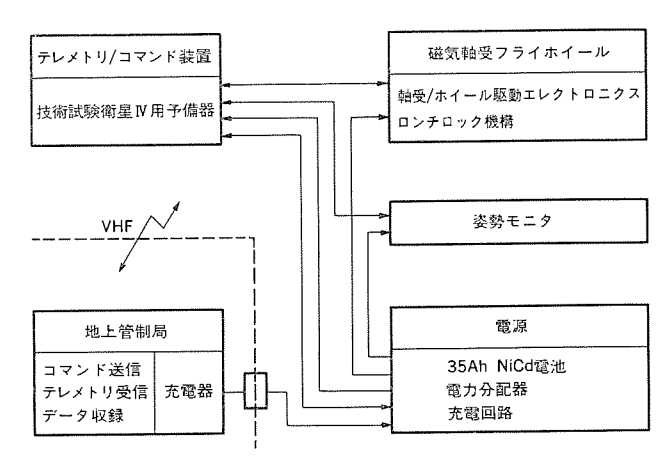


図 1. 磁気軸受 フライホイール の宇宙実験 システム

表 1. 磁気軸受 フライホイール の宇宙実験における制約条件

姿	勢	制	御	行わない
実	験	期	間	約2日間程度
電			源	980 Wh の NiCd 電池
電	波	リン	2	第2段ロケットの影響により断続の可能性あり
ilal	度	環	境	-15~+45°C 程度
搭	谜	Æ	量	300 kg 程度(実験装置全体)
軌			道	高度約 1,500 km,傾斜角 50°の円軌道

宙実験における制約条件を示す。

## 3. 磁気軸受及びフライホイールの設計と製作

表 2. に磁気軸受 フライホィール の設計要目を示す。磁気軸受方式は、 薄型で軽量化が可能な利点に着目して二軸制御方式を採用した。今 回の宇宙実験では、上述のように姿勢制御実験を行わないため、ロータの角運動量への要求仕様は特にはない。ロータ重量とその回転数 に関しては安全な仕様を採り、実験の成功に万全を期すことにした。 しかし、今回の宇宙実験において所期の磁気軸受特性が検証されれ ば、磁気軸受の設計法の適切さが証明されたことになり、以後、姿 勢制御用 アクチュエータ として現実的な角運動量を持つ ロータ 及びそれ を支える磁気軸受を製作することは容易であると考える(3)。

図2. には宇宙実験モデルの断面図を示す。磁気軸受の磁極は、こ

表 2. 宇宙実験 モデル の設計要目

£	文 注	<b>村</b>	1 3	受 方	定		二軸制御型
64) 700	ŝ		重		量	(kg)	7.2
9	ŀ	径		寸	法	(mm)	127 (高さ)×270 φ
r		-	g	外	径	(mm)	240
t			g	Æ	盘	(kg)	1.86
7	、テ	-	夕	磁板	径	(mm)	45
[1]	il		転		数	(rpm)	1,000
ſ	Ĺj	逛		動	量	(N•m•s)	3.5
草	ь :	方	向	剛	性	(N/m)	7.7×10 <sup>4</sup>

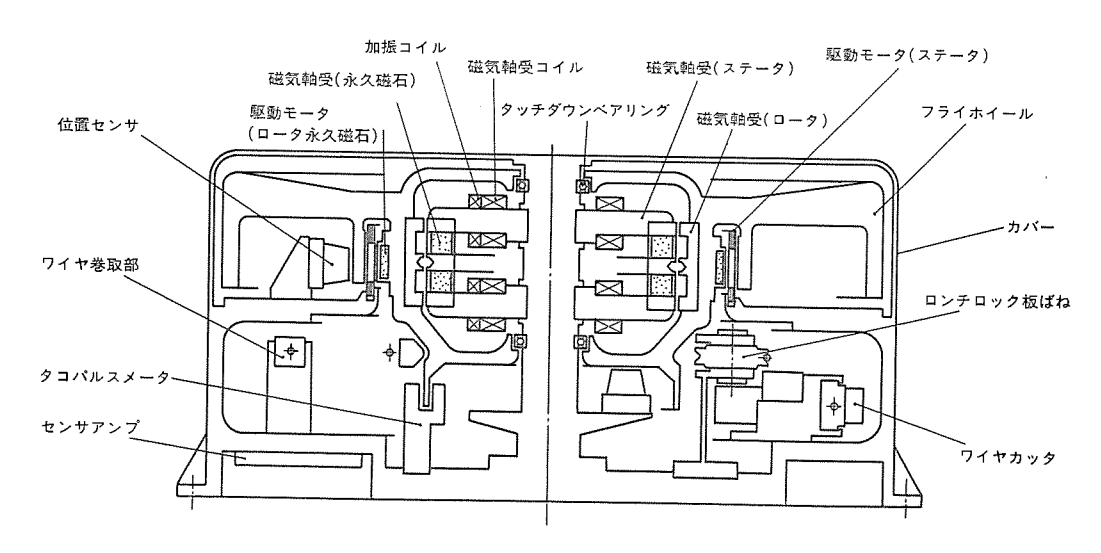


図 2. 磁気軸受 フライホイール 宇宙実験 モデル の断面図

の縦断面図では上下対称形の三つの部分から成り、ステータ側の三つの磁極の間には 2 箇所に永久磁石片が挿入された。なお、ロータ側の磁極に永久磁石を埋め込めば軸方向剛性を増すことができるが、この宇宙実験 モデルでは搭載機器 として重要な必要条件である残留磁気 モーメントゼロを考慮して、これを採用しなかった。ステータ磁極の上下の鉄心は十字形をなし、これらには二軸制御用電磁石のコイルが巻き付けられている。今回の宇宙実験では、前節(1)で述べたように受動安定軸に関するロータの安定性を測定した。特に、ロータの運動の中でも、より クリティカル な傾きの モード に着目した。

図 2. の縦断面の ステータの磁気軸受 コイル の左側に並べて設けたコイル は、このような ロータの傾き運動を励起するためのものである。この実験については、あとで詳細に述べる。 駆動 モータ は、磁気軸受のすぐ外側にあり、ロータに埋め込まれた永久磁石による磁界を、三相 10 極の ステータコイル により作用させる ブラシレス DC 方式である。ステータコイル の交番電流の位相は、磁気軸受下部に設けた タコパルスメータ による ロータ 位置の信号に 同期して制御される(図 2. 参照)。 なお、ロータの中心部の上下端には タッチダウンペアリング を設けており、磁気軸受の非動作時及び磁気浮上前のロータの支持に用いる。 二軸制御方式の磁気軸受では、ロータ 回転面の半径方向の二軸の位置 センサがあれば十分である。しかし、今回の宇宙実験では、ロータの運動をモニタ するため、4 個の回転軸方向位置 センサ を含めて合計 6 個の渦電流型位置 センサ を追加した。これらの位置 センサ の アンプ は フライホイール の ベース 下部の空間に置いた。

図 2. には、宇宙実験に備えて開発したロンチロック板ばね、ワイヤ 巻取部、ワイヤカッタ などからなるロンチロック 機構が示されている。このようなロンチロック 機構の詳細を立体図で図 3. に示す。ここでロータ を直接に固定する構造部材は、ロンチロック板ばねである。周 4 箇所に設けた板ばねをワイヤを介して内側に締めあげることにより、ロー

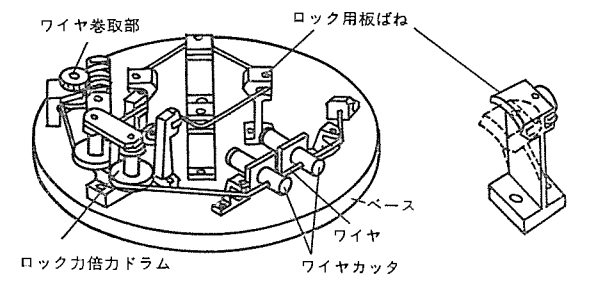


図 3. ロンチロック 機構の立体図

タを固定する。ワイヤは、 締付力を倍増するためのロック力倍力 ドラムを介して、一端はワイヤ巻取部に、 他端はワイヤカッタを経て ベースに、 それぞれ固定される。ロック 用板ばねは、 軌道投入後のロック 解除時に形状を自己復帰する機能を持っている。また、ロック解除は、 火工品のワイヤカッタによるワイヤ切断によりなされる。ワイヤは、 板ばね部では 0.01 φ の素線をより合わせて外径 1.2 φ をなすが、ワイヤカッタ 部では直径 1 φ の SUS 材で構成される。 なお、ワイヤカッタは宇宙科学研究所と日油技研工業(株)の共同開発の火工品を用いた。

磁気軸受 フライホイール 宇宙実験 モデル の機械加工及び組立に当たって特に留意した事項を以下に略記する。

- (1) 宇宙実験 モデル の磁気軸受部、 フライホイール 部では搭載機器の必要条件である軽量化を図り、 これらの主材料として ジュラルミン (A 7075-T 6) 及びその鍛造品を用いた。軽量化に伴って生じやすい強度低下を防ぐため、溶接構造を極力排除し、単一素材からの削り出しを多用した。削り代が多くなるに伴って生じやすい加工ひずみは熱処理により除去した。
- (2) 組立時の寸法精度  $3 \, \mu \mathrm{m}$  以内を確保するため、 専用治具を徹底的に利用した。
- (3) 磁気軸受 ロータの磁極には純鉄を用いており、 長期間の放置 によってさび(錆)が発生するおそれがある。これに備えて純鉄の磁 極部には特殊な防せい(錆)処理を施した。
- (4) 駆動 E=S の AF=S 用に積層 プリットコイル を開発 した。強度の確保と軽量化を両立させるために、積層 プリットコイル の取付けに工夫を盛り込んだ。
- (5) 磁極部の純鉄や永久磁石片などの埋め込みにろら付けを多用している。ろう付部の信頼性を確保するため、 ろう付け部 テストピー

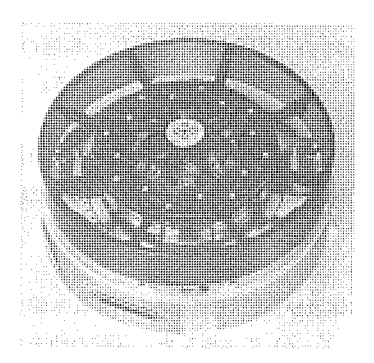


図 4. 磁気軸受 フライホイール の宇宙実験 モデル

スの引張り及び曲げの強度試験を実施した。

(6) ステータの永久磁石片には、 サマリウム・コバルト (三菱金属製 CR 1800) を用いた。永久磁石の体積保持率のばらつきを小さくするため、 サンプル 片の磁界測定を行い、体積保持率の偏差の少ない ロット だけを選んだ。

#### 4. 駆動制御回路の製作

図 5. に駆動制御回路の機能 ブロック 図を示す。 ここに示すように、この駆動制御回路は以下の ような主要機能を必要とする。

- (1) フライホイール を磁気浮上させ, 半径方向の 2 軸の運動を制御する。
- (2) フライホイール を回転駆動し、回転数を制御する。
- (3) フライホイール の傾き運動の励起パルス信号を与え、その後はこの傾き振動に関する センサ信号を処理する。
- (4) ロンチロック 解除の信号を出す。
- (5) モニタ信号の送出及び地上からのコマンド信号を処理する。
- (6) 電源の電圧を適当な電圧に変換し、駆動制御回路に供給する。 表 3. にとのような機能を備えた駆動制御回路の要目を示す。と の駆動制御回路の主要な特徴は以下のとおりである。
- (7) フライホイール の ロータ を タッチダウンベアリング 支持から浮上させて、非接触の磁気支持に切り換えるとき、浮上制御回路には瞬間的に大電流が流れる。 このときには、この電源を バッテリライン 直結によってまかない、安定浮上の状態で低消費電力化を図る ため PWM 制御方式を用いる。
- (8)  $\epsilon$ -タの回転制御は PWM 方式により、精度を  $\pm 1$  % 以内に した。
- (9) □-タの傾き加振実験を行うときには、 まず地上からの コマット 信号により □-タを加振する。その後は傾き振動の滅衰を検出し、信号処理した後の出力を テレメトリ を通して地上に送信する。

とれらの駆動制御回路を収納するきょう(筺)体の外観写真を図6. に示す。なお、制御部には CMOS-IC を、パワー 回路部には MO S-FET をそれぞれ用い、低消費電力化を図った。

## 5. 環境試験と性能評価試験

磁気軸受 フライホィール の搭載実験 モデル (RFM) 開発に先立って、研究 エッジニアリッグモデル (REM) を試作し、各種の環境試験を行った $^{(5)}$ (6)。以下ではこれらの試験について述べる。

## 5.1 環境試験

研究 エンジニアリングモデル (REM) に対して、 振動と温度の環境試験を行った。とれらの試験条件を表 4. に示す。 試験の概要は以下のとおりである。

### (1) 振動試験

フライホイール 本体及び駆動制御回路のいずれも非動作で、 ランダム 波振動を 3 軸 (X, Y, Z) に加振した。試験の前後で機器及び回路の動作特性に変化が生じないことを確認し、特に構造体に関しては、

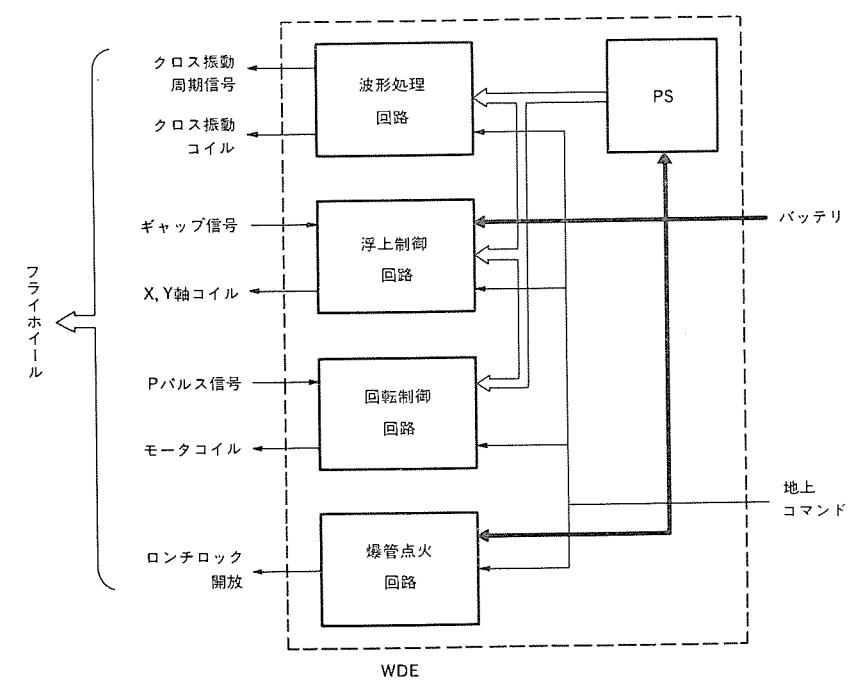


図 5. 駆動制御回路の機能 ブロック 図

表 3. 駆動制御回路の要目

重 量 (kg) 4.8	
消 費 電 カ (W) 2.5	
磁 気 軸 受 制 御 回 路 PWM 方式	
モ ー タ 駆 動 回 路 PWM 方式 (モノポーラ)	

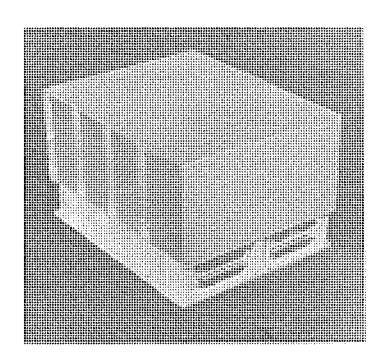


図 6. 駆動制御回路筐体の外観

従来から蓄積した技術に自信を深めることができた。

#### (2) 温度試験

フライホイール 本体と駆動制御回路を接続し、通電した状態でこれらを恒温槽に入れ、常温、低温( $-20^{\circ}$ C 以下)、高温( $+50^{\circ}$ C 以上)の サイクル を繰り返しながら データ を取得した。特に、低温、高温時での フライホイール の磁気浮上、 モータ の回転制御等の安定した動作を確認できた。

表 4. 環境試験条件

₹	ンダム	波振	<b>b</b>	(3 韓山)	20~350 Hz 350~700 Hz 700~2,000 Hz Grms≑14.5 G	+4dB 0.16 G <sup>2</sup> /Hz -3dB/oct	
1	l D	:	試	験	−20~+50°C		

表 5. 磁気軸受 フライホイール 宇宙実験 モデル の主要性能

仕 様 項 目	規 格	実験データ
磁気制御力	十分な磁気浮上が可能であ ること。	X軸方向:約 4.85 kg/A Y軸方向:約 5.05 kg/A
位置センサ	型式:非接触渦電流センサ 特性:0~1 mm 以上 (直線性2%以下)	型式:同左 特性:0~2 mm (直線性 1.17 % 以下)
ホイール アップ 時間 (s)	60 以内 (1,000 rpm)	5.5 (1,000 rpm)
定速回転制御精度 (rpm)	1,000 ±2%	1,000 ±1%以下
軸受浮上電力(W)	平均 10以下	7 (浮上回転時) 3 (浮上時)
消費電力(W)	45 以下	43 (25°C)

File Name = PCMdat26

Frame Number = 0/450 1985/07/19 14:49:31 74-6 サブ 7eta 0 2 5 6 8 9 10 0.0618565 0.0599263 207 63 63 39 29 25 51 51 50 41 41 41 30 30 29 26 27 27 221 14 12 81 63 51 41 35 30 0.0578282 249 0.0582553

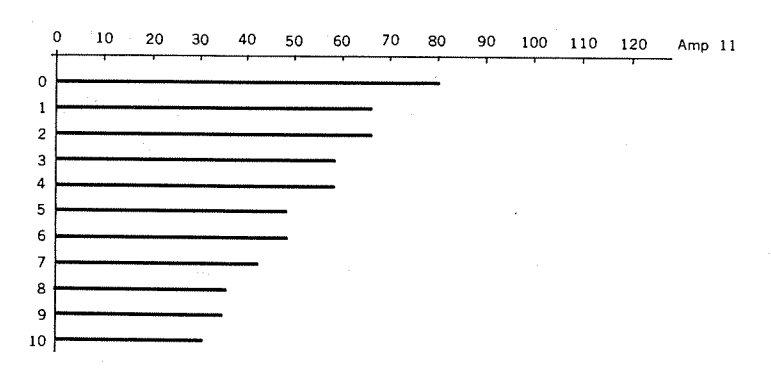


図 7. 傾き加振振動実験の オフライン 処理 プログラム の使用例

## (3) ロンチロック 機構の環境試験

上記の振動試験では、ロッチロックによって ロータを固定した状態で フライホイール 本体を加振した後、ロック動作が正常であることを確認した。また、上記の温度 サイクル を経た後も、ロッチロック の固定動作に十分な信頼をおけることを確認した。ロッチロック 解除動作の信頼性は、ワイヤカッタの切断動作、ロッチロック 板ばねの復元動作、切断 ワイヤの片付けなどに依存する。これらの信頼性試験は個別にも実施した。特に、ワイヤカッタの切断動作の信頼性試験は、日油技研工業(株)の協力を得て入念に繰り返し、高い信頼度を得た。

## 5.2 性能評価試験

き3W であるが、1,000 rpm の浮上回転時には7W に増大する。

ロータの傾き振動減衰特性実験は、上記のように今回の実験の最も重要な項目であり、入念な動作確認を行った。 そのときの試験 データの一例を図 7. に示す。傾き振動実験では、まず、加振 コイルによって パルス 幅 30 ms の ワンショットパルス の傾き加振 トルク を ロータ に加える。その後の ロータ の傾き振動の減衰波形を半波の ピークホールド 回路で処理し、ディジタル の テレメトリ 信号として送信する。 図 7. の上部を占める表は、 4回の振動減衰試験 データの オフライン 処理の結果を示し、左から 3 番目の列には減衰比(Zeta)が記入されている。なお、下部の図では横軸に振幅を、縦軸に時間をとってあり、振動振幅の減衰の経過を グラフ で表している。

搭載実験 モデル (RFM) でも環境試験を行った。これらの試験 フローを 図 8. に示す。 図中の初期性能試験の結果は表 5. 及び上に述べたとおりである。温度試験は REM に対するものと同一であり、その後に、宇宙実験 システム の搭載機器 (テレメトリ/コマンド 装置、VH

F送受信器等)とのかみ合わせ 試験を行い、所期の性能を確認 した。なお、振動試験では加振 加速度を 10.5 G に落とした。 熱真空環境試験の後、最終性能 試験において所期の性能を確認 し、すべての試験を終了した。 6. む す び 磁気軸受フライホイールの宇宙実

磁気軸受フライホイールの宇宙実験速報によれば<sup>(a)</sup>、ロンチロック機構の解除試験、フライホイールの磁気浮上・回転実験、ロータ回転軸の傾き加振振動実験等、すべてが成功り(裡)に実施された。今後、更に詳細なデータ分析がなされ、実用型の磁気軸受フライホイールの開発に役立てる予定である。筆者らは、この宇宙実験モデル製作の経験を、次の実用モデル関発に生かすつもりである。



図 8. 性能試験及び環境 試験の フロー

## 参考文献

- (1) 村上ほか:三菱電機技報, 58, No. 3, p. 26 (昭 59)
- (2) C. Murakami, et al: Acta Aeronautica, 11, No. 9 (1984)
- (3) C. Murakami, et al: Proc. 15th ISTS, p. 799 (1986)
- (4) 村上ほか:第27回宇宙科学技術連合講演会,2A6 (1983)
- (5) 村上ほか:第28回宇宙科学技術連合講演会,2D6 (1984)
- (6) 村上ほか:第28回宇宙科学技術連合講演会,2D7 (1984)
- (7) 村上ほか:第29回宇宙科学技術連合講演会,1C10 (1985)
- (8) 村上ほか:第29回宇宙科学技術連合講演会,1C11 (1985)
- (9) 村上ほか: 航空宇宙技術研究所 昭和 61 年度 研究発表会前刷 集, p. 29 (昭 61)

伴 和 紘\*・山 中 隆 司\*・西 田 幸 治\*・藤原多計治\*・斉 藤 貴\*\*

# 1. まえがき

マイクロ波集積回路(MIC)は、小型軽量化の要求によって飛躍的な発展を続けており、今後更に発展が期待されている。電子的にアレデナのビームを制御する電子制御アレデナの航空機・衛星搭載用など、その用途はますます多様化し、成層圏から宇宙空間へと広がっている。このような MIC の需要拡大とともに、 MIC 基板に要求される性能が従来より更に厳しくなってきた。具体的には、

- (1) 耐高温環境性……高信頼性化
- (2) パターニッグ 精度 ……..高性能化
- (3) 実 装………低 コスト 化 が特に要求されている。

我々は、 これらの 3 項目を満たす "高信頼性 MIC 基板" の開発を行ったので、その結果について報告する。

## 2. MIC 基板に対する要求

MIC 基板に対して要求される新たな課題について、以下詳細に述べる。

### 2.1 耐高温環境性・長寿命

衛星搭載用中継器に MIC が使用される場合,高温や厳しい温度サイクルの環境条件の下で10年以上の寿命を保証しなければならないような高信頼性のものが要求される。環境条件として,例えば温度に関しては,60°Cの環境と部品単体から発生する熱で最悪 75°Cが10年間印加されると考える。また,食によって−10~+75°Cの温度変化が10年間で1,000サイクル印加される。これらは最悪条件であり,衛星内部は実際には熱制御が行われているので,温度条件はもう少し緩やかになるであろう。今回開発した MIC 基板に部品などをはんだ付けした状態で,上述の環境下で10年以上耐えることを確認するための信頼性試験を実施した。

はんだ付部の接合強度不良判定値は  $100~{\rm g/mm^2}$  とした。 これは,部品の重量が  $0.1~{\rm g/mm^2}$  程度,最大印加加速度が  $100~{\rm G}$ , そして安全係数を  $10~{\rm E}$  としたことによる。

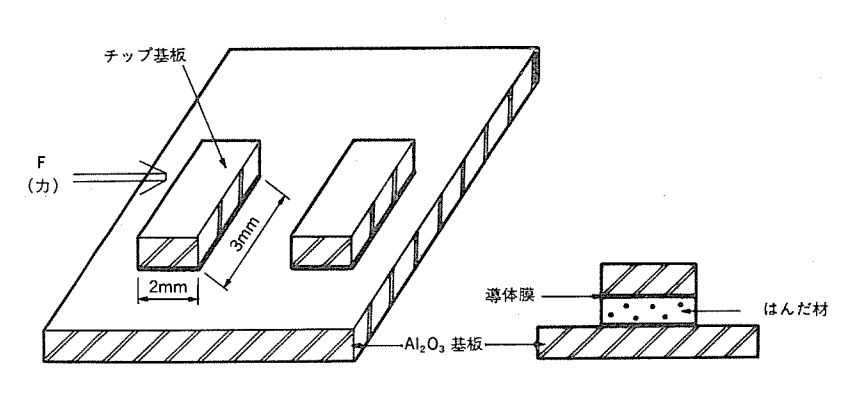


図 1. 接合強度測定用試料の形状

#### 2.2 パターニング精度

MIC 基板としては、周波数が 20~30 GHz と高くなってきた場合、回路 パターン 幅が 50 μm、 パターン 間隔が 30 μm という パターン の基板 が必要となり、パターン 精度として ± 3 μm の高精度のものが要求される。例えば、 インタディジティテッド・3 dB カプラの場合、 従来の パターン 精度の ±10 μm では、RF 特性のずれが挿入損失で 0.3 dB、アイソレーション で5 dB 変化するので大きな特性のずれの原因となる。±3μm の パターン 精度であれば、挿入損失で 0.1 dB、アイソレーション は 1.5 dB の変化で抑えられる。このように、高特性の MIC を得るには、+3 μm の パターン 精度のものを確実にしなくてはならない。

#### 2.3 実 装

- (1) 高温 (400℃) にても接合強度の劣化が生じないこと。
- (2) はんだ食われ(溶融はんだによる溶食)が少ないこと。
- (3) ワイヤボッド・リボッボッド が行えること。 が必要不可欠となる。

## 3. MIC 基板の信頼性

MIC 基板の信頼性、特に高温環境下におけるそれは、MIC 基板を構成する導体膜材料と使用はんだとの組合せによって決定される。高温では、導体膜とはんだとの拡散現象により生ずる"金属間化合物"がはんだ接合の劣化を促進させるためである。我々は、MICを構成する膜材料として代表的<sup>(2)(3)</sup>なクロム一金、クロムーニッケル一金、クロムー銅ー金について、すず一鉛はんだ、インジウム一鉛はんだを組み合わせて信頼性実験を行った。

#### 3.1 高温放置試験

導体膜と使用はんだとの拡散による接合強度劣化を図 1. に示す試料形状により検討した。接合強度の測定は、図 1. 中のF方向に力をかけ、引張り強度試験機により行った。保存温度は 115℃, 135℃, 150℃の 3 水準とした。また,保存時間は 135℃ 水準のみ 1,000 時間, 115℃, 150℃の水準は 500 時間とした。クロム一銅一金 MIC 基板の各はんだに対する保存時間と接合強度との関係を図 2.,図 3. に、クロム一金、クロムーニッケル一金のMIC 基板の場合を図 4. に示す(保存温度 水準135℃のみ)。

図 4. の結果に示されるように、クロム―金 MIC

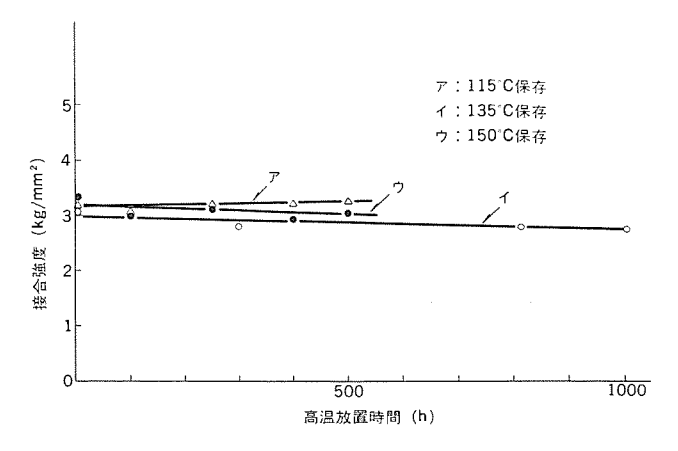


図 2. クロム一銅一金とすず一鉛はんだの接合強度経時変化

基板の場合、インジウム はんだとの組合せにおいて 60°C くらいの環境温度では十分な信頼性をもつことは確認されているが(1), 2. 1 節の環境条件では不安がある。クロムーニッケル一金 MIC 基板の場合, 500時間の保存時間で、すず一鉛はんだとの組合せで接合強度は初期強度より 20% の劣化となり、インジウム はんだとの組合せでは 17% の劣化となる。また、4章に述べるはんだ食われなどから、クロムーニッケル一金の MIC 基板においても問題が残る。図 2.、図 3. に示される結果から、クロムー銅ー金 MIC 基板の場合、すず一鉛はんだとの組合せ、インジウム はんだとの組合せにおいても初期強度からの強度劣化は余り生じていない。よって、クロムー銅ー金 MIC 基板について詳細な検討を行ったので以下に述べる。

 $135^{\circ}$ C と  $150^{\circ}$ C の  $\vec{r}$ -9 から加速率を算出した。 高温保存の加速率<sup>(0)</sup>  $A_L$  は,式(1)で求められる。

$$A_L = e^{-\frac{\Delta E}{k} \Delta(\pm)} \dots (1)$$

 $\Delta$ (キ):温度差, $\Delta E$ :活性化  $\mathbf{x}$ キルギー, $\mathbf{k}$ :ボルツマン定数 活性化  $\mathbf{x}$ キルギーは,図  $\mathbf{2}$  ,図  $\mathbf{3}$  を劣化量と時間(4)の図に交換することにより算出した。

その結果, すず一鉛はんだで活性化 エネルギー 1.06 eV.  $A_L$  は 177. インジウム はんだで 1.09 eV,  $A_L$  は 214 となった。よって、すず一鉛 はんだの場合, 135°C で 20 年間, インジウム はんだで 16 年間の保証 となる。次に故障率の算出を行った。 算出は、1,000 時間放置後 (135°C) の接合強度の分布を基準とし、規定外接合強度の発生率 & から故障率を推定した40。実験 データ を正規確率紙に プロット して正 規分布であることをあらかじめ確認した。すず一鉛はんだの場合, 135°C 保存, 保存 1,000 時間での接合強度の平均値  $\mu$  は 2.77 kg, 標 準偏差σは 0.42 kg なので、接合強度の規格値 0.1 kg/mm² として、  $0.1\,\mathrm{kg}$  以下になる確率 を 求 め た。 $\varepsilon = 1.5 \times 10^{-10}\,\mathrm{となり}$ ,放置時間 1,000 時間を考慮し,規格外強度の発生率を故障率とみなすと 1.5× 10-4 FIT となり, 0.1 FIT を安全率をみて推定できる。 更に, 各保 存温度水準において特に劣化が見られないので、クロム―銅―金MIC 基板は、135℃ですず一鉛はんだに関して高信頼性を保証できる。 インジウム はんだの場合も同様に求めると, $1 \times 10^{-12} = 0.001 \ \mathrm{FIT}$  とな る。

#### 3.2 熱衝擊試験

204一金 MIC 基板、204一銅一金 MIC 基板と、すず一鉛はんだ、インジウム はんだとの組合せによる熱衝撃での接合強度の劣化について検討を行った。熱衝撃条件は、-55°C 30分、+125°C 30分である。接合強度の測定は、3.1項と同様な方法にて行った。その結果を図5.に示す。熱衝撃試験の温度条件と寿命サイクルの関係®は、

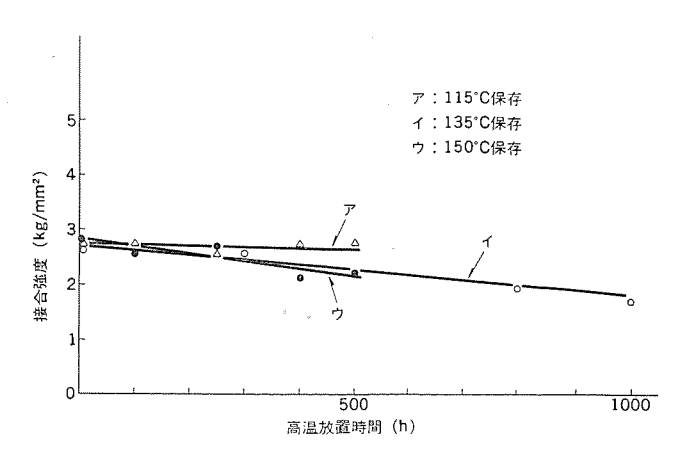


図 3. クロムー銅ー金と インジウム はんだの接合強度経時変化

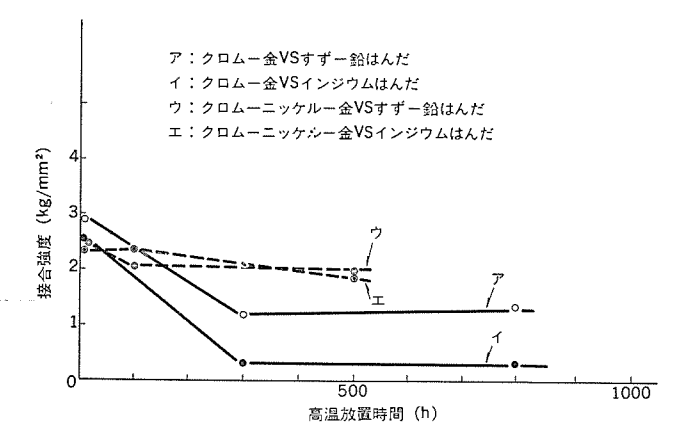


図 4. クロム一金, クロムーニッケル一金とすず一鉛はんだ, インジウム はんだの接合強度経時変化 (135°C 保存)

式(2)で求められる。

$$N=K(\Delta T)^{-2}\exp(\Delta H/kT_{\text{max}})\cdots(2)$$

N: 不良の起きた サイクル,  $\varDelta T$ : 温度差,  $\varDelta H$ : 活性化 エネルギー, k: ボルツマン 定数,  $T_{\max}$ : 最高温度

図 5. から 400 サイクルで、クロムー銅ー金の場合、規格値を割ったものはなく、十分に余裕のあるものとなっている。式(2)から加速系数を計算してみると、安全率をみて最高温度の加速率は無視し、温度差だけの加速率で考えると、試験での温度差 180℃、想定環境条件下の温度差 85℃であるので、加速系数は約 4.5 倍となる。よって 1,800 サイクルの保証ができる。また、3. 1 項と同様の解析をしてみると、すず一鉛はんだの場合 μ=3.11 kg/mm²、σ=0.14 kg/mm²であるので、400 サイクルでの規格外強度の発生率は 1×10-23 以下と

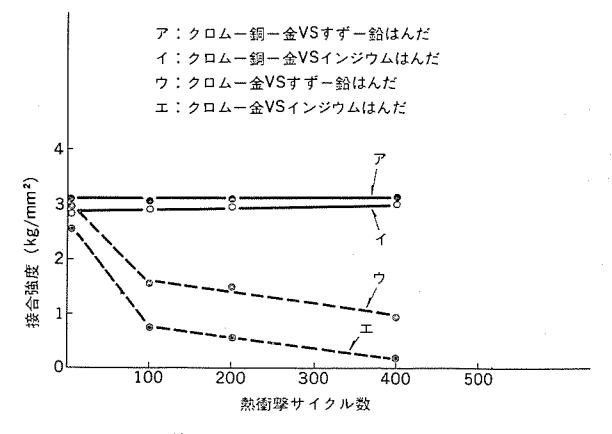


図 5. 熱衝撃による接合強度変化

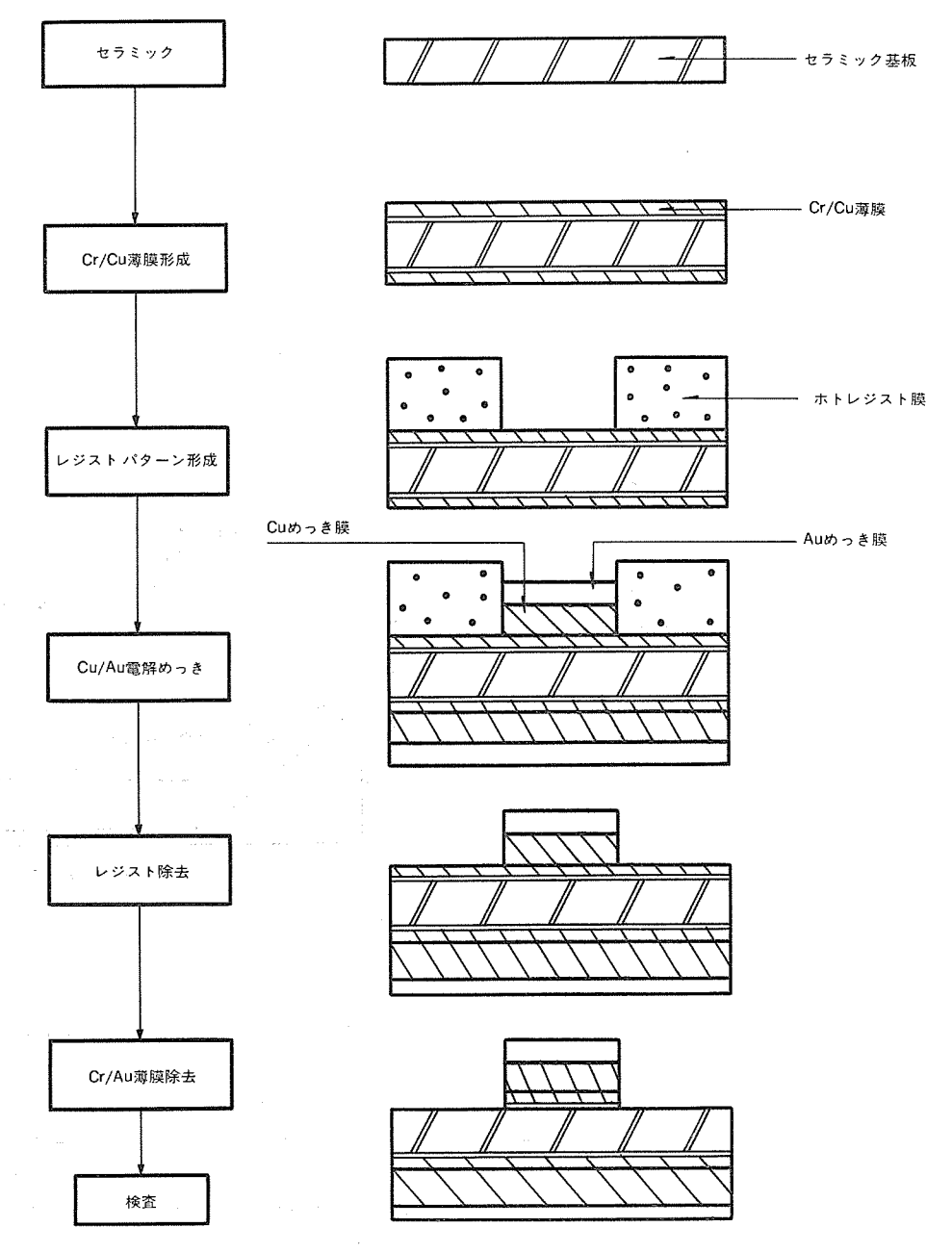


図 6. 選 択 めっ きプロセス

なり、0.1 FIT 以下の故障率を推定できる。また、 $1 \times 10^{-23}$  以下となり、0.1 FIT 以下の故障率を推定できる。

## 4. MIC の実装

MIC を実装する場合、その中心技術ははんだ付けである。はんだ付作業の作業性は、はんだ材の導体膜に対するはんだ食われで決定されてしまう。金膜に対してすず一鉛はんだが用いられなかったのは、すず一鉛はんだに金膜が食われて消失されやすいことによる。このために、20ム一銅一金基板、20ム一金基板、20ム一ニッケル一金基板に対するすず一鉛はんだ、インジウム一鉛はんだのはんだ食われについて検討を行った。はんだ食われについては、ストリップ線路のパターンを形成し、そのパターン上にはんだを一定量ずつ一定間隔ではんだ付けして、ラインの抵抗値変化を調べた。抵抗値は、はんだ付時間に対する変化を求めた。その結果、20ム一金の場合、すず一鉛はんだでは、はんだ付温度 200°C において 10 秒以内にはんだ付作業

をしなければ導体膜は消失してしまい、作業管理を厳しくする必要がある。インジウム一鉛はんだでも、すず一鉛はんだほどではないが、作業時間、作業温度を管理しなければ消失してしまう。クロムーニッケルー金基板においても同様である。クロムー銅ー金基板の場合、すず一鉛はんだ、インジウム一鉛はんだでは、はんだ付時間が長くなっても導体膜の消失は生じず、かつ、食われ現象も少ない。

MIC の実装として、はんだ付けの外に金線 ワイヤボンディング、金リボン の熱圧着がある。ワイヤボンディング は、主に半導体 チップ と基板の接続に用いられる。また、金リボン は、基板間又は基板と同軸の接続に用いられる。これらの接合の場合は、接合材料として金を用いているので、MIC 基板表面を金膜とすれば、接合の界面が同一金属となるので経時変化の問題はない。クロムー金基板に関しては、これらの接合の場合は十分な信頼性をもっているので、クロムー銅ー金基板のみ検討した。この検討は、上述したようにはんだ付けのような経時変化はないので、初期強度のみ測定した。ワイヤボンドの場合、基板導体膜上に 25 μmφ 金 ワイヤ を超音波 ワイヤボンダ でボンディング を

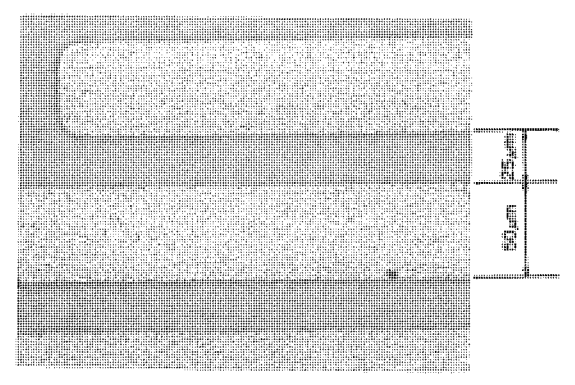


図 7. 選択めっき プロセス により 製作した回路 パターン の一例

## 5. 高信頼性 MIC 基板の製造法

上述したように MIC 基板の高信頼性化を図るには、MIC 基板の 膜構成を クロムー銅一金とする必要がある。 しかし、 クロムー銅一金 の膜構成では、従来の ウェットプロセス では パターニング 形成時 (銅の ウェットエッチング 時) に、局部電池の作用で銅膜が大幅に サイドエッチング されてしまう。 このために、 MIC 基板に要求される高精度な パターンは形成されない。この対策としては、アルゴンイオンビーム による イオンミーリング など物理的な エッチング 方法があるが、 エッチング 速度が遅く作業性が悪い。そして、装置が非常に高価なものであるなど問題がある。

我々は、このために選択めっきづロセスによってパターニッグを行うことにした。選択めっきづロセスのフローチャートを図 6. に示す。この製造づロセスは従来から提案されていたが、MIC 関係において余り実用化されていなかった。これは、MIC では回路の導体膜厚が5μm以上必要であり、かつ、パターニッグ精度においても  $\pm 3 \mu m$ ,  $\pm 10 \mu m$  と高精度にしなければならないことによる。実用化されなかったのは、レジスト膜へのめっき膜のしみ込み、パターンめっきの異常成長、パターン 形状の制御などに問題があったことによる。このように、選択めっきづロセスによるパターニッグ 形成技術の最も重要な工程は、レジストパターン の形成及び電解めっきづロセス である。今回、レジストパターンの処理方法の検討、電解めっき条件の検討を詳細に行った結果、上述の問題は解決された。

次に製造 プロセス について述べる。 セラミック 基板上に真空蒸着など により クロムー銅薄膜を成膜する。 そして、 クロムー銅薄膜上に通常の ホトレジストワーク によって、ホトレジストパターン の形成を行う。ホトレジスト 膜厚は、必要導体膜厚より厚くしなければならない。 レジストパターン の形成後、ホトレジスト 膜に処理を行い、 ホトレジスト 膜と銅薄膜との 接着強度を増すとともに、 ホトレジストプロフィール の変化が起こらなく

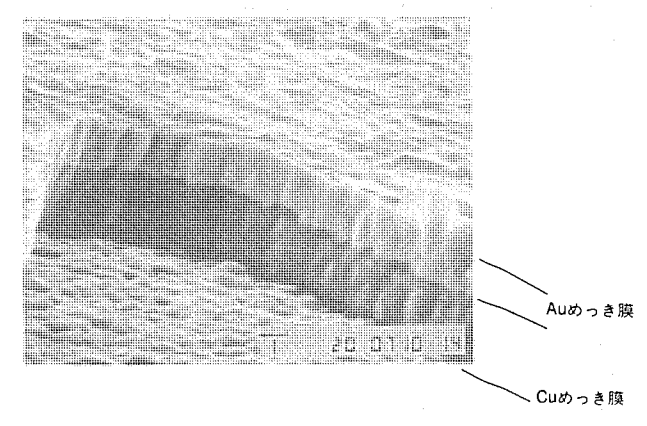


図 8. パターン 断面の SEM 観察

させている。処理後、電解銅めっき、電解金めっきをそれぞれ必要膜厚まで行い、導体パターンの形成を行う。電解めっき後、レジストはく離液によってレジスト除去を行い、銅薄膜、クロム薄膜をエッチング除去する。この場合、金めっき膜がレジストの役割を果たす。上述した製造プロセスよって製造したパターンの一例を図7.に示す。

また、図 8. に パターン 断面の SEM 観察の結果を示す。図 7. に示した パターン は、パターン 幅 59  $\mu$ m、ギャップ 幅 25  $\mu$ m のものである。 導体膜厚は 5  $\mu$ m である。図 8. に示されるように、パターン の断面形状はほぼ垂直となっている。この製造 プロセス によって得られる パターン は、導体膜厚 5  $\mu$ m に対して最小導体幅及び最小導体間隔は 20  $\mu$ m まで行える。また、パターニング 精度については、 ほぼ マスク の寸法精度まで保証することができ、要求される  $\pm$  3  $\mu$ m の パターニング精度は容易に満たすことができる。今回、導体膜の形成のみ述べてきたが、薄膜抵抗を一体化した基板についても同様に製造ができ、かつ、銅一金の間に  $\Xi$ -ッケル 膜を サンドイッチ した クロム 一 銅ーニッケル のについても同様に行える。

## 6. む す び

以上を要約すると,

- (1) 高信頼性 MIC 基板とするのには、導体膜構成を 204 一銅一金とし、はんだはすず一鉛はんだを使用する。この組合せにおいて、環境温度 135°C でも、故障率 0.1 FIT 以下が推定される。
- (2) クロムー銅一金 パターン を形成するのに 選択めっき プロセス を用いた。このことにより、最小導体幅及び最小導体間隔は20 μm まで行える。パターニッグ 精度は、要求される±3 μm が容易に満足できる。

#### 参考文献

- (1) 小野寺,近江:電子通信学会,信学技報,75,No. 129 (昭 50)
- (2) 長津, 三村: 通研実報, 18, No. 1 (昭 44)
- (3) P. Holloway: Solid State Technology, p. 109 (1980)
- (4) 伊藤ほか:通研実報, 22, No. 2 (昭 48)
- (5) 小林, 有吉:通研実報, 24, No. 10 (昭 50)
- (6) 塩見:故障物理入門,日科技連

# 人工衛星の帯電放電と帯電防止技術

西本博信\*・藤井治久\*\*・阿部俊雄\*\*\*

# 1. まえがき

人工衛星は軌道上において、熱真空、高 エネルギー 放射線環境など とともにプラズマ環境にさらされる。 このプラズマ環境は、電子、正 ィオン(主に プロトン)の混在する荷電粒子場であり、静止衛星軌道を 含む高高度軌道では、地磁気圏の構造や太陽活動に起因する地磁気 あらし (サブストーム) 時に数十 keV の エネルギー の荷電粒子が多量に流 入する。このとき、衛星はプラズマとの相互作用により帯電し、時に は衛星上で r-0 放電が生ずる可能性がある $^{(1)(2)}$ 。

このような衛星の帯電放電現象は、太陽電池や熱制御材料の劣化, 搭載機器の誤動作・故障などの悪影響を衛星に及ぼす。この衛星帯 電放電現象は十分に原因究明されたとは言い難く、将来の衛星の長 寿命化、高信頼度化に対して十分留意すべき現象であるため、原因 の究明とともに、帯電放電をいかに防止制御するかが宇宙科学、宇 宙工学の重要な研究対象として取り上げられてきた。

三菱電機(株)では、衛星開発メーカーとして、早くからこの衛星帯 電放電の重要性に着目し、原因究明及び帯電防止技術の開発に取り 組んできている<sup>(3)</sup>。

## 2. 衛星の帯電放電現象

## 2.1 絶対帯電と局所帯電

衛星の帯電は、基本的に衛星に流入する各種の電流の バランス によ って決まる。とれらの電流は,

- ・入射電子電流  $(J_{eo})$
- ・入射正 イオン 電流  $(J_{po})$
- •二次電子放出電流  $(J_{se})$
- ・後方散乱電子電流( $J_{bs}$ )
- ・光電子放出電流  $(J_{ph})$

であり、表 1. にその典型的な値を、非 サブストーム 時と サブストーム 時 に分けて示す。帯電電位 V。は、一般に次式で表せる。

$$V_s = A/C \cdot \int \{J_{eo} - (J_{po} + J_{se} + J_{bs} + J_{ph})\} dt$$
 .....(1)

ここで、A、Cは、それぞれ衛星表面材料の表面積及び静電容量で ある。これらの電流により、絶縁性表面材料で覆われた衛星の場合 には、図1. に示すように衛星が帯電する。表1. に示したように、

表 1. 静止軌道付近の プラズマ 環境 パラメータ (Francis (1982) による)

パラメータ	非サブストーム時	サブストーム時
入射電子電流密度, Jeo (A/cm <sup>2</sup> ) 入射電子の平均エネルギー (eV)	-10 <sup>-11</sup>	-10 <sup>-8</sup>
入射正イオン電流密度, $J_{po}$ ( $A/cm^2$ ) 入射正イオンの平均エネルギー( $eV$ )	+5×10 <sup>-15</sup> 6,000	+5×10 <sup>-12</sup>
二次電子放出電流密度, Jse (A/cm²)	+4×10 <sup>-12</sup>	+4×10-9
後方散乱電子電流密度, J <sub>bs</sub> (A/cm <sup>2</sup> )	+2×10 <sup>-12</sup>	+2×10 <sup>-9</sup>
光電子放出電流密度, Jph (A/cm <sup>2</sup> )	+10-9	+10-9

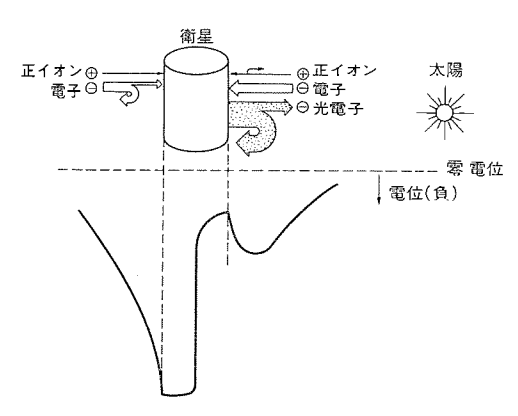


図 1. 衛星帯電の様子(衛星表面が絶縁性材料で覆われて いる場合を示している)

入射電子電流は入射正 イオトン 電流よりも大きいので、 衛星全体は負 に帯電する。しかし、軌道上では太陽光による光電子放出効果が大 きく, 衛星の日照側の帯電電位は, 日陰側に比べて小さい。つまり, 同一衛星上で電位差が生ずる。

以上のように、衛星帯電には次の2種類がある。

- (1) 絶対帯電:衛星全体が宇宙に対して負に帯電する。
- (2) 局所帯電:絶縁性表面材料が使用されている場合,衛星表面 上で電位差をもって帯電する。

サブストーム が発生すると表 1. に示したように、平均 エネルギー の高 い電子、正イオンが多量に衛星に流入するので、絶対帯電及び局所 帯電の電位差は大きくなり、衛星構体と絶縁性表面材料との間など で放電する可能性がある。

### 2.2 帯電速度

衛星が半径 r(m) の金属球であると仮定すると、衛星の宇宙空間 に対する絶対帯電の時定数  $\tau_{ss}(s)$  は式(1)から,

$$\tau_{ss} \simeq CV_s/4 \pi r^2 J$$
 ......(2)

と書ける。 ここで,J: 入射全電流密度である。 $r=1.5\,\mathrm{m}$ , $J=0.5\,$  $nA/cm^2$ ,  $V_s=20 \,\mathrm{kV}$  とすると, $\tau_{ss}$  $\simeq 23 \,\mathrm{ms}$  となる。 このように衛 星表面が導電性の場合には、瞬間的な電位変動による絶対帯電が生 ずる。

一方, 衛星表面に厚さ d, 比誘電率  $\varepsilon_r$  の絶縁材料が使用されて いるとすると、この表面材料の衛星構体に対する局所帯電の時定数  $\tau_D(s)$  は,

$$\tau_D \simeq \varepsilon_0 \varepsilon_r V_s / d \cdot J$$
 .....(3)

となる。ここで、 $\epsilon_0$ : 真空の誘電率である。この場合、d=0.1 mm、  $\varepsilon_r$ =2.1, J=0.5 nA/cm²,  $V_s$ =10 kV とすると,  $\tau_D$  $\simeq$ 370 s となり, 絶対帯電に比べ局所帯電は非常に緩かに生ずる。

### 2.3 帯電放電の及ぼす影響

図 2. に衛星帯電放電の及ぼす影響の主なものを示す。 衛星が負 に帯電すると、プラズマ中の低エネルギー電子は減速され、また、低エ ネルキープロトン は加速されるため、低 エネルキースペクトロメータ の測定に計 測誤差が生ずる(1)。また,衛星材料からの脱 ガス 分子や スラスタ から

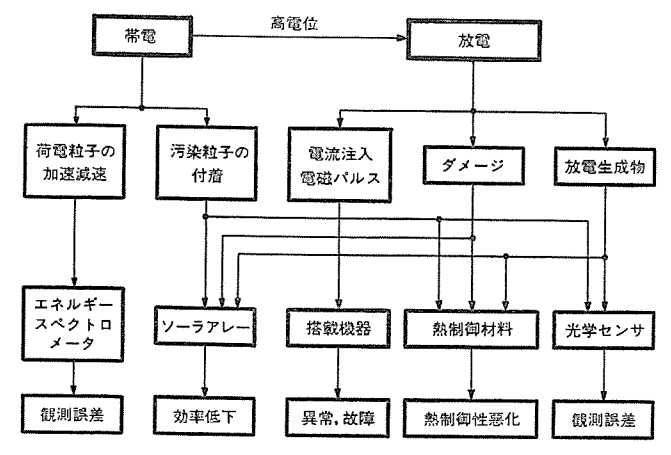


図 2. 衛星帯電放電の影響

放出される推進剤粒子などが、静電的に表面材料に付着し、太陽電池の効率低下や熱制御材料の熱制御性悪化を引き起こす可能性が考えられる。

一方、放電が発生すると、それに付随した電磁波あるいは電流パルスが生ずる。電磁パルスは搭載機器に誘導電流を生じ、これらの機器の誤動作の原因になる。電流パルスが直接搭載機器に流入すると、故障する可能性が高い。また、 放電 エネルギーにより、太陽電池 カバーガラス に クラックが発生したり、熱制御材料の蒸着面が剝離するといった種々の ダメージが生ずる。更に、放電による生成物が衛星に付着すると、表面材料や デバイス の劣化の原因にもなり得る。

これらのことから、衛星の帯電を防止することは衛星の信頼性の 面で極めて重要なことである。

## 3. 帯電放電シミュレーション(3)

## 3.1 電子線照射装置

宇宙での衛星帯電放電に最も大きな影響を及ぼすのはプラズマ中の電子であり、特にサブストーム時に静止軌道付近に流入する数十 keVの電子流である。

このため、三菱電機(株)では、このような衛星帯電放電機構解明と各種表面材料の帯電放電特性を把握するため、宇宙環境の電子流をシミュレートできる電子線照射装置を開発した。図 3. にその装置全体の外観の写真を示す。この電子線照射装置は、 $1 \times 10^{-6}$  Torr 以下の高真空状態で  $10 \sim 60$  keV の  $1 \leftrightarrow 10^{-12}$  の電子を、  $10^{-12} \sim 10^{-8}$  A/cm² の電流密度で連続照射が可能で、照射された表面材料中を流れる電流と表面帯電電位が計測でき、また、観測窓から放電の観測も

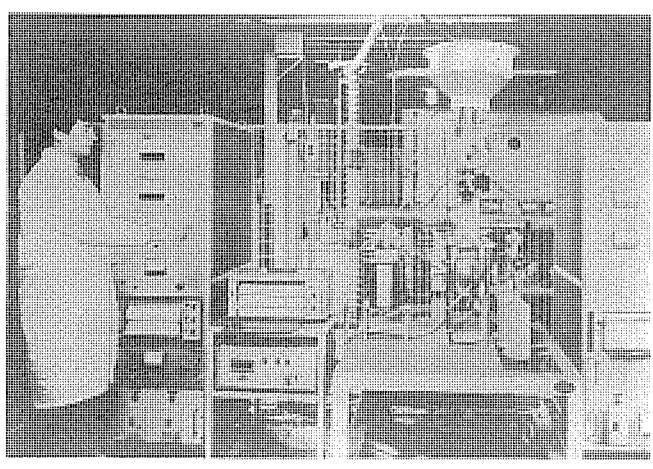


図 3. 電子線照射装置

できる。

## 3.2 シミュレーション実験結果

この電子線照射装置により、各種の衛星表面材料、例えば、熱制 御材料、オプティカルソーラリフレクタ、アンテナ材料の帯電放電特性につい て調べた。ここでは、代表的な熱制御材料である銀蒸着 テフロン の場 合について示す。 なお、一般に熱制御材料は図 4. に示す構造をし ており、高分子 フィルム が宇宙に露出している。 銀蒸着 テフロン は、 高分子 フィルム が テフロン で、銀蒸着が施されている。

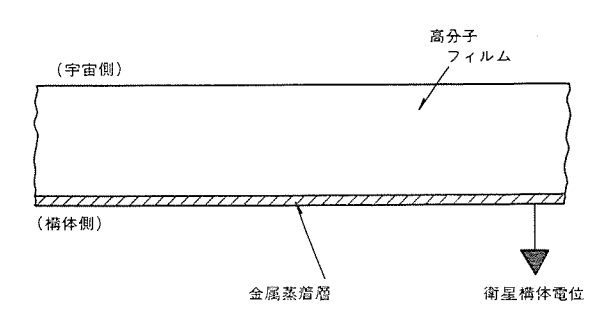


図 4. 熱制御材料の一般的構造

図 5. は、電子の  $_{14\mu}$ ギー E=30 keV, ビーム 電流 密度  $J_{b}$ =0.68  $_{1A}$ /cm² の条件で60 分間照射したときの、厚さ  $_{127\mu}$  の銀蒸着  $_{7}$  フロンの帯電放電特性を示したものである。この図から次のことがわかる。

- (1) 試料中を流れる バルク 電流は、電子線を照射開始後急激に減少するが、ある程度時間が経過すると一定になる。
- (2) 表面電位は照射後急激に負に立ち上がっていくが,次第に飽和していく。
- (3) 照射開始後32分で放電が発生し、このとき電流に正方向の パルスが重量し負に急増する。また、表面電位はほとんど零になる。

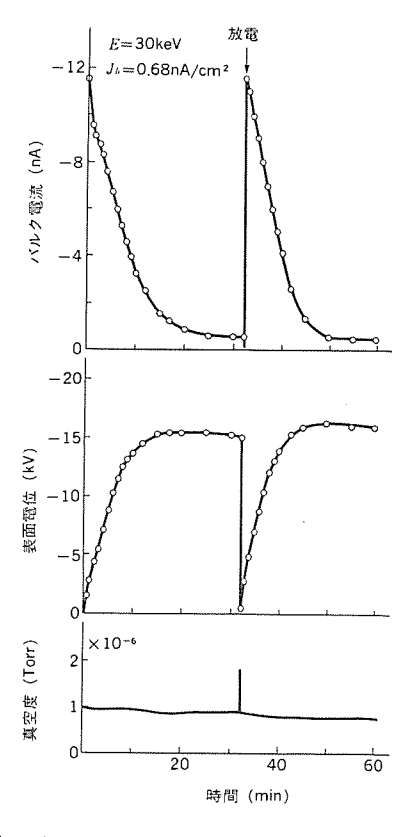


図 5. 厚さ 127 μm の銀蒸着 テフロン の帯電放電特性

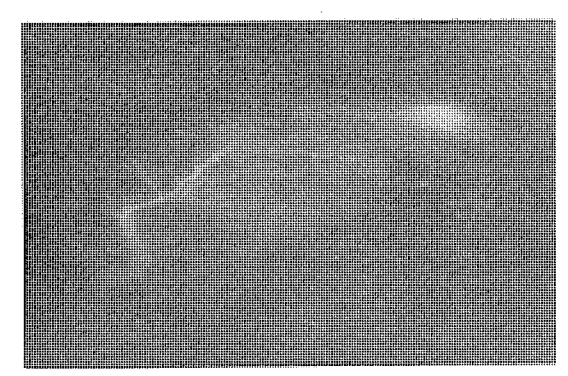


図 6. 厚さ 127 µm の銀蒸着 テフロン における放電光

- (5) 放電した後は、上記(1)~(4)の現象を繰り返す。

ことで生じた放電は、図 6. に示す試料表面全域にわたる沿面 フラッシオーバで、試料表面にこん(痕)跡が生じる。また、このような放電は、照射電子エネルギーが高くても、ビーム電流密度が大きくても発生しやすくなる。

このように、衛星の熱制御材料として優れた熱光学的特性を持った銀蒸着 テフロン は帯電しやすく、また、放電も起こりやすい。一方、同じ熱制御材料である アルミ 蒸着 カプトン は、テフロン と比較して帯電しにくく、帯電により放電が発生しても、放電は局部的で放電の衛星への影響は小さい。

#### 4. 带電防止技術

衛星が プラズマ により 帯電放電すると、2.3 節で述べたように種種の影響を及ぼし、衛星の信頼性にとって問題となる。したがって、放電はもちろん、帯電も防止制御しなければならない。帯電防止制御技術としては基本的に次の二つがある。

- (1) 受動的帯電制御
- (2) 能動的帯電制御

三菱電機(株)で検討したこれらの内容について以下に述べる。

#### 4.1 受動的帯電制御

この帯電防止制御技術は、基本的に衛星表面に導電性材料を使用 して、表面に絶縁物が露出しないようにするものである。それには、

- (1) 構体材料として CFRP や アルミハニカム を極力使用する。
- (2) 露出絶縁物には導電性 コーティング を施し、 構体に確実に接地 ポンディング する。
- (3) 塗料は低抵抗塗料を使用する。

などがある。 しかし,太陽電池 カバーガラス や熱制御材料などの絶縁物は光学的特性を要求されるため, 金属 コーティング を施すことができず,宇宙に露出した面に透明導電性 コーティング を施す必要がある。例えば,熱制御材料であれば,図 4. に示した高分子 フィルム 表面に酸化 インジウム,あるいは酸化インジウム すずの コーティング を施すのが有効である。

この酸化  $\tau_{\sim}$ 5ウムコーティング 熱制御材料の帯電特性を図 7. に示す。 これは、厚さ  $25~\mu m$  の  $\tau_{NE}$  蒸着 カブトン に  $\tau_{\sim}$ 7ルミ 蒸着 カブトン に  $\tau_{\sim}$ 7ルミ 素着 カブトン に  $\tau_{\sim}$ 7ルミ 素着 カブトン に  $\tau_{\sim}$ 7ルタ 電子線を  $\tau_{\sim}$ 8の分ごとに  $\tau_{\sim}$ 6元の電子を増加させながら照射したときの、試料中を流れる  $\tau_{\sim}$ 7元の電流と透明導電性  $\tau_{\sim}$ 7元の一層に流れる表面電流及び表面電位の時間特性を示したものである。電子線照射開始直後、 $\tau_{\sim}$ 7元の電流は若干流れるが、次第に減少しほとんど零になる。一

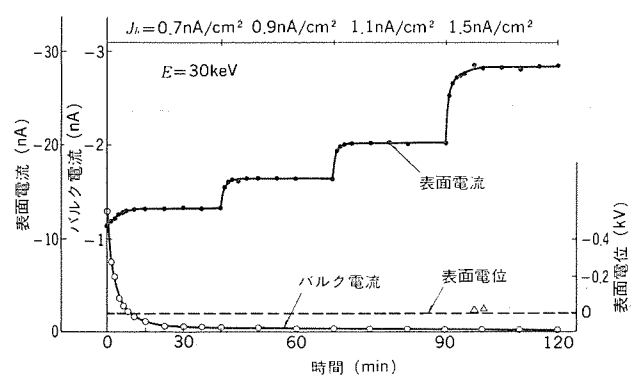


図 7. 厚さ 25 μm の透明導電性 コーティング アルミ 蒸着 カプトン の 帯電特性

方、表面電流は、ほぼ ビーム電流密度に比例して流れる。 このことは、入射電子電流がほとんどすべて表面電流として流れ、絶縁物であるカプトンに電子が蓄積されないことを示している。このとき、表面帯電電位は 10 V 以下となり帯電が防止されている。

このような受動的帯電制御は、 比較的低 コスト で簡便にできるという特長があるが、次のような問題点も内在している。

- (1) 日陰時の絶対帯電は防止できない。
- (2) 透明導電性 コーティング を施すと,
  - (a) 太陽電池の効率や熱制御材料の熱制御性の低下
  - (b) ボンディング 材による重量増
  - (c) 導電性 コーティング 材の経年劣化

などが生ずる可能性がある。したがって、ミッション 期間の短い衛星に対しては、受動的帯電制御が有効な方法であるといえるが、一方、ミッション 期間の長い衛星に対しては、 最善の帯電制御技術とは言い難いため、次に示す能動的帯電制御が重要視されるようになってきた(4)。

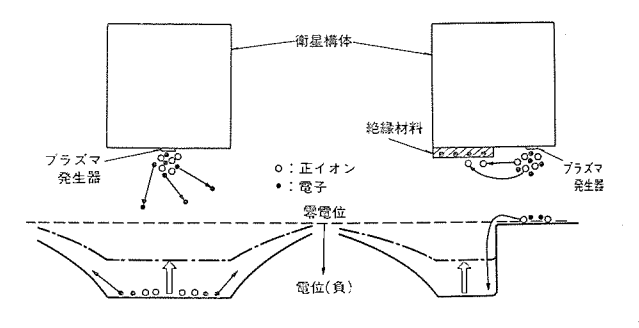
#### 4.2 能動的帯電制御

衛星帯電は、衛星にプラズマ粒子が流入することにより生じ、通常はプラズマ中の電子電流の寄与が大きいので、衛星は負に帯電する。 したがって、衛星の帯電を制御するには、衛星に入射する電流を ‡ +ンセル するように衛星から荷電粒子を放出すればよい。これが能動的帯電制御の基本原理である。

能動的帯電制御技術としては、衛星から荷電粒子を放出することであるので、荷電粒子放出方式としては次のものがある。

- (1) 加熱陰極からの低 エネルギー 電子放出
- (2) 電子銃からの加速電子放出
- (3) プラズマ 放出

(1)及び(2)は、衛星から宇宙 プラズマ へ電子を放出するもので絶対帯電の制御には有効であるが、局所帯電は制御できない。筆者等



(a) 絶体帯電

(b) 局所帯電

図 8. プラズマ 放出による能動的帯電制御の原理

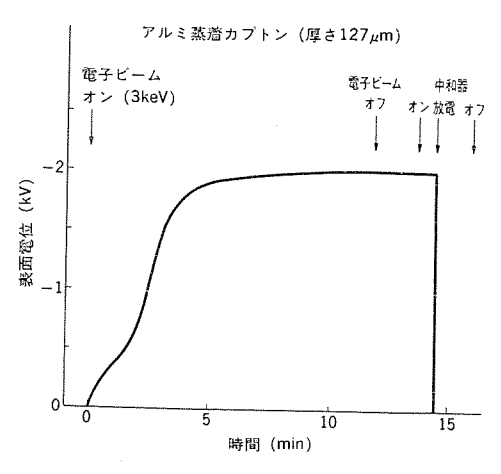


図 9. 能動的帯電制御実験結果

は、絶対帯電も局所帯電も制御可能な(3)項の プラズマ 放出方式を検討した。プラズマ 放出機器としては、イオンエンジン 中和器(5)が最適である。イオンエンジン 中和器は、イオンエンジン 動作時の加速 イオン (正 イオン) に放出 プラズマ 中の電子を混ぜて中和し、衛星の電位が宇宙 プラズマ 電位に対して負に沈まないようにするもので、基本的に衛星帯電制御を行うことを目的としている。

この イオンエンジン 中和器による帯電制御の原理を図 8. に示す。図 8. (a) は絶対帯電の制御の場合である。衛星構体電位にある ィオンエンジン 中和器からの放出粒子のうち、電子が負に沈んだ衛星電位と プラズマ 電位との間の電位差により衛星から放出され、正 イオン が衛星に残留し、衛星電位は次第に正側に移行していく。 すなわち、絶対帯電が防止制御できる。同図(b)は、一部の衛星表面が絶縁性の場合の局所帯電の制御を示している。構体電位に対して負に帯電した絶縁性表面に、 中和器からの放出粒子のうちの正 イオンが、その電位差により引き寄せられ、絶縁物表面に蓄積した負電荷と電荷交換する。したがって、絶縁物表面と構体の電位差が次第に小さくなっていき、局部的な帯電が制御される。以上のように、プラズマ放出による能動的帯電制御においては、正 イオンの残留や付着が生じるが、キセノン などの希 ガスイオン であれば汚染の問題は生じない。

このようなイオンエンジン 中和器による能動的帯電制御の検証実験結果の一例を図 9. に示す。接地した モデル 構体に 127 μm の アルミ 蒸着 カプトン を取り付け、それに 3 keV の電子を約 12 分間照射したときの帯電が、構体に取り付けた キセノンイオンエンジン の中和器を動作させることにより制御できるか否かを実験したものである。電子線照射停止 2 分後に中和器を稼働させ、中和器が放電(キセノンプラズマ生成)状態になった瞬間に帯電が解除され、電位は零になった。この場合、カプトン と中和器とは約 60 cm 離れていたにもかかわらず、

プラズマ中のキセノンイオンにより帯電が制御できた。 とのように、プラズマ放出により能動的帯電制御の可能性が検討できた。

### 5. 人工衛星への適用

現在、衛星帯電放電の信頼性及び長寿命化に対する重要性が認識され、三菱電機(株)で製作中の技術試験衛星V型や通信衛星3号の設計において、受動的帯電制御技術が適用されている。

また、帯電放電現象解明には地上 シミュレーション 実験のみならず、 実際に宇宙で帯電の観測実験を行う必要があり、技術試験衛星 V型 に、国産衛星として初めて、 宇宙環境 モニタの一つとして帯電電位 モニタが搭載され、3 種類の衛星表面材料の帯電特性の測定が予定さ れている。図 10. にその試作品の写真を示す。

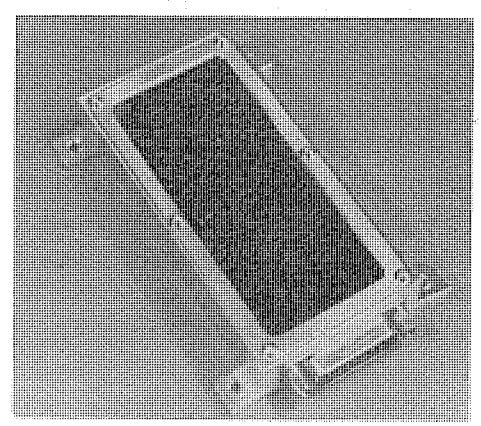


図 10. 帯電電位 モニタ (試作品)

### 6. む す び

以上,人工衛星の帯電放電現象とその防止技術について述べた。 衛星帯電は宇宙にプラズマが存在する限り避けられない問題であり, 将来の長寿命大型衛星の開発に対して,能動的帯電制御を中心とし た帯電防止技術と帯電解析技術の確立を図っていくことが重要であ る。 (原稿受付 昭 61-10-16)

### 参考文献

- (1) H. B. Garrett: Rev. Geophys. Space Phys., 19, 577 (1981)
- (2) 山田ほか:電気学会雑誌, 104, 487 (昭59)
- (3) H. Fujii et al: Proc 3 rd Space Systems Technol. Conf., AIAA-86-1191-CP (1986)
- (4) C. K. Purvis et al: Prog. Astron. Aeron., 71, 299 (1980)
- (5) 東ほか:三菱電機技報, 54, No. 4, p. 305 (昭 55)

### 人工衛星用電熱式ヒドラジンスラスタの熱解析

長島隆一\*・梶原堅一\*・松井安次\*\*・古森秀樹\*\*\*・関 時明\*・吉川皖造\*\*

### 1. まえがき

我が国の人工衛星の開発は近年めざましいものがあり、通信、放送、気象観測など実用に供されているとともに、今後の利用分野も海洋観測、資源探査など多岐にわたって予定されている。これに伴って人工衛星の大型化、長寿命化が進行中で、この傾向に対応できる軌道制御、姿勢制御用の二次推進系の開発は重要なテーマである。電熱式上ドラジンスラスタ(EHT: Electrothermal Hydrazine Thruster)は、現在の推進系に対し比推力が35~40%程度高く、衛星のペイロード重量を大幅に増加させることができる推進系として注目されている。我が国では、宇宙開発事業団(NASDA)を中心にして、EHTの国産化を目指した研究開発が過去3年にわたり進められており、1990年代初頭に打上げ予定のETS-VI(技術試験衛星 VI 型)に搭載する方向で検討されている。

三菱電機(株)は昭和59年度から、NASDA 及び石川島播磨重工業(株)(IHI)と共同で、EHTの主要部分である加熱部の開発を行ってきた。EHTのシステム設計には、噴射時期・時間を含めた運用マスーバーからの問題、太陽電池を含む電力供給系、ヒドラジン分解部との整合性、機械的強度や寿命、など各種の問題を明らかにしていく必要がある。それらの中でこの報告では、主に加熱室の熱交換特性に注目し、加熱部設計に必要な熱解析結果の概要について述べる。

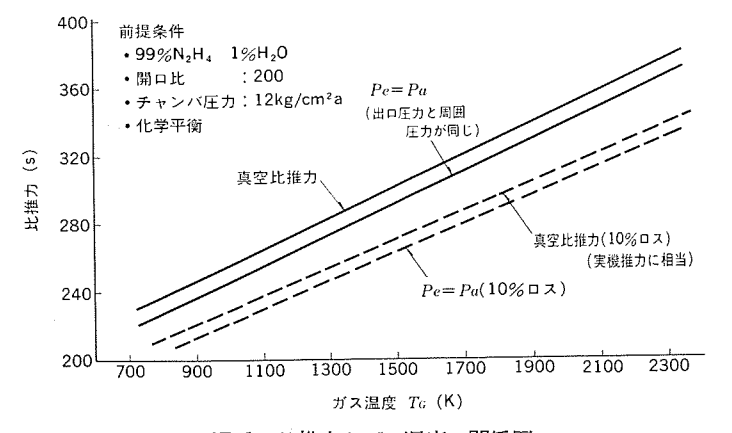


図 1. 比推力と ガス 温度の関係図

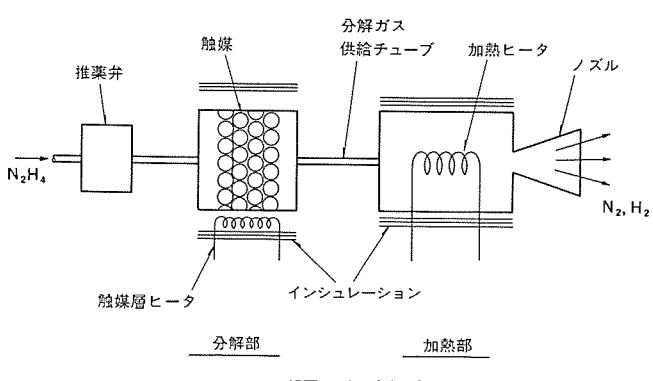


図 2. EHT の構成概念図

### 2. EHT の原理及び基本構成

### 2.1 原理

現在は二次推進系として、触媒式  $\mathbb{E}_{55523538}$  (CHT: Catalytic Hydrazine Thruster) が用いられているが、CHT は  $\mathbb{E}_{5552}$  (以後、 $N_2H_4$  とよぶ)の分解熱を利用して推力を得るため、性能に原理上の限界がある。関田らの解説書 $^{(1)}$ によれば、 $N_2H_4$  の分解反応は次式で示される。

 $3N_2H_4 \rightarrow 4(1-x)NH_3+(1+2x)N_2+6xH_2+(80.2-44.0x)$  kcal ことで、x は  $r_{0}$ モニア  $NH_3$  の分解率である。 比推力  $(I_{SP})$  は、 $T_G/m$  ( $T_G$ :  $\mathring{n}_{\lambda}$  温度,m:  $\mathring{n}_{\lambda}$  平均分子量)の平方根に比例するため、比推力を高めるには、(0)NH $_3$  の分解率 x を 1 に近付け、 $\mathring{n}_{\lambda}$  平均分子量を小さくする、(0)2分解率が上昇することによる発熱量減少を補うと同時に、噴射  $\mathring{n}_{\lambda}$  温度  $T_G$  を可能な限り上昇させることが必要である。 この  $\mathring{n}_{\lambda}$  加熱を電気 (0) 上月 させることが必要である。 この  $\mathring{n}_{\lambda}$  加熱を電気 (0) と一々で行う推進系が (0) EHTで (0) およは平衡濃度であるとしている。 なお、(0) ないの開口比は (0) とし、理論比推力を実線で、(0) による損失を (0) とした場合を破線で示している。 (0) CHTの比推力は約 (0) 220 (0) であるが、(0) EHTで (0) には変し、(0) では、(0) のののようのは推力を得ることができる。

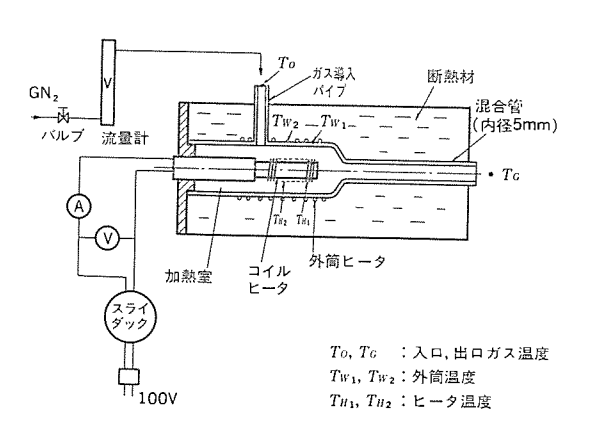
### 2.2 基本構成

図 2. に EHT の構成図を示す。触媒(例えば Shell-405,酸化 アルミナ 担体 ィリジウム 合金)により N₂H₄を分解し、その分解 ガスを加熱部でヒータ加熱するものである。この方式の EHT では、加熱部ヒータに不具合が生じても、CHT としての動作が可能であるという特長がある。この方式は米国 ロケット・リサーチ 社で開発され、既に Satcom-G に搭載されている(1)。 更に ヒドラジン 分解を電気 ヒータを利用して行う方式が、TRW 社により提案されている。

### 3. EHT 加熱部の熱伝達特性

### 3.1 加熱部熱伝達率の測定

熱  $\mp \vec{r}_{\parallel}$  による数値計算を行う上で、 熱伝達特性を知る必要がある。従来から種々の流れ場に対して、  $\mathbf{z}_{\parallel}$  で  $\mathbf{v}_{\parallel}$  を  $\mathbf{v}_{\parallel}$  を  $\mathbf{v}_{\parallel}$  を  $\mathbf{v}_{\parallel}$  で  $\mathbf{v}_{\parallel}$  を  $\mathbf{v}_{\parallel}$  を  $\mathbf{v}_{\parallel}$  を  $\mathbf{v}_{\parallel}$  を  $\mathbf{v}_{\parallel}$  の 関係が求められているが、 今回の加熱部は形状が複雑で流れが発達していない。 そこで、  $\mathbf{v}_{\parallel}$  を  $\mathbf{v$ 



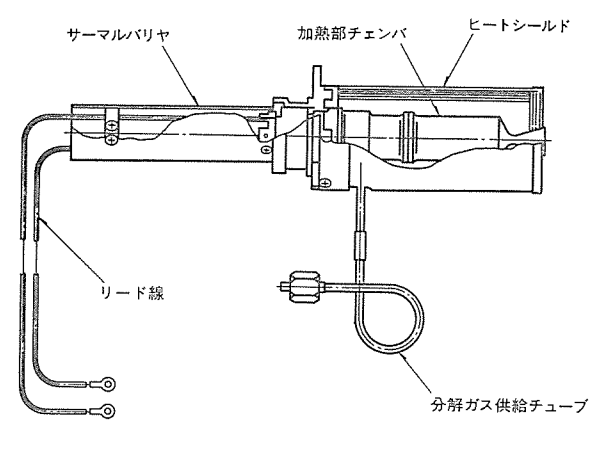
(a) 試験装置の構成図

ヒータ 形状は図 3. (b)に示すものを基本形としている。 すなわち, タイプ(I) は セラミッ

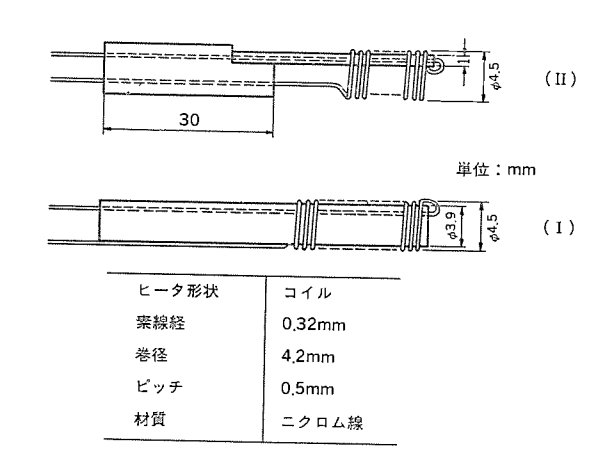
ク上に コイル を巻きつけるか,又は セラミック 内に封入して,ヒータからの電気入力を セラミック 支持体を介して ガス に伝達するもの(傍熱形)であり, タイプ(II) は細い セラミック 棒で ヒータコイル を保持し,コイル の空間を ガス が流れ,熱交換するもの(直接形)である。

### 3.2 測定結果

測定した熱伝達率  $\alpha_H$ ,  $\alpha_W$  を 3ッセルト数で整理したものを 図 4. に示す。外筒との熱交換は内径や入口形状(直交又は旋回)によらず, $N_u$ =0.7  $R_e$ 0.6 で表せることが分かる。 更に,t-g 部の熱交換も傍熱形及び直接形で大差なく, $N_u$ =0.7  $R_e$ 0.5 で表せる。ただし,



(a) 加熱部



(b) t-タ形状図

図 3. 装置構成及び ヒータ 形状

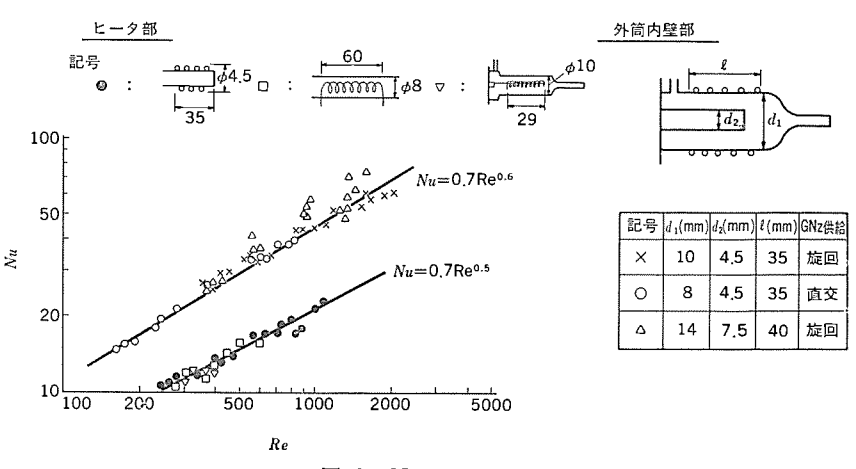
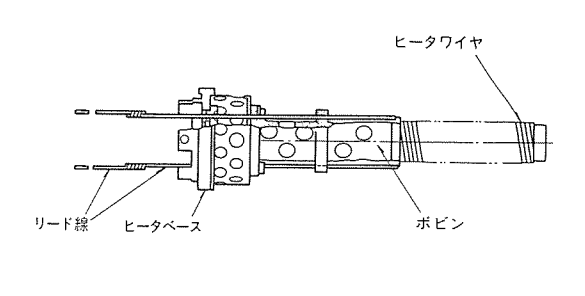


図 4. Nu-Re の関係図

表面積としては、傍熱形の場合には図中lで示したt-s巻線部 ( $S=\pi dl$ )、直接形の場合には素線の全表面積をとっている。

### 4. 試作加熱部の熱交換解析

熱解析の妥当性を評価するための加熱部として,図 5.(a) に示す試作品を作成し, $N_2$   $f_3$  及び  $N_2$   $H_4$  分解  $f_3$  の噴射試験を行い,解析  $t \in \mathbb{R}$  による温度分布, 比推力の計算結果と比較した。 傍熱形  $t \in \mathbb{R}$   $t \in \mathbb{R}$  (b) に示すよう,外周にねじを切った中空の支持 ボビッ(BN:ボロッナィトライド) の周囲に 3  $k \in \mathbb{R}$  の  $t \in \mathbb{R}$   $t \in \mathbb{R}$  の  $t \in \mathbb{R$ 



(b) ヒータ部

図 5. EHT 試作品の形状図

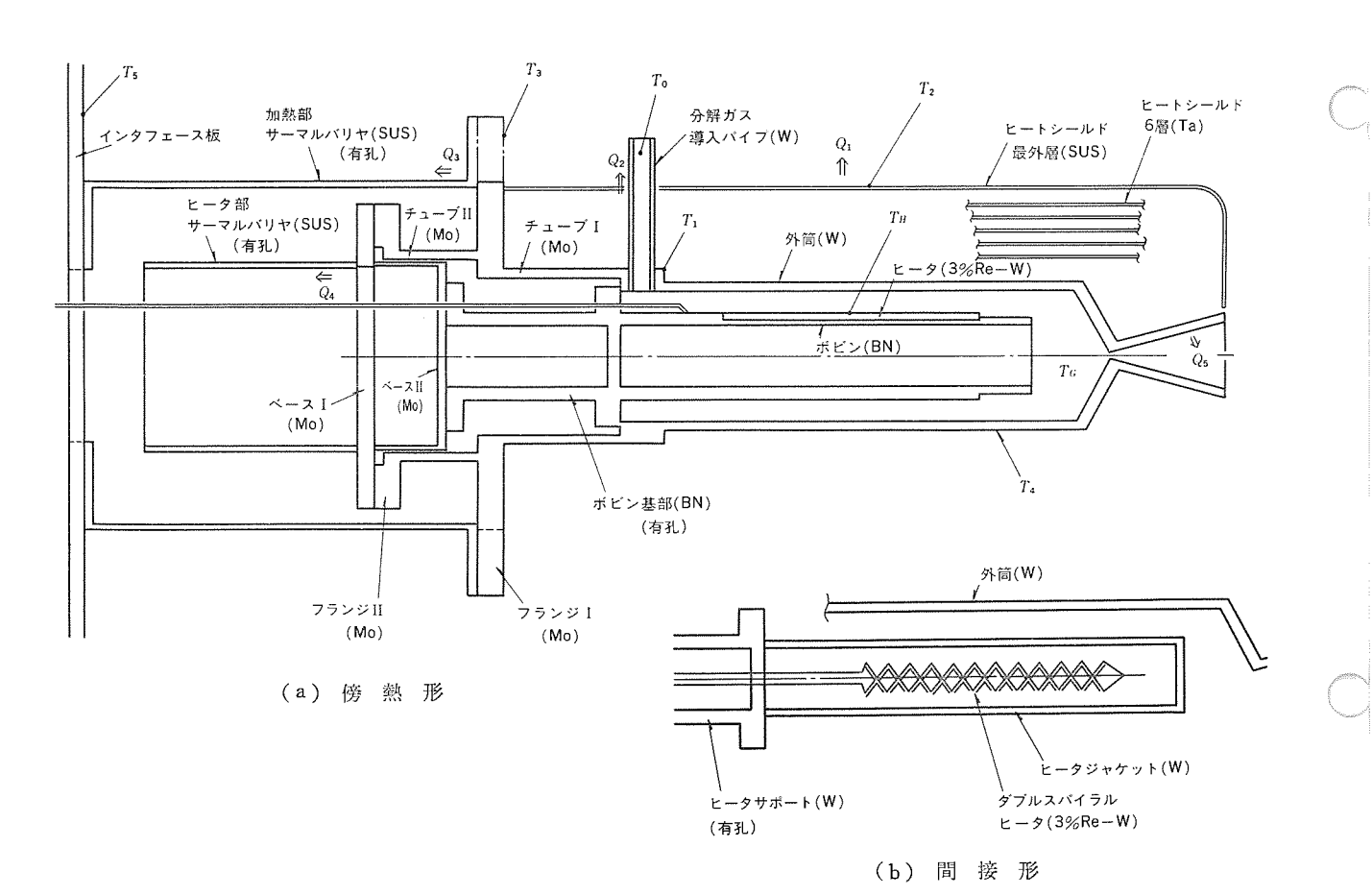


図 6. EHT 加熱部の解析 モデル

線径 0.5 mm) を巻いた構造とし、ヒータにより加熱されたポピッと分解 ガス が内・外周面で熱交換する。

### 4.1 解析モデル

EHT 加熱部における伝熱特性は、以下のように モデル 化している。

### (1) L-s 部の熱伝導

熱伝導率は タングステン の値を使用した。 t-9 は円筒形状に近似した。 軸方向への熱伝導率は ピッチ と線径から 計算 し て 素 材 の 1/2,500 とし, t-9 から ボビンへの熱伝導は,静止雰囲気中の実測温度値により  $\lambda=0.8$  kcal/mh $^{\circ}$ C を算出した。 また,t-9 抵抗値の温度依存性も考慮している。

### (2) ガスへの熱伝達

中空  $\mathrm{L}$ - $\mathrm{g}$  の内外面を沿って流れる流量比は 1:1 とし, ノズル 直前で均一に混合するものとした。 $\mathrm{L}$ - $\mathrm{g}$  内・外周及び外筒と ガス との熱伝達率は,前節の値をそのまま使用した。一方, 導入 パイプ 内の熱伝達は発達 した 乱流の 値, $N_u$ =0.023  $R_e^{0.8}$   $P_r^{0.4}$  ( $P_r$ =プラントル数)を用い, 先端部に ガス 温度と等しい ノード を設け,熱伝導によ

る損失を算定している。

### (3) 物性値の温度依存性

 $\it H_{\rm A}$  の物性値(熱伝導率,比熱,動粘性係数など)は, 圧力にほとんど依存しないため, ここでは  $N_2H_4$  分解  $\it H_{\rm A}$   $\it H_{\rm A}$   $\it H_{\rm A}$  =1:2 の混合  $\it H_{\rm A}$  として,  $\it 1$  気圧での物性値を算定して用いた<sup>(2)</sup>。また,  $\it N_{\rm B}$   $\it H_{\rm A}$  については文献<sup>(3)</sup>の値を用いた。更に,温度変化が大きい部分に用いられている  $\it H_{\rm A}$   $\it H$ 

### (4) 有孔部の伝熱

サーマルバリヤ部、ヒータ 支持 ボビン の基部などからの熱伝導及び放射 伝熱による損失を小さくするため、多数の小孔をあけた。これらの 部分は有効的な熱通過断面積、表面積を各々算定して用いている。

### (5) ヒートシールド

放射の反射などを考慮して熱シールド 部を詳細に モデル 化し、更に ①熱シールド 最外筒で フランジ と接触する。②熱シールド 筒内の位置ぎ め部材を通して熱伝導がある。③熱シールド内の希薄大気による熱伝導がある。などを考慮している。ただし、③を考慮するに際して、熱伝導率は圧力にはほとんど依存しないため大気圧の値を用いている。

### 4.2 噴射試験結果とシミュレーション結果の比較

 $N_2$   $f_{12}$  及び  $N_2$   $H_4$  分解  $f_{12}$  の噴射試験結果を表 1. に示し、u=1 u=1 u=1

表 1. 計算値と試験値の比較

No.	ガス種	ガス流量	ヒータ入力	環境圧力		各 部 温 度 (°C)							比推力	加熱効率
		(kg/s)	(W)	(Torr)	$T_0$	$T_1$	$T_2$	$T_3$	$T_4$	$T_5$	$T_H$	$T_G$	(s)	(%)
1		1.10×10-4	170	2.00	550	_	326	566	884		1,462	845	_	31.8 (41.2
-					550		445	557	894	170	1,473	_		
2	N2 ガ ス	1.10×10-4	200	2.00		-	346	601	975		1,620	696	-	32.5 (42,2
					550		520	615	991	187	1,610	_	_	
3		1.10×10-4	230	2.00			376	635	1,061		1,723	718	_	32.6 (42.3
					550		535	638	1,050	183	1,756	_		-
4		0.58×10-4	331	0.25		689	404	592	1,072		1,661	1,363	278	47.3 (55.4
					496	655	426	614	1,050	146	1,650	_	276	
5	$N_2H_4$	0.81×10-4	0	0.32		349	211	305	353		_	421	_	
	分解ガス				527	313	153	<b>2</b> 83	287	93	-			_
6		0.64×10-4	246	0.65		650	359	525	874		1,423	1,141	258	49.9 (57.5
-		0.077.10			500	619	352	494	885	138	1,430		242	(0710

注 上段は計算値,下段は測定値

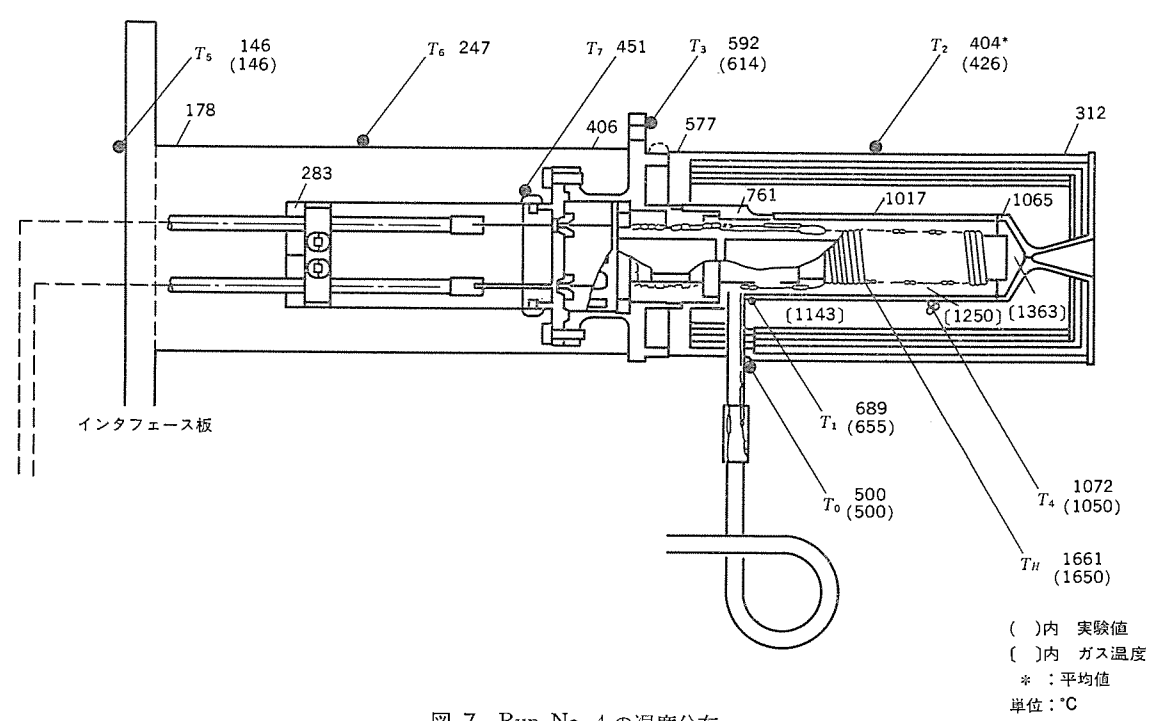


図 7. Run No. 4 の温度分布

今回のモデル計算が試験結果をよく説明できることが確認できた。 しかしながら、 $N_2$   $f_{\rm A}$  噴射試験では計算結果の方が、  $T_2$  が低くな っている。  $N_2H_4$  分解  $f_{12}$  を用いた場合には、両者の一致がよいこ とを考えると,  $N_2$  噴射試験時には  $\mathsf{L}-\mathsf{N}$  の端面が Jズル 部に 触れるなどのため、 $T_2$ の温度上昇が大きくなっていたものと考え られる。

また,表 1. には  $N_2H_4$  分解  $\emph{H}_{\emph{A}}$  での比推力の比較を示している。 シミュレーション での比推力値は、計算での加熱 ガス 温度  $T_{G}$  から図 1. の真空比推力(10% 0ス)の破線を用いて算定している。 測定比推 力値と計算値はよく一致している。なお、今回の数値計算から、熱 シールド 内の残留 ガス(噴 射 試 験 用 真 空 チャンバ 内の圧力:0.25~2 Torr) による熱伝導が大きく、熱 シールド からの放熱に大きく寄与 していることが分かった。 表 1. には,この希薄 ガス の効果がない とした場合の加熱効率を( )内に示している。完全真空に近い宇 宙空間では、今回の測定結果により高推力が得られることが予想さ れる。

### 5. 熱交換特性の予測

前節で妥当性が検証された熱解析 モデル を用い、 傍熱形及び間接 形について,入力電力 (W) 又は分解  $f_{Z}$  供給量 (M) が変動した 場合の加熱  $mu_{A}$  温度  $T_{G}$  及び  $mu_{L-9}$  温度  $T_{H}$  の変化を予測した。間 接形は図 6. (b)の モデル 図に示すように、ガス 流路と ヒータ 部を分 離した方式であり、ロケット・リサーチ社で検討されている(4)。 ヒータ が 直接分解 ガス に接触せず、ガス との反応による ヒータの劣化や ガス 流 動による変形がないという特長を持つため,比較検討を加えた。な お, t-g 部は 0.5 mm 径の t-g線を二重 コイル に巻いた構造と考え ている。

仮想変動幅は電力が 300~400 W,  $\dot{M}$  は  $0.59 \times 10^{-4}$  kg/s (供給圧 =2 気圧)~0.87×10<sup>-4</sup> (6 気圧:標準流量)~1.70×10<sup>-4</sup> (10 気圧) の範囲である。計算結果を図 8. (a) に示す。 なお、導入 パイプ 部 ガス 温度  $T_0$  は アンモニア 分解率 90% 以上の場合の最悪条件 (図 8. (a)中の一点鎖線で示す) とした。加熱室形状を同一にしたこの モ デルでは、傍熱形、 間接形とも  $T_G$  がほぼ同一になっており、加熱 効率は同程度であることが分かった。傍熱形(破線)では、 $T_G$ 、 $T_H$ とも $\dot{M}$ にほぼ反比例して大幅に変化する。 したがって、 $\mathsf{t}-\mathsf{9}$ ボビッ の耐熱性 (<2,000°C) を考慮して、しかも広い変動範囲で安定し た高比推力を確保していくためには、ヒータ温度を常に一定に保つよ うな電力制御器が必要であると考える。 幸い今回用いた t-9 線の 抵抗は、ほぼ絶対温度に比例して増大する特性を示すため、校正し た ヒ-タ 抵抗により温度を検出して、電力制御する方法が考えられ る。この方式による制御器は実際に試作され、前節の噴射試験に利 用されている。t-s 制御時の  $T_G$  及び所要電力の変化を図 8. (b) に示す。 $T_H$  一定の制御のもとでは、 $T_G$  もほぼ一定の値が得られ るため、流量変動があった場合にも EHT の比推力はほぼ一定にな り, 推薬の有効利用が図れる。

今回の形状では、 $T_H=2,000$ °C の制御で、比推力 300 s が確保で きると考えられる。一方、間接形の場合には、ヒータからの熱移動が ふく射によって行われ、しかも内筒温度が ヒータに比べて低いため、  $T_H$  は  $\dot{M}$  によらず比較的一定値を保つ。この場合には,  $\mathrm{L}$ - $\mathrm{g}$  入力 が一定になるような制御を行っておれば、 過入力による ヒータ 断線 は防げるであろう。しかし、 $T_G$ の方は傍熱形と同じ特性を示して おり、 Mの大きい領域で比推力の低下は避けられない。なお、標準 状態で $T_G=1,600$ °Cを確保するためには、今回のt-9形状では  $T_H=2,300$ °C まで上昇し、t-9 線の蒸発量が多くなってくる。t-タ温度の低減法及び加熱効率の向上などを更に詳細な モデルをたて て検討している。

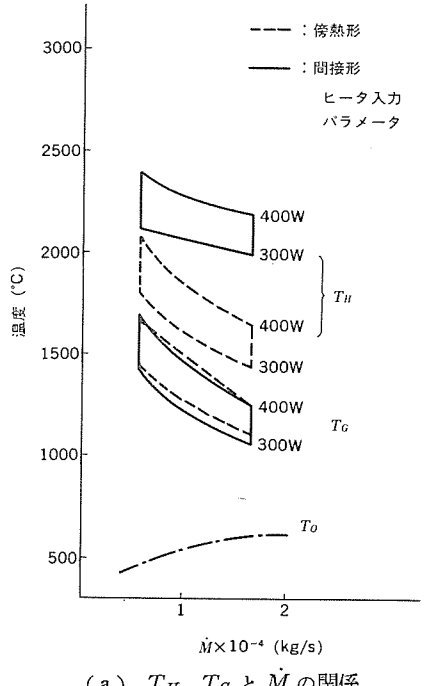
#### 6. t す

以上の加熱特性の評価をもとに EHT の開発を進めており、ほぼ 所要の性能が得られることを確認した段階である。今後加熱効率の 一層の改善のための方策、ヒータや各種材料及び接合部の耐熱強度や 寿命を含めた総合的な性能評価を行っていく予定である。

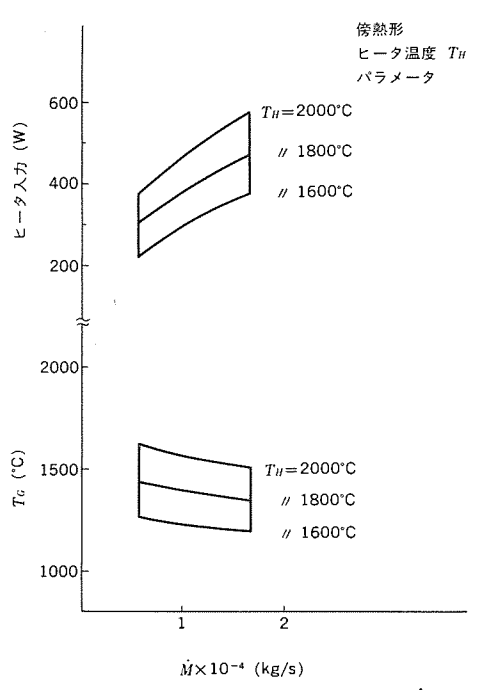
最後に、このデーマを研究する機会を与えていただいた宇宙開発 事業団,及び ヒドラジュ 分解 ガス を用いた真空噴射試験を実施してい ただいた IHI の関係諸氏に感謝の意を表す。

### 参考文献

- (1) 関田ほか:日本航空宇宙学会誌, 33, 82 (1985)
- (2) 佐藤:物性定数推算法第8版 丸善(株)
- (3) 伝熱工学資料:日本機械学会編
- (4) F. X. Mckevitt: AIAA paper 83-1255 (1983)



(a)  $T_H$ ,  $T_G$  と $\dot{M}$  の関係



(b)  $\mathsf{L}$ - $\mathsf{g}$  温度制御時の  $T_{\mathsf{G}}$ ,  $\mathsf{L}$ - $\mathsf{g}$  入力と  $\dot{M}$  の関係 図 8. 熱交換特性

### 新住宅用規格形工レベーター

吉川 博\*・谷野 純一\*・吉田研治\*・塚原義人\*\*・杉山美樹\*

### 1. まえがき

当社は昭和 33 年に、日本で初めての住宅専用 Iレベーターである公共住宅用規格形 Iレベーターを開発、納入した。 その後、常に最新の技術を取り入れて性能向上を図りながら、数多くの住宅用 Iレベーターを供給してきた。また、昭和 58 年には中層住宅用の Iレベーターである《コンパクト 4》を開発するなど、住宅用 Iレベーターの多様な Iーズにこたえてきた。

住宅用 エレベーター は一般の エレベーター に比べ、だれにでも使いやすいこと、信頼性が高いこと、そして機械室や昇降路に近接する住居でも静粛さが保たれるよう低振動低騒音であることなどが特に重要である。また、近年、建築工期の短縮化に伴い、エレベーター の据付け工期の短縮も強く要望されてきた。

このたび、最新のマイクロエレクトロニクス技術を駆使し、かつ構造を 根本から変革することにより、使いやすさ、信頼性、静粛性をより 一層高め、更に据付け工期も短縮できる新しい住宅用規格形 エレベーターを開発、市場投入した。以下、このエレベーターの主な特長と構成 について紹介する。

### 2. 特 長

今回開発したエレベーターは、次に示す優れた特長をもっている。

- (1) 新開発の インバータ 制御や高集積素子の採用などにより、制御 装置の超小形化を実現するとともに信頼性を一層向上させた。
- (2) 電動機の磁気振動を低減するとともに、駆動装置の防振構造を改良し、居室や乗場での静粛性をより一層高めた。

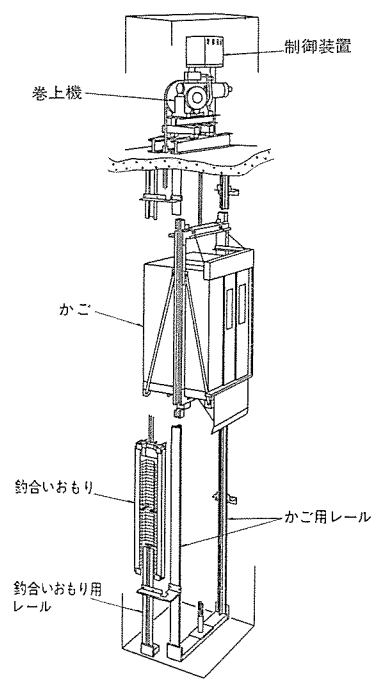


図 1. 全体構造

- (3) 大形 ディジタルインジケータ をかご操作盤の上部に設け、目的階への停止直前に点滅させて到着を知らせるなど、使いやすさを向上させた。
- (4) かど枠,安全装置及びドア装置に新材料,新機構を採用し、また駆動装置も構造を改良して小形軽量化を図り,建物に加わる荷重の低減や,レイアウトの容易化を実現した。
- (5) 釣合いおもりを1本のレールで案内させたことや、制御装置と巻上機の一体化などに合わせた据付け作業の改善、及び据付け工法の改善により、据付け工期を短縮した。

### 3. 構 成

図 1. に新しい エレベーター の全体構造を示す。この エレベーター の定員は 6 人及び 9 人で、速度は 45 及び 60 m/min である。従来の エレベーター と大きく異なる点は、 制御装置を大幅に小形化して巻上機の上部に設置したこと、 及び釣合いおもりを 1 本の レール で案内させたことである。 今回新たに開発・改良した主な項目は次のとおりである。

- (1) 小形制御装置
- (2) 釣合いおもり用新形 レール
- (3) 新形かご
- (4) かど用大形 ディジタルインジケータ 以下, これらの項目の詳細について紹介する。

3. 1 小形制御装置

VVVF 制御装置の基本構成は、従来の規格形 エレベーター<sup>(1)</sup> のものと同一であるが、今回、次に示す新たな技術を用いて制御装置を従来の 1/5 (容積比) に小形化し、信頼性も向上させた。図 2. にこの制御装置の外観を示す。

### (1) 回生電力制御 インバータ(2)

エレベーターは、滅速時及び全負荷の下降運転時に電動機を制動運転させなければならない。従来の VVVF (可変電圧可変周波数) 制御方式では電動機を回生制動させ、回生 エネルギー を制御装置内の制動

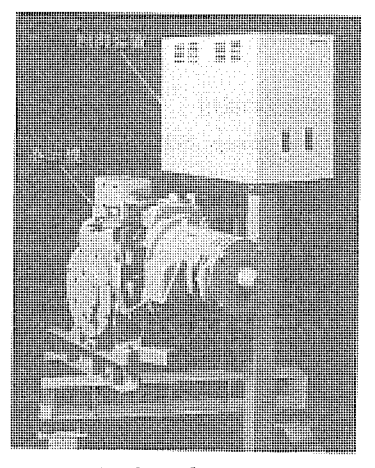
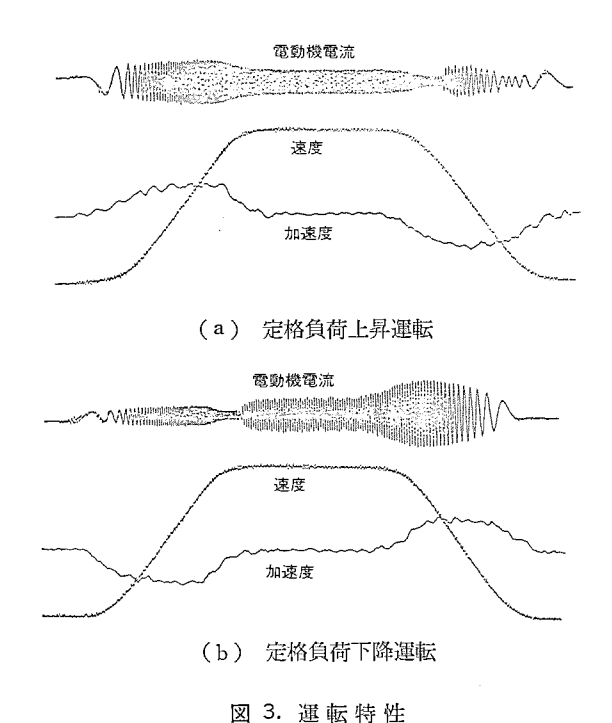


図 2. 制御装置



抵抗で消費させていた。そのため、回生 エネルギーの消費回路が必要なばかりか、回生 エネルギーの消費による発熱が大きいため、制御装置の小形化が困難となっていた。そこで今回、制動運転時の回生 エネルギーを、熱容量が大きく、しかも自冷効果もある電動機内で消費させるという、新しい原理に基づく インバータ 制御方式を開発した。この方式を用いることにより制動抵抗が不要となり、制御装置の低発熱化、小形化が実現でき、信頼性も向上させることができた。

図 3. にこの方式による運転特性を示す。

### (2) ベース 駆動回路の省電力化

VVVF 制御装置では、6個のトランジスタを PWM 制御するため、そのトランジスタ 駆動にそれぞれ分離した電源を必要とし、多数の独立巻線を持つトランスを設けていた。これに対し、今回、電源をスイッチングレギュレータ 化するとともに、ベース 電流を低減し トランス を プリント 基板に搭載できるまでに小形化した。

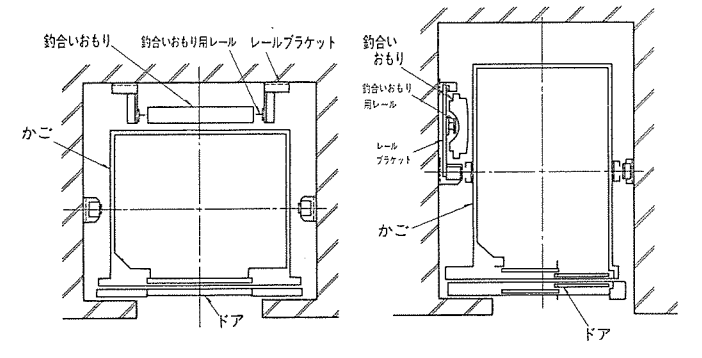
### (3) 専用 LSI の開発

マイクロプロセッサ との インタフェース 回路として必要であった エレベーター 固有の処理機能を集約した専用 LSI を開発,採用した。との結果,従来は約50 個の汎用論理素子で構成していた速度帰還信号処理回路などを,わずか1 個の専用 LSI で実現した。これにより,制御装置を一層小形化し信頼性を向上させた。 また, 専用 LSI を用いることにより,素子間の配線を不要とし演算速度,耐 ノイズ 性を向上させた。

### (4) 低消費電力論理素子の採用

従来のLSTTL (Low power Schottky Transistor Transistor Losic) より消費電力の少ない高速 CMOS (Complimentaly Metal Oxide Semiconductor) を採用することにより、論理回路部分の電力消費を低減した。この素子の採用により制御装置内の論理回路用電源の容量を従来の1/4以下に縮減し、装置内の低発熱化を実現した。更に、この素子の採用によりノイズや周辺温度に対する裕度も向上した。

以上のとおり、制御装置の小形化の障害となっていた発熱を回生電力制御 インバータ 方式 の開発 で解決 し、最新の マイクロエレクトロニクス技術を駆使して プリント 基板の高密度化を実現した。 これらの技術



(a) 乗用規格形 エレベーター

(b) 住宅用規格形 エレベーター

図 4. 昇降路平面図

によって大幅に小形化した制御装置を巻上機と一体化し、機械室内 での配置並びに両者間の配線作業を容易化した。

制御装置と巻上機の一体化に際しては、FFT(高速 フーリェ 変換)装置を用いて モーダル 解析を行い、非共振化設計を実施した。また、防振 ゴム には、動ばね定数が低く、減衰性能の高いものを使用して防振特性を向上した。一方、インバータのチョッピング 周波数を高周波化して、電動機の発生する電磁振動及び騒音を小さくした。このようにして、巻上機や電動機から建物へ伝搬する振動を低減し、機械室に近接した居室における静粛性をより一層高めた。

### 3.2 釣合いおもり用新形レール

図 4. に乗用規格形 エレベーター 及び住宅用規格形 エレベーター の昇降路平面図を示す。住宅用規格形 エレベーター は, 入居者の家具などの 運搬を容易にするため,乗用規格形 エレベーター に比べ,図 4. に示すようにかごの間口を小さくし,奥行を大きくしている。また,ドアも乗用規格形の2枚戸中央開きに対し,2枚戸片開きとして開閉スペースを縮減している。 このような住宅用 エレベーター の特徴を考慮して釣合いおもり用新形 レールを開発し,従来2本のレールで案内していた釣合いおもりを1本のレールで案内できるようにした。

### (1) 形状及び レイアウト

図 5. にこの  $_{U-ll}$  の断面形状を示す。この  $_{U-ll}$  では十分なねじり 剛性と曲げ剛性をもつよう, 断面形状を $_{\pi}$ 形にした。 板厚は  $_{4.5}$ mm で重量は  $_{11}$  kg/m である。

図 6. に釣合いおもりの形状を示す。この釣合いおもりを図 5. に示す レール 断面の頭部で案内し、図 4. のように戸袋側の空所に配置した。また、かご レール の取付 ブラケット を延長してこの レール を支持した。このように、釣合いおもり用 レール を1本とし、 かごと釣合いおもりのレールブラケットを共用化して、レール の据付け作業を大幅に合理化し、据付け工期の短縮化を実現した。 なお、この レール は昭

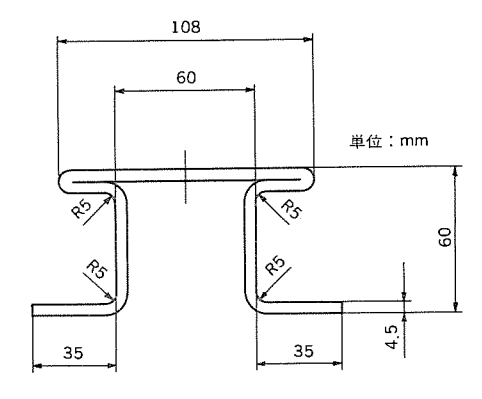
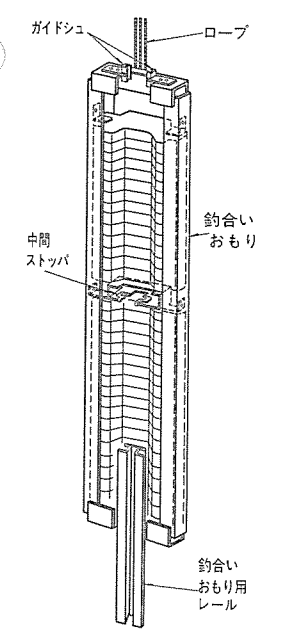


図 5. レール 断面形状



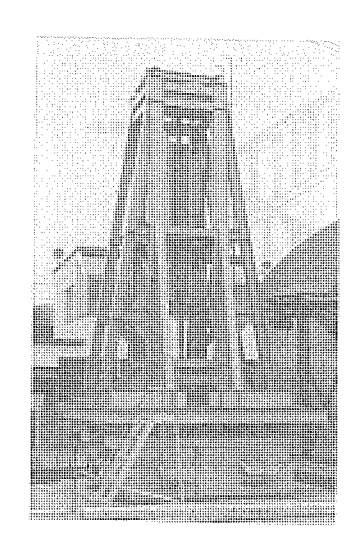


図 6. 釣合いおもり

図 7. レール 加振試験状況

和60年9月に、日本建築 センター の性能評定を取得している。 (2) 加工方法

このレールはロールフォーミングによって成形しており、伸び率の高い材料の使用と、成形技術の改良により十分な精度を得た。すなわち、材料はカーボン、マンガン、サルファなどの成分を調整して伸び率を改善し、かつ、介在物の含有量を抑えるように管理されたものを用いた。また、ロール成形機を改良し、180°曲げ部分に圧縮応力を加えて成形品端部のスプリングバックを大幅に低減し、成形精度を高めた。

### (3) 安全性の確認

この レールでは、 静的荷重に対する応力や変形を計算と実験で確認するとともに、 地震時の安全性を実物の加振試験によって確認した。 図 7. に加振試験の状況を示す。 まず、水平 2 方向について正弦波の周波数 スイープ加振を行い、レール・釣合いおもり系の固有振動数と減衰係数を調べた。次に、実際の地震波形で加振し、地震時の

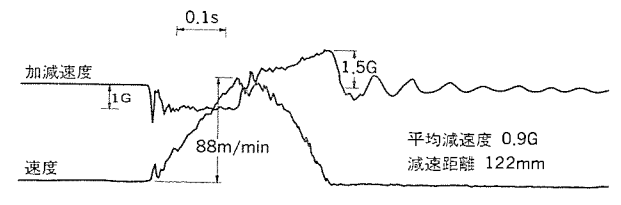


図 9. 非常止め装置の制動特性

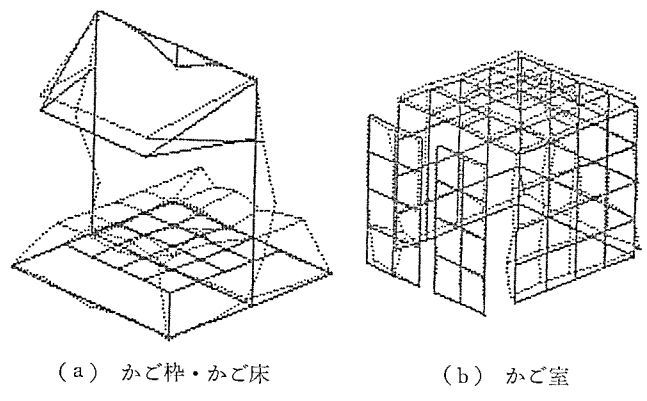


図 10. 振動 モード 測定結果

新住宅用規格形 エレベーター・吉川・谷野・吉田・塚原・杉山

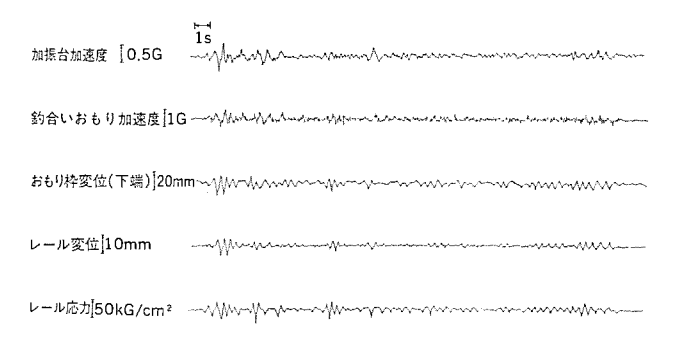


図 8. 加振試験結果

表 1. 加振試験結果

	加振	方向*	x :	方 向		Y 方向		
			レール最大応力	レール指 (m	<b>及大変位</b> m)	レール最大応力	レール最大変位 (mm)	
加接	波形	$\overline{}$	(kg/cm <sup>2</sup> )	X方向	Y方向	(kg/cm <sup>2</sup> )		
エル	・セン	۲ロ	170	0.8	1.8	150	1.6	
Þ	フ	ŀ	210	0.9	2.1	180	1.6	
宮	城	神	200	1.5	2.4	130	1.5	

注 (1) \* 印

### (2) 釣合いおもり加速度 0.6 G, レールプラケットスパン 2.5 m

挙動を確認した。この際、代表的なエルセントロ、タフト、宮城沖の3種の地震波形を用いた。その結果、固有振動数と滅衰係数は従来のレール・釣合いおもり系の場合と大差ないこと、地震時のレールの応力と変位はいずれも許容値内であることが確認できた。 図 8. に測定結果の一例を示す。表 1. は、釣合いおもりの加速度を 0.6 G (G:重力加速度) としたときの測定結果であり、十分安全であることがわかる。 なお、0.6 G は高さ 60 m 以下の建築物に設ける エレベーターの設計用水平震度である。

### 3.3 新形かご

エレベーターでは、建物に加わる荷重の低減、省エネルギー及びレイアウトの容易化のため、かご機器の小形化や軽量化が重要である。とのエレベーターは、ドア装置、非常止め、かご枠などについて機構の小形化や材料の改善を行い、15%の軽量化を実現した。

### (1) ドァ装置

今回開発した新形ドア装置では、駆動モータの減速機構部及び扉の駆動部にタイミングベルトを採用し、ベルト部でのスリップを防止して開閉性能を向上した。また、プーリの小形化や扉駆動機構のコンパクト化により、重量を30%軽減した。更に、従来機械接点式のスイッチを用いていた扉の位置検出部に光スイッチを採用し、信頼性の向上、長寿命化を実現した。

### (2) 次第ぎき非常止め

次第ぎき非常止めとは、かごの下降速度が所定値を越えたときに、くさび形の制動子によってレールを挟持し、かごを減速、停止させる安全装置である。今回、特殊形状の焼入鍋を制動子に用いて摩擦特性を改善するとともに、機構を改良して従来比 40 % の軽量化を実現した。 図 9. に今回開発した次第ぎき非常止めの制動特性測定結果を示す。

### (3) かど枠

このかご枠では、 強度の高い材料(自動車用圧延鋼板: SAPH

45)を用いるとともに、構造を改良し、重量を約 20% 軽減した。また、このかご枠を用いたかごの E=J 解析を行い、共振周波数と振動 E=I を明らかにした。 そして、各部材の非共振化や防振 I の特性の最適化を行い、かごの低振動化を実現した。 図 I I に E=J 解析結果の一例を示す。

### 3.4 大形ディジタルインジケータ

この エレベーターでは、大形、高輝度の オレンジ色 LED ディジタル 表示器を装備した。表示器の設置場所は、方向灯、運行灯とともにかご操作盤の上部とした。これにより、多階床 サービス の場合でも表示位置を一定とし、大形化と相まって視認性を向上させた。なお、表示器に 16 セグメットタイプを使用して、数字、英字及び両者の組合せを表示できるようにした。また、停止直前に表示を点滅させ、目的階への到着を乗客にあらかじめ知らせるなど、使いやすさをより一層向上させた。

制御装置からの表示信号の伝送は、 行先階 ボタン 信号の 伝送 ライン と重畳させた。 この方式により、表示文字信号 専用の伝送 ライン を廃し、 据付け工期の短縮と信頼性の向 上を実現した。

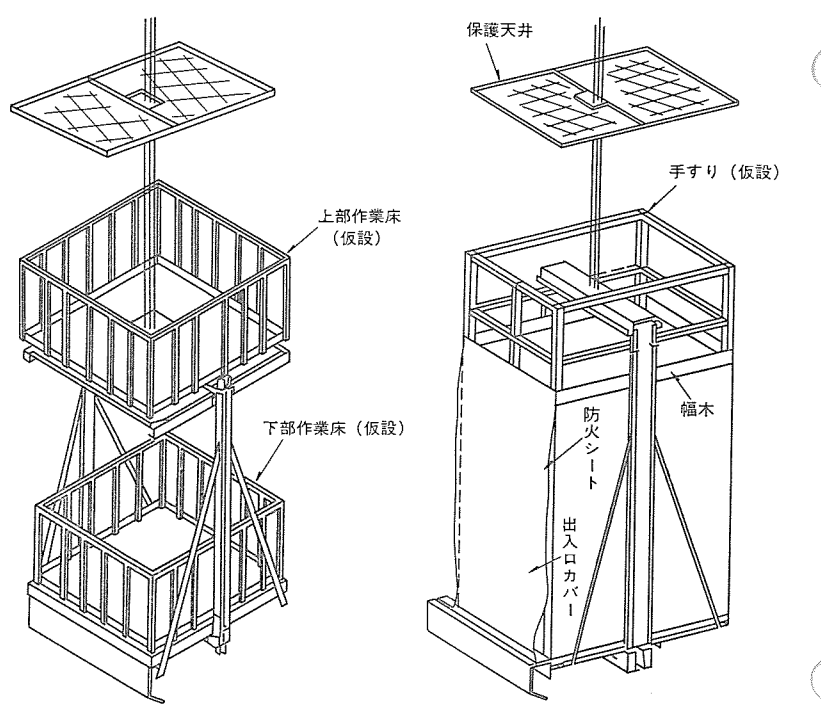
### 4. 据付け工法

ビルの建築工期は、建築工法の進歩や綿密な工程管理などにより、短縮化してきている。このような情勢をふまえ、このエレベーターでは製品開発に合わせて据付け工法を改善し、これにより据付け工期を15%短縮した。

従来の据付け工法(3)では、図 11.(a)に示すように仮設作業床をかご枠の上部・下部にそれぞれ設け、昇降路内の作業を終了した後に撤去してかご室を組み立てていた。この エレベーター では、図中(b)のようにかご室の天井を作業床として利用できるように据付け工法を変更し、作業時間を短縮した。

また、制御装置と巻上機の一体化や、 釣合いおもり用 レール の1本化など、製品構造の改良と合わせて、それらの据付け時間の短縮化も実施した。例えば、制御装置や巻上機などの機械室機器は、テンプレートに合わせて機械台上に取り付けることにより、 心出し調整を不要とした。また、1本化した釣合いおもり用レールとかご用レールを同時に心出しできる治具を作成し、レールの心出し時間を大幅に短縮した。

なお、部品の輸送や建築現場への搬入についても、据付け初期の 短期間のうちにほとんどの部品を昇降路内に搬入可能にするなどの 改善を行い、建築現場の部品の ストックヤード を縮小した。



(a) 従来 (WOS 工法)<sup>(3)</sup>

(b) 本工法(新 WOS 工法)

図 11. 据付け用作業床

### 5. む す び

以上,新住宅用規格形 エレベーター について, 主な特長と構成を示した。集合住宅の増加に伴い, 住宅用 エレベーター は生活に密着した必要不可欠のものとなってきている。信頼性の向上その他多くの特長を持つこの エレベーター は, 需要家各位の期待にこたえるものと確信する。

また、高齢化の進展や地価の上昇などにより、住宅に対する社会のニーズは刻々と変化している。今後共、住宅用エレベーターのあるべき姿を探究し、個人住宅から高層住宅まで、社会のニーズに適合した住宅用エレベーターを開発してゆく所存である。

### 参考文献

- (1) 花木ほか:新規格形 エレベーター《エレペットァドバンス V》, 三菱電機技報, 58, No. 11 (昭 59)
- (2) 野村ほか:回生電力制御 VVVF 方式の研究 エレベーターへの 応用、昭和 61 年度電気学会全国大会講演前刷集,758
- (3) 国岡ほか:移動足場工法による中高層 ビル 向け エレベーター の 据付け, 三菱電機技報, 57, No. 11 (昭 58)

### 高耐圧・大電流GTOサイリスタの特性

石堂道治\*·鈴木正則\*·宮嶋辰夫\*·德能 太\*

### 1. まえがき

GTO サイリスタ (GTO) は、自己 ターンオフ能力をもつサイリスタとして注目を集め、インバータ 装置やチョッパ 装置の小形・軽量化、高性能化を図るため、従来の高速 サイリスタ に取って代わり実用化が急速に進められている。 特に、GTO は基本的に サイリスタ 構造をもつ半導体であるため、高耐圧・大電流化が比較的容易であるという特長を備えているので、大電力制御装置の代表格である電鉄用制御器への実用化が急速に進展し、今や電鉄用 VVVF インバータや DC チョッパ 装置及び車載用 CVCF 電源などの制御素子には、その大半が GTO に移行している。近年、4.5 kV 耐圧の高圧 GTO が開発されるに及び、1,500 V の架線ラインを直並列接続なしに制御できるようになってから、メンテナンスフリーの可能なインバータ装置と交流電動機との組合せによる推進器を搭載した電車、いわゆるインバータ電車が実用期を迎え、地下鉄や近郊電車の主流となりつつある。

このように、電鉄用制御器における GTO の役割は極めて重要になってきており、今後の制御器は GTO を抜きにしては考えられないまでに至っている。本稿では、電鉄用を主体とした GTO に的をしばり、高耐圧・大電流 GTO の構造と特長、その定格特性について解説する。

### 2. GTO の構造と高耐圧大容量化

GTO は可制御 オン電流(Iraq)の向上の観点から、個々に分離された カソードエミッタ 領域と、 これをとり囲んで形成された ゲート電極によって構成された島状の単位 サイリスタ (GTO セグメント)を、多数個並列接続されたマルチエミッタ構造が通常用いられている。このような構造をもつ GTO を高耐圧大容量化するためには、以下の項目に示すような設計上の配慮が必要である。

- (1) 個々の GTO セグメットの  $I_{TGQ}$  を向上させるとともに、各々の GTO セグメット が均一に動作するように、セグメット の配列の最適化を 行う。
- (2) 実効 オレ 電流の向上のために シリコレ の大口径化を図るとともに、セグメント の密度を増して導通面積を増加する。
- (3) セグメント 数の増加に伴って、ゲート 陰極間接合周辺長が長くなるので、このために生ずる ゲートトリガ 電流の増加を抑制する。
- (4) 高耐圧化を図るため、耐圧の出にくい ネカティラヘベル 構造を ポ ジティラベベル 構造に改善する。

GTO セグメントの  $I_{TGQ}$  を向上させるためには,陰極  $I_{\Sigma vy}$  直下の Pベース層の横方向抵抗を下げる C とが有効である。 これには陰極  $I_{\Sigma vy}$  幅  $W_{NE}$  を小さくし,かつ Pベース層の不純物濃度  $C_{PBj}$  を高くしなければな ら な い。図 1. は  $4.5~\mathrm{kV}$  耐圧の GTO について,  $I_{TGQ}$  と  $W_{NE}$  及び  $C_{PBj}$  の関係を示したものである。  $W_{NE}$  の減少 に伴って  $I_{TGQ}$  はほぼ直線的に増加し,  $C_{PBj}$  の増加に伴って  $I_{TGQ}$  は急激に増加している。

しかし一方, $W_{nE}$  の減少は,GTO セグメント の有効導通面積を減

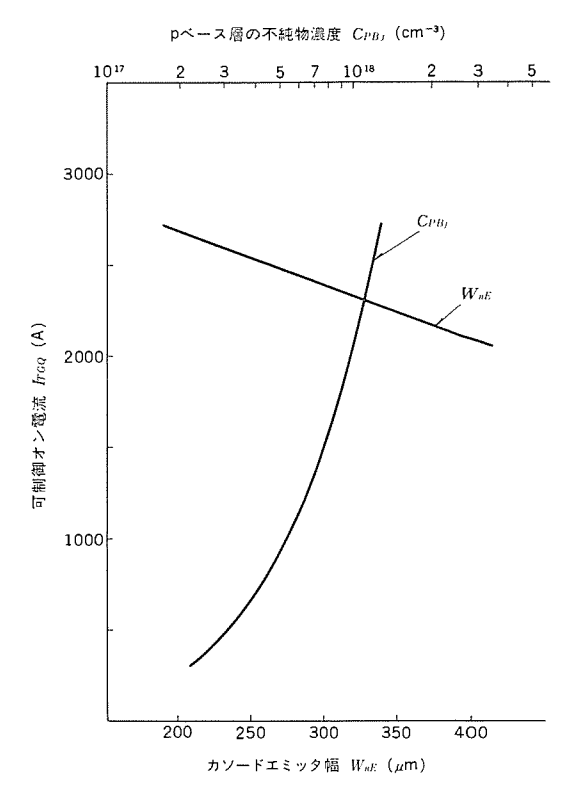


図 1.  $I_{TGQ}$  と  $W_{nE}$ ,  $C_{PBj}$  の関係

少させるので、実効  $t_{0}$  電流の低下を招く。 また、  $C_{PBi}$  の増加は、npn + 5 2 2 2 2 の  $\alpha$  を低下させ、  $t_{0}$  電圧、  $f_{-}$  トリガ 電流の増大を招く。 すなわち、GTO  $t_{0}$  が  $t_{0}$  の向上と  $t_{0}$  の大容量化との間には  $t_{0}$  に  $t_{0}$  の最適化を図るとともに、大口径  $t_{0}$  の最適化を図るとともに、大口径  $t_{0}$  の最適化を図り、遮断性能の優れた大電力  $t_{0}$  の実現している。

 $C_{PBj}$  をあまり変化させずに  $V_{GR}$  を増大させ、  $I_{GT}$  を減少させる方法として、当社では  $f_-$ ト陰極間接合( $J_3$ )付近を 2 段に  $I_-$ ッチダウン する構造を導入した。 図 2. はこの構造の断面図及び  $V_{GR}$ ,  $I_{GT}$  の  $I_-$ ッチダウン 深さ d との関係を示している。 d が 17  $\mu$ m 付近までは $V_{GR}$  が増大し、 $I_{GT}$  が減少し、20  $\mu$ m 以上でほぼ飽和している。

GTO では Pベース 層の横方向抵抗を下げるために、高耐圧 yィリスタで一般的な Pベース層の 2 段拡散法を採用せず、高濃度の P形不純物を一度に拡散する 1 段拡散法を用いている。このため、陽極陰極間を阻止する接合  $(J_2)$  付近の Pベース層不純物濃度分布が急しゅんとなり、一般の yィリスタに比べて Pベース層への空乏層ののびが少なく y がったい、構造では順方向耐圧が得にくい。この問題を解決するために、高耐圧 GTO では ベベル技術の高精度化を図り、y 接合に対して y が、y となる y で、y で、y で、y の構造を示す断面図と、 両者を用いた場合の順方向印加電圧 y が漏れ電流 y を示している。y がディブベベル

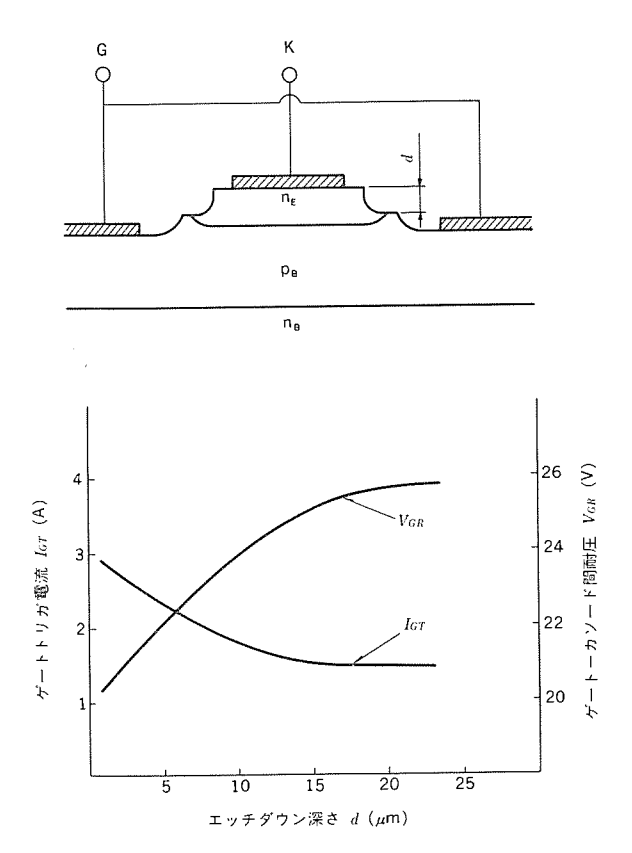


図 2. 2段段差構造と  $V_{GR}$ ,  $I_{GT}$  対 d の関係

では、3,800 V 付近で ブレークオーバー が起こっているが、ポジティブベベル  $(\sum \langle \vec{n} \rangle)$  では 5,500 V 付近まで ブレークオーバー は抑制され、 漏れ電流も 1 mA 以下となっている。

以上のように、陰極 エミッタ 幅, Pベース 層濃度の最適化, Ja 接合構造の改良, 及び セグメット配置 パターン の最適化を図り, 世界最大級の高耐圧大容量 GTO の実用化が可能となった。

### 3. 高耐圧大容量 GTO の特性定格

### 3.1 GTO の主要特性定格

現在,広範な市場要求に対応して,当社では開発中のものを含め,可制御  $t_{2}$  電流  $I_{TGQ}$  及び  $t_{2}$  電圧  $V_{DRM}$  がそれぞれ  $100\sim3,000$  A,1,200~4,500 V の GTO の  $\mathfrak g_{1}\mathfrak g_{2}\mathfrak g_{3}$  化を行っている。 図 4・は,これ らの GTO  $\mathfrak g_{1}\mathfrak g_{2}\mathfrak g_{3}\mathfrak g_{3}$  の電圧電流定格を示したもので,今後共その充実 化を図る方向で開発が進められている。この中で,特に車両用として実用化されている高耐圧大容量 GTO は,FG 2000 AV(4,500 V,2,000 A),FG 1800 AH(2,500 V,1,800 A),FG 600 AV(4,500 V,600 A)などであり,その主な特性定格

を表 1. に示す。 FG 2000 AV は、  $V_{DRM}$  が 4,500 V、  $I_{TGQ}$  は スナバコンデンサ 容量  $C_S$  が  $4\,\mu\mathrm{F}$  のとき 2,000 A、  $6\,\mu\mathrm{F}$  のとき 2,500 A の能力をもち、 これは現在実用化 されている大容量 GTO では世界最大級のものである。

ててで、 $\chi$ J $\mathring{\chi}$ 1 $\mathring{\chi}$ 1 $\mathring{\chi}$ 2 $\mathring{\chi}$ 1 $\mathring{\chi}$ 2 $\mathring{\chi}$ 3 $\mathring{\chi}$ 3 $\mathring{\chi}$ 4 $\mathring{\chi}$ 4 $\mathring{\chi}$ 5 $\mathring{\chi}$ 5 $\mathring{\chi}$ 5 $\mathring{\chi}$ 6 $\mathring{\chi}$ 7 $\mathring{\chi}$ 7

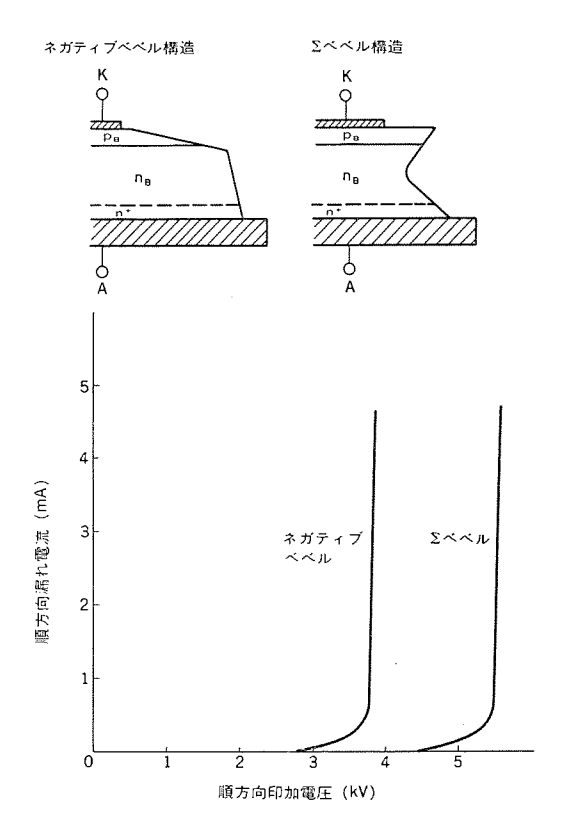


図 3. GTO の ベベル 構造と オフ 状態特性

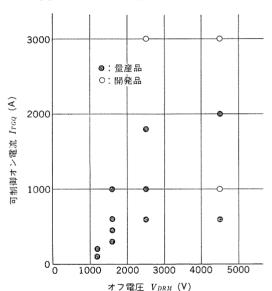


図 4. 三菱 GTO シリーズ の電圧・電流定格一覧

表 1. 高耐圧大電流 GTO の主要定格特性

項	且	記号	単位	FG 2000 AV	FG 1800 AH	FG 600 AV
ピーク繰り返しオ	フ電圧	$V_{DRM}$	V	4,500	2,500	4,500
平均オン	電流	$I_T(AV)$	A	600	550	150
可制御オン	電 流	$I_{TGQ}$	A	2,000 ( $C_S = 4 \mu F$ ) 2,500 ( $C_S = 6 \mu F$ )	1,800 (Cs=4 μF)	600 (Cs=2 μF)
臨界オン電流	上昇率	di/dt	A/μs	300	300	300
サージオン	電流	ITSM	A	13,000	16,000	4,000
オ ン 電	Œ	$V_{TM}$	v	3.5 (I <sub>T</sub> =2,000 A)	3.0 (I <sub>T</sub> =1,800 A)	4.0 (I <sub>T</sub> =600 A)
ターンオン	時間	tgt	μs	10	10	10
ターンオフ	時間	$t_{gq}$	μs	30	30	25
最大ゲートト!	ガ電流	$I_{Gt}$	mA	3,000	3,000	1,500

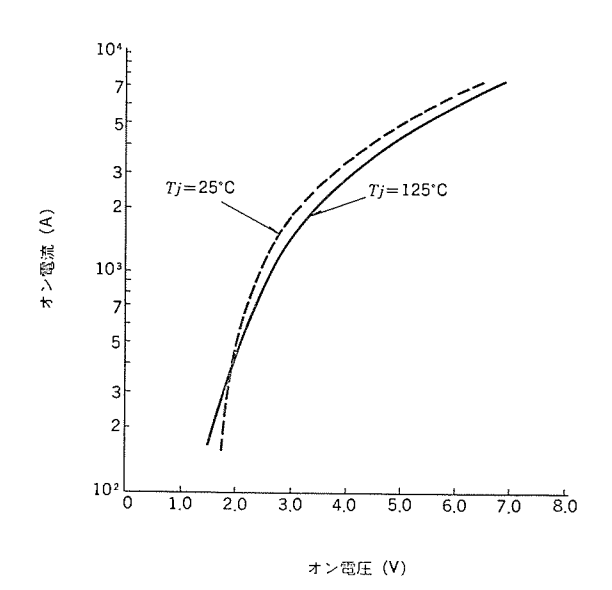


図 5. オン 状態特性 (FG 2000 AV)

 $(T_i)$  が  $125^{\circ}$ C で  $t_{\circ}$  電流  $I_T=2,000$  A のとき  $t_{\circ}$  電圧は 3.5  $\mathrm{V}$  以下となり、高耐圧大容量 GTO として十分に低い  $t_{\circ}$  電圧を実現している。

### 3.2 ターンオン及びターンオフスイッチング

図 6. は、FG 2000 AV の g-ンオンスイッチング 時の g-ンオン 遅れ時間  $(t_a)$ 、g-ンオン 時間  $(t_{gt})$  の t-クオンゲート 電流  $(I_{GM})$  との関係である。  $t_a$ 、 $t_{gt}$  とも  $I_{GM}$  が増加すると短縮する傾向を示している。

大電力 GTO は、前章でも述べたように、マルチエミッタ 構造となっ

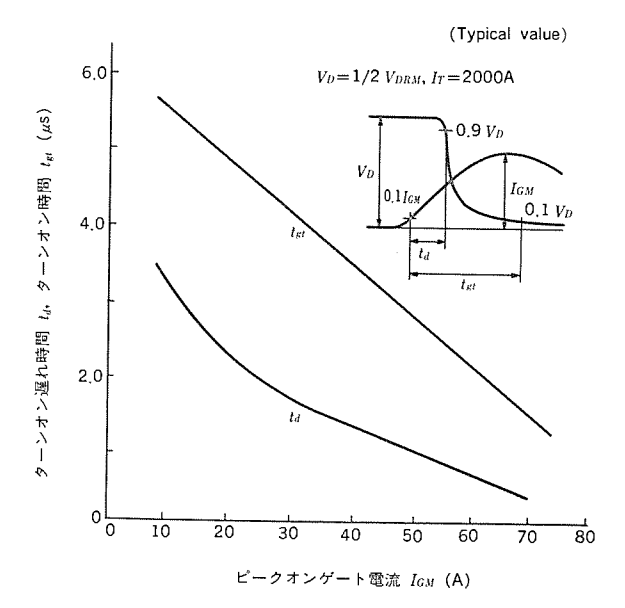
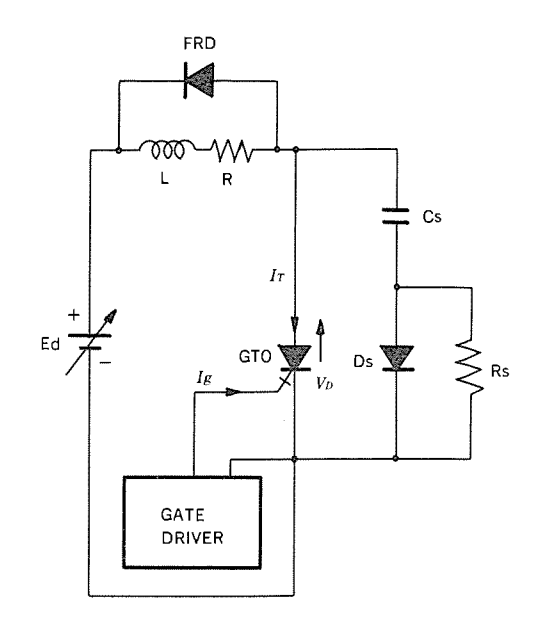
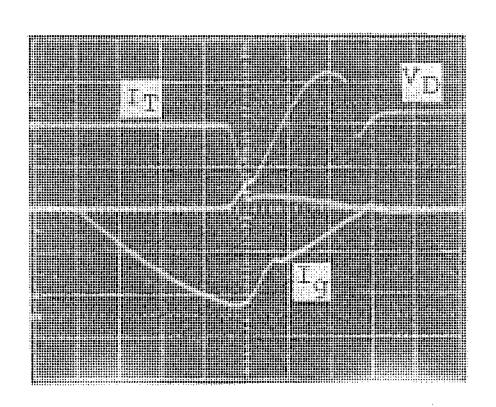


図 6.  $t_d$ ,  $t_{gt}$  と  $I_{GM}$  の関係 (FG 2000 AV)

図 7. は FG 2000 AV の、 g-ンオフスイッチング 特性の基本測定回路 とその波形例を示したものである。 測定回路は コンデンサ Cs、ダイオー





 $V_D$ : 1000V/div  $I_T$ : 1000A/div  $I_g$ : 200A/div  $t_s$ : 5 $\mu$ s/div

図 7. ターンオフ 特性測定回路とその波形例 (FG 2000 AV)

この減少電流分はスナバ回路に転流され、スナバ回路のインダクタンスにより、 $V_D$  は一度急激な立ち上がりをみせスパイク電圧  $V_{DSP}$  を発生させる。 その後  $V_D$  は、スナバコンデンサ 容量  $C_S$  と負荷電流  $I_T$  とにより決まる  $dv/dt(dv/dt=I_T/C_S)$  一定の期間を経て、 主回路の浮遊 インダクタンス により発生した電圧が重畳されて、過充電  $\ell^-$  つ電  $\ell^-$  で達する。 その後、この過充電電圧はスナバダイオード  $\ell^-$  の逆回復時に一度落ち込んだ後、スナバ抵抗  $\ell^-$  を通して放電し、電源電圧に戻る。それに対して  $\ell^-$  は、急激な減少の後  $\ell^-$  一、電流と呼ばれる電流がしばらくの間流れ続けている。

この電流は、シリコン内部の過剰 キャリヤがまだ完全に消滅しない状

態で高電界が印加されるために、回復途上にある接合を貫通して流れる変位電流で、後に述べる スイッチング 損失の大きな要因となっている。 $I_g$  は  $f_-$ ト 回路の インダクタンス と  $f_-$ ト の電源電圧で決定される  $-di_g/dt$  で増加し、 ほぼ  $t_{gq}$  の時間の後  $f_-$ ト 陰極間接合が回復した時点で  $f_-$ ク値に 達する。 その後、減少して  $f_-$ ト 回路からの電流供給はとだえるが、 陽極から流入する変位電流分がすべて  $f_-$ トを通して流れ出るため、  $f_-$ ル 電流と ほぼ等しい電流が持続する。以上の動作において、  $-di_g/dt$  が小さいと、  $t_s$  の値が増加し  $g_-$ ン  $t_-$  大り特性を悪化させるので、  $-di_g/dt$  を一定の値以上にすることが望ましい。

### 3.3 スイッチング損失と dv/dt 耐量

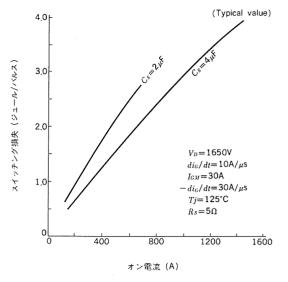
図 8. は、FG 2000 AV の  $t_0$  電流と  $t_0$  関集の関係を示したものである。  $t_0$  現失は、  $t_0$  現失は、  $t_0$  現失。  $t_0$  現失を合計したもので、  $t_0$  電流が大きくなると損失も大きくなり、 また  $t_0$  を小さくすると  $t_0$  の  $t_0$  間次が大きくなるため損失は増加する。 一般に  $t_0$  の  $t_0$  損失を低減することが  $t_0$  以付きを大きく減少させることになる。 前に述べたように、  $t_0$  の  $t_0$  現失を低減することが  $t_0$  関集を大きく減少させることになる。 前に述べたように、  $t_0$  の  $t_0$  可 電流の低減は  $t_0$  の  $t_0$  可 損失の低減に大きく寄与する。  $t_0$  この  $t_0$  同流の値は  $t_0$  可  $t_0$  可  $t_0$  以外の  $t_0$  と強い相関関係がある。 一般に  $t_0$  が大きい素子は  $t_0$  中リヤ の  $t_0$  ライフタイム が短いため、  $t_0$  同 電流は小さくなりその結果  $t_0$  可 有  $t_0$  利 損失は減少する。

スイッチング 周波数が高くなると、スイッチング 損失の全損失に占める 割合が大きくなるため、許容動作周波数における定常 オン 損失と スイッチング 損失との合計が最小になるように キャリヤの ライフタイムの コントロール を最適化することが必要となる。 FG 2000 AV-90 の場合、許容動作周波数を 600 Hz として最適化を図っている。

図 9. は、FG 1800 AH の dv/dt と ブレークオーバー 電圧との関係を示したものである。G-K 間に、 2 V の逆 バイアス を印加した場合は、dv/dt 印加による ブレークオーバー 電圧の低下はほとんどみられないが、逆 バイアス を印加せず抵抗  $R_{GK}$  を並列接続した の み の場合には、 $R_{GK}$  を パラメータ として dv/dt 印加による ブレークオーバー 電圧の低下がみられる。 また、 ゲートオープッ の状態では 2,000~3,000  $V/\mu$ s になると急激に減少している。 GTO はこのような特性を示すことから、一般に G-K 間に常に 2 V の逆 バイアス を印加して使用することを推奨している。

### 4. む す び

以上,電鉄用を主体とした高耐圧・大電流 GTO の定格・特性の 現状について紹介したが, GTO はその優れた特長を生かし,今後 更に高耐圧・大電流化が図られ,電鉄用制御器の主役としての役割



8. オン 電流と スイッチング 損失の関係 (FG 2000 AV)

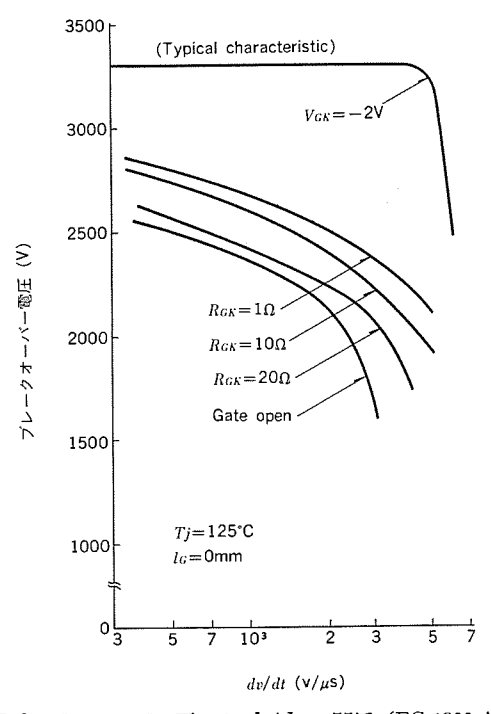


図 9. ブレークオーバー 電圧 と dv/dt の関係 (FG 1800 AH)

をより一層強めていくものと予想される。また、GTO はより高速 ・高周波化へと技術開発が進められており、このような特性・性能 改善と相まって、GTO の応用分野は電鉄部門にとどまらず、各種 電源装置やモータ制御分野にと拡大していくものと予想される。

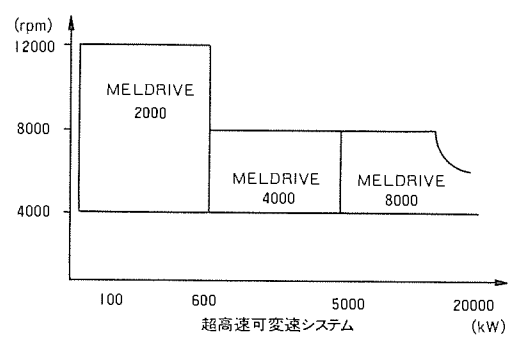
## 超高速可変速システム 【ポットフィト《MELDRIVE2000》

ポンプ・送風機・圧縮機などを超高速駆動する場合には、従来タービン駆動方式や商用電源で駆動される電動機と増速ギヤを組合せる方式が用いられてきました。しかし、これらの方式は、システム全体の効率や寸法、重量の点で問題があり、超高速電動機による直接駆動方式の出現が望まれていました。このたび大容量トランジスタインバータと超高速カゴ形誘導電動機による、超高速可変速駆動システム《MELDRIVE 2000》を開発いたしましたので、その概要をご紹介します。

### 特長

超高速可変速システムは下図に示すように、出力により3種類に大別されます。一方、《MELDRIVE2000》は、600kW以下の領域を対象としたカゴ形誘導電動機をトランジスタインバータで駆動するシステムです。これは次の特長を持っています。

- ●超高速駆動により容量アップ。高効率化が可能。
- ●機能の小形化、増速ギヤの廃止による据付面積の減少、メンテナンスの向上。
- ●トランジスタインバータ駆動による制御性の向上。
- ●システム構成が簡潔で安価(トランジスタインバータ+かご形 IM)。



### 仕様

超高速かご形IM

超高速かご形IM

最高回転数 5000/6000/8000/
10000/Max.12000r.p.m

正弦波PWM制御、
最高出力周波数200Hz
容量140kVA ~ 760kVA
低減トルク負荷; 75kW ~ 530kW
定トルク負荷; 75kW ~ 485kW

### 市場・用途

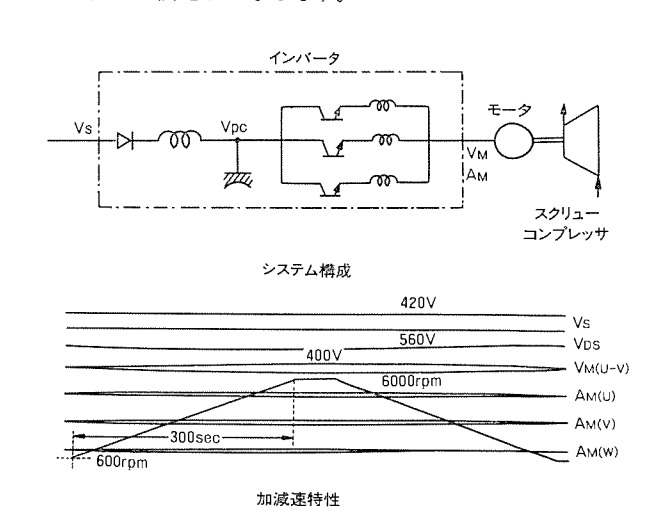
コンプレッサ・ブロワ・ポンプなど小形化、高効率化、高メンテ ナンス性が要求される市場に最適です。

- ●スクリューコンプレッサ、ロータリーコンプレッサ市場
- ●ターボポンプ・ターボ圧縮機・ターボ送風機市場
- ●高速回転試験、エンジン試験など

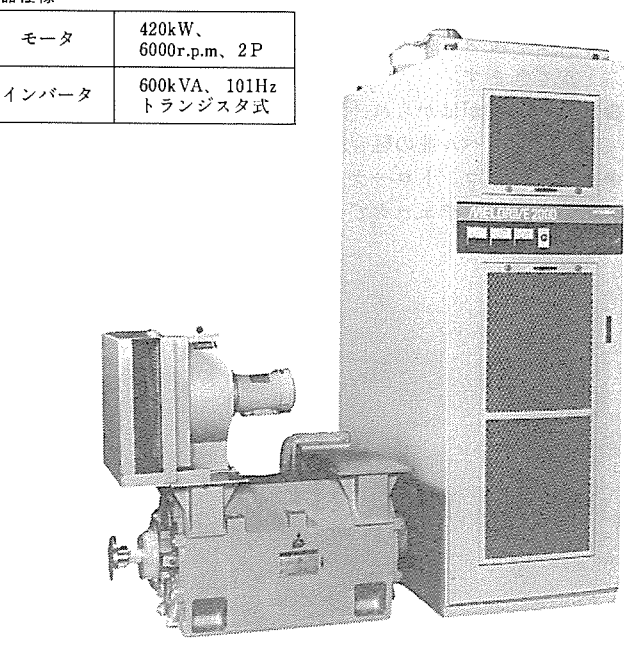
#### 適用例

《MELDRIVE2000》の1号機は、蒸気を再圧縮して省エネルギーを行うスクリュー形蒸気再圧縮式ヒートポンプ駆動用として国内某社に納入しました。システム構成、加減速特性、機器仕様を以下に示します。

試験の結果、6000r.p.m時振動は両振幅で20µm以下、騒音はインバータ駆動無負荷時86dB(平均値)、インバータと電動機の総合効率90.5%が達成されたことが確認されました。この結果は初期の仕様を充分に満足するものです。



### 機器仕様



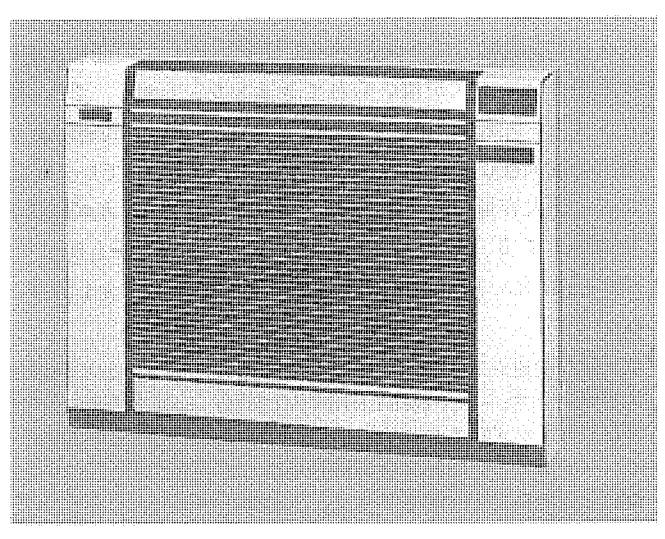
# 床置形インバータエアコン

# スポットフィトMFZ-251AF

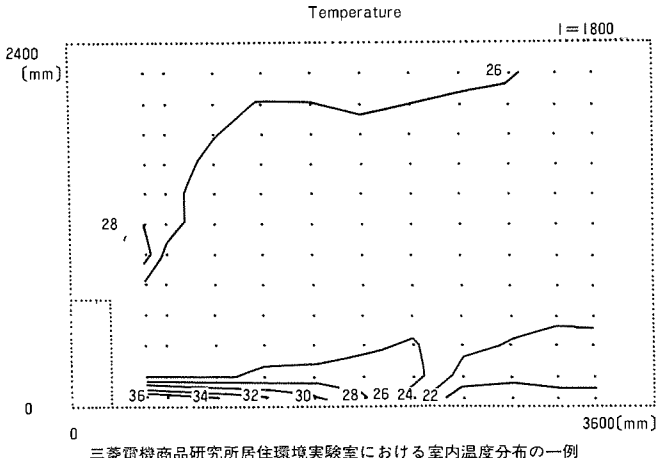
三菱電機ではこのたび、ハイグレードな暖房を目ざし、暖房 機として理想の据付位置である床置タイプに上下吹出方式(ハ ーモニックフロー) とインバータを搭載し、優れた暖房特性 と多彩な機能を持つフロアータイプインバータエアコン《霧 ヶ峰MFZ-251AF》を開発しました。

### 特長

- ●室内ユニットに上下2つのファンを設けました。暖房スタート 時は両ファンともフル回転、暖まってくるに従って下吹出率を 高めながら総吹出風量をコントロールするハーモニックフロー によって、弱ノッチにおいても、上下温度差が小さい快適な環 境を作ることができます。
- ●室内ユニットの上下に2つの温度センサを搭載しました。室内 温度差が少なく、更に吹出噴流の影響が少ない、快適居住空間 を作り出すように、2つのファンを制御するツインサーモコン トロールを設けています。
- ●インバータを搭載し、30Hzから130Hzまで無段階で圧縮機の入 力周波数を変化させます。1350kcal/hから4100kcal/h (暖房JIS 規格条件時) まで能力が可変で、強力なパワーと経済性を両立 させます。
- ●電源を入れるだけで、その時々に最適な運転を自動的に選択し ます。その際、暑い・寒い・快適の3つの温感キーの操作によ って、各自のお好みの快適居住空間を作り出し、更に記憶でき る温感自動運転機構を搭載しています。
- ◎暖房時の空気の乾燥を防ぎ、快適性を高める加湿機(超音波方 式)を本体に内蔵しました。エアコンとの連動運転も可能で、 暖房・冷房・除湿・加湿の多機能空調が行えます。
- ❸リモコンは、本体収納可能なワイヤレスリモコンで、離れたと ころから操作が行えます。
- ●暖房運転の霜取り時にも室温を下げません。また、霜取り回数 もメモリ&スタディ機能により、従来タイプよりも低減するこ とができます。
- ●低騒音設計がはかられ、「急ノッチ」においても従来タイプの「強 ノッチ」レベル並の騒音値を実現します。
- ●別売のテレコントローラをご使用になれば、エアコンのON・OFF 指令や運転をチェックできる、テレコントローラシステムにな ります。



### 室内の温度分布図



三菱電機商品研究所居住環境実験室における室内温度分布の一例

### 仕様

形名 仕様	MFZ-251AF		
電源	単相 100V		
ヒューズ、ブレーカ容量〈A〉	20		
冷 房 能 力 〈kcal/h〉	2500		
暖房能力 〈kcal/h〉	3400		
吸 // Ne // (RCai/II/	冷房 1090		
消費電力 <w></w>	暖房 1360		
	冷房 12,1		
運 転 電 流 〈A〉	暖房 15.1		
室内側騒音値(急)(ホン)	37		
室外側騒音値(ホン)	46		
冷房面積の 鉄筋アパート南向洋室	20		
めやす〈m'〉木造南向和室	13		
暖房面積の 鉄筋アパート南向洋室	17		
めやす(m²) 木造南向和室	14		
	室内ユニット 25		
重 量 〈kg〉	室外ユニット 33		
	室内ユニット 高さ595×幅790×奥行180		
外 形 寸 法〈mm〉	室外ユニット 高さ540×幅780×奥行255		
加 湿 量 <cc h=""></cc>	250		
給水タンク容量(ℓ)	2.0		
連続加湿運転可能時間〈時間〉	8.0		
給水タンク容量(ℓ)	250 2.0		

# スポップイト1.3µmCMOS VTM

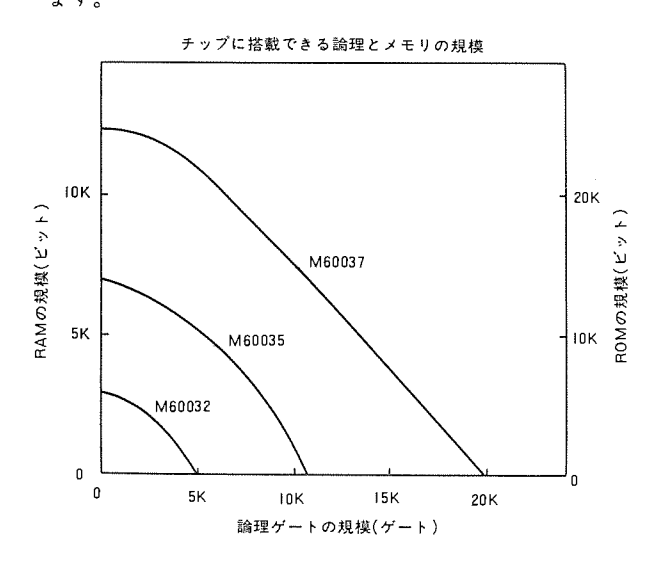
三菱電機ではこのたび、従来のゲートアレイに加え、CMOS VTM (M60030シリーズ) を開発しました。

このシリーズは、従来のゲートアレイのような固定配線チャネルに代り、スタンダードセルのように必要に応じてチャネル幅を変えるVTM (Variable Track Masterslice) 方式を採用しており、1.3μmCMOSプロセス技術の適用とあいまって、高速・高集積なセミカスタムを提供できます。

### 特長

### ●高集積

チップ上に60 K ゲート (M60037) を搭載し、24 K ビットのR O M が実現できます。更に、従来のゲートアレイのように固定チャネルとして使っても、20 K ゲートの論理を実現することができます。



### ●メモリの搭載

VTMでは、メモリのように規則的な回路を効率良く設計することができ、かつ他社のような固定メモリでないために、多数個のROMやRAMを自由に組込むことができます。

### ●高速動作

 $1.3\mu m$  C M O S プロセス技術により、無負荷で350ps/G、FI=FO=3、Al 3mmの負荷時でもシングルドライブで1.15ns/G、ダブルドライブで0.9ns/Gとなり、従来の約 2 倍(当社比)のスピードが達成できます。

### ●高駆動出力

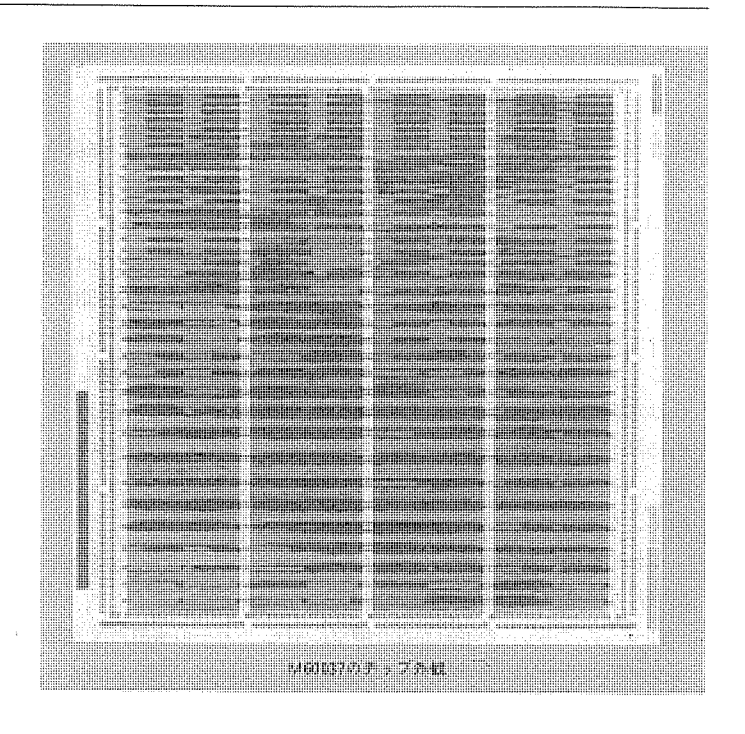
チップ内部で 2 個の出力バッファを並列接続することが可能です。IoL=20mA (VoL=0.4V) となり、従来の 3 倍(当社比)の駆動力を得ています。

### ●豊富なライブラリ

主要なTTL74シリーズのセルと複雑なマクロファンクションがあり、全部で217種類に達しています。これらは、市販のほとんどのワークステーション上で使うことができます。

### ●入出力ピン数の豊富さ

20 K ゲートで256のIOピンはもちろん、4、8ゲートでも132のIO ピンを持ち、業界最多のピン数をほこっています。



### 特性

1017						
13	種 名	M60032	M60035	M60037		
等価ゲート数		4,788 11,088		19,656		
総ゲ	- ト数	10,836	25,200	47,376		
総ベーシ	ックセル数	32,508	32,508 75,600 14			
チップサ	- イズ (mm)	6.92×6.52	6.92×6.52 12.7×7.37			
I /	0 数	132	196	256		
遅	内 部 ゲート	0.35ns/G 1.15ns/G	(INVERTER, F			
延 時 間	バッファ	TTL シングル パラレル	シングル 出力 7.4ns(CL=100pF)			
出力(VOL:	電 流 = 0.4V)	シングル 出 パラレル 出				
メ容	RAM	2.5Kbit	6.0Kbit	12.0Kbit		
モ リ 量	ROM	7.5Kbit	18.0Kbit	36.0Kbit		
電 源	電 圧	I	5V ±10%			
動作周	阻温度	−40 ~ 85°C				
使用テク	ノロジー	1.3µm CMOSッ	1.3μm CMOSツインウエル,アルミ 2増配線プロセス			
****				···		

### 特許と新案 有償開放 (((()))

有償開放についてのお問合せ先 三菱電機株式会社 特許部 TEL (03) 218-2136

アナログディジタル変換装置 (特許第997309号, 特公昭58-18679)

発 明 者 磯崎 眞,斉藤成一

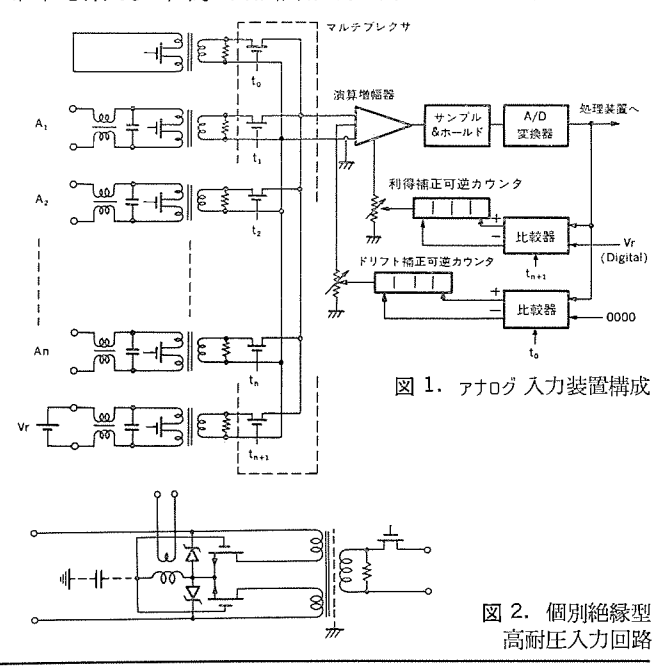
との発明は プ0セス 制御や デ-タ 収集装置に関するもので、無信号時  $\mathring{\Gamma}$  りつ たい による A/D 変換の誤差発生を極小ならしめるように した A/D 変換器を提供するものです。

多 チャンネル の高速走査を行うためには、各 チャンネル 当りの アナログ / ディジタル 変換は比較的高速であることが必要とされ、 また前段の 演算増幅器も広帯域型を必要とし、低 レベル 入力の場合は ドリフト も 生じやすいため、ドリフト 補正 フィードバック 回路を設けたものです。これは走査 サイクル 幅に必らず零入力信号を サンプル し、その ディジタル変換結果が零でなければ、その変換結果の正負符号を可逆 カウンタ に累算し、その カウンタ の状態を D/A 変換し演算増幅器の ドリフト を打消すように印加するものです。

とれにより、無入力時の A/D 変換結果が常に「零 $\pm 1$ 」 $_{カウット}$ 以内になるように自動制御されます。(図 1. 参照)

図 2. は、プラットの電磁界雑音環境に耐え、万一の事故の波及を防ぐための個別絶縁型高耐圧入力回路を示しており、絶縁トランスと MOS・FET スイッチ によって入力信号の時分割サップリッグを行い、その後に CMOS型 IC マルチプレクサ を用います。FET スイッチ には エンハンスメント型 MOS を対称に 2 個使用し、正負の広い入力信号範囲にわたり高い直線性を得ます。 FET スイッチ の駆動は別のトランスを介

して絶縁を保ち、また FET の y-ス と入力の 2 線の間に ヴェナ・ダイオード を挿入して、高い同相雑音入力に耐えさせています。



### 〈次号予定〉 三菱電機技報 Vol. 61 No. 4 FA 特集

### 特集論文

- ●巻頭言
- ●FA の現状と将来展望
- ●FA システム構築手順
- ❷生産システムにおけるシミュレーション技術
- ●FA における分散型システム
- ●FA における新しい制御言語
- ●メカトロニクス機器の制御技術
- ●FA におけるセンサ応用
- ●PROLOG によるオンライン操業支援システム

- ●自動車工場における FA システム
- ❷半導体工場における FA システム
- ●電子商品工場における FA システム
- ●金型工場における FA システム
- ❷組立・マテハンロボット

### 普通論文

- ❸高速道路交通モニタシステム
- ●MRI 用超電導マグネットのクライオスタットと低温技術
- ●準マイクロ波通信等用・L バンド 50W シリコンバイポーラトランジスタ
- ●高速 256K CMOS スタティック RAM

三菱電機技報編集委員	三菱電機技報 61 巻 3 号	
委員長 鶴田敬二		
委 員	A from whom deliver of the No.	昭和62年3月22日 印刷
〃 松村 充	(無断転載を禁ず)	昭和62年3月25日 発行
〃 尾形善弘		
″ 高橋宏次	編集兼発行人 長 崎	忠 一
// 藤井 学	印刷 所 東京都新	宿区榎町 7
〃 三輪 進	大日本印	刷株式会社
〃 郷 鉄夫	発 行 所 東京都港	区新橋六丁目 4 番 9 号 (〒 105)
』 高橋誠一	菱電エン	ジニアリング株式会社内
〃 関 沢 英 男	「三菱電板	幾技報社」Tel. (03) 437 局 2 3 3 8
〃 柳下和夫	発 売 元 東京都千	·代田区神田錦町 3 丁目 1 番地 (〒 101)
幹 事 長崎忠一	株式会社	ナオーム社
3月号特集担当 郷 鉄 夫	Tel.(03)	233 局 0641 (代), 振替口座東京 6-20018
	定 価 1部700	円送料別(年間予約は送料共 9,100 円)

## 麦スーパーラインモートル中容量全閉外扇形 スポットライト《LシリーズSF-LH315~400フレーム

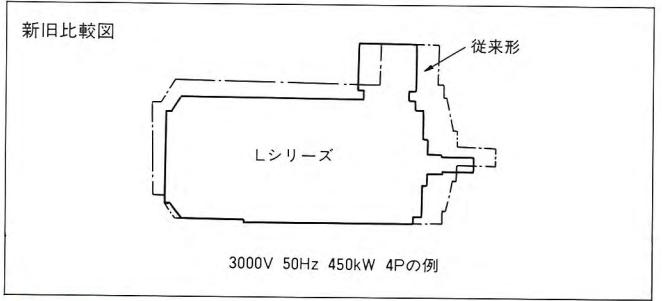


三菱スーパーラインモートル、中容量全閉外扇形の新シリー ズ《Lシリーズ》は従来シリーズに比べ、更にコンパクト化、 機能アップを目標に、最新技術を駆使するとともに、長年蓄 積してきたデータをベースに開発されました。

### 特長

### ●コンパクト

耐振性、耐衝撃性に優れた鋼板フレームの採用と徹底的な熱解 析、及び試作検証による最適な冷却性能の実現により、より一 層のコンパクト化を果たしました。これにより最大800kWまで の収納を可能とし、当社比で約1.5倍の出力アップを達成して います。

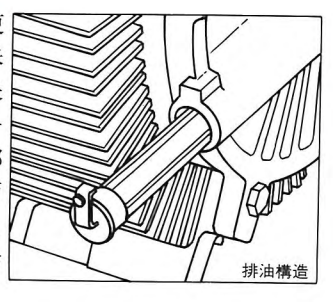


### ●静かな運転

モートルのコンパクト化に加え、剛性アップ、最適ファンの採 用により、従来シリーズに比べ3~5dB(A)の騒音低減をは かりました。

### ●メンテナンス性に優れた軸受

従来より好評の軸受構造に、更 に改良を加え、給油間隔を従来 の1.2~2.0倍という大幅な延長 を実現しました。また、グリー スの注入口はブラケット最上部 に設け、グリース排油口は側面 へのカセット方式としているた め、運転中でも安全。容易に給 排油作業が行えます。

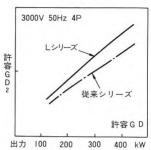


### ●大きな許容GD<sup>2</sup>

許容GD2を従来に比べ、約20% アップし、より広範囲の用途に 対応します。

### ● 短納期

多品種少量生産に適したフレキ シブルな生産システム、合理的 な製造プロセス、自動専用設備 の採用により、納期短縮をはか りました。



### 定格表

極数					最高	出力	(kW)			
	枠番	400V級			To be de	3000V級	6000V級			
125 80	1+14	400V	440V	重量	3000V	3300V	重量	6000V	6600V	重量
		50Hz	60Hz	(kg)	50Hz	60Hz	(kg)	50Hz	60Hz	(kg)
	315M	200	200	1180	160	160	1180	_	_	_
2	315L	300	300	1540	250	280	1420	185	200	1260
2	355L		-		500	560	2140	300	335	1950
	400LL	11-11		-	800	800	3220	500	560	3100
	315M	200	200	1180	160	160	1180		_	_
	315L	300	300	1540	250	280	1410	160	185	1340
4	355L	PC-LI		_	500	560	2220	315	335	2030
	400LL	-			800	800	3190	600	630	3190
	315M	160	160	1200	132	132	1250	_	_	_
6	315L	250	280	1720	200	250	1640	110	132	1330
0	355L	-		_	400	450	2300	250	280	2110
	400LL	-	-		560	630	3270	450	500	3270
-3	315M	110	110	1200	110	110	1250		_	
	315L	185	200	1720	160	185	1640	75	90	1330
8	355L	( - I		_	280	315	2210	185	200	2110
	400LL	-		_	400	450	3270	355	400	3270

注 1)仕様は標準仕様によります。2)重量は各枠番最高出力時における値です。

### 仕様

No	項目	標準仕様	特殊仕様
1	形式	全閉外扇屋内形 全閉外扇屋外形 JPW44、JC4(IP44、IC0141)	防食形 安全増防爆形
2	準 拠 規 格	JEC37 (1979), JEM1380, JEM1400	IEC、BS、NEMA その他
3	絶 縁 種 別	F種	B種、E種、
4	時間定格	連続	Children Colors
5	回転子形式	深みぞかご形	二重かご形
6	相数 電圧 周波数	三相 400V級 3kV級 6kV級 50/60Hz	
7	基準周囲温度	-20°C +40°C	
8	取付方式	床置足取付け	
	取付位置	フレーム上部	
9	一 ケーブル 引込口の向き	負荷側より見て左向き(45°ピッチで回転可能)	
9	端子 ケーブル 引込口の向き ケーブル 引込方式	屋内形:90丸穴 屋外形:PF3 電線管方式	Control of the contro
	モートル端子	ラグ式(圧着端子)	スタッド
10	始動方式	低圧:直入及びY-D共用(但し、直入	Charles and the same
10	如 驯 力 式	指定の時は3本リード) 高圧:直入	
11	軸 受	ころがり軸受	V V V V V V V V V V V V V V V V V V V
12	負荷との結合方式	直結	ベルト掛け*
13	グリース	マルテンプSRL(協同油脂製)	1 201 12
14	回転方向	負荷側より見て反時計方向(2極機を除き両回転可能)	
15	塗 装 色	マンセルN5.5	
16	付 属 品	軸端キー(平行キー)	基礎ボルト、ベッド、スライドベース、スペースヒータ、軸受温度計、サーモスタット、巻線測温素子

\*2極機のボルト掛けは製作致しません。

## 三菱高機能パケット多重化装置

# スポップイ MELPAX 1000

### パケット交換システムは…

- ●効率的な通信:パケット交換システムでは情報量に応じた 料金体系になっているため(従量制)、ムダのない効率的な 通信が行えます。
- ●高い信頼性:パケット交換網内のエラーがほとんどなく、 また交換網と端末間の回線上でも伝送制御手順により誤り の回復が行われます。
- ●複数の相手と同時通信:X.25(パケット形態)端末を使用することにより、1本の回線で同時に複数の相手と通信することが可能になります。

### MELPAX 1000は…

- ●複数端末を集線、多重化:端末固有の各種通信プロトコルを、国際標準CCITT X.25に準拠したプロトコルに変換する機能と、複数端末回線を集線多重化する機能を備えた高機能・高性能なパケット多重化装置です。
- ●ネットワーク構築の簡素化:MELPAX 1000をご採用いた だくことにより、本機に収容されている種々の端末と、パケット交換網に接続されている端末間の通信が可能となり、 信頼性の高いN:N通信網がローコストで、しかも簡単に実 現できます。

### 特長

### ●複数プロトコルを同時サポート

端末側プロトコルは、SNA/SDLC、X.28(含むフリーラン)、X.25及びMNA/BSC-Pなどに柔軟に対応することができます。また、各回線ごとにそれぞれプロトコルを選択、設定できます。(なお、ホスト計算機はパケット交換網へ直接接続可能)

### ●多数の端末を収容

16台までの各種端末及び計算機などを接続でき、これらを多重 化します。(増設機構により、最大32台まで拡張可能)

### ●X.25(パケット形態)端末も収容可能

端末回線側にX.25(パケット形態)端末を複数接続でき、パケットマルチプレクサとしてもご利用いただけます。

### ●ローカル交換(ミニLAN)サービス

端末回線側に収容された端末相互間の通信ができます。

### ●多彩な収容回線

各種端末は、直接のみならず専用回線及び交換回線(電話網)を 介しても収容可能です。

### ●国際標準インタフェースをサポート

国際標準インタフェースであるX.25によって、パケット交換網へ最大48kbpsでアクセスできます。

### ●ダイレクト・コールも可能

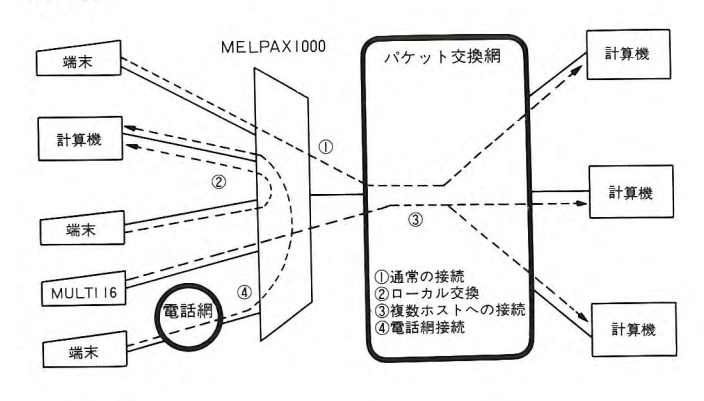
端末の接続要求に応じて、あらかじめ設定された相手(ホスト計算機など)に発呼要求を出すことができます。

### ●複数ホスト計算機への接続

当社パーソナルコンピュータMULTI 16をご使用いただくことにより、SNA/SDLC、MNA/BSC-P手順も、バーチャルコール接続で複数(異機種)のホスト計算機へアクセスできます。(オプション)



### 利用例



### 相互接続例

- SNA/SDLC端末◆ SNA/X.25ホスト計算機
- ●X.25(PT)端末 ◆ X.25(PT)端末
- ●X.28(含フリーラン)端末 <del>▼ X.25(X.29)</del>ホスト計算機
- ●X.28(含フリーラン)端末 ◆ X.28(含フリーラン)端末
- ●MNA/BSC-P端末◆ → MNA/X.25ホスト計算機

### 仕様

網側	<b>リイン</b> タ	フェ・	ース	プロトコル: CCITT X.25(76,80年版) 物理インタフェース: V.24, X.21 回線速度: 2.4~48kbps
端末	ミインタ	マフェ	ース	プロトコル: SNA/SDLC MNA/BSC-P X.28 CCITT X.25 (76、80年版) 物理インタフェース: V.24 回線速度: ~9.6kbps (電話網接続可)
概	略	寸	法	600(H) × 200(W) × 600(D) mm
		_	量	約35kg
重			垂	WIGHT

## 三菱公衆形ビデオテックス端末 スポットライト VT700IIシリーズ

三菱電機では、ビデオテックス事業強化の一環として、公衆 形ビデオテックス端末の開発に取組んでおりますが、このた び豊富なオプション機能を用意したMELTEX VT700IIシリ ーズを発売いたしました。

このMELTEX VT700IIシリーズは、街かどやビルのフロアなど、人の集まる場所に簡単に設置することができ、公衆電話のようにビデオテックス端末を使うこともできます。

### 特長

- ●MELTEX VC100/300やキャプテン情報センターなど、あらゆるセンターとオンラインで結べます。
- ●簡単な操作で、手軽に情報センターを呼び出し、美しいカラー 画像で情報を表示します。
- ●画面番号を簡単に登録することができ、ワンタッチで必要な画面の呼び出しができます。
- ●プリントキーで画面プリントができ、プリントされた用紙は自動的に切断されて出てきます。
- ●多数のオプション機能を用意していますので、ご要望に合わせてカスタマイズすることができます。

### 仕様

		ランク2	ランク3
表示方	式	ハイブリッド方式(文字に	はコード、図形はパターン)
表示ドッ	ト数	248×204(横×縦)	496×408(横×縦)
表 示	色	16色(8色2階調)	4096色中の任意の16色
表示文字	数	496字(小形文字)	1984字(小形文字)
		120字(標準文字)	496字(標準文字)
頭出し運	面面	12画面	
通信	網	ビデオテックス通信網、	一般電話網、専用線
プリセットダイ	ヤル	12センター	
キーボー	- k	頭出し画面または情報セ	ンター呼び出しキー 12個
		ファンクションキー	7個
		数字キー	10個
		その他(*、9、#)	3個
プリン	タ	プリント速度 約20秒	/枚
		プリント方式 感熱方	式
		用紙 幅110m	m、100mロール
		プリント枚数 約700画	ゴ面/ロール
		画面サイズ 100×84mm	画面サイズ 77×64mm
モ =	A	21インチ	14インチ
筐	体	レベラー及びキャスター	寸



### オプション機能

課金機能	使用硬貨 100円、50円、10円
	時間 1分間隔で設定可能
	残金返却 未使用料金返却可
ビルボードメモリ	128Kバイト、248Kバイト、384Kバイト
ビデオディスクの映像	スーパーインポーズ表示可能
電源タイマ	自動投入・切断可能
カードリーダライタ	JIS磁気ストライプ付クレジットカード
	モータ駆動方式
	カード往復時間約1秒